

ผลกระทบของแบบจำลองประสิทธิภาพการถ่ายน้ำหนักต่อการวิเคราะห์
หน่วยแรงเห็นในผิวทางคอนกรีต

THE EFFECT OF LOAD TRANSFER EFFICIENCY MODELS
ON THE STRESS ANALYSIS IN CONCRETE PAVEMENT



วิทยานิพนธ์นี้เป็นส่วนหนึ่งของการศึกษาตามหลักสูตร
ปริญญาวิศวกรรมศาสตร์มหาบัณฑิต สาขาวิชวกรรมโยธา
คณะวิศวกรรมศาสตร์
มหาวิทยาลัยเทคโนโลยีราชมงคลชั้นนำ
ปีการศึกษา 2558
ถิ่นที่อยู่ของมหาวิทยาลัยเทคโนโลยีราชมงคลชั้นนำ

ผลกระทบของแบบจำลองประสิทธิภาพการถ่ายนำหน้าต่อการวิเคราะห์
หน่วยแรงเห็นในพิษทางคณกรีต



วิทยานิพนธ์นี้เป็นส่วนหนึ่งของการศึกษาตามหลักสูตร
ปริญญาวิศวกรรมศาสตรมหาบัณฑิต สาขาวิศวกรรมโยธา
คณะวิศวกรรมศาสตร์
มหาวิทยาลัยเทคโนโลยีราชมงคลชั้นนำ
ปีการศึกษา 2558
ลิขสิทธิ์ของมหาวิทยาลัยเทคโนโลยีราชมงคลชั้นนำ

หัวข้อวิทยานิพนธ์

ผลกระทบของแบบจำลองประสิทธิภาพการถ่ายน้ำหนักต่อการวิเคราะห์
หน่วยแรงเห็นในผิวทางคอนกรีต

The Effect of Load Transfer Efficiency Models on Stress Analysis in
Concrete Pavement

ชื่อ - นามสกุล

นายวรุณิ สุวรรณมงคล

สาขาวิชา

วิศวกรรมโยธา

อาจารย์ที่ปรึกษา

ผู้ช่วยศาสตราจารย์พุทธพล ทองอินทร์คำ, Dr.-Ing.

ปีการศึกษา

2558

คณะกรรมการสอบวิทยานิพนธ์

ประธานกรรมการ

(อาจารย์จตุพล ตั้งปักษิต, ปร.ด.)

กรรมการ

(อาจารย์รัฐพล สมนา, ปร.ด.)

กรรมการ

(อาจารย์บุญชัย พึงไผ่งาม, ปร.ด.)

กรรมการ

(ผู้ช่วยศาสตราจารย์พุทธพล ทองอินทร์คำ, Dr.-Ing.)

คณะกรรมการศาสตร์ มหาวิทยาลัยเทคโนโลยีราชมงคลล้านนา อนุมัติวิทยานิพนธ์ฉบับนี้
เป็นส่วนหนึ่งของการศึกษาตามหลักสูตรปริญญามหาบัณฑิต

คณบดีคณะวิศวกรรมศาสตร์

(ผู้ช่วยศาสตราจารย์ศิวกร อ่างทอง, Ph.D.)

วันที่ 28 เดือน กรกฎาคม พ.ศ. 2559

หัวข้อวิทยานิพนธ์	ผลกระทบของแบบจำลองประสิทธิภาพการถ่ายน้ำหนักต่อการวิเคราะห์หน่วยแรงเก็บในผิวทางคอนกรีต
ชื่อ - นามสกุล	นายวรุติ สุวรรณมงคล
สาขาวิชา	วิศวกรรมโยธา
อาจารย์ที่ปรึกษา	ผู้ช่วยศาสตราจารย์พุทธพล ทองอินทร์คำ, Dr.-Ing.
ปีการศึกษา	2558

บทคัดย่อ

งานวิจัยนี้ศึกษาผลกระทบของแบบจำลองประสิทธิภาพการถ่ายน้ำหนัก (LTE) ที่แตกต่างกันของแต่ละหน่วยงานในระดับสากล อาทิ AASHTO, FHWA, ACPA, FAA และ Dynatest ต่อการวิเคราะห์หน่วยแรงเก็บเดียวกันในผิวทางคอนกรีตซึ่งสามารถ แบ่งแบบจำลอง LTE_{Δ} ได้เป็น 4 กลุ่ม หลักหน่วยแรงเก็บเดียวกันที่คำนวณ ได้จากแต่ละแบบจำลอง LTE นี้ อาจส่งผลต่อการออกแบบ ซ่อมแซม และแกนท์การประเมินความแข็งแรงที่เกิดขึ้นในผิวทางคอนกรีตได้

ทำการจำลองน้ำหนักรถบรรทุกสิบล้อ 25 ตัน กระทำที่ร้อยต่อวนนคอนกรีตที่ก่อสร้าง จริงในประเทศไทย นำเข้าความหนาชั้นทางของถนนคอนกรีตจากการเจาะสำรวจด้วยเครื่องมือ Bore Scope วิเคราะห์หน่วยแรงเก็บเดียวกันที่ร้อยต่อตามขวางและรอยต่อตามยาวของแผ่นพื้นที่รับน้ำหนัก ร่วมกับแต่ละแบบจำลอง LTE_{Δ} ด้วยโปรแกรมคอมพิวเตอร์ PAVERS ซึ่งพัฒนาขึ้นตามหลักทฤษฎี พื้นฐานของ Westergaard

ผลการศึกษาพบว่าแบบจำลอง LTE_{Δ} กลุ่มที่ 1 ซึ่งเป็นแบบจำลองที่ได้รับความนิยมมากที่สุด โดยใช้อัตราส่วนการแอลกอตัวระหว่างแผ่นพื้นที่ไม่ได้รับน้ำหนักต่อแผ่นพื้นที่รับน้ำหนัก คำนวณค่าหน่วยแรงเก็บเดียวกันมากที่สุดและผลกระทบของแบบจำลอง LTE_{Δ} ทุกกลุ่มต่อการคำนวณ หน่วยแรงเก็บเดียวกันจะมีค่ามากขึ้นเมื่อชั้นทางคอนกรีตมีกำลังรับแรงดัดน้อยและมีความหนานื้อยาง ขณะที่แบบจำลอง LTE_{Δ} กลุ่มที่ 3 และ 4 ซึ่งนำผลทดสอบการแอลกอตัวที่ก่อการแอลกอตัวมาปรับแก้ส่งผล ผลกระทบต่อการวิเคราะห์หน่วยแรงเก็บเดียวกันและ LTE_{σ} อย่างมีนัยสำคัญ นอกจากนี้ทฤษฎีพื้นฐานของ Westergaard ยังไม่เหมาะสมในการหาความสัมพันธ์ระหว่าง LTE_{Δ} กับ LTE_{σ}

คำสำคัญ: ผิวทางแบบแกร่ง ประสิทธิภาพการถ่ายน้ำหนัก แรงเก็บเดียวกัน

Thesis Title	The Effect of Load Transfer Efficiency Models on Stress Analysis in Concrete Pavement
Name - Surname	Mr. Worawoot Suwanmongkon
Program	Civil Engineering
Thesis Advisor	Assistant Professor Puttapon Thongindam, Dr.-Ing.
Academic Year	2015

ABSTRACT

This study investigated the effect of different Load Transfer Efficiency (LTE) models from international units such as AASHTO, FHWA, ACPA, FAA and Dynatest, on flexural stress analysis in rigid pavement. The LTE_{Δ} models were divided into 4 main types. The flexural stress calculated from each LTE model affected the design, maintenance, and strength assessment on concrete pavement.

A jointed concrete pavement loaded by a Thai 10-wheel-truck (25 tons) was simulated. The thickness value of in-service concrete roads was determined by Bore scope equipment. The flexural stress at a transverse joint of the loaded slab with different LTE_{Δ} models was analyzed using the computer program PAVERS, which was based on Westergaard's theory.

The results showed that the highest flexural stress was obtained from type 1 of the LTE_{Δ} model, as calculated by the deflection ratio between unloaded to loaded slabs. The impact of all LTE_{Δ} models on the flexural stress was inversely proportional to the thickness of the concrete slab and low flexural strength of the concrete slab. In addition, the LTE_{Δ} models of type 3 and 4, which was corrected by mid slab deflection testing, could also have significant effects on the flexural stress analysis and LTE_{σ} . Furthermore, Westergaard's theory was not suitable for investigating the correlation between LTE_{Δ} and LTE_{σ} .

Keywords: rigid pavement, load transfer efficiency, flexural stress

กิตติกรรมประกาศ

วิทยานิพนธ์ฉบับนี้สามารถสำเร็จลุล่วงไปได้ด้วยดีจากความช่วยเหลือและการให้คำปรึกษาของผู้ช่วยศาสตราจารย์ ดร.พุทธพล ทองอินทร์ดำ อาจารย์ที่ปรึกษาวิทยานิพนธ์ ขอขอบคุณ ดร.จตุพล ตั้งภาคิต ประธานกรรมการสอบ ดร.บุญชัย 旌 ไพรามกรรมการสอบ และดร.รัฐพล สมนา ผู้ทรงคุณวุฒิ ที่กรุณาให้คำแนะนำในข้อบกพร่องต่างๆ มีผลให้การทำวิทยานิพนธ์ฉบับนี้มีความสมบูรณ์ และมีคุณค่าในองค์ความรู้ทางวิศวกรรม

ขอขอบคุณคณาจารย์ประจำภาควิชาฯ ที่ได้ประสิทธิประสาทวิชา และความรู้ทางวิศวกรรมจนผู้วิจัยสามารถนำมาระบุกตื้อในการศึกษาครั้งนี้ได้สำเร็จลุล่วงด้วยดี

ขอขอบคุณบริษัท เอเชีย เทสติ้ง อิควิปเม้นท์ จำกัด ที่เอื้อเฟื้อข้อมูลผลการเจาะสำรวจภาคสนามด้วยเครื่องมือ Bore Scope หาชั้นความหนาโครงสร้างถนนคอนกรีตและหน่วยวิจัยเทคโนโลยีผิวทางถนนและท่าอากาศยาน (RAPTRE) ภาควิชาฯ คณะวิศวกรรมศาสตร์ มหาวิทยาลัยเทคโนโลยีราชมงคลชั้นนำ ที่เอื้อเฟื้อ-liblithium โปรแกรม PAVERS รวมทั้งข้อมูลที่จำเป็นต่อการศึกษาวิจัย ตลอดจนสิ่งอำนวยความสะดวกและสถานที่ในการศึกษาวิจัยในครั้งนี้

ขอขอบคุณบุคลากร สำนักงานบัณฑิตศึกษา คณะวิศวกรรมศาสตร์ มหาวิทยาลัยเทคโนโลยี ราชมงคลชั้นนำ ที่ให้คำปรึกษาแก่ข้าพเจ้าในทุกเรื่องตลอดช่วงเวลาที่ศึกษาระดับบัณฑิตศึกษา

ขอขอบคุณครอบครัวสุวรรณมงคลและครอบครัวธนรัตน์ ที่ให้ทั้งกำลังกายและเป็นทึ้งกำลังใจตลอดระยะเวลาการศึกษาวิจัยด้วยดีเสมอมา สุดท้ายนี้ผู้วิจัยขอขอบคุณดีและความสำเร็จทั้งหมดนี้ให้แก่ คุณแม่และคุณพ่อที่ล่วงลับ เพื่อน รุ่นพี่และรุ่นน้องที่ให้การสนับสนุนจนทำให้ผู้วิจัยสามารถดำเนินงานวิจัยจนสำเร็จลุล่วงได้ด้วยดี

วรรุตมิ สุวรรณมงคล

สารบัญ

หน้า

บทคัดย่อภาษาไทย.....	(3)
บทคัดย่อภาษาอังกฤษ	(4)
กิตติกรรมประกาศ	(5)
สารบัญ.....	(6)
สารบัญตาราง.....	(8)
สารบัญรูป.....	(9)
บทที่ 1 บทนำ.....	11
1.1 ความเป็นมาและความสำคัญ	11
1.2 วัตถุประสงค์	13
1.3 ขอบเขตการวิจัย	13
1.4 ขั้นตอนการวิจัย	13
1.5 ประโยชน์ที่คาดว่าจะได้รับ.....	14
บทที่ 2 ทฤษฎีและงานวิจัยที่เกี่ยวข้อง.....	15
2.1 โครงสร้างผิวทางถนนคอนกรีต	15
2.2 รอยต่อของผิวทางคอนกรีต	18
2.3 ประสิทธิภาพการถ่ายน้ำหนักของผิวทางคอนกรีต	19
2.4 หน่วยแรงดันดัดที่รอยต่อแผ่นพื้นคอนกรีต	28
2.5 งานวิจัยที่เกี่ยวข้อง.....	31
2.6 โปรแกรมออกแบบและประเมินผิวทาง PAVERS	35
บทที่ 3 วิธีการดำเนินการวิจัย.....	37
3.1 เจาะสำรวจความหนาชั้นทางด้วยเครื่องมือ Bore Scope	39
3.2 จำลองการทดสอบ FWD ด้วยโปรแกรมคอมพิวเตอร์ PAVERS 2.80.....	39
3.3 คำนวนค่า LTE ทั้ง 4 แบบจำลอง	41
3.4 จำลองน้ำหนักบรรทุกรถ 10 ล้อ บนรอยต่อถนนคอนกรีตที่ก่อสร้างจริงในประเทศไทย ด้วยโปรแกรมคอมพิวเตอร์ PAVERS 2.80	41

สารบัญ (ต่อ)

	หน้า
3.5 คำนวณหน่วยแรงเก็บดักจากรอบรัฐก 10 ล้อ หนัก 25 ตัน ร่วมกับแต่ละแบบจำลอง LTE ด้วยโปรแกรมคอมพิวเตอร์ PAVERS 2.80	43
3.6 วิเคราะห์และสรุปผลกระทบของหน่วยแรงเก็บดักและ LTE _σ จากแต่ละแบบจำลอง LTE	44
บทที่ 4 ผลการศึกษาและการวิเคราะห์	45
4.1 เจาะสำรวจความหนาชั้นทางด้วยเครื่องมือ Bore Scope	45
4.2 ผลจำลองการทดสอบ FWD ด้วยคอมพิวเตอร์ PAVERS	46
4.3 ผลการคำนวณค่า LTE	47
4.4 ผลการคำนวณค่าหน่วยแรงเก็บดักจากรอบรัฐก 10 ล้อ กับ LTE	49
4.5 ผลการคำนวณหน่วยแรงเก็บดักและวิเคราะห์ LTE _σ	52
บทที่ 5 สรุปผลการศึกษาและข้อเสนอแนะ	59
5.1 สรุปผลการศึกษา	59
5.2 ข้อเสนอแนะ	60
บรรณานุกรม	61
ภาคผนวก	65
ภาคผนวก ก. ผลการวิเคราะห์ด้วยโปรแกรม PAVER 2.80	66
ภาคผนวก ข. ผลงานตีพิมพ์เผยแพร่	127
ประวัติผู้เขียน	141

สารบัญตาราง

หน้า

ตารางที่ 2.1 แบบจำลอง LTE ตามข้อแนะนำหรือมาตรฐานของหน่วยงานในระดับสากล	28
ตารางที่ 3.1 ค่าอีเลาสติกโมดูลัส (E) โดยทั่วไปของวัสดุชั้นทางตามข้อแนะนำของ AASHTO	40
ตารางที่ 3.2 ตารางกำหนดค่า d_u และ d_i เพื่อแบ่งเกณฑ์และคำนวณค่า LTE	41
ตารางที่ 3.3 พิกัดกลุ่มล็อกหลังรอกสิบล็อกที่นำเข้าในโปรแกรม PAVERS	43
ตารางที่ 4.1 ผลเจาะสำรวจชั้นความหนาสายทางสร้างบูรี–หนองแಡ (SN) และปทุมธานี–ชนบูรี (PT)	46
ตารางที่ 4.2 แสดงผลจำลองการทดสอบ FWD และคำนวณค่า B	46
ตารางที่ 4.3 ผลการคำนวณ LTE ของสายทาง SN และ PT	47
ตารางที่ 4.4 ผลการคำนวณหน่วยแรงเห็นด้ดและวิเคราะห์ LTE_{σ} สายทาง SN (Transverse Joint)	52
ตารางที่ 4.5 ผลการคำนวณหน่วยแรงเห็นด้ดและวิเคราะห์ LTE_{σ} สายทาง SN (Longitudinal Joint)	53
ตารางที่ 4.6 ผลการคำนวณหน่วยแรงเห็นด้ดและวิเคราะห์ LTE_{σ} สายทาง PT (Transverse Joint)	53
ตารางที่ 4.7 ผลการคำนวณหน่วยแรงเห็นด้ดและวิเคราะห์ LTE_{σ} สายทาง PT (Longitudinal Joint)	53

สารบัญ

หน้า

รูปที่ 1.1 แสดงการทดสอบ LTE ด้วยเครื่องมือ HWD แบบหนักของผิวทางسانามบิน	12
รูปที่ 2.1 ส่วนประกอบของผิวทาง JRCP	16
รูปที่ 2.2 ส่วนประกอบของผิวทาง JRCP	17
รูปที่ 2.3 รายละเอียดรอยต่อประเภทต่างๆ ของผิวทางคอนกรีต	18
รูปที่ 2.4 การถ่ายน้ำหนักบริเวณรอยต่อเมื่อมีน้ำหนักกระทำ	20
รูปที่ 2.5 ความเสียหายจากการแตกหักที่มุ่งแผล (ช้ำ) การแตกหักคร่อนที่รอยต่อตามขวาง (ขวา)..	21
รูปที่ 2.6 ความเสียหายจากการดึงหรือโก่งดัว (ช้ำ) การทรุดดัวที่ไม่เท่ากันของรอยต่อ (ขวา).....	21
รูปที่ 2.7 การทดสอบ LTE ด้วยเครื่องมือ NDT ที่รอยต่อแผ่น	22
รูปที่ 2.8 การทดสอบ LTE ด้วยเครื่องมือ NDT ที่กลางแผ่น	23
รูปที่ 2.9 เกณฑ์การประเมินผลทดสอบ LTE ของ FAA	24
รูปที่ 2.10 ตัวอย่างภาพแสดงความสัมพันธ์ระหว่าง LTE_1 และ LTE_σ ของ FAA	27
รูปที่ 2.11 ตำแหน่งที่น้ำหนักกระทำบนแผ่นพื้นตามทฤษฎี Westergaard	28
รูปที่ 2.12 เปรียบเทียบแบบจำลอง LTE_1 และ LTE_2 ของ Datrlor และ Teller.....	31
รูปที่ 2.13 ผลกระทบ LTE ต่อการคำนวนหน่วยแรงเกินดัดของทางผิวคอนกรีตسانามบิน	32
รูปที่ 2.14 ตัวอย่างการใช้งานโปรแกรมคอมพิวเตอร์ PAVERS	36
รูปที่ 3.1 แผนผังขั้นตอนปฏิบัติงานวิจัย.....	38
รูปที่ 3.2 เครื่องมือเจาะและสำรวจ Bore Scope	39
รูปที่ 3.3 จำลองการทดสอบ MID Slab ด้วยเครื่องมือ FWD โดยใช้โปรแกรมคอมพิวเตอร์ PAVERS	40
รูปที่ 3.4 มิติและความยาวของรอบบรรทุก 10 ล้อหนัก 25 ตัน.....	42
รูปที่ 3.5 ตำแหน่งพิกัดกลุ่มล้อรอบบรรทุก 10 ล้อ ที่ป้อนเข้าในโปรแกรม PAVERS.....	42
รูปที่ 3.6 แบบจำลองคำนวนหน่วยแรงเกินดัดที่รอยต่อตามขวางร่วมกับแต่ละแบบจำลอง LTE ด้วย โปรแกรมคอมพิวเตอร์ PAVERS	43
รูปที่ 3.7 แบบจำลองคำนวนหน่วยแรงเกินดัดที่รอยต่อตามขวางร่วมกับแต่ละแบบจำลอง LTE ด้วย โปรแกรมคอมพิวเตอร์ PAVERS.....	44

สารบัญรูป (ต่อ)

หน้า

รูปที่ 4.1 เจาะสำรวจความหนาชั้นทางถนนคอนกรีตสายทางสระน้ำรี – หนองแಡ (SN).....	45
รูปที่ 4.2 เจาะสำรวจความหนาชั้นทางถนนคอนกรีตสายทางปทุมธานี – ชนบุรี (PT).....	45
รูปที่ 4.3 กราฟแสดงผลการคำนวณของ LTE ทั้ง 4 แบบจำลองในสายทาง SN	48
รูปที่ 4.4 กราฟแสดงผลการคำนวณของ LTE ทั้ง 4 แบบจำลองในสายทาง PT.....	48
รูปที่ 4.5 กราฟแสดงความสัมพันธ์ระหว่างหน่วยแรงเค้นดัดที่รอยต่อตามขวางกับแบบจำลอง LTE ของสายทาง SN.....	50
รูปที่ 4.6 กราฟแสดงความสัมพันธ์ระหว่างหน่วยแรงเค้นดัดที่รอยต่อตามขวางกับแบบจำลอง LTE ของ สายทาง SN.....	50
รูปที่ 4.7 กราฟแสดงความสัมพันธ์ระหว่างหน่วยแรงเค้นดัดที่รอยต่อตามขวางกับแบบจำลอง LTE ของสายทาง PT.....	51
รูปที่ 4.8 กราฟแสดงความสัมพันธ์ระหว่างหน่วยแรงเค้นดัดที่รอยต่อตามขวางกับแบบจำลอง LTE ของ สายทาง PT.....	51
รูปที่ 4.9 กราฟแสดงความสัมพันธ์ระหว่าง LTE_{Δ} กับ LTE_{σ} รอยต่อตามขวางของสายทาง SN.....	54
รูปที่ 4.10 กราฟแสดงความสัมพันธ์ระหว่าง LTE_{Δ} กับ LTE_{σ} รอยต่อตามขวางของสายทาง SN	55
รูปที่ 4.11 กราฟแสดงความสัมพันธ์ระหว่าง LTE_{Δ} กับ LTE_{σ} รอยต่อตามขวางของสายทาง PT	55
รูปที่ 4.12 กราฟแสดงความสัมพันธ์ระหว่าง LTE_{Δ} กับ LTE_{σ} รอยต่อตามขวางของสายทาง PT.....	56
รูปที่ 4.13 กราฟแสดงความสัมพันธ์ระหว่าง Y กับ LTE_{σ} ที่รอยต่อตามขวางของสายทาง SN	57
รูปที่ 4.14 กราฟแสดงความสัมพันธ์ระหว่าง Y กับ LTE_{σ} ที่รอยต่อตามขวางของสายทาง SN.....	57
รูปที่ 4.15 กราฟแสดงความสัมพันธ์ระหว่าง Y กับ LTE_{σ} ที่รอยต่อตามขวางของสายทาง PT	58
รูปที่ 4.16 กราฟแสดงความสัมพันธ์ระหว่าง Y กับ LTE_{σ} ที่รอยต่อตามขวางของสายทาง PT	58

บทที่ 1

บทนำ

1.1 ความเป็นมาและความสำคัญ

ผิวทางแบบแกร่ง (Rigid Pavement) หรือเรียกสั้นๆ ว่า “ผิวทางคอนกรีต (Concrete Pavement)” เป็นโครงสร้างผิวทางที่มีความแกร่งสูง ถูกออกแบบให้รองรับน้ำหนักบรรทุกได้มากและมีอายุการใช้งานที่ยาวนาน โดยเฉพาะอย่างยิ่งหากมีการซ่อมบำรุงและดูแลรักษาอย่างถูกต้อง จะยังทำให้มีอายุการใช้งานที่ยาวนานหลายสิบปีในปัจจุบันผิวทางคอนกรีตถูกใช้งานอย่างแพร่หลาย เช่น ถนน ทางหลวง ถนนจอดรถ ถนนจอดเครื่องบิน ถนนส่งสินค้าในท่าเรือ หรือถนนกองเก็บสินค้าในงานอุตสาหกรรม เป็นต้น ทั้งนี้ผิวทางคอนกรีตมักถูกออกแบบให้มีรอยต่อเพื่อความคุ้มครองร้าว ลดหน่วยแรงเห็น (Stress) ที่เกิดขึ้นอันเนื่องมาจากการเปลี่ยนแปลงของอุณหภูมิ ซึ่งรอยต่อนี้ต้องถูกออกแบบให้มีประสิทธิภาพในการถ่ายน้ำหนักข้ามแผ่นได้ (Load Transfer Efficiency, LTE) โดยใช้หลักทางกลศาสตร์ในการถ่ายเทน้ำหนักไปสู่แผ่นข้างเคียง เช่น การขัดเหลี่ยมของวัสดุ (Grain Interlock) การใช้เหล็กเดือยบีดรั้ง (Dowel Bar) และการใช้ฐานรองรับที่เสริมความแข็งแรง (Stabilized Subbase) เป็นต้น แต่อย่างไรก็ตามรอยต่อของผิวทางคอนกรีตนี้กลับกลายเป็นจุดอ่อนและเป็นตำแหน่งที่เกิดความเสียหายมากที่สุด [1, 2] เช่น รอยแตกร้าว (Cracking) รอยแตกหัก (Breaking) โพรงใต้แผ่นพื้น (Void) การทรุดตัวที่ต่างกันของรอยต่อแผ่น (Faulting) เป็นต้น ซึ่งความเสียหายเหล่านี้อาจส่งผลต่อเนื่องถูกตามมาจนทำให้ผิวทางคอนกรีตมีอายุการใช้งานสั้นลงได้

ในการประเมินสภาพความแข็งแรงของผิวทางคอนกรีต LTE เป็นหนึ่งในหัวข้อหลักที่ต้องประเมินร่วมกับการทดสอบกำลังรับน้ำหนัก (Bearing Capacity) และการตรวจสอบสภาพโพรงใต้แผ่นพื้น (Void Detection) [1] เนื่องจาก LTE ที่ไม่ดีจะเหนี่ยวแน่ให้เกิดความเสียหายที่ร้ายแรงต่อมา กิ่งขึ้น เร่งการเกิดรอยแตกหัก การทรุดตัวที่ไม่เท่ากันให้มากยิ่งขึ้น [3] ซึ่งความเสียหายเหล่านี้นอกจากจะส่งผลกระทบในส่วนของโครงสร้างโดยตรงแล้วยังส่งผลให้คุณภาพในการขับขี่ลดลง เสี่ยงต่อการเกิดอุบัติเหตุ ได้แก่ ดังนั้นหลายหน่วยงานด้านงานทางถนน ภาคชานและหน่วยงานเอกชนที่เชี่ยวชาญด้านงานผิวทางในระดับสากล อาทิ American Association of State Highway Officials (AASHTO), Federal Highway Administration (FHWA), American Concrete Pavement Association (ACPA), Federal Aviation Administration (FAA) และ Dynatest เป็นต้น จึงได้จัดตั้งข้อกำหนดหรือ ข้อแนะนำในการทดสอบและแบบจำลองการวิเคราะห์ LTE เพื่อใช้ในการประเมิน ความแข็งแรงของผิวทางคอนกรีต ซึ่งแต่ละหน่วยงานดังกล่าว ต่างก็มีรายละเอียดของ LTE ที่แตกต่างกันและอาจส่งผล

ให้การวิเคราะห์หน่วยแรงเค้นหรือการนำไปประยุกต์ใช้ต่อเนื่องถึงการประเมินความแข็งแรงอายุการใช้งานที่เหลืออยู่มีความแตกต่างกันไปด้วย

ในปัจจุบันหน่วยงานด้านงานทางข้างต้นนิยมทดสอบและประเมิน LTE ด้วยค่าการแอลตัว (Deflection LTE, LTE_Δ) [3] ด้วยเครื่องมือทดสอบแบบไม่ทำลาย (Non-Destructive Device) เช่น เครื่องมือทดสอบค่าการแอลตัวด้วยลูกตุ้มกระแทก (Falling Weight Deflectometer, FWD) เครื่องมือทดสอบค่าการแอลตัวด้วยลูกตุ้มกระแทกแบบหนัก (Heavy Falling Weight Deflectometer, HWD) เครื่อง Dynaflect เป็นต้น รูปที่ 1.1 แสดงการทดสอบ LTE ด้วยเครื่องมือ HWD วัดค่าการแอลตัวที่รอยต่อของถนนบิน ทั้งนี้ค่าการแอลตัวจะถูกนำมาไปใช้ในการวิเคราะห์ LTE เพื่อประเมินความแข็งแรงของผิวทางคอนกรีต แต่เนื่องจากมีหลายหน่วยงานและหลายแบบจำลอง LTE ดังนั้นงานวิจัยนี้จึงเน้นที่การศึกษา วิเคราะห์ผลกระทบของหน่วยแรงเค้นดัด (Flexural Stress) ที่เกิดขึ้นในผิวทางคอนกรีตจากแต่ละแบบจำลอง LTE



รูปที่ 1.1 แสดงการทดสอบ LTE ด้วยเครื่องมือ HWD แบบหนักของผิวทางถนนบิน

โดยในงานวิจัยนี้ทำการจำลองน้ำหนักรถสิบล้อ 25 ตันกระทำที่รอยต่อของถนนคอนกรีตที่ก่อสร้างจริงในประเทศไทยด้วยโปรแกรมคอมพิวเตอร์ PAVERS ซึ่งเป็นโปรแกรมที่ใช้ในการวิเคราะห์ ประเมินและออกแบบผิวทาง [4] นำเข้าค่าความหนาของชั้นทางจากการเจาะสำรวจด้วยเครื่องมือเจาะสำรวจ (Bore Scope) วิเคราะห์หน่วยแรงเค้นดัดที่รอยต่อหรือขอบแผ่นพื้นตามหลัก

ทฤษฎีพื้นฐานของ Westergaard ผลการศึกษาที่ได้จะเป็นข้อมูลสำหรับการเลือกใช้งานแบบจำลอง LTE ให้มีความเหมาะสมและมีประสิทธิภาพในการประเมินความแข็งแรงของโครงสร้างผิวทางให้มากยิ่งขึ้น

1.2 วัตถุประสงค์

- 1.2.1 เพื่อศึกษาพฤติกรรมการถ่ายน้ำหนักของรอยต่อผิวทางคอนกรีต
- 1.2.2 เพื่อศึกษาหน่วยแรงเค้นดัดที่เกิดขึ้นที่รอยต่อในผิวทางคอนกรีต
- 1.2.3 เพื่อศึกษามาตรฐาน ข้อแนะนำในการทดสอบและแบบจำลองในการวิเคราะห์ LTE ของแต่ละหน่วยงานด้านงานทางในระดับสากล
- 1.2.4 เพื่อศึกษาผลกระทบของแบบจำลอง LTE ต่อหน่วยแรงเค้นที่เกิดขึ้นในผิวทางคอนกรีต

1.3 ขอบเขตการวิจัย

- 1.3.1 ใช้ทฤษฎีพื้นฐานของ Westergaard ในการคำนวณหน่วยแรงเค้นดัดที่เกิดขึ้นในรอยต่อผิวทางคอนกรีต
- 1.3.2 ใช้แบบจำลอง LTE (Deflection) ของหน่วยงาน AASHTO, FHWA, ACPA, FAA และ Dynatest ในการวิเคราะห์
- 1.3.3 กำหนดให้ใช้รถสิบล้อหนัก 25 ตันกระทำที่รอยต่อบนของถนนคอนกรีตที่ก่อสร้างจริงในประเทศไทย
- 1.3.4 ไม่คำนึงถึงผลกระทบที่เกิดจากความเปลี่ยนแปลงของอุณหภูมิที่ในผิวทางคอนกรีต
- 1.3.5 ใช้โปรแกรมคอมพิวเตอร์ PAVERS รุ่น 2.80 จำลองการทดสอบการแอล์ตัวด้วยเครื่องมือ FWD

1.4 ขั้นตอนการวิจัย

- 1.4.1 ศึกษารอบรวมเอกสารทางทฤษฎีและงานวิจัยที่เกี่ยวข้อง
- 1.4.2 จัดกลุ่มแบบจำลอง LTE จากแต่ละหน่วยงาน
- 1.4.3 เจาะสำรวจความหนาชั้นทางของถนนคอนกรีตที่ก่อสร้างจริงในประเทศไทยด้วยเครื่องมือเจาะสำรวจ (Bore Scope)

1.4.4 จำลองการทดสอบการแอ่นตัวด้วยเครื่องมือ FWD โดยใช้โปรแกรม PAVERS รุ่น 2.80

1.4.5 นำค่าการแอ่นตัวที่ได้มาคำนวนและวิเคราะห์ LTE (Deflection) ของแต่ละหน่วยงาน

1.4.6 วิเคราะห์ผลผลกระทบของหน่วยแรงเห็นด้ดที่เกิดขึ้นจากแต่ละแบบจำลอง LTE

1.4.7 สรุปผลที่ได้จากการศึกษา

1.4.8 จัดทำฐานข้อมูลวิทยานิพนธ์ และตีพิมพ์งานวิจัยเผยแพร่ในงานประชุมวิชาการหรือ
วารสารวิชาการ

1.5 ประโยชน์ที่คาดว่าจะได้รับ

1.5.1 ทราบถึงพัฒนาระบบการถ่ายนำหน้าหนักและการวิเคราะห์หน่วยแรงเห็นที่รอยต่อในผิวทางคอนกรีต

1.5.2 ทราบถึงมาตรฐาน ข้อแนะนำในการทดสอบและแบบจำลองในการวิเคราะห์ LTE ของแต่ละหน่วยงานด้านงานทางในระดับสากล

1.5.3 ทราบถึงผลกระทบ LTE ต่อหน่วยแรงเห็นด้ดที่รอยต่อในผิวทางคอนกรีต

1.5.4 สามารถเลือกใช้งานแบบจำลอง LTE ให้มีความเหมาะสมและมีประสิทธิภาพในการประเมินความแข็งแรงของโครงสร้างผิวทางให้มากยิ่งขึ้น

บทที่ 2

ทฤษฎีและงานวิจัยที่เกี่ยวข้อง

2.1 โครงสร้างผิวทางถนนคอนกรีต

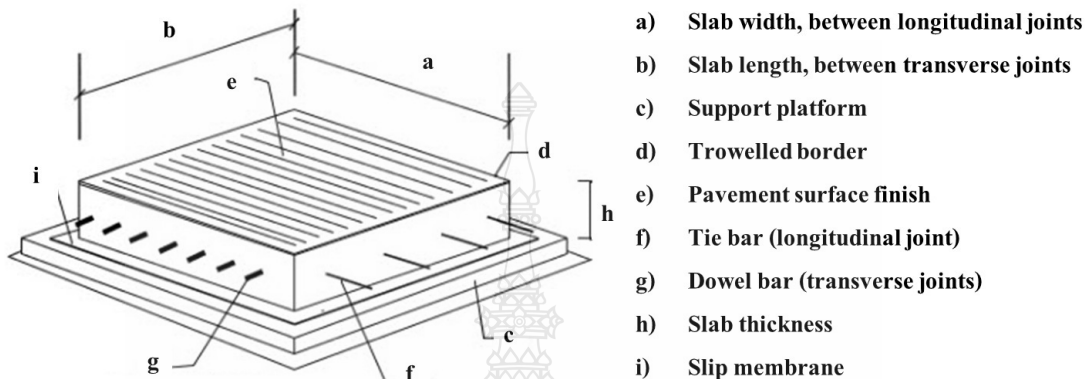
โครงสร้างผิวทางคอนกรีตถูกใช้งานเป็นครั้งแรกในปี ค.ศ. 1893 ที่รัฐโอไฮโอ ประเทศสหราชอาณาจักร อเมริกา โดยมีแนวความคิดจากความต้องการพัฒนาผิวทางให้ดีขึ้น [4] จากนั้นผิวทางคอนกรีตเริ่มมีการใช้งานอย่างแพร่หลายและใช้งานมากขึ้นช่วงยุคสังคมโลก มีการสร้างเส้นทางถนนขึ้นมาก many เพื่อใช้สำหรับการขนส่งเสบียง อาวุธและกำลังพล โดยเฉพาะอย่างยิ่งมีการพัฒนาผิวทางคอนกรีตสำหรับงานสนามบิน [5] จากจุดเริ่มต้นดังกล่าวส่งผลให้ความรู้และประสบการณ์ด้านงานวิศวกรรมผิวทางคอนกรีตถูกพัฒนาเรื่อยมาจนถึงปัจจุบัน สำหรับในประเทศไทยได้ก่อสร้างถนนคอนกรีตสายแรกเมื่อปี พ.ศ. 2507 คือถนนพหลโยธิน ช่วงอนุสาวรีย์ชัยถึงลาดพร้าวมีระยะทาง 6 กม. และปัจจุบันนี้ เฉพาะกรมทางหลวงมีถนนคอนกรีตในการดูแลเป็นระยะทางกว่า 4,000 กม. ซึ่งส่วนใหญ่เป็นถนนคอนกรีตเสริมเหล็กแบบมีรอยต่อ [6]

โดยส่วนใหญ่แล้วผิวทางคอนกรีตมักถูกใช้ในงานถนน ทางหลวง แต่ผิวทางคอนกรีตที่ยังถูกนำไปใช้ในงานประเภทอื่นอีก อย่างเช่น ลานจอดรถ ลานจอดเครื่องบิน ลานส่งสินค้าในท่าเรือ หรือลานกองเก็บสินค้าในงานอุตสาหกรรม เป็นต้น เนื่องจากผิวทางประเภทนี้สามารถรองรับปริมาณงานจราจรและน้ำหนักบรรทุก ได้ดี รับน้ำหนักกระทำได้มากกว่าผิวทางแบบยืดหยุ่น (Flexible Pavement) โดยเฉพาะอย่างยิ่งหากมีการบำรุงรักษาที่ดีจะยิ่งมีอายุการใช้งานที่ยาวนาน [6] ทั้งนี้ระบบโครงสร้างของผิวทางคอนกรีตโดยทั่วไปจะประกอบด้วยฐานดินรองรับ ซึ่งจะมีชั้นพื้นทาง (Base Course) หรือไม่มีก็ได้ และเมื่อมีน้ำหนักจากยานพาหนะมากระทำ ผิวคอนกรีตจะเป็นโครงสร้างหลักที่รับกำลังจากยานพาหนะ โดยตรง ซึ่งโดยทั่วไปแบ่งผิวทางคอนกรีตได้เป็น 3 ประเภทหลัก คือ ผิวทางคอนกรีตไม่เสริมเหล็ก (Jointed Plain (Unreinforced) Concrete Pavement, JPCP) ผิวทางคอนกรีตเสริมเหล็กแบบมีรอยต่อ (Jointed Reinforced Concrete Pavement, JRCP) และผิวทางคอนกรีตเสริมเหล็กแบบไม่มีรอยต่อ (Continuously Reinforced Concrete Pavement, CRCP) [7, 9] มีรายละเอียดดังนี้

2.1.1 ผิวทางคอนกรีตไม่เสริมเหล็ก (Joint Plain (Unreinforced) Concrete Pavement, JPCP)

เป็นโครงสร้างผิวทางคอนกรีตอย่าง่ายๆ ทางผิวคอนกรีตอยู่บนฐานรองรับโดยไม่ต้องมีการใส่เหล็กเสริมเพื่อป้องกันการแตกร้าวจากอุณหภูมิแสดงดังรูปที่ 2.1 นิยมใช้เหล็กเดียวและการ

ขัดเหลี่ยมประسانในการถ่ายน้ำหนัก [3, 8] โดยทั่วไปโครงสร้างผิวทาง JPCP มีขนาดแผ่นคอนกรีต กว้าง-ยาวไม่เกิน 5 ถึง 6 m. ความเสียหายที่เกิดขึ้นในผิวทางประเภทนี้ที่พบเห็นได้บ่อยคือ การหักที่มุม (Corner Break) [9]



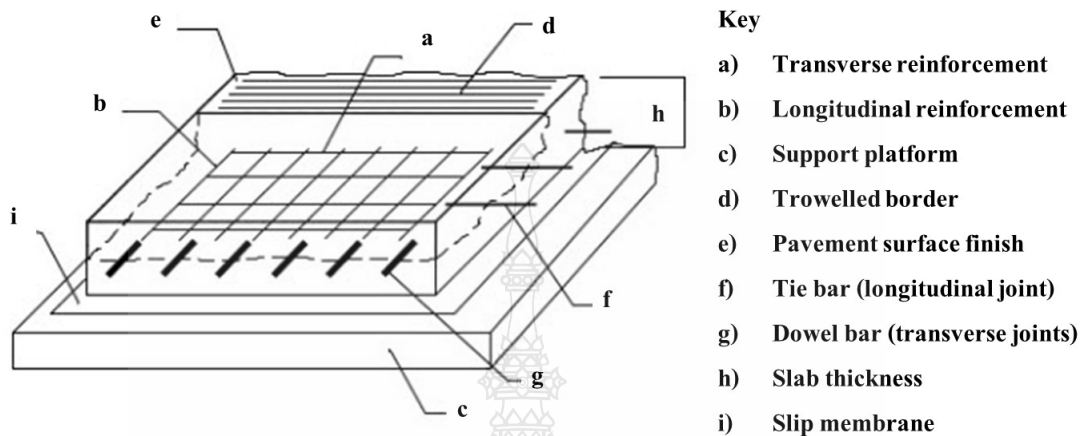
รูปที่ 2.1 ส่วนประกอบของผิวทาง JRCP [9]

2.1.2 ผิวทางคอนกรีตเสริมเหล็กแบบมีรอยต่อ (Jointed Reinforced Concrete Pavement, JRCP)

ผิวทางประเภทนี้นิยมใช้งานมากที่สุดในประเทศไทย [1] มีลักษณะเหมือนผิวทาง JPCP เพียงแต่มีการใส่เหล็กเสริมดังรูปที่ 2.2 ซึ่งเหล็กเสริมนี้ทำหน้าที่รับหน่วยแรงเกิดจากการเปลี่ยนแปลงของอุณหภูมิ (Temperature Stress) การเสริมเหล็กทำให้รอยต่อมีระยะห่างมากกว่าผิวทางคอนกรีตแบบ JPCP มีความยาวแผ่นประมาณ 10 ถึง 12 m. ข้อเสียเบริญของผิวทางประเภทนี้คือ แผ่นคอนกรีตมีความยาว จึงต้องมีการออกแบบรอยต่อให้เพียงพอ รองรับหน่วยแรงเกิดจากการเปลี่ยนแปลงของอุณหภูมิ อีกทั้งการเคลื่อนที่ (Movement) ของแผ่นคอนกรีตเนื่องจากอุณหภูมิยัง ส่งผลให้ช่องว่างที่รอยต่อ (Joint Opening) มีความกว้างมากขึ้นอีกด้วย ส่งผลให้ต้องออกแบบเหล็ก เดือยให้มีขนาดใหญ่ขึ้นเพื่อถ่ายเทน้ำหนักจากยานพาหนะ ได้เพียงพอและต้องมีวัสดุอุดรอยต่อ (Joint Sealant) ที่ดีเพื่อป้องกันเศษส่วนเข้าไปปัดภายในช่องว่างนี้ได้

ปัญหาของผิวทาง JRCP จะมีลักษณะใกล้เคียงกับผิวทาง JPCP คือ รอยแตกหรือหักทั้งนี้ผิวทาง JRCP มากจะเกิดรอยแตกที่กลางแผ่น (Mid-Panel Crack) ยิ่งระยะห่างของรอยต่อตามยาว มีมากเท่าไร ยิ่งส่งผลให้เกิดรอยแตกที่กลางแผ่น ได้ง่ายขึ้นเท่านั้น ทั้งนี้หากวัสดุอุดรอยต่อหลุดร่อน

ออกไปจนกระทั่งมีเศษวัสดุเข้าไปอุดหรือขัดภายในช่องว่างนี้ได้ อาจจะส่งผลให้รอยต่อหรือชั้นรองรับเสียหายได้ เนื่องจากแผ่นพื้นไม่สามารถหดหรือขยายตัวได้เต็มที่ [9]



รูปที่ 2.2 ส่วนประกอบของผิวทาง JRCP [9]

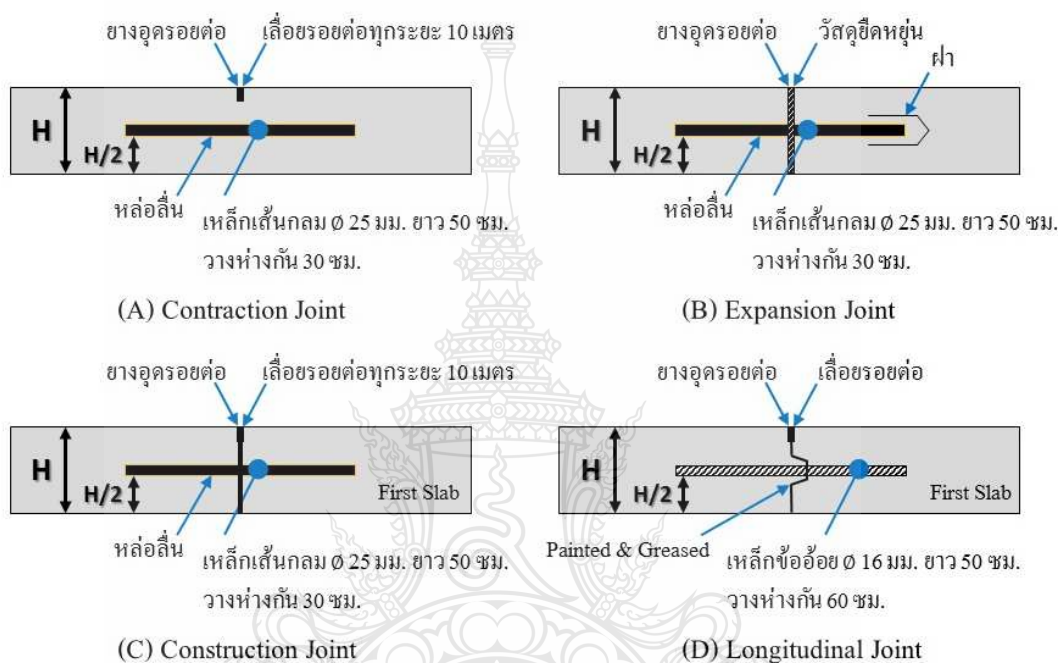
2.1.3 ผิวทางคอนกรีตเสริมเหล็กแบบไม่มีรอยต่อ (Continuously Reinforced Concrete Pavement, CRCP)

ผิวทางประเภทนี้นิยมใช้อย่างแพร่หลายในต่างประเทศโดยเฉพาะงานในระดับโครงการ (Project) เช่น ทางหลวงในยุโรปตะวันตกหรือทางวิ่ง (Runway) ของสนามบินขอห์น เลนน่อน เมืองลิเวอร์พูล ประเทศอังกฤษ ข้อดีของผิวทางคอนกรีตประเภทนี้คือก่อสร้างง่ายและประหยัดมากเปรียบเทียบกับผิวทาง JPCP และ JRCP เพราะไม่ต้องมีค่าใช้จ่ายในการทำรอยต่อ แต่ข้อสำคัญของผิวทางประเภทนี้คือต้องมีการออกแบบและเลือกใช้วัสดุที่มีประสิทธิภาพ รวมไปถึงต้องมีขั้นตอนการดูแลรักษาที่ดีอยู่เสมอ ความเสียหายที่เกิดขึ้นของผิวทางประเภทนี้คือ การแตกหัก (Punch Out) การหลุดร่อน (Spalling) และความเสียหายของเหล็กเสริมซึ่งทำให้รอยแตกที่ถูกความคุณไม่มีความกว้างมากขึ้น [9]

นอกจากนี้ยังมีผิวทางคอนกรีตประเภทอื่นอีกที่เป็นทางเลือก เช่น การใส่เส้นใยเหล็ก (Steel Fiber) หรือผิวทางที่มีการใส่ลวดอัดแรงในคอนกรีตหรือที่เรียกว่า ผิวทางคอนกรีตอัดแรง (Pre-Stress Concrete Pavement) ซึ่งผิวทางประเภทนี้ยังไม่มีการใช้งานในประเทศไทย [6]

2.2 รอยต่อของผิวทางคอนกรีต

รอยต่อของผิวทางคอนกรีตทำหน้าที่การควบคุมการแตกร้าวตามธรรมชาติ ซึ่งรอยต่อบังช่วยลดหน่วงแรงเห็นที่เกิดขึ้นในผิวทางคอนกรีต โดยทั่วไปแบ่งรอยต่อตามประเภทการใช้งานได้ 4 ประเภทหลักดังนี้ [7, 8] และแสดงรายละเอียดดังรูปที่ 2.3



รูปที่ 2.3 รายละเอียดรอยต่อประเภทต่างๆ ของผิวทางคอนกรีต [8]

2.2.1 รอยต่อตามยาวเพื่อการหดตัว (Transverse Contraction Joint)

ทำหน้าที่ควบคุมการแตกร้าวของแผ่นคอนกรีตเนื่องจากการหดตัว ใช้เหล็กเดือยหรือการขัดเหลี่ยมประสานในการถ่ายน้ำหนัก มีการตัดเช่าร่องเพื่อกำหนดแนวแตกของแผ่นให้เป็นระเบียบและใช้วัสดุอุดร่องรอยต่อเพื่อป้องกันน้ำหรือเศษวัสดุเข้าไปในรอยต่อ

2.2.2 รอยต่อตามยาวเพื่อการขยายตัว (Transverse Expansion Joint)

ทำหน้าที่รองรับการขยายตัวของแผ่นคอนกรีต มีระยะห่างระหว่างรอยต่อประมาณ 100 – 150 ม. ซึ่งว่างระหว่างรอยต่อจะมีมากกว่าร้อยต่อเพื่อการหดตัว ในกรณีที่ใช้เหล็กเดือยในการถ่ายน้ำหนักด้านหนึ่งจำเป็นต้องมีหมวกครอบ (Dowel Cap) เพื่อให้เหล็กเดือยเคลื่อนตัวในแนวราบได้อย่างอิสระ รอยต่อประเภทนี้หากการก่อสร้างไม่ดีจะส่งผลให้เกิดความเสียหายอย่างมาก

เช่น การหลุดร่อน การอัดทะลัก (Pumping) ของมวลอะเอียดใต้รอยต่อ การทรุดตัวที่ต่างกันที่รอยต่อ และที่สำคัญคือเกิดการคุ่งหรือโถงตัว (Blow up) เนื่องจากการขยายตัวของแผ่นคอนกรีต [8] ในบางรัฐของประเทศสหรัฐอเมริกา ได้ยกเลิกรอยต่อประเภทนี้ไปแล้วเนื่องจากความเสียหายข้างต้น [9]

2.2.3 รอยต่อตามยาว (Longitudinal Joint)

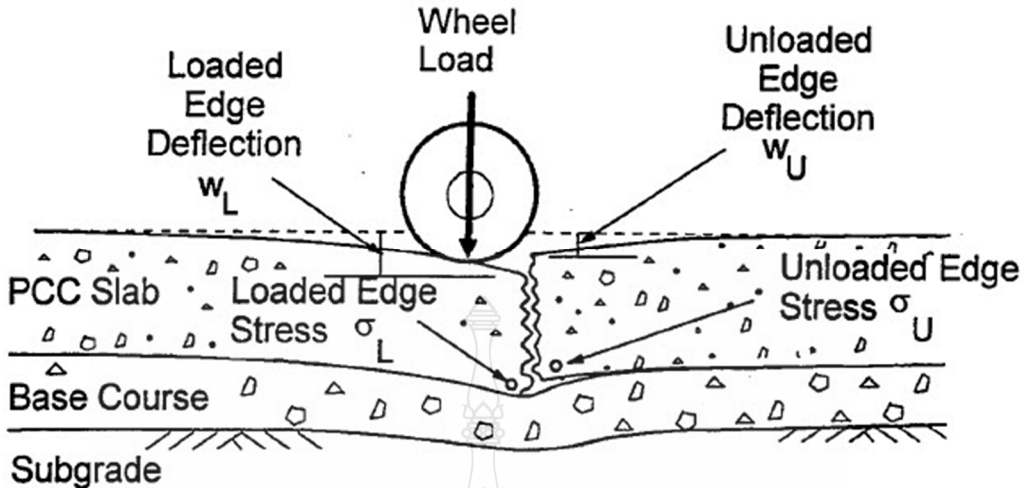
เป็นรอยต่อที่ขนานไปตามความยาวของผิวทาง ทำหน้าที่แบ่งความกว้างของแผ่นโดยทั่วไปจะใช้เหล็กยึด (Tie bar) เพื่อรักษาให้แผ่นคอนกรีตแยกออกจากกัน

2.2.4 รอยต่อเพื่อการก่อสร้าง (Construction Joint)

เป็นรอยต่อสำหรับการก่อสร้าง เช่น รอยต่อเพื่อหยุดการทำงาน หยุดเทคโนโลยี หรือรอยต่อที่เกิดจากทางโถง ทางแยก เป็นต้น ปกติแล้วในการก่อสร้างมักจะกำหนดให้เป็นตำแหน่งเดียวกับรอยต่อตามยาว

2.3 ประสิทธิภาพการถ่ายน้ำหนักของผิวทางคอนกรีต

โดยทั่วไปแล้วรอยต่อของผิวทางคอนกรีตจะใช้วัสดุหรืออุปกรณ์ทางกล 3 ชนิดคือ การขัดเหล็กประisan เหล็กเดือย และชั้นฐานรองรับที่ได้รับการปรับปรุงคุณภาพ ซึ่งจะใช้ชนิดใดชนิดหนึ่ง หรือใช้ร่วมกันก็ได้ในการถ่ายน้ำหนักข้ามแผ่น ทั้งนี้ เมื่อมีน้ำหนักจากยานพาหนะจะทำการทับบนผิวทาง คอนกรีตแบบมีรอยต่อ แผ่นที่ได้รับน้ำหนัก (Loaded Slab) จะถ่ายเทหาน้ำหนักและเกิดการแอบนตัวข้ามไปสู่แผ่นที่ไม่ได้รับน้ำหนัก (Unloaded Slab) ซึ่งอยู่ติดกัน แสดงดังรูปที่ 2.4 ซึ่งรอยต่อนี้เป็นจุดอ่อนที่มีโอกาสพัฒนาไปสู่ความเสียหายแบบต่างๆ ในผิวทางคอนกรีตได้ [3, 10, 12] ความสามารถทั้งระบบในการถ่ายน้ำหนักไปสู่แผ่นข้างเคียง เรียก ประสิทธิภาพในการถ่ายน้ำหนัก (Load Transfer Efficiency, LTE) ซึ่งหากรอยต่อมี LTE ที่ไม่ดีเมื่อมีน้ำหนักมากระทำที่ Loaded Slab การแอบนตัวจะสูงขึ้นส่งผลให้หน่วยแรง ความเครียด (Strain) ของคอนกรีตที่บริเวณรอยต่อมีค่าสูง

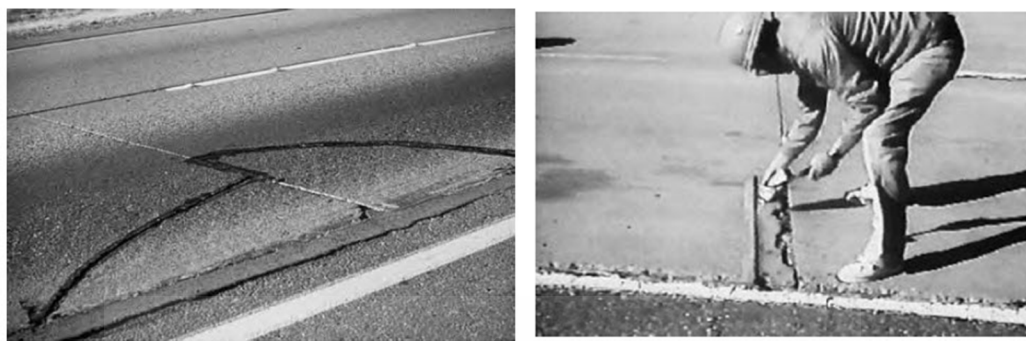


รูปที่ 2.4 การถ่ายน้ำหนักบริเวณรอยต่อเมื่อมีน้ำหนักกระทำ [10]

2.3.1 ความเสียหายของรอยต่อพิภพคอนกรีต

ดังที่ได้กล่าวมาข้างต้นหากรอยต่อมีการถ่ายน้ำหนักที่ไม่ดีหรือมีการเกี่ยวของ LTE ในทางกลับกันความเสียหายที่เกิดขึ้นที่รอยต่ออาจส่งผลให้เกิดการเสื่อมของ LTE ได้เช่นกัน ความเสียหานี้เกิดจากหลายปัจจัย เช่น การควบคุมคุณภาพในการก่อสร้าง วัสดุอุดรอยต่อหลุดร่อนอาจทำให้มีน้ำแข็งในรอยต่อส่งผลให้เหล็กเดือยเกิดสนิม ไม่มีการซ่อมแซมบำรุงรักษาอย่างถูกต้องต่อเนื่อง เป็นต้น ความเสียหายที่เกิดขึ้นทั้งในส่วนของโครงสร้างและการใช้งาน (Structural and Functional Failure)

ตัวอย่างความเสียหายที่เกิดจาก LTE หรือส่งผลต่อการเสื่อมของ LTE เช่น การแตกหักที่มุมแผ่น (Corner Break) การแตกหลุดร่อนที่รอยต่อ (Joint Crack and Spalling) การอัดทะลักของมวละเอียดในฐานรองรับใต้พิภพคอนกรีต (Pumping) การดึงหรือการโกลงตัว (Blow Up) และการทรุดตัวที่ไม่เท่ากัน (Faulting) [5] แสดงดังรูปที่ 2.5 และรูปที่ 2.6



รูปที่ 2.5 ความเสียหายจากการแตกหักที่มุนแผ่น (ซ้าย) การแตกหักคร่อนที่รอยต่อตามขวาง (ขวา) [5]



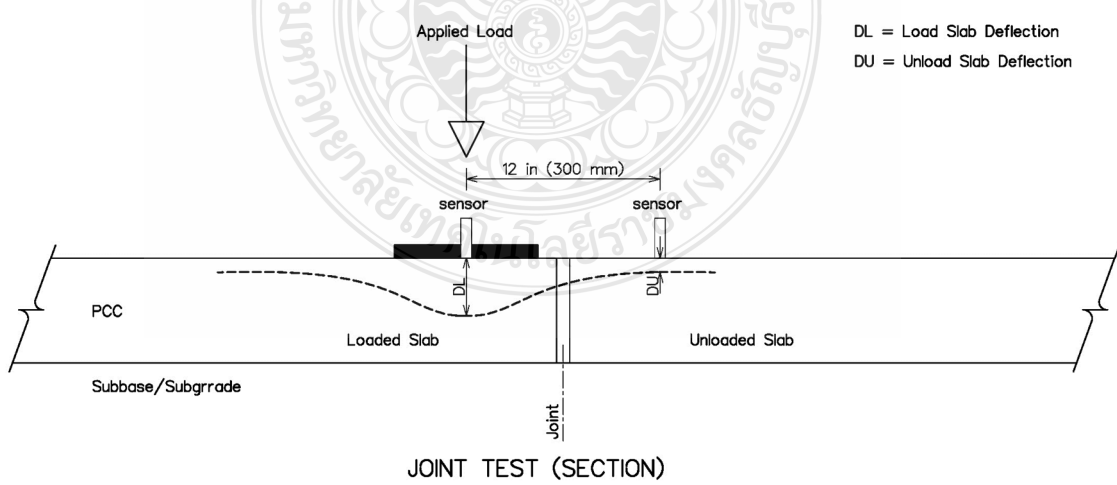
รูปที่ 2.6 ความเสียหายจากการคุ้งหรือโกงตัว (ซ้าย) การทรุดตัวที่ไม่เท่ากันของรอยต่อ (ขวา) [5]

2.3.2 การทดสอบ LTE ของหน่วยงานต่างๆ ในระดับสากล

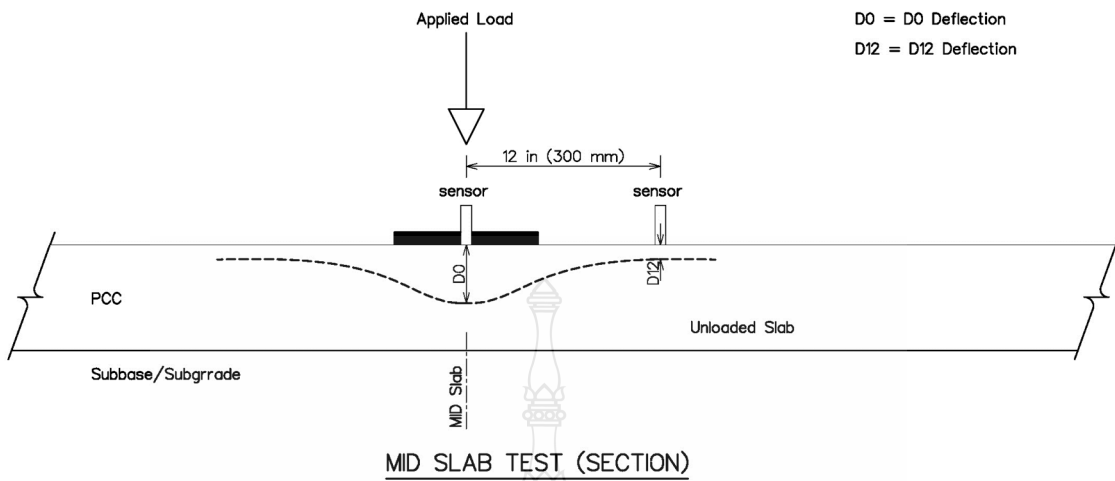
โครงสร้างผิวทางคอนกรีตเมื่อถูกต้องแล้วสามารถใช้งานไปชั้กระยะหนึ่งอาจทำให้ค่า LTE มีค่าต่ำลง ได้ การทดสอบผิวทางแบบไม่ทำลาย (Non-Destructive Test, NDT) โดยการวัดค่าการแอลอนตัว เป็นตัวเลือกอันดับแรกๆ สำหรับการทดสอบ LTE เนื่องจากเป็นวิธีการทดสอบที่ไม่ทำให้โครงสร้างชำรุดเสียหาย [13] การทดสอบ LTE จึงเป็นหนึ่งในหัวข้อหลักในการทดสอบความแข็งแรงของผิวทางคอนกรีตร่วมกับการทดสอบการรับกำลังและการทดสอบโครงสร้าง ได้ร้อยต่อ ดังนั้นหลายหน่วยงานด้านงานทาง ถนน อาคมยานและหน่วยงานเอกชนที่เชี่ยวชาญด้านงานผิวทางในระดับสากล อาทิ American Association of State Highway Officials (AASHTO), Federal Highway Administration (FHWA), American Concrete Pavement Association (ACPA), Federal Aviation Administration (FAA) และ Dynatest เป็นต้น จึงได้จัดตั้งข้อกำหนดหรือข้อแนะนำในการทดสอบ

และแบบจำลองการวิเคราะห์ LTE เพื่อใช้ในการประเมินความแข็งแรงของผิวทางคอนกรีต ซึ่งแต่ละหน่วยงานดังกล่าว ต่างก็มีรายละเอียดของ LTE ที่แตกต่างกันและอาจส่งผลให้การวิเคราะห์หน่วยงานเดือนหรือการนำไปประยุกต์ใช้ต่อเนื่องถึงการประเมินความแข็งแรงอายุการใช้งานที่เหลืออยู่มีความแตกต่างกันไปด้วย ซึ่งผลการทดสอบ LTE นิยมแสดงผลจากร้อยละ 0 ถึง 100 (จากแย่ถึงดี) มีรายละเอียดการทดสอบ LTE ของหน่วยงานในระดับสากลข้างต้นดังต่อไปนี้

AASHTO เริ่มต้นก่อตั้งในปี 1914 จากการเป็นสมาคมงานทางของรัฐโคลัมเบีย ประเทศสหรัฐอเมริกา ต่อมาในปี 1973 ได้ขยายขอบเขตคูแลด้านงานบนส่วนด้วย ปัจจุบันเป็นองค์กรหลักของประเทศสหรัฐอเมริกาซึ่งทำหน้าที่กำหนดมาตรฐานการทดสอบวัสดุ กำหนดมาตรฐานการออกแบบและศึกษาวิจัยในเรื่องงานทางและการขนส่ง [8, 9] สำหรับหัวข้อการทดสอบ LTE AASHTO แนะนำให้ทดสอบโดยเครื่องมือทดสอบ NDT ที่ให้ค่าการแอลล์ตัว โดยวิธีนี้เช่นเซอร์ที่บริเวณรอยต่อทั้งของ Loaded และ Unloaded Slab ใช้น้ำหนักล้อรถ 1 ล้อซึ่งมีน้ำหนักเท่ากับ 9,000 ปอนด์ (40 กิโลนิวตัน) ใน การทดสอบ ซึ่งได้มาร่วมกับ J Factor ที่ 18,000 ปอนด์ วัดค่าการแอลล์ตัวที่เกิดขึ้น นำไปคำนวณ LTE แสดงดังรูปที่ 2.7 แต่ในหัวข้อการซ่อมแซมและเทหับหน้า (Rehabilitation and Overlay) AASHTO แนะนำให้ใช้การทดสอบความการแอลล์ตัวที่กลางแผ่น (MID Slab) แสดงดังรูปที่ 2.8 มาวิเคราะห์ร่วมกับการทดสอบที่รอยต่อแผ่นด้วยแสดงผลในรูปแบบของ J Factor แบ่งเป็น 3 เกณฑ์ คือ LTE น้อยกว่าร้อยละ 50, LTE ร้อยละ 50 ถึง 70 และ LTE มากกว่าร้อยละ 70 ซึ่ง AASHTO นำค่า J Factor นี้ไปใช้ในการคำนวณหน่วยแรงเห็นที่เกิดขึ้นบริเวณรอยต่อ [13]



รูปที่ 2.7 การทดสอบ LTE ด้วยเครื่องมือ NDT ที่รอยต่อแผ่น [13]

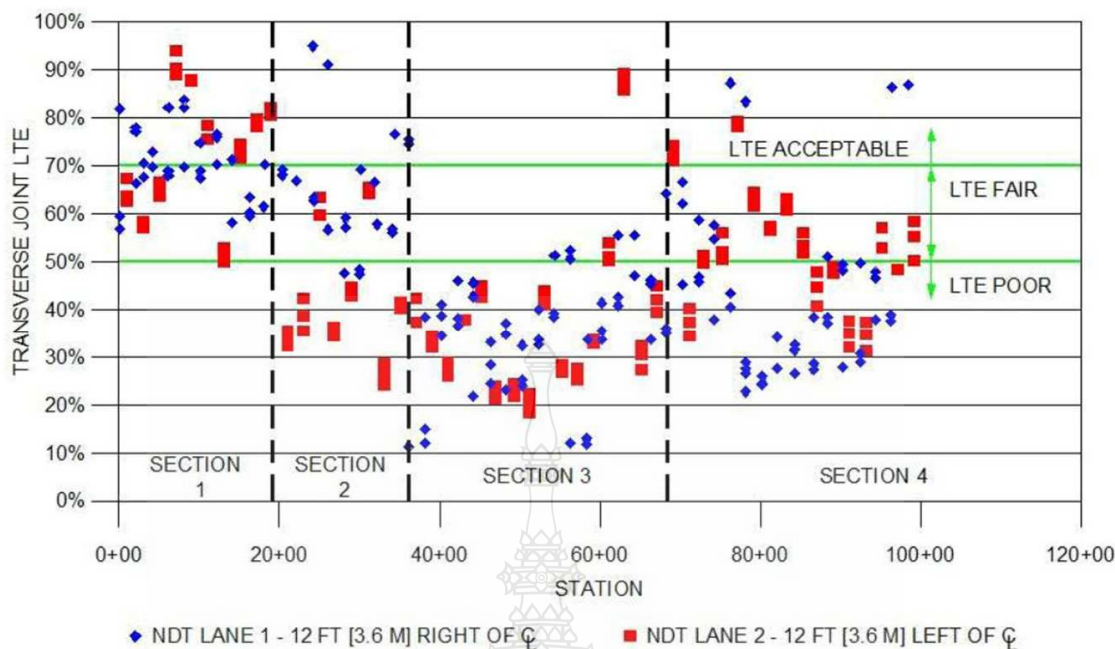


รูปที่ 2.8 การทดสอบ LTE ด้วยเครื่องมือ NDT ที่กลางแผ่น [13]

FHWA เป็นหน่วยงานค้านงานทางจากการบนส่วนประเทศสหรัฐอเมริกา ซึ่งทำหน้าที่ก่อสร้าง ดูแล ซ่อมแซม วางนโยบายค้าน ทางหลวงและการบนส่วนประเทศสหรัฐอเมริกาและในระดับนานาชาติ [14] ได้แนะนำให้ทดสอบ LTE โดยใช้เครื่องมือ FWD เช่นเดียวกันกับของ AASHTO ดังรูปที่ 2.7 [3] แต่มีแบบจำลองในการคำนวณ LTE ที่แตกต่างกันเล็กน้อย

หน่วยงานอีกแห่ง ACPA เป็นสมาคมผู้ทางคุณกรีดของสหรัฐอเมริกาเป็นสมาคมที่ทำงานร่วมกับหน่วยงานอื่นๆ เช่น FHWA, FAA เป็นต้น มีฐานข้อมูล ความรู้ด้านเทคโนโลยีของผู้ทางคุณกรีด สำนามบินและงานผู้ทางคุณกรีดในอุตสาหกรรม [15] แนะนำให้ทดสอบ LTE สำหรับการซ่อมแซมผู้ทางด้วยเครื่อง FWD หรือเครื่องมือ NDT อื่นๆ ที่ให้ผลทดสอบคล้ายกัน จำลองน้ำหนักในการทดสอบงานถนนโดยใช้น้ำหนักจากเพลามาตรฐาน (18,000 ปอนด์) วัดค่าการแอลติวอยต์และยอมรับค่า LTE มากกว่าร้อยละ 60 [16]

FAA เป็นหน่วยงานระดับสากลค้านอากาศยานและการบินรวมไปถึงการก่อสร้าง และการประเมินสภาพความแข็งแรงของผู้ทางสำนามบินด้วยในส่วนของการทดสอบ LTE ทำการทดสอบด้วยน้ำหนักบรรทุกเที่ยบท่าน้ำหนักเครื่องบินที่ส่งผลกระทบต่อผู้ทาง วัดค่าการแอลติวอยต์และยอมรับค่า LTE มากกว่าร้อยละ 30 [17] สำหรับเครื่องมือ HWD ทำการทดสอบนำการแอลติวอยต์ของ Loaded และ Unloaded Slab ที่ร้อยต่อมาวิเคราะห์ LTE ซึ่ง FAA แบ่งออกเป็น 3 เกณฑ์ คือ Poor (LTE น้อยกว่าร้อยละ 50), Fair (LTE ร้อยละ 50 ถึง 70) และ Acceptable (LTE มากกว่าร้อยละ 70) แสดงดังรูปที่ 2.9 [17]



รูปที่ 2.9 เกณฑ์การประเมินผลทดสอบ LTE ของ FAA [17]

Dynatest เป็นหน่วยงานที่ปรึกษา ทดสอบและประเมินคุณภาพงานทางถนนและสนามบินในระดับสากล [18] ในปี 1970 Dynatest เป็นผู้พัฒนาเครื่องมือ FWD ที่ใช้ในการทดสอบผิวทางในเชิงพาณิชย์ ให้มีความก้าวหน้ามากขึ้นทั้งในส่วนของอุปกรณ์เซ็นเซอร์อย่าง Geophone ที่ใช้ในการวัดการแอลล์ตัวและโปรแกรมวิเคราะห์ผลทดสอบ [1] สำหรับหัวข้อ LTE นี้ Dynatest แนะนำให้ทดสอบการแอลล์ตัวที่ร้อยต่อและการแอลล์ตัวที่กลางแผ่น นำผลทั้ง 2 ส่วนมาวิเคราะห์ LTE ร่วมกัน [19] ซึ่งส่งผลให้จำนวนจุดทดสอบมีมากขึ้นแต่ก็ยังสอดคล้องกับหัวข้อ LTE การซ้อมแซมและเททับหน้าของ AASHTO

จะเห็นได้ว่าหลายหน่วยงานในระดับสากลข้างต้น ต่างมีการทดสอบที่คล้ายกันคือใช้เครื่องมือ NDT ทดสอบการแอลล์ตัวของร้อยต่อที่ Loaded และ Unloaded Slab รวมไปถึงบางหน่วยงานยังทดสอบ MID Slab ร่วมด้วย ผลทดสอบดังกล่าวจะถูกนำมาวิเคราะห์ LTE โดยใช้แบบจำลองทางคณิตศาสตร์ในหัวข้อถัดไปซึ่งแสดงรายละเอียดในหัวข้อถัดไป

2.3.3 แบบจำลองทางคณิตศาสตร์ของ LTE

แบบจำลองทางคณิตศาสตร์ที่ได้รับความนิยมมากที่สุด [3, 10, 11, 20] คือแบบจำลอง LTE_1 และดังสมการที่ 2.1 ซึ่งเป็นแบบจำลองที่หลายหน่วยงานเลือกใช้คือ AASHTO, FHWA, ACPA และ FAA โดยใช้อัตราส่วนร้อยละของการแอลล์ตัวของ Unloaded Slab ต่อ Loaded Slab

แบบจำลอง LTE ที่ได้รับความนิยมรองลงมาคือ LTE_2 คิดค้นโดย Teller และ Sutherland เมื่อปี 1936 [21] และดังสมการที่ 2.2 ใช้อัตราส่วนร้อยละของ Unloaded Slab ต่อค่าเฉลี่ยการแอล์ตัวที่รอยต่อ เป็นแบบจำลองทางเลือกของหน่วยงาน FHWA แบบจำลอง LTE_3 และ LTE_4 และดังในสมการที่ 2.3 และ 2.4 เป็นแบบจำลองที่ AASHTO หัวข้อการซ่อมแซมและเททับหน้าและหน่วยงาน Dynatest เลือกใช้ โดยมีการนำค่าทดสอบ MID Slab ซึ่งใช้เป็นตัวแทนปรับแก้การคัดของแผ่นพื้น (Bending Correction Factor, B) และดังสมการที่ 2.5 โดย AASHTO ระบุว่าความมีค่าอยู่ที่ 1.05 ถึง 1.15 [13] ซึ่งความโคลงของเกิดจากหลายสาเหตุ เช่น ความไม่เป็นระนาบหรือความโคลงของของแผ่นพื้นที่อยู่ติดกันทำ ก่อสร้าง ความชื้นและอุณหภูมิ ความแตกต่างของความหนาหรือความแกร่งของแผ่นพื้นที่อยู่ติดกันทำ ให้คัดตัวต่างกันเมื่อมีน้ำหนักกระทำ เป็นต้น ซึ่งความโคลงอนนี้เป็นปัจจัยหนึ่งที่ส่งผลกระทบต่อ LTE [20]

$$LTE_1 = 100 \times \left(\frac{d_u}{d_l} \right) \quad (2.1)$$

$$LTE_2 = 100 \times \left(\frac{2d_u}{d_u + d_l} \right) = 2 \times \left(1 + \frac{1}{1 + \left(\frac{LTE_1}{100} \right)} \right) \times 100 \quad (2.2)$$

$$LTE_3 = 100 \times \left(\frac{d_u}{d_l} \right) \times B = LTE_1 \times B \quad (2.3)$$

$$LTE_4 = 100 \times \left(\frac{2d_u}{d_u + d_l} \right) \times B = LTE_2 \times B \quad (2.4)$$

$$B = \left(\frac{d_0}{d_{12}} \right) \quad (2.5)$$

เมื่อ LTE_1 ถึง LTE_4 คือ แบบจำลอง LTE รูปแบบที่ 1 ถึง 4 จากการทดสอบการแอล์ตัว

d_u คือ การแอล์ตัวของ Unloaded Slab

d_l คือ การแอล์ตัวของ Loaded Slab

E คือ ค่าปรับแก้การคัดของแผ่นพื้นจากการทดสอบกลางแผ่น

d_0 คือ การแอล์ตัวได้จากที่น้ำหนักกระทำตรงกลางแผ่นพื้น

d_{12} คือ การแอล์ตัวถัดจากจุดที่น้ำหนักกระทำกลางแผ่นพื้น 12 นิ้ว (300 มม.)

ขังมีแบบจำลองแบบจำลองทางคณิตศาสตร์ของ LTE คือ LTE_{σ} และดังสมการที่ 2.6 เทียบอัตราส่วนร้อยละของหน่วยแรงเห็น Unloaded ต่อ Loaded Slab ซึ่งในความเป็นจริงแล้วการวัดขนาดหน่วยแรงเห็นโดยตรงทำได้ยาก แบบจำลอง LTE_{σ} นี้จึงคำนวณได้จากการวัดทางอ้อมด้วยค่าความเค้น (Strain) เมื่อมีน้ำหนักบรรทุกของยานพาหนะวิ่งผ่าน ส่วนใหญ่นิยมทำในแปลงทดสอบหรือติดตั้งในระหว่างการก่อสร้าง [22] โดยทำการติดตั้ง Strain Gauge ในตำแหน่งที่ต้องการ ทั้งนี้มีหลายงานวิจัยที่ศึกษาเพื่อหาความสัมพันธ์ระหว่างค่า LTE_{σ} กับ LTE_1 และยังไม่แม่นยำนัก เพราะความสัมพันธ์ของทั้ง 2 แบบจำลองขึ้นอยู่กับปัจจัยอื่นด้วย เช่น ขนาดและชั้นความหนาของผิวทางกลไกในการถ่ายน้ำหนัก ชั้นฐานรองรับและอุณหภูมิ เป็นต้น [3]

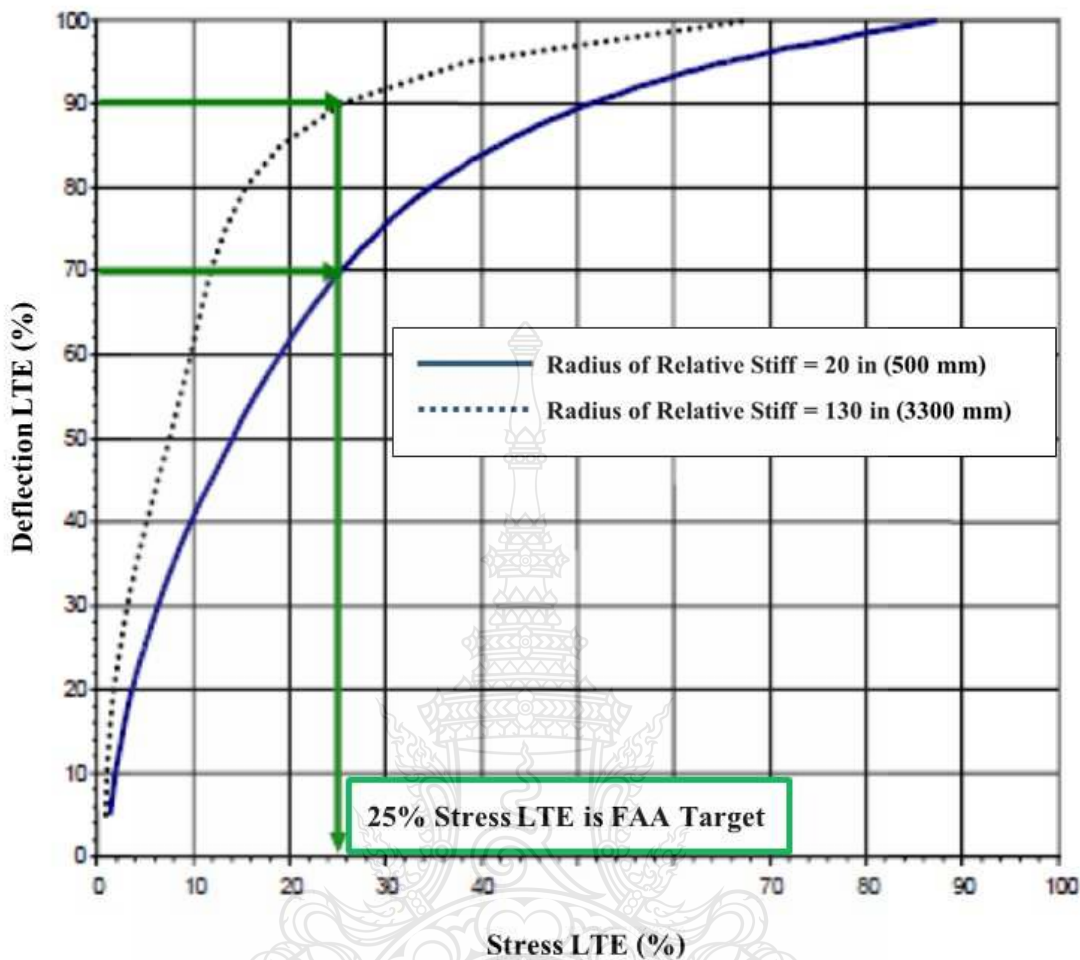
$$LTE_{\sigma} = 100 \times \left(\frac{\sigma_u}{\sigma_l} \right) \quad (2.6)$$

เมื่อ LTE_{σ} คือ แบบจำลอง LTE จากหน่วยแรงเห็น

σ_u คือ หน่วยแรงเห็นของ Unloaded Slab

σ_l คือ หน่วยแรงเห็นของ Loaded Slab

ในหัวข้อการวิเคราะห์ผลทดสอบการแอล์ตัวของผิวทางสนามบิน FAA มีตัวอย่างกราฟแสดงความสัมพันธ์ระหว่าง LTE_1 และ LTE_{σ} ของผิวทางสนามบินซึ่งความสัมพันธ์นี้มีลักษณะเป็นเส้นโค้งคว่า มีลักษณะเฉพาะตัวขึ้นกับรัศมีความแกร่งสัมพัทธ์ (I) โดยที่ FAA แนะนำว่าอยู่ต่อของแผ่นพื้นถ่ายแรงเห็นได้ร้อยละ 25 ตัวอย่างเช่น หากมีแรงเห็นเกิดขึ้นที่ Loaded Slab 4 เมกะปาส卡ล แรงเห็นจะถูกถ่ายไปยัง Unloaded Slab 1 เมกะปาส卡ล ดังนั้น FAA จึงให้เกณฑ์แนะนำของ LTE_{σ} ที่ร้อยละ 25 ในรูปที่ 2.10 พิจารณาที่เป้าหมาย LTE_{σ} ร้อยละ 25 พบร่ว่าสายทางซึ่งมีค่า / มากกว่า คือ 130 นิว (3,300 มม.) มีค่า LTE_1 สูงถึงร้อยละ 90 และสายทางที่มีค่า 1 น้อยกว่าคือ 20 นิว (500 มม.) LTE_1 มีค่าเพียงร้อยละ 70



รูปที่ 2.10 ตัวอย่างกราฟแสดงความสัมพันธ์ระหว่าง LTE_i และ LTE_{σ} ของ FAA [17]

ในงานวิจัยนี้ร่วบรวมแบบจำลอง LTE จากหลากหลายหน่วยงานในระดับสากล แสดงตารางที่ 2.1 โดยสรุปแบบจำลอง LTE ที่ได้จากการทดสอบการแอ่นตัวแบ่งได้เป็น 4 รูปแบบ ตามข้อกำหนดหรือมาตรฐานตามหน่วยงานในระดับสากลข้างต้น ซึ่งผลจากการทดสอบแบบเดียวกัน แต่มีแบบจำลอง LTE ที่แตกต่างกันและความแตกต่างนี้ อาจส่งผลการวิเคราะห์หน่วยแรงเกินได้ แตกต่างกันไปด้วย

ตารางที่ 2.1 แบบจำลอง LTE ตามข้อแนะนำหรือมาตรฐานของหน่วยงานในระดับสากล

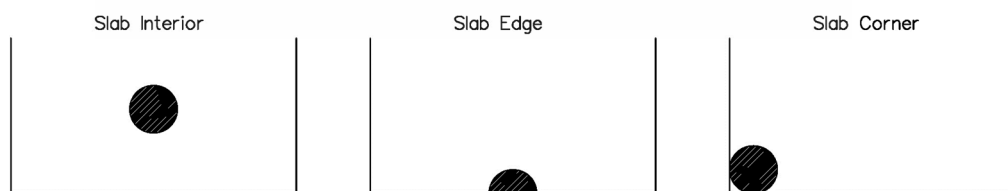
แบบจำลอง	ข้อแนะนำหรือมาตรฐาน
LTE ₁	AASHTO, FHWA, ACPA, FAA
LTE ₂	FHWA, ACPA
LTE ₃	AASHTO*, Dynatest
LTE ₄	Dynatest

AASHTO* คือ LTE ของ AASHTO ในหัวข้อการซ่อมแซมและเท้าบ้าน

2.4 หน่วยแรงเห็นด้ดที่รอยต่อแผ่นพื้นคอนกรีต

ผู้ทางคอนกรีตทำหน้าที่รับน้ำหนักบรรทุกจากขานพาหนะเป็นหลัก ในปี 1923 Westergaard ได้เสนอหลักการในการแก้ปัญหาหน่วยแรงเห็นด้ดและการแอล์ตัวของผู้ทางแบบแกร่งเรียกว่า Westergaard Solution เป็นการแก้ปัญหาเชิงวิเคราะห์-เชิงประจักษ์ (Mechanistic-Empirical) ซึ่งหลักการดังกล่าวถูกยกให้หลักการพื้นฐาน ถึงแม้ว่าในปัจจุบันจะมีความแม่นยำน้อยกว่าวิธี Finite Element Method (FEM) แต่ความรวดเร็วในการคำนวณ ส่งผลให้หลักการของ Westergaard ยังคงได้รับความนิยม ถูกใช้งานและมีการพัฒนาเพื่อแก้ปัญหาในงานด้านผู้ทางแบบแกร่ง

Westergaard ได้แบ่งการคำนวณหน่วยแรงเห็นด้ดและการแอล์ตัวภายในได้เป็น 3 กรณี คือ น้ำหนักกระทำที่กลางแผ่น (Interior) น้ำหนักกระทำที่ขอบแผ่น (Edge) และน้ำหนักกระทำที่มุมแผ่น (Corner) แสดงดังรูปที่ 2.11 กำหนดให้มีน้ำหนักบรรทุกจากล้อเดียว (Single Wheel Load) แผ่นพื้นวางเดี่ยวนบนระนาบของชั้นรองรับแบบยืดหยุ่น (Elastic Foundation) รูปแบบของ Modulus of Subgrade (k) ในกรณีกลางแผ่นและขอบแผ่น หน่วยแรงเห็นด้ด (Tensile Stress) และการแอล์ตัวเกิดขึ้นที่ผิวล่างของแผ่น ได้จุดที่น้ำหนักกระทำ แต่ในกรณีที่มุมแผ่นเกิดขึ้นที่พื้นบัน [21, 24]



รูปที่ 2.11 ตำแหน่งที่น้ำหนักกระทำบนแผ่นพื้นตามทฤษฎี Westergaard [21]

การแก้ปัญหาที่แผ่นพื้นที่ขอบแผ่นตามสมการดังเดิมของ Westergaard และดังสมการที่ 2.7 และ 2.8 วิเคราะห์หน่วยแรงเค้นและการแอลอตตัวที่ขอบแผ่น จากหลักการดังเดิมซึ่งแก้ปัญหาไม่ถูกต้องสมบูรณ์ เช่น ไม่มีการถ่ายแรงไปข้างแผ่นข้างเคียง ซึ่งในปัจจุบันได้มีการพัฒนาแก้ไขหลักการ Westergaard ให้มีความถูกต้องมากขึ้น โดยตรวจสอบผลเปรียบเทียบกับวิธี FEM ดังสมการที่ 2.9 ถึง 2.13 ทั้งนี้จากการตรวจสอบเปรียบเทียบ ความแตกต่างระหว่างพื้นที่นำหนักกระทำเป็นวงกลม (Circular Loading Area) และครึ่งวงกลม (Semi-Circular Loading Area) ให้ผลต่างกันน้อยมาก [21]

กรณีนำหนักกระทำที่ขอบ (ทฤษฎีดึงเดิม, พื้นที่นำหนักกระทำครึ่งวงกลม)

$$\sigma = \frac{0.529P}{h^2} (1+0.54v) \left\{ \log \left(\frac{Eh^3}{ka_2^4} \right) - 0.71 \right\} \quad (2.7)$$

$$w = \frac{P}{\sqrt{6k}l^2} (1+0.4v) \quad (2.8)$$

กรณีนำหนักกระทำที่ขอบ (ทฤษฎีแก้ไข, พื้นที่นำหนักกระทำวงกลม)

$$\sigma = \frac{3P(1+v)}{\pi(3+v)h^2} \left\{ \ln \left(\frac{Eh^3}{100ka^4} \right) + 1.84 - \frac{4}{3}v + \frac{(1-v)}{2} + 1.18(1+2v)\frac{a}{l} \right\} \quad (2.9)$$

$$w = \frac{\sqrt{2+1.2v}P}{\sqrt{Eh^3}k} \left\{ 1 - (0.76+0.4v)\frac{a}{l} \right\} \quad (2.10)$$

$$l = \sqrt[4]{\frac{Eh^3}{12(1-v^2)k}} \quad (2.11)$$

กรณีนำหนักกระทำที่ขอบ (ทฤษฎีแก้ไข, พื้นที่นำหนักกระทำครึ่งวงกลม)

$$\sigma = \frac{3P(1+v)}{\pi(3+v)h^2} \left\{ \ln \left(\frac{Eh^3}{100ka_2^4} \right) + 3.84 - \frac{4}{3}v + \frac{(1-2v)a_2}{l} \right\} \quad (2.12)$$

$$w = \frac{\sqrt{2+1.2v}P}{\sqrt{Eh^3}k} \left\{ 1 - (0.76+0.4v)\frac{a}{l} \right\} \quad (2.13)$$

เมื่อ σ คือ หน่วยแรงดึงจากนำหนักบรรทุกจราจร (นิวตัน/มม.²)

w คือ การแอลอตตัว (มม.)

P คือ นำหนักล้อเดียว (นิวตัน)

p คือ แรงดันลมยาง (นิวตัน/มม.²)

h คือ ความสูงของแผ่นพื้นคอนกรีต (มม.)

- v คือ อัตราส่วนปั๊ของของคอนกรีต
- 1 คือ รัศมีความแกร่งสัมพัทธ์ (มม.)
- k คือ ค่าไมโครลัสด้านทานของชั้นฐานรองรับ (นิวตัน/มม.³)
- E คือ ค่าไมโครลัสยกที่ดินของคอนกรีต (นิวตัน/มม.²)
- a คือ รัศมีของพื้นที่สัมผัสล้อยางแบบวงกลม เท่ากับ $\sqrt{\frac{P}{\pi p}}$ (มม.)
- a_2 คือ รัศมีของพื้นที่สัมผัสล้อยางแบบครึ่งวงกลมเท่ากับ $\sqrt{\frac{2P}{\pi p}}$ (มม.)

Van Cauwelaert [25] ได้เสนอการวิเคราะห์หน่วยแรงเค้นในผิวทางคอนกรีตโดยใช้สมการปรับแก้ของ Westergaard คำนวณหน่วยแรงเค้นดัดที่ขอบแผ่นอิสระ (Free Edge Stress) หน่วยแรงเค้นดัด Loaded Slab และหน่วยแรงเค้นดัด Unloaded Slab ได้ดังสมการ 2.14 ถึง 2.17 โดยมีดัวแปรการถ่ายแรงเนื่อง (Transferred Shear, γ) แสดงดังสมการ 2.16 ซึ่งเป็นตัวแปรไถ่มาจากการทดสอบ LTE ร่วมในการคำนวณหน่วยแรงเค้นของ Loaded Slab ด้วย

จากสมการปรับแก้ดังกล่าว ทำให้หาค่าตอบของหน่วยแรงเค้นดัดร่วมกับ LTE ได้ โดย Van Cauwelaert ตรวจสอบผลกับการคำนวณอัตราส่วนการแอ่นของ Loaded และ Unloaded ซึ่งได้ผลใกล้เคียงกัน จากความไม่ซับซ้อนและด้วยความเรียบง่ายของหลักการ Westergaard ทำให้สามารถหาค่าตอบได้รวดเร็วและสามารถนำไปใช้วิเคราะห์โครงสร้างทางที่มีจุดทดสอบปริมาณมากๆ ได้ดีขึ้น โดยเฉพาะเมื่อนำไปพัฒนาในรูปแบบของโปรแกรมคอมพิวเตอร์ทำให้สามารถประเมินผลทดสอบผิวทางคอนกรีตได้รวดเร็วกว่าโปรแกรมคอมพิวเตอร์ที่แก้ปัญหาด้วยวิธี FEM อ่อนมาก ซึ่งในงานวิจัยนี้ จึงศึกษาความแตกต่างของแบบจำลอง LTE ทั้ง 4 แบบดังที่กล่าวไปข้างต้น รวมทั้งอิทธิพลที่มีต่อหน่วยแรงเค้นดัดที่เกิดขึ้นที่รอยต่อผิวทางคอนกรีต [25]

$$\sigma_f = \sigma_u + \sigma_l \quad (2.14)$$

$$\sigma_f = \frac{3(1+\nu)P}{\pi(3+\nu)h^2} \left\{ \ln \left(\frac{Eh^3}{100ka^4} \right) + 3.84 - \frac{4}{3}\nu \right\} \quad (2.15)$$

$$\sigma_l = \frac{1}{1+LTE} \frac{3(1+\nu)P}{\pi(3+\nu)h^2} \left\{ \ln \left(\frac{Eh^3}{100ka^4} \right) + 3.84 - \frac{4}{3}\nu \right\} \quad (2.16)$$

$$\gamma = \frac{2LTE}{1+LTE} \quad (2.17)$$

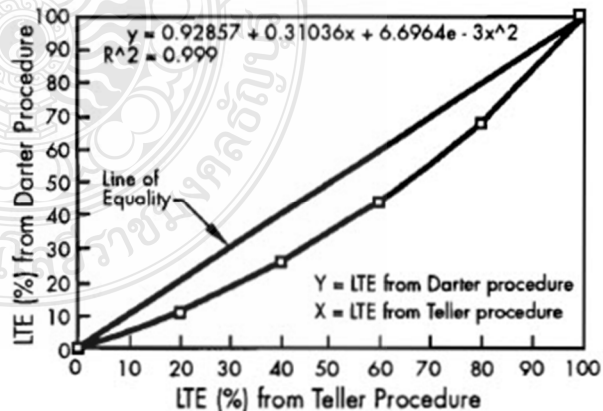
เมื่อ σ_f คือ หน่วยแรงเค้นดัดที่ขอบแผ่นอิสระ

γ คือ Transferred Shear Factor

2.5 งานวิจัยที่เกี่ยวข้อง

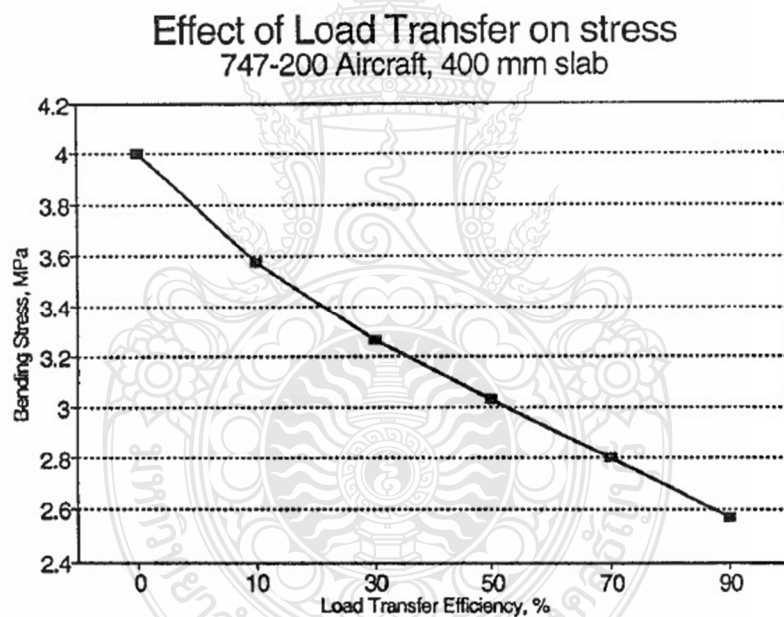
งานวิจัยเรื่อง LTE เริ่มต้นขึ้นเมื่อมีการพัฒนาถนนคอนกรีตเพื่อการใช้งาน ในปี 1936 Teller และ Sutherland [21] ทดสอบการแอล์ตัวของ Loaded และ Unloaded Slab ของถนนคอนกรีตแบบมีรอยต่อ วัดค่าการแอล์ตัวที่ตัวแน่นต่างๆ บริเวณรอยต่อ ทั้งรอยต่อตามยาวและรอยต่อตามยาว นำค่าการยุบตัวที่ตัวแน่นต่างๆ สร้างแบบจำลองทางคณิตศาสตร์หลักหลายรูปแบบเพื่อหาค่า LTE ผลการศึกษาพบว่าแบบจำลอง LTE₂ เป็นแบบจำลองที่น่าเชื่อถือมากที่สุด แสดงผลของประสิทธิภาพการถ่ายน้ำหนักจากร้อยละ 0 ถึง 100 และเป็นแบบจำลองที่ถูกใช้งานมาอย่างนานจนถึงปัจจุบัน [25] จากนั้นในปี 1947 Westergaard [24] เสนอการทฤษฎีการแก้ปัญหาหน่วยแรงเห็นในผิวทางคอนกรีต แบบใหม่ซึ่งพัฒนามาจากหลักการดึงเดิมแก้ไขข้อด้อยอ่อนในเรื่องการถ่ายน้ำหนักข้ามแผ่น โดย Westergaard นำเสนอตัวแปร Load Transfer Efficiency Factor (j) เป็นตัวแปรในการถ่ายแรงไปสู่แผ่นคอนกรีตที่อยู่ติดกัน ตัวแปรนี้นำไปประยุกต์ใช้ในการคำนวนหน่วยแรงเห็นที่รอยต่อของแผ่น งานวิจัยของ AASHTO ในปี 1986 โดย Dartler [26] เป็นผู้เริ่มต้นใช้แบบจำลอง LTE₁ คำนวน LTE จากทดสอบการแอล์ตัวของถนนด้วยเครื่องมือ FWD จากนั้นในปี 1992 Chao Wei และคณะ [26] เปรียบเทียบแบบจำลอง LTE ของ Dartler และ Teller พบร่วมกันว่าแบบจำลอง LTE₁ ให้ความสัมพันธ์เป็นเส้นตรงแตกต่างจากแบบจำลอง LTE₂ ซึ่งมีความสัมพันธ์เป็นสมการพหุนามกำลังสองและทึ่งสอง แบบจำลองแสดงดังรูปที่ 2.12 ซึ่งต่อมาในปี 1993 [13] AASHTO ได้เลือกใช้ LTE₁ เป็นแบบจำลองแนะนำในการทดสอบรอยต่อของถนนคอนกรีต

Case	W _u	W _l	W _u + W _l	Teller LTE (%)	Darter LTE (%)
1	0.00	0.10	0.10	0	0
2	0.01	0.09	0.10	20	11
3	0.02	0.08	0.10	40	25
4	0.03	0.07	0.10	60	43
5	0.04	0.06	0.10	80	67
6	0.05	0.05	0.10	100	100



รูปที่ 2.12 เปรียบเทียบแบบจำลอง LTE₁ และ LTE₂ ของ Dartler และ Teller [26]

LTE ถูกใช้ในงานออกแบบ ประเมิน ช่องแซมและเททับหน้า ส่วนใหญ่มากใช้ผลจากการทดสอบ FWD ในงานถนนและใช้ HWD ในงานพิวทางสนามบิน ในปี 1992 E.J. Barenberg และ G.R. Woodman [27] นำค่า LTE₁ มาใช้ในการออกแบบและปรับปรุงพิวทางคอนกรีตของสนามบิน อีก trove ประเทคโนโลยี เพื่อใช้ร้องรับการจราจรทางอากาศที่เพิ่มมากขึ้น ทดสอบรอยต่อตามขวาง , ตามยาวและรอยแตกด้วยเครื่องมือ HWD จำลองนำหนักจากเครื่องบินโบอิ้ง 747-200, 747-400, 747-400E และ MD-11 คำนวนหน่วยแรงเค้นดัดร่วมกับ LTE ด้วยโปรแกรมคอมพิวเตอร์ ILLI-SLAB พนว่าที่ LTE ที่มากขึ้นส่งผลให้คำนวนหน่วยแรงเค้นดัดที่ผิวล่างของคอนกรีตริเวณรอยต่อได้ลดลง (LTE รอยละ 0 และ LTE รอยละ 100 คำนวนหน่วยแรงเค้นดัดแตกต่างกันเกือบ 2 เท่า) รูปที่ 2.13 กราฟแสดงตัวอย่างหน่วยแรงเค้นดัดของพิวทางคอนกรีตความหนา 400 มม. กับ LTE โดยใช้นำหนักเครื่องบินโบอิ้ง 747-200 กระทำที่รอยต่อ



รูปที่ 2.13 ผลกระทบ LTE ต่อการคำนวนหน่วยแรงเค้นดัดของทางพิวทางคอนกรีตสนามบิน [27]

LTE ในปี 2001 Y.C. Sue และ K.K. Yun [28] ใช้เครื่องมือ FWD และแบบจำลอง LTE₃ ตามมาตรฐานของ AASHTO 1993 เรื่องการช่องแซมและเททับหน้าในการทดสอบเปรียบเทียบ Bonded Concrete Overlay (BOC) และ Un-bonded Concrete Overlay (UBCO) ของถนนทางพิเศษในประเทศไทย พนว่าหลักเดียวซึ่ง UBOD มี LTE ที่ดีขึ้นและอุณหภูมิในคอนกรีตส่งผลกระทบ

ต่อ LTE มากกว่าอุณหภูมิอากาศ ในการศึกษาพิวิททางในระยะยาวหัวข้อ Long-Term Pavement Performance (LTPP) ปี 2003 Khazanovich และ Gotlif [3] ทดสอบด้วยเครื่องมือ FWD วิเคราะห์ ผลทดสอบด้วยแบบจำลอง LTE_1 และ LTE_2 พบว่า LTE มีส่วนสำคัญที่ส่งผลกระทบโดยตรงต่อ สมรรถนะของพิวิททางคอนกรีต อีกทั้งยังเป็นตัวแปรที่มีความซับซ้อนจากหลากหลายองค์ประกอบ และยังต้องการข้อมูลอีกมากเพื่อจะช่วยปรับปรุงกระบวนการออกแบบและการซ่อมแซมพิวิททางให้ดี ยิ่งขึ้น

งานวิจัยเรื่องค่าปรับแก้การดัดของแผ่นพื้น (Bending Correction Factor, B) ปี 2003 Khazanovich และ Gotlif [3] ทดสอบบนด้วยเครื่องมือ FWD และวิเคราะห์ LTE_σ ด้วยโปรแกรม ISLAB2000 ซึ่งเป็นโปรแกรมวิเคราะห์พิวิททาง FEM เสนอว่าควรมีการปรับแก้การทดสอบการแอ่นตัว ของแผ่นพื้นในกรณีที่ทดสอบการแอ่นตัวมีความแปรปรวนสูงและคำนวณค่า LTE ได้มากเกินไป ค่า B ดังกล่าวแสดงดังสมการ 2.18 ซึ่งเป็นตัวแปรที่ขึ้นกับรัศมีความแกร่งสัมพัทธ์เป็นหลัก มีค่าไม่ เกิน 1.00 และค่าปรับแก้ดังกล่าวแตกต่างจากค่า B ของ AASHTO 1993 และ Dynatest ที่ให้ผล มากกว่า 1.00

$$B^* = 1 - \frac{6.285}{l} + \frac{3661}{l^2} \quad (2.18)$$

เมื่อ B^* คือ Bending Correction Factor ของ Khazanovich และ Gotlif [3]

ในปี 1996 Van Cauwelaert [25] พัฒนาทฤษฎีในการแก้ปัญหาการหาคำนวณหน่วยแรง เก็บและการแอ่นตัวที่รอยต่อแผ่น ซึ่งพัฒนาตามแนวความคิดทฤษฎีที่ปรับแก้ของ Westergaard โดย ใช้ LTE_1 กำหนดสมการขอบเขตความสัมพันธ์ของ LTE_Δ กับ LTE_σ เป็นแบบเชิงเส้นตามสมมติฐาน ดั้งเดิมของ Westergaard ส่งผลให้คำนวณหน่วยแรงเก็บดัดและการแอ่นตัวที่รอยต่อ โดยใช้ แบบจำลองแผ่นเดียว (Single Slab) หากผลเฉลยด้วยรูปแบบปิด (Closed form formula) ซึ่งง่ายและหา คำตอบได้รวดเร็วกว่า FEM ให้ผลการคำนวณหน่วยแรงเก็บและการแอ่นตัวใกล้เคียงกับการทดลอง และศึกษาทึ้งในสนามและ FEM ของ Skarlatos หากเปรียบเทียบผลการคำนวณดังกล่าวด้วย ความสัมพันธ์ระหว่าง ฯ และ LTE_σ ให้ผลในรูปแบบสมการพหุนามกำลังสาม ทึ้งนี้จากการรวมรวม แบบจำลอง LTE_Δ ข้างต้น ขึ้นมาแบบจำลอง LTE_Δ อีก 3 แบบที่อาจส่งผลให้เกิดความแตกต่างระหว่าง ความสัมพันธ์ระหว่าง ฯ และ LTE_σ ซึ่งในปีถัดมา Hammons และ Ioannides [29] นำเสนอผลงานวิจัย เพื่อพัฒนาแบบจำลองในการวิเคราะห์พิวิททางคอนกรีตแบบมีรอยต่อ โดยนำผลทดสอบจริงของ Corp

Model แบบ full scale ในช่วงปี 1950-1960 และแบบจำลอง FEM พบว่าให้ผลการคำนวณแรงเห็นต์มากกว่าทฤษฎีพื้นฐาน ของ Westergaard และให้ผลความสัมพันธ์ระหว่าง LTE_{Δ} กับ LTE_{σ} ในรูปแบบสมการพหุนามกำลังสามซึ่งขัดแย้งกับสมมติฐานของ Westergaard

สำหรับงานวิจัยด้านโปรแกรมคอมพิวเตอร์ปี 2005 Lui และ Fwa [30] ศึกษาผลกระทบของ LTE กับการตอบสนองของผิวทางคอนกรีต (Concrete Pavement Response) ด้วยโปรแกรม NUS (National University of Singapore) ซึ่งเป็นโปรแกรมที่หาคำตอบด้วยผลเฉลยรูปแบบปิด (Close Form Solution) เช่นเดียวกับโปรแกรม PAVERS แตกต่างกันที่ NUS ใช้แบบจำลอง 3 แผ่นพื้น (3-slab model) นำหนักบรรทุกกระทำที่กลางแผ่น, ขอบแผ่นและมุมแผ่นบนฐานราก Pasternak พิจารณา LTE_1 ร่วมกับการวิเคราะห์หน่วยแรงเห็นด้ดพบร่วมกับการไม่นำ LTE มาใช้ในการวิเคราะห์ส่งผลให้คำนวณหน่วยแรงเห็นด้ดที่รอยต่อแผ่นคอนกรีตสูงมากเกินไป LTE จำเป็นต้องนำมาพิจารณาในการออกแบบและประเมินความแข็งแรงของผิวทางคอนกรีตเนื่องจากส่งผลกระทบต่ออายุการใช้งาน

งานวิจัยด้านถนนในประเทศไทยปี 2546 ขยายตัวและคง [1] ศึกษาถึงการประเมินสภาพผิวทางถนนที่มีผิวปูร์ตแลนด์ซีเมนต์คอนกรีตด้วยเครื่องมือ FWD ในช่วงเดือน พ.ค. ถึง ส.ค. พบว่าทดสอบสภาพความแข็งแรงของโครงสร้างถนนคอนกรีตในช่วงเวลาเช้าถึงก่อนเที่ยง เพราะเป็นช่วงเวลาที่แผ่นคอนกรีตไม่มีการโถงอ่อนส่งผลต่อการทดสอบ ค่า LTE ซึ่งจะมีค่าสูงขึ้นในช่วงบ่าย และลดลงในช่วงเวลากลางคืนจนถึงเช้า ดังนั้นในการทดสอบและวิเคราะห์ LTE หากไม่พิจารณาถึงปัจจัยด้านอุณหภูมิ ควรจะทดสอบขณะแผ่นพื้นไม่มีการโถงอ่อนจากอุณหภูมิ

งานวิจัยและศึกษาถนนคอนกรีตของ กรมทางหลวงชนบท กระทรวงคมนาคม [31] โดยเริ่มก่อสร้างถนนคอนกรีตแบบไม่เสริมเหล็กในปี พ.ศ. 2549 จำนวน 2 สายทางในจังหวัดศรีสะเกษ และ 1 สายทางในจังหวัดชลบุรี มีวัตถุประสงค์เพื่อลดต้นทุนในการก่อสร้าง ใช้วัสดุมวลรวมที่มีในท้องถิ่นมาประยุกต์ใช้ หลังจากก่อสร้างและเปิดใช้งาน ทดสอบรอยต่อของถนนด้วยรถ 10 ล้อเพลา มาตรฐาน (นำหนักบรรทุกลงกลุ่มล้อหลัง ล้อละ 2.5 ตัน) แรงดันลมยาง 100 และ 120 ปอนด์/นิวตัน² ตรวจวัดค่าการแอลด์วัช Transducer และ Strain Gauge พบว่าหลังจากก่อสร้างเสร็จใหม่ๆ และมีการเปิดใช้ผิวทางได้ 83 วัน LTE_1 รอยต่อแบบขัดเหลี่ยมประสานมีค่ามากกว่า 80 % สามารถใช้ทดสอบเหล็กได้เป็นอย่างดี

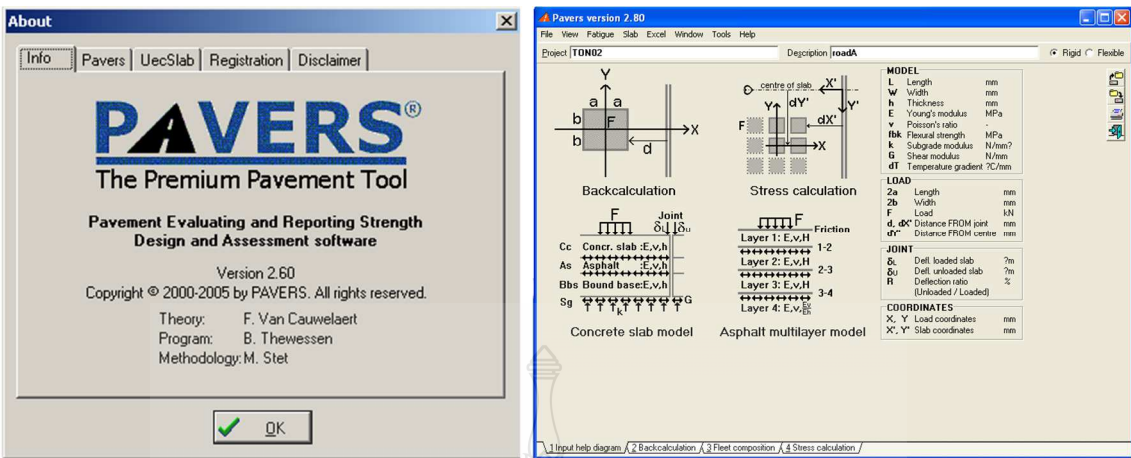
ในปี พ.ศ. 2555 จตุพล [32] ศึกษาความสัมพันธ์ระหว่าง LTE_1 กับ โพรงใต้ผิวทางคอนกรีต (Void) ทดสอบตามมาตรฐานของ FAA ด้วยเครื่องมือ HWD โดยใช้น้ำหนักทดสอบที่ 160, 190 และ 220 กิโลนิวตัน ที่ผิวทางสนามบินที่ก่อสร้างจริงในประเทศไทยพบว่าทั้งสองปัจจัยมีความสัมพันธ์กันในแบบเชิงเส้นและเด่นชัดขึ้นเมื่อ LTE_1 มากกว่าร้อยละ 70 และได้รอยต่อมีโพรงเกิดขึ้นและในปี

2557 พุทธเดือน [33] ได้พัฒนาเครื่องมือต้นแบบที่สามารถวัดค่า LTE ได้จากการถอย退ห้องโดยใช้หน้ากากจากรถบรรทุก 6 ล้อและ 10 ล้อซึ่งเป็นเครื่องมือต้นแบบที่ต้นทุนต่ำกว่า 400,000 บาท ให้ผลทดสอบที่สอดคล้องกับทฤษฎีเมื่อยานพาหนะเคลื่อนที่ด้วยความเร็วต่ำกว่า 20 กิโลเมตรต่อชั่วโมงและยังต้องมีการพัฒนาเครื่องมือนี้ต่อไปให้ดียิ่งขึ้น

2.6 โปรแกรมออกแบบและประเมินผิวทาง PAVERS

งานวิจัยศึกษาครั้งนี้ได้เลือกใช้โปรแกรมคอมพิวเตอร์ PAVERS 2.80 แสดงดังรูปที่ 2.14 ซึ่งเป็นโปรแกรมสำหรับงานโครงสร้างผิวทาง ใช้สำหรับออกแบบโครงสร้างผิวทางถนน, ผิวทางสนามบิน และผิวทางในงานอุตสาหกรรมหนัก สามารถจำลองการทดสอบด้วยเครื่อง FWD หรือ HWD เพื่อหาค่าแอลองการยุบตัว อีกทั้งยังมีศักยภาพในการคำนวณย้อนกลับ (Back Calculation) หากไม่มีคุณสมบัติของโครงสร้างชั้นทาง และประเมินค่า PCN ของโครงสร้างผิวทางสนามบินตามเกณฑ์ของ ICAO [34] โปรแกรมนี้ถูกพัฒนาในเชิงพาณิชย์โดย Van Cauwelaert และคณะ โดยพัฒนามาจากโปรแกรมคอมพิวเตอร์ UEC - SLAB ซึ่งใช้ในองค์การค้านงานทางของประเทศไทยและองค์การ North Atlantic Treaty Organization (NATO) [35]

ทฤษฎีที่ใช้ในการแก้ปัญหาและคำนวณผิวทางคอนกรีตในโปรแกรม PAVERS 2.80 นี้ ใช้สมการปรับแก้ของ Westergaard ที่พัฒนาโดย Van Cauwelaert และคณะ ใช้ระบบพิกัดระบุตำแหน่งของหน้ากากยานพาหนะที่กระทำและระบุตำแหน่งหน่วยแรงและการยุบตัวของจุดที่ต้องการคำนวณในการคำนวณผิวทางคอนกรีตสามารถกำหนด LTE ได้ลดข้อจำกัดของการคำนวณแบบแผ่นพื้นแผ่นเดียว (Single Slab) ทำให้ผลการคำนวณที่มีความละเอียดแม่นยำเท่ากับ FE แต่รวดเร็วมากซึ่งหมายความว่าการวิเคราะห์งานทางที่มีข้อมูลหรือมีข้อทดสอบจำนวนมาก



รูปที่ 2.14 ตัวอย่างการใช้งานโปรแกรมคอมพิวเตอร์ PAVERS

บทที่ ๓

วิธีการดำเนินการวิจัย

หน่วยงานด้านถนนและผิวทางสนามบินในระดับสากลต่างก็มีรายละเอียดของ LTE ที่แตกต่างกันงานวิจัยนี้จึงมุ่งเน้นที่การศึกษา วิเคราะห์ผลกรอบของหน่วยแรงเค้นดัด (Flexural Stress) ที่เกิดขึ้นในผิวทางคอนกรีตจากแต่ละแบบจำลอง LTE โดยเลือกใช้โปรแกรม PAVERS 2.80 ซึ่งเป็นโปรแกรมลิขสิทธิ์ของศูนย์วิจัยเทคโนโลยีผิวทางถนนและท่าอากาศยาน (RAPTRE) ภาควิชาวิศวกรรมโยธา คณะวิศวกรรมศาสตร์ มหาวิทยาลัยเทคโนโลยีราชมงคลชั้นนำ กำลังการทดสอบ FWD และน้ำหนักรถสิบล้อ 25 ตัน กระทำที่ร้อยต่อของถนนคอนกรีตที่ก่อสร้างจริงในประเทศไทย ดังรูปที่ 3.1 และมีรายละเอียดขั้นตอนดังต่อไปนี้

- ศึกษาร่วมเอกสารทฤษฎีและงานวิจัยที่เกี่ยวข้อง
- จัดกลุ่มแบบจำลอง LTE จากแต่ละหน่วยงาน
- เจาะสำรวจความหนาชั้นทางของถนนคอนกรีตที่ก่อสร้างจริงในประเทศไทยด้วยเครื่องมือเจาะสำรวจ (Bore Scope)
- จำลองการทดสอบการแอนตัว MID Slab ด้วยเครื่องมือ FWD โดยใช้โปรแกรม PAVERS รุ่น 2.80
- นำค่าการแอนตัวที่ได้มาคำนวณและวิเคราะห์ LTE ของแต่ละหน่วยงาน
- วิเคราะห์ผลกรอบของหน่วยแรงเค้นดัดที่เกิดขึ้นจากแต่ละแบบจำลอง LTE
- สรุปผลที่ได้จากการศึกษา
- จัดทำรูปเล่มวิทยานิพนธ์ และตีพิมพ์งานวิจัยเผยแพร่ในงานประชุมวิชาการหรือวารสารวิชาการ

เจาะสำรวจความหนาชั้นทางด้วยเครื่องมือ Bore Scope



จำลองการทดสอบ FWD ด้วยโปรแกรมคอมพิวเตอร์ PAVER

2.80



คำนวณค่า LTE ทั้ง 4 แบบจำลอง



จำลองนำหนักบรรทุกรถ 10 ล้อ บนรอยต่อถนนคอนกรีต



คำนวณหน่วยแรงเค้นดัดจากแต่ละแบบจำลอง LTE ด้วย
โปรแกรมคอมพิวเตอร์ PAVER 2.80



วิเคราะห์และสรุปผลกระทบของหน่วยแรงเค้นดัดและ LTE_{σ}
จากแต่ละแบบจำลอง LTE

รูปที่ 3.1 แผนผังขั้นตอนปฏิบัติงานวิจัย

3.1 เจาะสำรวจความหนาชั้นทางด้วยเครื่องมือ Bore Scope

ใช้ส่วนเจาะถนนคอนกรีตจากนั้นใช้เครื่องมือ Bore Scope ส่องเข้าไปในรูเจาะเพื่อสำรวจความหนาและวัสดุของผิวทางคอนกรีตแสดงดังรูปที่ 3.2 โดยในงานวิจัยนี้เจาะสำรวจถนนที่ก่อสร้างจริงในประเทศไทย 2 สายทางคือ สาระบุรี-หนองแคร (SN) และปทุมธานี-ธนบุรี (PT)



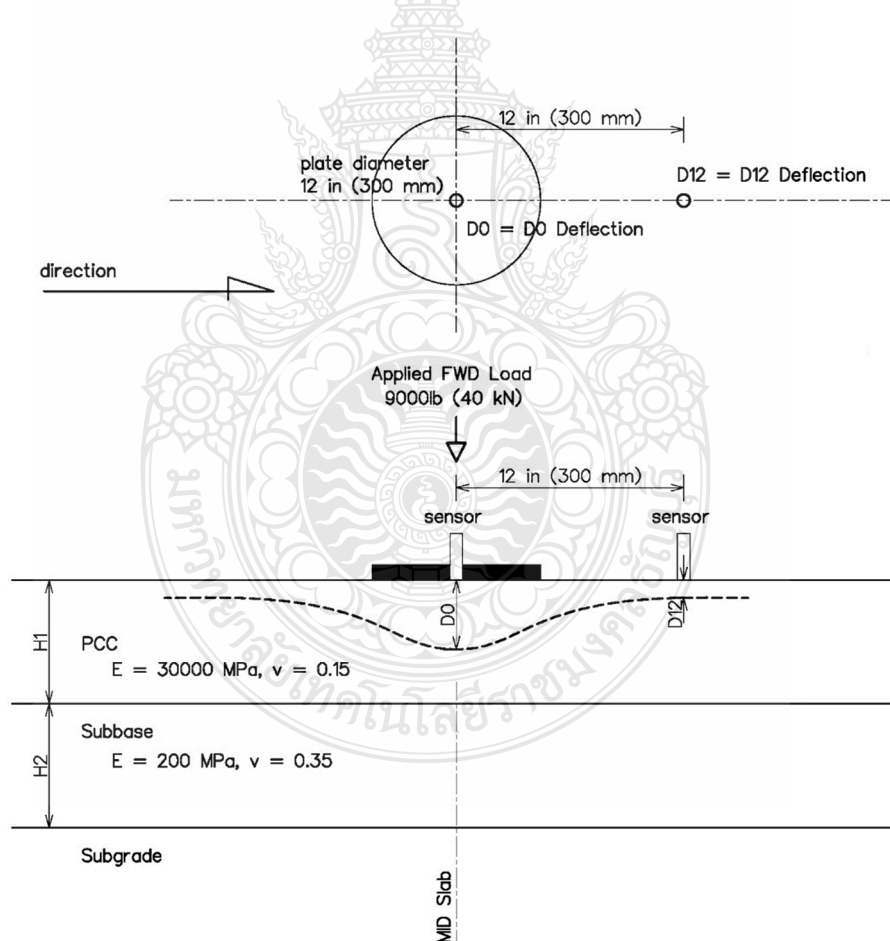
รูปที่ 3.2 เครื่องมือเจาะและสำรวจ Bore Scope

3.2 จำลองการทดสอบ FWD ด้วยโปรแกรมคอมพิวเตอร์ PAVERS 2.80

หลังจากได้ข้อมูลความหนาของชั้นผิวทางคอนกรีตแล้ว จำลองการทดสอบการแอ่นตัว MID Slab ด้วยเครื่องมือ FWD โดยใช้โปรแกรมคอมพิวเตอร์ PAVERS และแสดงดังรูปที่ 3.3 กำหนดให้ถนนคอนกรีตมีความกว้าง 3.5 ม. ยาว 1.0 ม. นำเข้าตัวแปรความหนาจากการเจาะสำรวจด้วยเครื่องมือ Bore Scope คุณสมบัติของวัสดุ เช่น ค่าอีลาสติกโมดูลัสและค่าอัตราส่วนปัวซองเลือกใช้ตามข้อแนะนำของ AASHTO และแสดงดังตารางที่ 3.1 [13] ค่า d_0 และ d_{12} ที่ได้จากโปรแกรม PAVERS นำมาคำนวณค่า B ตามสมการที่ 2.5 เพื่อใช้ในการหาค่า LTE_3 และ LTE_4 ต่อไป

ตารางที่ 3.1 ค่าอีเลสติกโมดูลัส (E) โดยทั่วไปของวัสดุชั้นทางตามข้อแนะนำของ AASHTO [13]

Pavement Material	Range (MPa)	Typical Value (MPa)
Hot Mixed Asphalt	1,500 – 3,500	3,000
Portland Cement Concrete	20,000 – 50,000	30,000
Asphalt Treated Base	500 - 3,000	1,000
Cement Treated Base	3,500 - 7,000	5,000
Lean Cement	7,000 - 20,000	10,000
Granular Base	100 – 300	200
Granular Subgrade Soils	50 - 150	100
Fine – Grained Subgrade Soli	20 -50	50



รูปที่ 3.3 จำลองการทดสอบ MID Slab ด้วยเครื่องมือ FWD โดยใช้โปรแกรมคอมพิวเตอร์ PAVERS

3.3 คำนวณค่า LTE ทั้ง 4 แบบจำลอง

กำหนด d_u และ d_l ดังตารางที่ 3.2 เพื่อใช้เป็นตัวแทนคำนวณค่า LTE_1 และคำนวณ LTE_2 ถึง LTE_4 ตามสมการที่ 2.1 – 2.4 และนำค่า LTE ทั้ง 4 แบบ แบ่งเกณฑ์ LTE ออกเป็น 5 กรณีและนำผลไปวิเคราะห์เพื่อหาผลกระทบต่อหน่วยแรงเห็นด้ดที่ร้อยต่อ

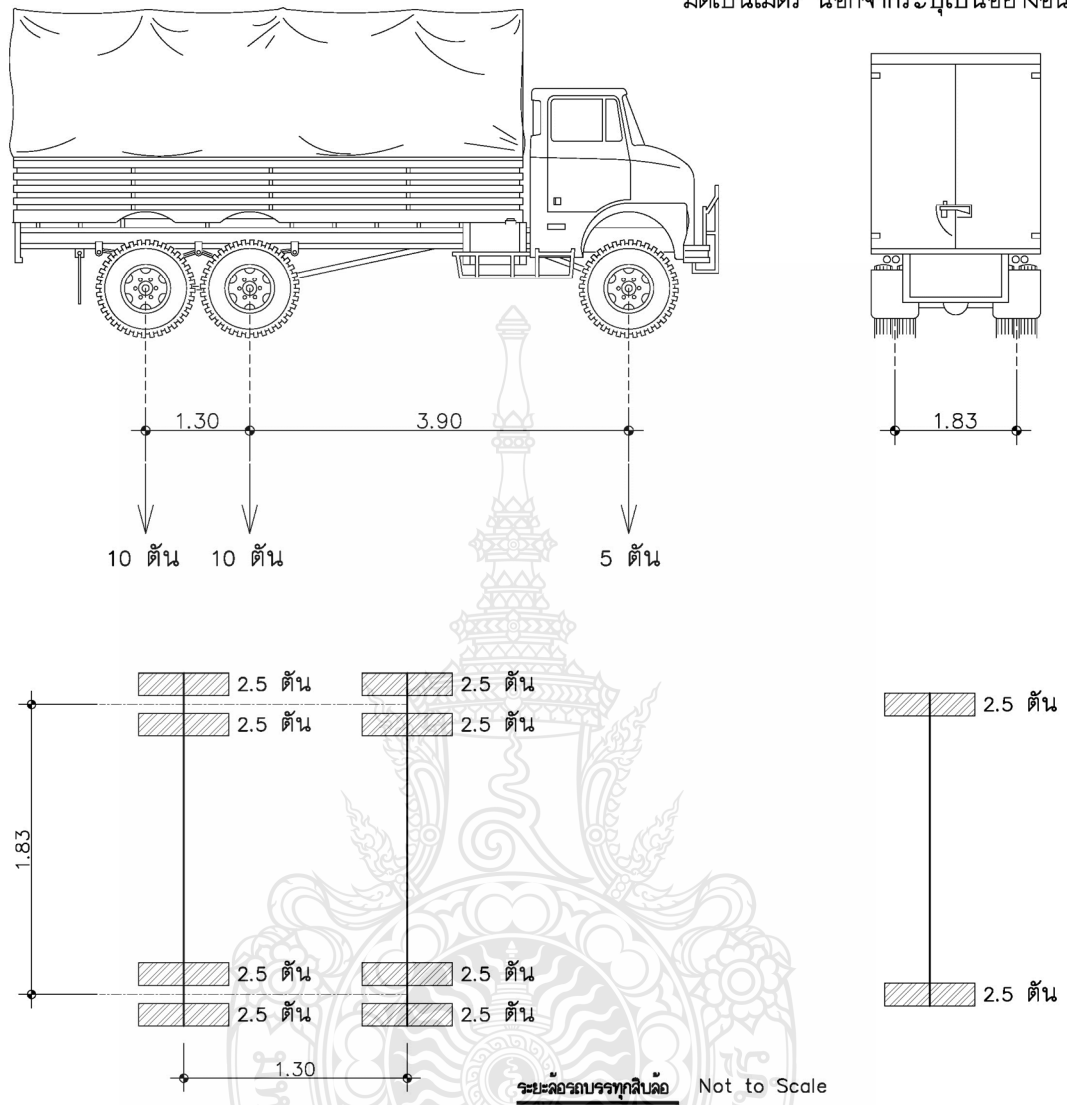
ตารางที่ 3.2 ตารางกำหนดค่า d_u และ d_l เพื่อแบ่งเกณฑ์และคำนวณค่า LTE

กรณีที่	1	2	3	4	5
d_u	0.000	0.025	0.05	0.075	0.100
d_l	0.100	0.100	0.100	0.100	0.100

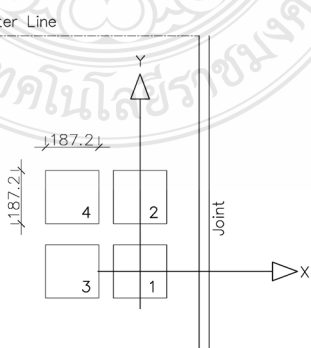
3.4 จำลองน้ำหนักบรรทุกรถ 10 ล้อ บนรอยต่อถนนคอนกรีตที่ก่อสร้างจริงในประเทศไทยด้วยโปรแกรมคอมพิวเตอร์ PAVERS 2.80

จำลองน้ำหนักบรรทุกรถ 10 ล้อ 25 ตัน ในประเทศไทยซึ่งมีมิติและความยาวแสดงดังรูปที่ 3.4 โดยกำหนดให้น้ำหนักจากเพลาถ่ายลงล้อ 2.5 ตัน (24.5 กิโลนิวตัน) เท่ากันทุกล้อ ใช้แรงดันลมยาง 100 ปอนด์/นิ้ว² (0.70 เมกะปานาล) คำนวณพื้นที่ผิวล้อรถสามผู้ส่วนนนเที่ยบเท่าเป็นรูปสี่เหลี่ยม 187.2 มม. กำหนดให้ถนนคอนกรีตมีกำลังรับแรงดัน 3 เมกะปานาล ซึ่งเป็นค่าต่ำที่สุดที่กรมทางหลวงยอมให้ [6] นำพิกัดของกลุ่มล้อหลังแสดงดังรูปที่ 3.5 และตารางที่ 3.3 เข้าในโปรแกรม PAVERS เพื่อคำนวณหน่วยแรงเห็นด้ดร่วมกับ LTE แต่ละแบบ โดยหลักการทำงานของโปรแกรมนี้ ป้อนค่าพิกัดกลุ่มล้อครึ่งแผ่นล่างเท่านั้น

ມີຕີເປັນເມຕຣາ ນອກຈາກຮະບູເປັນອ່າງອື່ນ



ຮູບທີ 3.4 ມີຕີແລະຄວາມຍາວຂອງຮົມບຽບທຸກ 10 ລ້ອໜ້ານັກ 25 ຕັນ



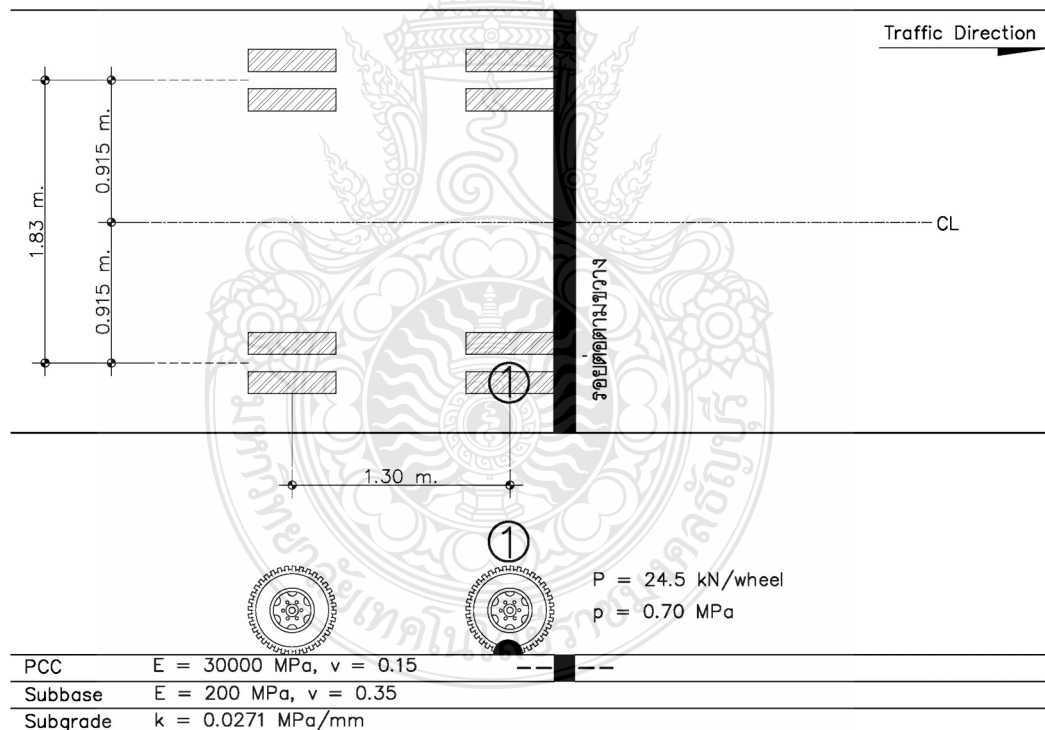
ຮູບທີ 3.5 ຕຳແໜ່ງພຶກດັກຄຸ່ມລື້ອຮົມບຽບທຸກ 10 ລ້ອ ທີ່ປ້ອນເຂົາໃນໂປຣແກຣມ PAVERS

ตารางที่ 3.3 พิกัดกลุ่มล้อหลังรถสิบล้อที่นำเข้าในโปรแกรม PAVERS

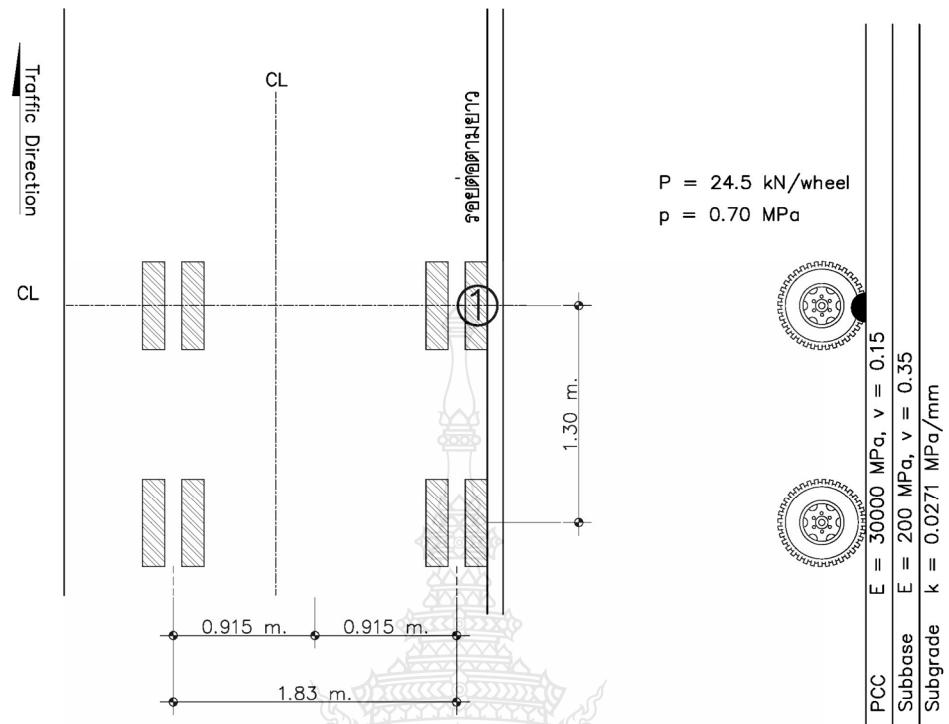
พิกัดล้อ (X, Y) มม.	1	2	3	4
Transverse Joint	(000 ,000)	(000 ,350)	(-1300 ,000)	(+1300 ,350)
Longitudinal Joint	(000 ,000)	(000 ,1300)	(-350,000)	(-350 ,1300)

3.5 คำนวณหน่วยแรงเค้นดัดจากการบรรทุก 10 ล้อ หนัก 25 ตัน ร่วมกับแต่ละแบบจำลอง LTE ด้วยโปรแกรมคอมพิวเตอร์ PAVERS 2.80

คำนวณหน่วยแรงเค้นดัดได้ล้อที่ 1 ทั้งรอยต่อตามขวาง (Transverse Joint) และรอยต่อตามยาว (Longitudinal Joint) ของถนนคอนกรีต 2 สายทาง (PT และ SN) โดยตำแหน่งได้ล้อที่ 1 เป็นตำแหน่งวิกฤตที่ทำให้เกิดหน่วยแรงเค้นดัดที่ผิวล่างสุด [36] แสดงดังรูปที่ 3.6 และรูปที่ 3.7



รูปที่ 3.6 แบบจำลองคำนวณหน่วยแรงเค้นดัดที่รอยต่อตามขวางร่วมกับแต่ละแบบจำลอง LTE ด้วยโปรแกรมคอมพิวเตอร์ PAVERS



รูปที่ 3.7 แบบจำลองคำนวณหน่วยแรงเห็นด้ดที่รอยต่อตามยาวร่วมกับแต่ละแบบจำลอง LTE ด้วยโปรแกรมคอมพิวเตอร์ PAVERS

3.6 วิเคราะห์และสรุปผลกระทนของหน่วยแรงเห็นด้ดและ LTE_{σ} จากแต่ละแบบจำลอง LTE

วิเคราะห์และสรุปผลการศึกษาที่ได้ โดยเปรียบเทียบผลกระทนของแต่ละแบบจำลอง LTE ที่ส่งผลกระทบต่อการคำนวณหาหน่วยแรงเห็นด้ดและ LTE_{σ} ตามทฤษฎีของ Westergaard เปรียบเทียบผลดังกล่าวทั้งรอยต่อตามขวาง (Transverse Joint) และรอยต่อตามยาว (Longitudinal Joint) โดยงานวิจัยนี้ไม่คำนึงถึงปัจจัยของความกว้างของรอยต่อ (Joint Opening) อุณหภูมิในคอนกรีต อุณหภูมิอากาศและความชื้น ผลการศึกษาที่ใช้เป็นข้อมูลสำหรับการเลือกใช้งานแบบจำลอง LTE ให้มีความเหมาะสมและมีประสิทธิภาพมากยิ่งขึ้น

บทที่ 4

ผลการศึกษาและการวิเคราะห์

4.1 เจาะสำรวจความหนาชั้นทางด้วยเครื่องมือ Bore Scope

รูปที่ 4.1 และรูปที่ 4.2 แสดงการเจาะสำรวจความหนาถนนคอนกรีต 2 สายทางด้วยเครื่องมือ Bore Scope ณ ตำแหน่งที่สามารถปิดการจราจรได้และมีความปลอดภัยต่อผู้ปฏิบัติการ แสดงข้อมูลความหนาชั้นทางดังตารางที่ 4.1 โดยคอนกรีตสายทางหนองแคร – สระบุรี (SN) มีชั้นคอนกรีตหนากว่าสายทางปทุมธานี – ชลบุรี (PT) 2 เท่า (ความหนาคอนกรีต 0.26 ม. และ 0.13 ม. ตามลำดับ) โดยที่สายทาง PT มีความหนาต่ำกว่ามาตรฐานการออกแบบของกรมทางหลวงมาก ซึ่งโดยทั่วไปจะมีความหนาคอนกรีตที่ 0.23 ถึง 0.25 ม. [6]



รูปที่ 4.1 เจาะสำรวจความหนาชั้นทางถนนคอนกรีตสายทางสระบุรี – หนองแคร (SN)



รูปที่ 4.2 เจาะสำรวจความหนาชั้นทางถนนคอนกรีตสายทางปทุมธานี – ชลบุรี (PT)

ตารางที่ 4.1 ผลเจาะสำรวจน้ำหนาสายทางสระบุรี–หนองแคร (SN) และปทุมธานี–ชลบุรี (PT)

สายทาง	SN (m)	PT (m)
PCC	0.260	0.130
Subbase	0.101	0.125
Subgrade	-	-

4.2 ผลจำลองการทดสอบ FWD ด้วยคอมพิวเตอร์ PAVERS

นำเข้าค่าความหนาทั้ง 2 สายทาง กำหนดตัวแปรต่างๆที่ใช้ในการจำลองการทดสอบ MID Slab ดังรูปที่ 4.3 กำหนดค่าอิลาสติกโมดูลัสและค่าอัตราส่วนปัวของตามข้อแนะนำของ AASHTO [13] คำนวณค่าการแอ่นตัวที่ตำแหน่ง d_0 และ d_{12} ด้วยโปรแกรมคอมพิวเตอร์ PAVERS แสดงผล ดัง ตารางที่ 4.2 ผลการคำนวณพบว่าสายทาง SN ซึ่งชั้นคอนกรีตมีความหนา 0.26 ม. คำนวณค่าการแอ่นตัวและค่า B ได้น้อยกว่า Dunn PT ซึ่งชั้นคอนกรีตมีความหนา 0.13 ม. ทั้งนี้ค่า B ที่ได้ยังมีความสอดคล้อง กับค่าแนะนำของ AASHTO (1.05 – 1.15) [3]

ตารางที่ 4.2 แสดงผลจำลองการทดสอบ FWD และคำนวณค่า B

สายทาง	SN	PT
d_0 (mm)	0.142	0.394
d_{12} (mm)	0.135	0.352
B	1.052	1.119

Slab Length = 10,000 mm, Slab Width = 3,500 mm

Plate Radius = 300 mm, FWD Load = 40 kN

E (PCC) = 30,000 MPa, μ = 0.15

E (Subbase) = 200 MPa, μ = 0.35

k (Subgrade) = 0.0271 MPa/mm

flexural Strength = 3 MPa

4.3 ผลการคำนวณค่า LTE

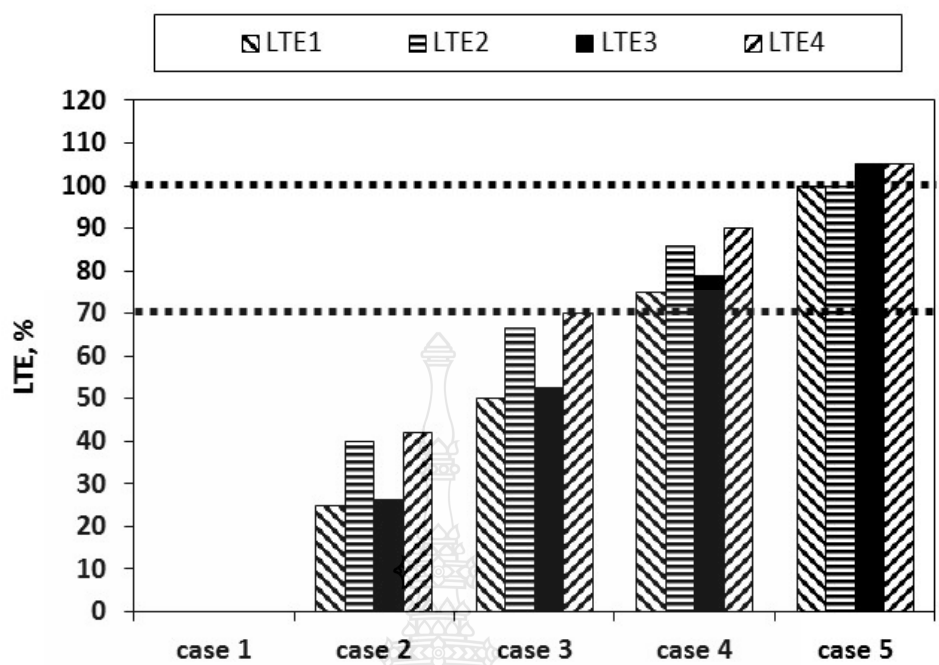
คำนวณค่า LTE_1 ถึง LTE_4 แสดงรายละเอียดดังตารางที่ 4.3 หากพิจารณาเฉพาะแบบจำลอง LTE_1 และ LTE_2 ซึ่งเป็น 2 แบบจำลองที่นิยมใช้มากที่สุดและไม่มีผลปรับแก้จากค่าการดัดของแผ่นพื้น (B) ได้ผลเช่นเดียวกับงานวิจัยของ Chao Wei และคณะ [26] ค่า B ส่งผลให้คำนวณ LTE_3 และ LTE_4 ได้มากขึ้นในทุกกรณี และค่า B ส่งผลให้คำนวณค่า LTE มากเกินจริงในกรณีที่ 5 ทั้ง 2 สายทางซึ่งค่า LTE ที่มากเกินกว่าร้อยละ 100 หากนำมาวิเคราะห์ต่อเนื่องอาจส่งผลให้เกิดความผิดพลาดหรือข้ามเกณฑ์ในการทดสอบได้

ตารางที่ 4.3 ผลการคำนวณ LTE ของสายทาง SN และ PT

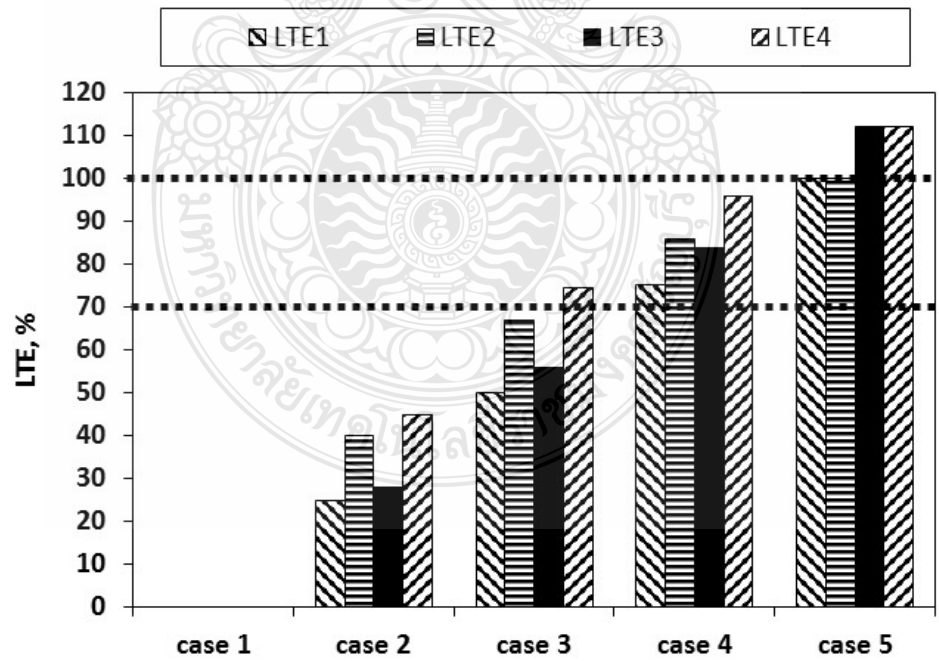
กรณี	Case 1	Case 2	Case 3	Case 4	Case 5
SN	LTE_1	0.00	25.0	50.0	75.0
	LTE_2	0.00	26.3	52.6	78.9
	LTE_3	0.00	40.0	66.7	85.7
	LTE_4	0.00	42.1	70.1	90.2
PT	LTE_1	0.00	25.0	50.0	75.0
	LTE_2	0.00	28.0	56.0	83.9
	LTE_3	0.00	40.0	66.7	85.7
	LTE_4	0.00	44.8	74.6	95.9

* คือ LTE มากกว่าร้อยละ 100

ในกรณีที่นำ LTE แต่ละแบบจำลองมาวิเคราะห์ โดยแบ่งผลทดสอบ LTE ตามเกณฑ์ของ FAA แสดงในรูปที่ 4.3 และรูปที่ 4.4 พบว่าที่เกณฑ์ Fair LTE_1 มีค่าร้อยละ 50 แต่เมื่อนำผลทดสอบเดียวกันมาคำนวณด้วยแบบจำลอง LTE_4 ในสายทาง SN คำนวณได้สูงถึงร้อยละ 70.6 และสายทาง PT คำนวณ LTE_4 ได้สูงถึงร้อยละ 74.6 ซึ่งสูงจนข้ามไปอยู่ในเกณฑ์ Acceptable ได้ซึ่งอาจส่งผลให้ประเมินความแข็งแรงที่รอยต่อถนนคอนกรีตผิดพลาดได้



รูปที่ 4.3 กราฟแสดงผลการคำนวณของ LTE ทั้ง 4 แบบจำลองในสายทาง SN

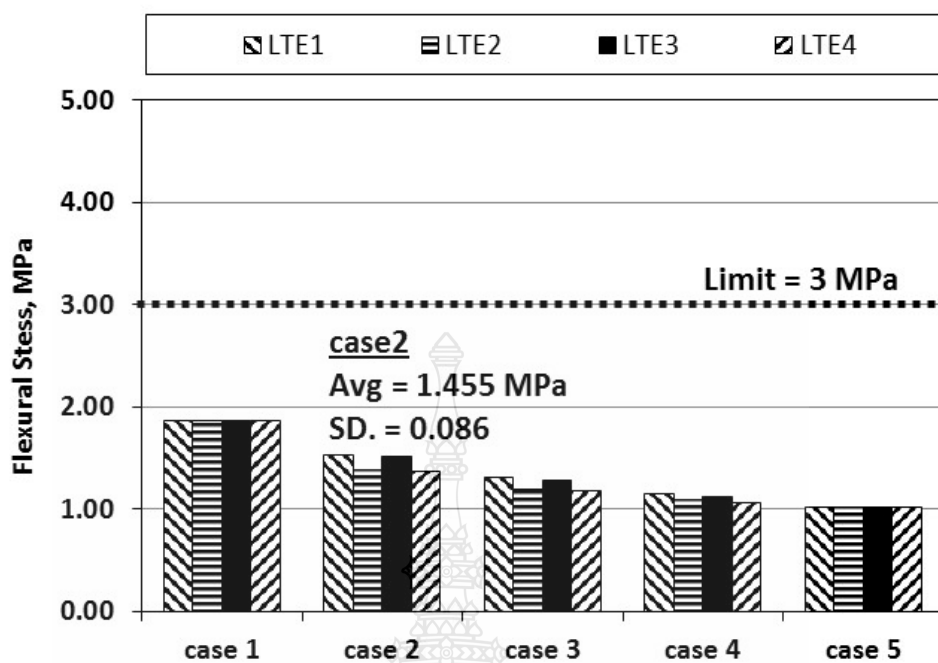


รูปที่ 4.4 กราฟแสดงผลการคำนวณของ LTE ทั้ง 4 แบบจำลองในสายทาง PT

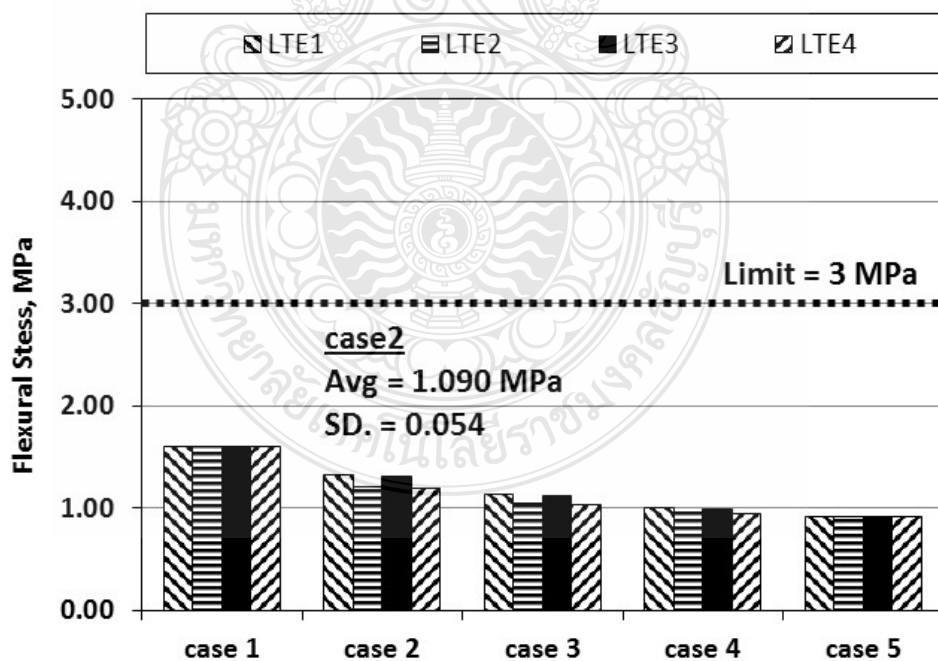
4.4 ผลการคำนวณค่าหน่วยแรงเห็นด้ดจำกัดจากรอบรุก 10 ล้อกับ LTE

รูปที่ 4.5 – รูปที่ 4.8แสดงความสัมพันธ์ระหว่างหน่วยแรงเห็นด้ดที่รอยต่อตามขวางและรอยต่อตามยาวกับในสายทาง SN และ PT จากแต่ละแบบจำลอง LTE ทั้ง 5 กรณี (เป็นตัวแทน LTE จากแยกถึงดี) ผลการคำนวณพบว่าแบบจำลอง LTE ที่ให้ค่าสูงจะส่งผลให้คำนวณหน่วยแรงเห็นด้ดที่รอยต่อผิวทางคอนกรีตได้น้อยลง เช่นเดียวกับงานวิจัยของ E.J. Barenberg และ G.R. Woodman [27] ในรูปที่ 2.13 โดยแบบจำลอง LTE ในทุกกรณีส่งผลกระทบต่อการคำนวณหน่วยแรงเห็นด้ดของรอยต่อตามขวางมากกว่ารอยต่อตามยาวทั้ง 2 สายทางซึ่งรอยต่อตามขวางทั้ง 2 สายทางมีส่วนเบี่ยงเบนมาตรฐานมากกว่ารอยต่อตามยาว โดยเฉพาะอย่างยิ่งสายทาง PT ซึ่งแผ่นคอนกรีตมีความหนาเพียง 0.13 ม. ในส่วนของ LTE กรณีที่ 2 ได้รับผลกระทบมากที่สุด มีค่าเฉลี่ยของการคำนวณหน่วยแรงเห็นด้ดเท่ากับ 3.681 เมกะปาสคาล ส่วนเบี่ยงเบนมาตรฐานเท่ากับ 0.215

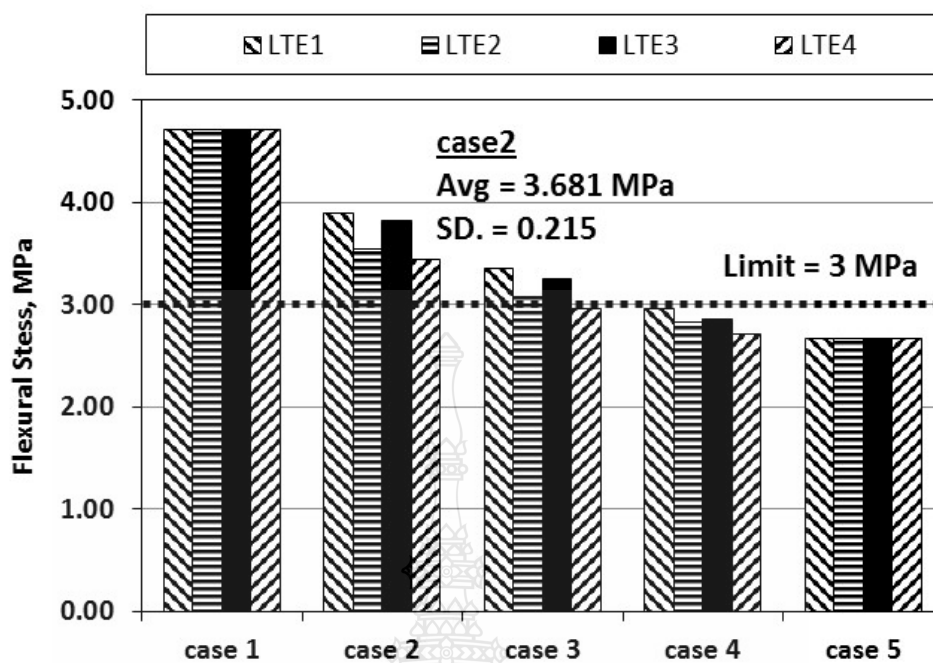
เมื่อพิจารณากำลังรับแรงเห็นด้ด (Flexural Strength) ของถนนคอนกรีตที่ 3 เมกะปาสคาล ซึ่งเป็นค่าต่ำสุดที่ยอมให้ตามข้อกำหนดของกรมทางหลวง [6] พบว่าในสายทาง SN แบบจำลอง LTE ทั้ง 4 แบบไม่ส่งผลกระทบต่อข้อจำกัดดังกล่าว แต่ในสายทาง PT แบบจำลอง LTE ส่งผลกระทบต่อการคำนวณหน่วยแรงเห็นด้ดโดยเฉพาะอย่างยิ่งเมื่อ LTE มีค่าน้อยถึงปานกลาง ตัวอย่างเช่นในรูปที่ 4.7 LTE กรณีที่ 3 ผลของการคำนวณแรงเห็นด้ดจากแบบจำลอง LTE₁ ให้ค่าสูงกว่า 3 เมกะปาสคาล แต่ผลการคำนวณดังกล่าวของ LTE₄ ให้ค่าต่ำกว่าข้อจำกัดซึ่งส่งผลต่อการประเมินความแข็งแรงของผิวทางคอนกรีตโดยตรงและอาจทำให้ประเมินการซ่อมแซมถนนผิดพลาดได้



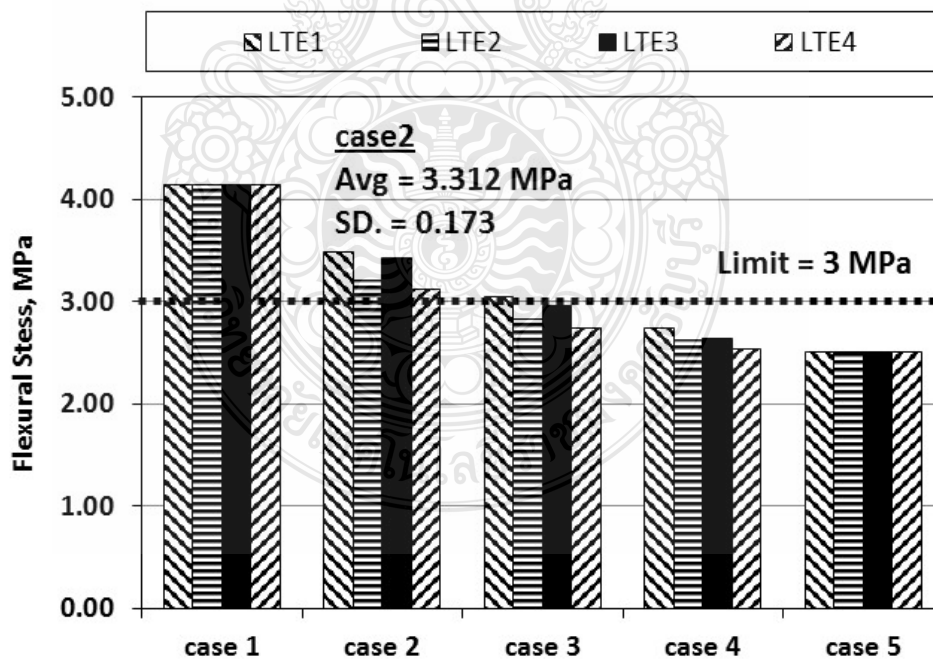
รูปที่ 4.5 กราฟแสดงความสัมพันธ์ระหว่างหน่วยแรงเค้นดัดที่ร้อยต่อตามขวางกับแบบจำลอง LTE ของสายทาง SN



รูปที่ 4.6 กราฟแสดงความสัมพันธ์ระหว่างหน่วยแรงเค้นดัดที่ร้อยต่อตามยาวกับแบบจำลอง LTE ของสายทาง SN



รูปที่ 4.7 กราฟแสดงความสัมพันธ์ระหว่างหน่วยแรงเค้นดัดที่รอยต่อตามขวางกับแบบจำลอง LTE ของสายทาง PT



รูปที่ 4.8 กราฟแสดงความสัมพันธ์ระหว่างหน่วยแรงเค้นดัดที่รอยต่อตามยาวกับแบบจำลอง LTE ของสายทาง PT

4.5 ผลการคำนวณหน่วยแรงเคี้นและวิเคราะห์ LTE_{σ}

หน่วยแรงเคี้นด้วยที่ได้คำนวณได้จากแต่ละแบบจำลอง LTE ทั้ง 5 กรณี ถือว่าเป็นหน่วยแรงเคี้นด้วยของ Unloaded Slab ในกรณีที่คำนวณหน่วยแรงเคี้นด้วยที่ขอบแผ่นอิสระ (Free Edge) ใช้ความสัมพันธ์ของสมการ 2.14 คำนวณหน่วยแรงเคี้นด้วยของ Unloaded Slab และผลการคำนวณ LTE_{σ} จากแต่ละแบบจำลอง LTE ได้ในทุกกรณีแสดงดังตารางที่ 4.4 - ตารางที่ 4.7

แต่ละแบบจำลอง LTE ส่งผลให้คำนวณหน่วยแรงเคี้นได้แตกต่างกันและหากนำคำนวณต่อเนื่องเพื่อหา LTE_{σ} พบว่า LTE_{σ} ของรอยต่อตามขวางมีค่ามากกว่า LTE_{σ} ของรอยต่อตามยาวทั้ง 2 สายทาง ซึ่ง LTE_{σ} ในกรณีที่ 3 มีส่วนเบี่ยงเบนมาตรฐานมากที่สุดที่สายทาง PT (ส่วนเบี่ยงเบนมาตรฐานเท่ากับ 8.179 ที่ค่าเฉลี่ยร้อยละ 49.280) สำหรับผลการคำนวณ LTE_{σ} ที่รอยต่อตามยาวของสายทาง PT พบว่ามีค่า LTE_{σ} ต่ำที่สุด จากตารางที่ 4.4 - ตารางที่ 4.7 ข้างต้นพบว่าแต่ละแบบจำลอง LTE ส่งผลต่อหน่วยแรงเคี้นและหากนำไปคำนวณ LTE_{σ} จะส่งผลต่อหน่วยแรงเคี้นที่รอยต่อตามขวางในสายทาง SN มากกว่า

ตารางที่ 4.4 ผลการคำนวณหน่วยแรงเคี้นด้วยและวิเคราะห์ LTE_{σ} สายทาง SN (Transverse Joint)

สายทาง SN (Transverse Joint)			$\sigma_t = 1.873$											
case 1			case 2			case 3			case 4			case 5		
σ_l	σ_u	LTE_{σ}	σ_l	σ_u	LTE_{σ}	σ_l	σ_u	LTE_{σ}	σ_l	σ_u	LTE_{σ}	σ_l	σ_u	LTE_{σ}
1.873	0.000	0.0	1.535	0.338	22.0	1.309	0.564	43.1	1.147	0.726	63.3	1.026	0.847	82.6
1.873	0.000	0.0	1.389	0.484	34.8	1.194	0.679	56.9	1.09	0.783	71.8	1.026	0.847	82.6
1.873	0.000	0.0	1.524	0.349	22.9	1.287	0.586	45.5	1.126	0.747	66.3	1.026	0.847	82.6
1.873	0.000	0.0	1.372	0.501	36.5	1.176	0.697	59.3	1.071	0.802	74.9	1.026	0.847	82.6
Mean			29.1			51.2			69.1			82.6		
SD.			7.7			8.1			5.2			0.0		

กำหนดให้ σ_t , σ_u , σ_l = MPa , LTE_{σ} (%), Mean = ค่าเฉลี่ย และ S.D. = ส่วนเบี่ยงเบนมาตรฐาน

ตารางที่ 4.5 ผลการคำนวณหน่วยแรงคีนดักและวิเคราะห์ $LTE\sigma$ สายทาง SN (Longitudinal Joint)

ສາຍຫັນ SN (Longitudinal Joint):			σ_f	1.605												
case 1			case 2			case 3			case 4			case 5				
σ_l	σ_u	LTE σ	σ_l	σ_u	LTE σ	σ_l	σ_u	LTE σ	σ_l	σ_u	LTE σ	σ_l	σ_u	LTE σ		
1.605	0.000	0.0	1.329	0.276	20.8	1.145	0.46	40.2	1.014	0.591	58.3	0.915	0.69	75.4		
1.605	0.000	0.0	1.211	0.394	32.5	1.051	0.554	52.7	0.967	0.638	66.0	0.915	0.69	75.4		
1.605	0.000	0.0	1.32	0.285	21.6	1.127	0.478	42.4	0.996	0.609	61.1	0.915	0.69	75.4		
1.605	0.000	0.0	1.197	0.408	34.1	1.037	0.568	54.8	0.951	0.654	68.8	0.915	0.69	75.4		
Mean		0.0	27.2			47.5			63.5			75.4				
S.D.		0.0	7.0			7.3			4.7			0.0				

กำหนดให้ σ_f , σ_u , $\sigma_u = \text{MPa}$, $\text{LTE}\sigma$ (%), Mean = ค่าเฉลี่ย และ S.D. = ส่วนเบี่ยงเบนมาตรฐาน

ตารางที่ 4.6 ผลการคำนวณหน่วยแรงคึ่นดัดและวิเคราะห์ LTE_{σ} สายทาง PT (Transverse Joint)

ສາຍທາງ PT (Transverse Joint)			$\bar{\sigma}_f$	4.713												
case 1			case 2			case 3			case 4			case 5				
$\bar{\sigma}_l$	$\bar{\sigma}_u$	LTE $\bar{\sigma}$	$\bar{\sigma}_l$	$\bar{\sigma}_u$	LTE $\bar{\sigma}$	$\bar{\sigma}_l$	$\bar{\sigma}_u$	LTE $\bar{\sigma}$	$\bar{\sigma}_l$	$\bar{\sigma}_u$	LTE $\bar{\sigma}$	$\bar{\sigma}_l$	$\bar{\sigma}_u$	LTE $\bar{\sigma}$		
4.713	0.000	0.0	3.899	0.814	20.9	3.356	1.357	40.4	2.969	1.744	58.7	2.678	2.035	76.0		
4.713	0.000	0.0	3.55	1.163	32.8	3.08	1.633	53.0	2.831	1.882	66.5	2.678	2.035	76.0		
4.713	0.000	0.0	3.823	0.89	23.3	3.252	1.461	44.9	2.855	1.858	65.1	2.678	2.035	76.0		
4.713	0.000	0.0	3.45	1.263	36.6	2.969	1.744	58.7	2.72	1.993	73.3	2.678	2.035	76.0		
Mean		0.0	28.4			49.3			65.9			76.0				
S.D.		0.0	7.5			8.2			6.0			0.0				

กำหนดให้ σ_s , σ_u , $\sigma_u = \text{MPa}$, $\text{LTE}\sigma$ (%), Mean = ค่าเฉลี่ย และ S.D. = ส่วนเบี่ยงเบนมาตรฐาน

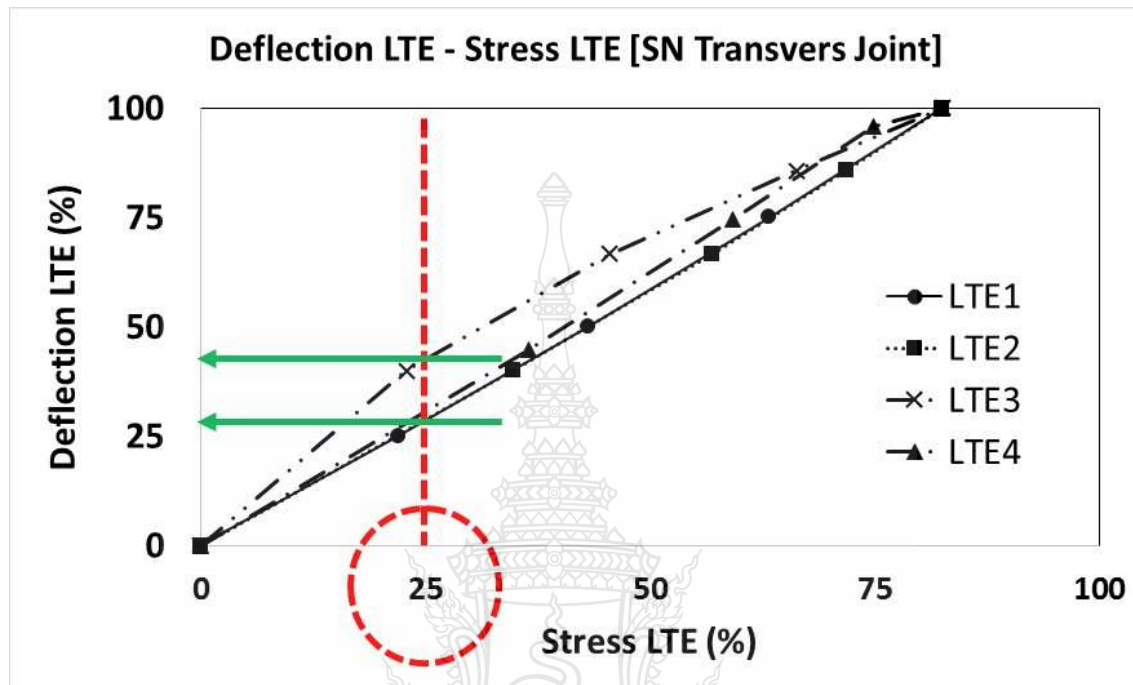
ตารางที่ 4.7 ผลการคำนวณหน่วยแรงเห็นด้ดและวิเคราะห์ LTE_S สายทาง PT (Longitudinal Joint)

สายพาน PT (Longitudinal Joint)			σ_f	4.144												
case 1			case 2			case 3			case 4			case 5				
σ_l	σ_u	LTE σ	σ_l	σ_u	LTE σ	σ_l	σ_u	LTE σ	σ_l	σ_u	LTE σ	σ_l	σ_u	LTE σ		
4.144	0.000	0.0	3.488	0.656	18.8	3.051	1.093	35.8	2.739	1.405	51.3	2.505	1.639	65.4		
4.144	0.000	0.0	3.207	0.937	29.2	2.829	1.315	46.5	2.628	1.516	57.7	2.505	1.639	65.4		
4.144	0.000	0.0	3.427	0.717	20.9	2.967	1.177	39.7	2.647	1.497	56.6	2.505	1.639	65.4		
4.144	0.000	0.0	3.127	1.017	32.5	2.739	1.405	51.3	2.538	1.606	63.3	2.505	1.639	65.4		
Mean		0.0	25.4			43.3			57.2			65.4				
S.D.		0.0	6.6			6.9			4.9			0.0				

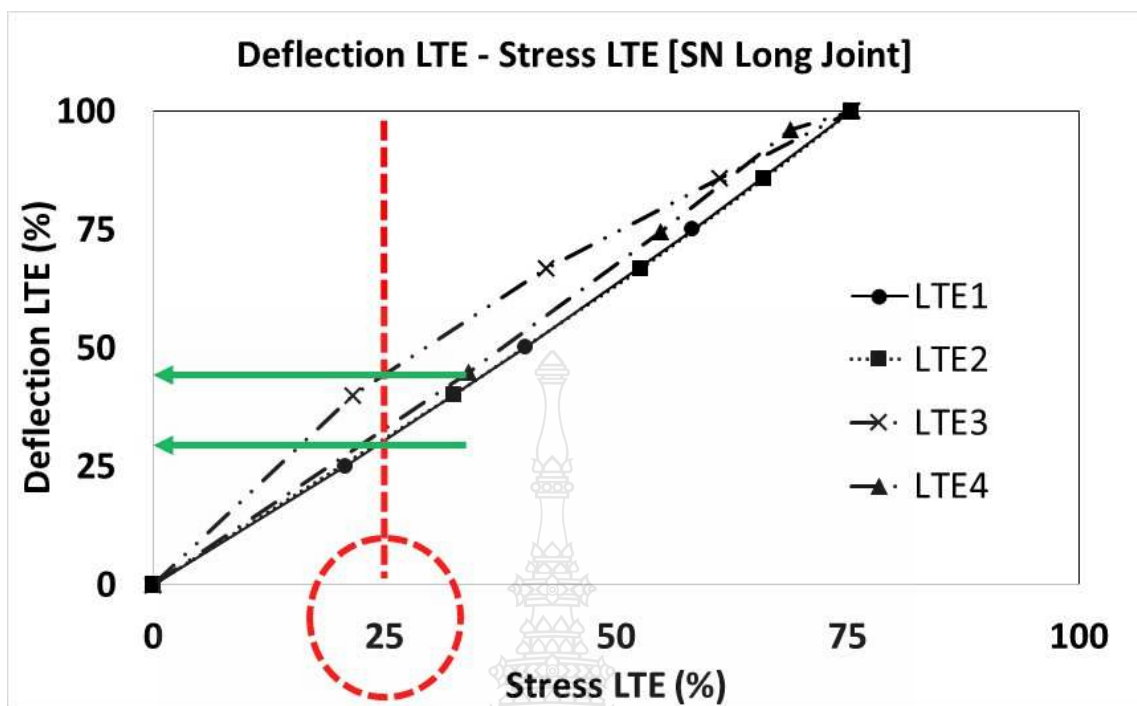
กำหนดให้ σ_1 , σ_2 , σ_3 = MPa, $LTE\sigma$ (%) , Mean = ค่าเฉลี่ย และ S.D. = ส่วนเบี่ยงเบนมาตรฐาน

หังนี้หากนำความสัมพันธ์ระหว่าง LTE_{Δ} จากแต่ละแบบจำลองและ LTE_{σ} แสดงดังรูปที่ 4.9 ถึงรูปที่ 4.12 พบร่วมแบบจำลอง LTE_1 , LTE_2 และ LTE_4 มีความสัมพันธ์กับ LTE_{σ} แบบเชิงเส้นซึ่งขัดแย้งกับงานวิจัยของ Hammons และ Ioannides ซึ่งระบุความสัมพันธ์ดังกล่าวได้เป็นสมการพหุนามกำลัง 3 ยกเว้นแบบจำลอง LTE_3 ที่ได้ผลเป็นสมการพหุนามกำลัง 3 เช่นเดียวกัน ทุกแบบจำลองหาก

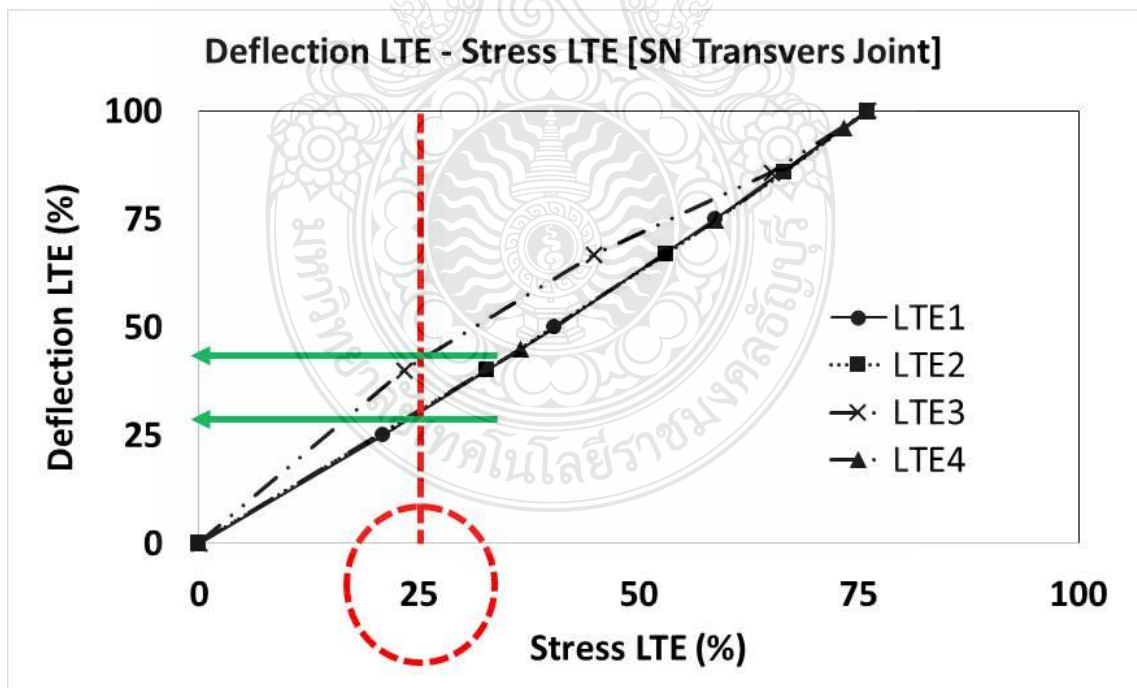
พิจารณาที่ LTE_{σ} ที่ร้อยละ 25 ตามเกณฑ์ของ FAA พบว่าได้ค่า LTE_{Δ} น้อยมาก มีค่าต่ำกว่าร้อยละ 50 ในทุกสายทางและมีค่าต่ำกว่าความสัมพันธ์ที่ FAA แนะนำมาก



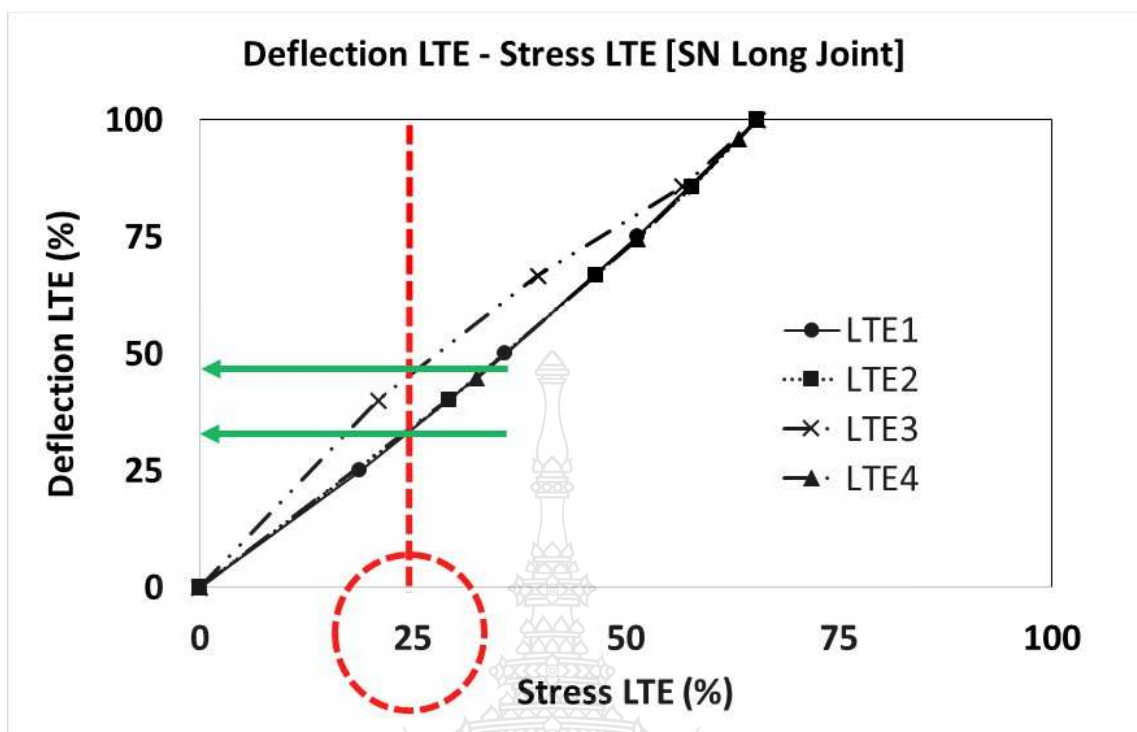
รูปที่ 4.9 กราฟแสดงความสัมพันธ์ระหว่าง LTE_{Δ} กับ LTE_{σ} รอยต่อตามขวางของสายทาง SN



รูปที่ 4.10 กราฟแสดงความสัมพันธ์ระหว่าง LTE_{Δ} กับ LTE_{σ} รอยต่อตามยาวของสายทาง SN

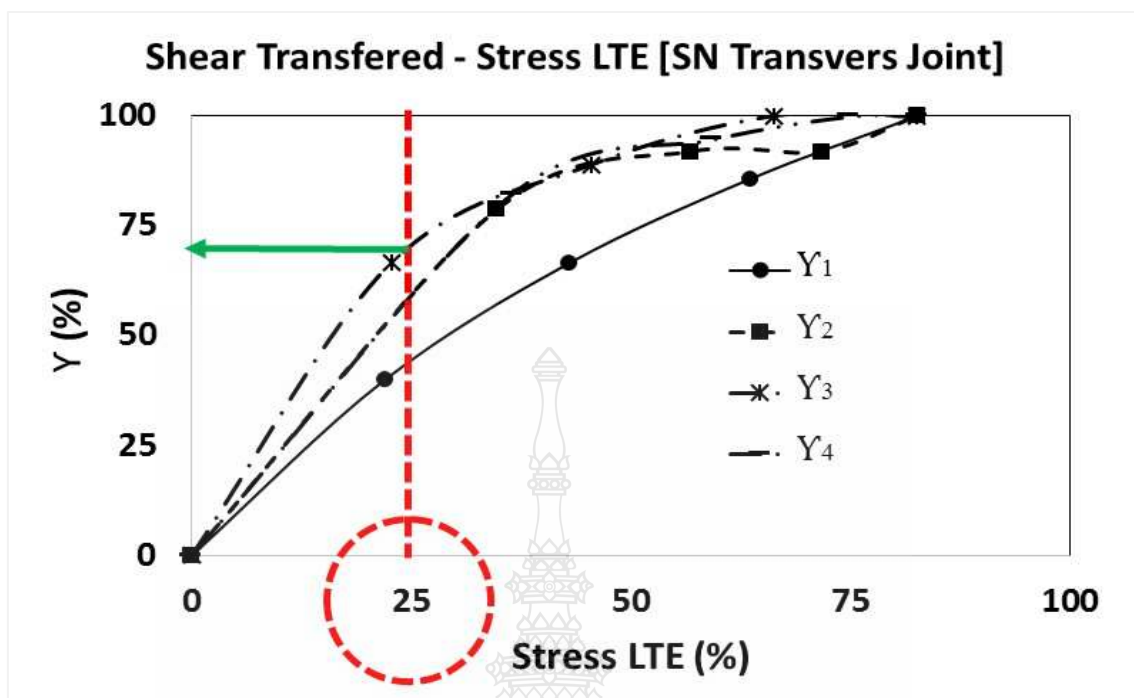


รูปที่ 4.11 กราฟแสดงความสัมพันธ์ระหว่าง LTE_{Δ} กับ LTE_{σ} รอยต่อตามขวางของสายทาง PT

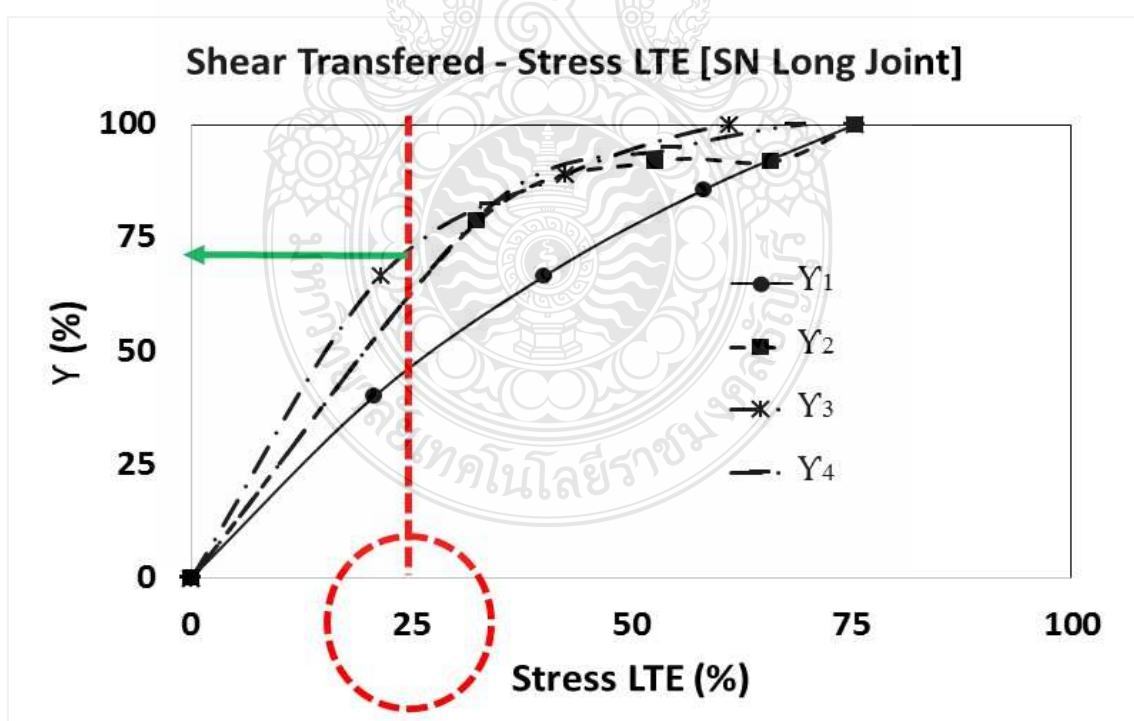


รูปที่ 4.12 กราฟแสดงความสัมพันธ์ระหว่าง LTE_{Δ} กับ LTE_{σ} รอยต่อตามยาวของสายทาง PT

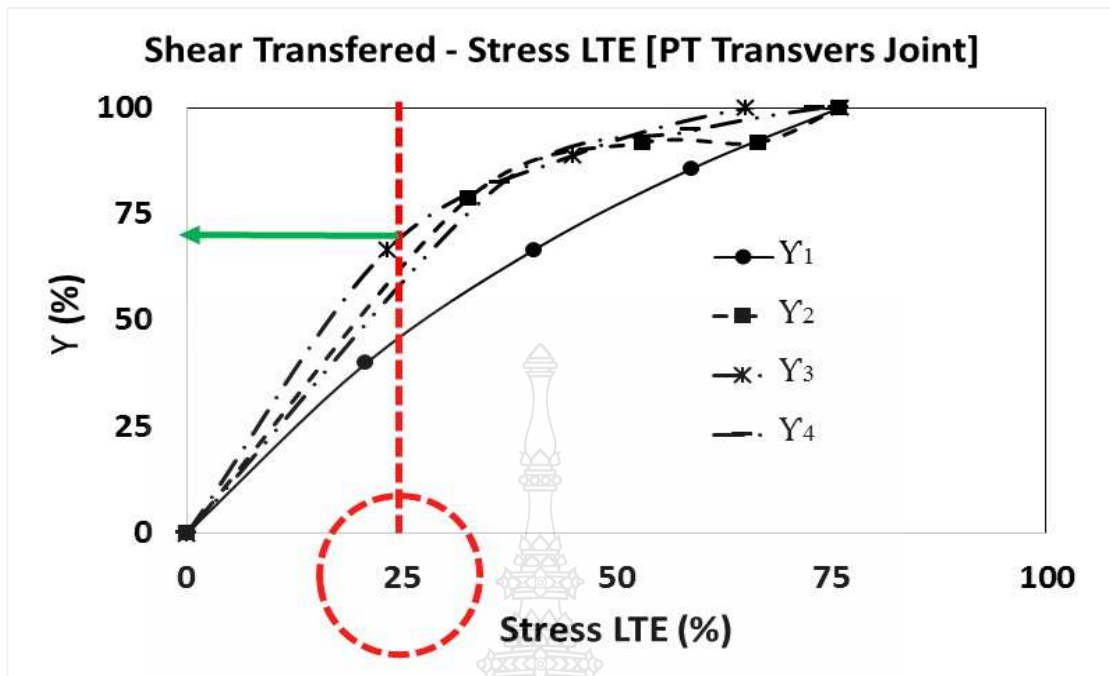
แบบจำลอง LTE ให้ผลความสัมพันธ์ระหว่าง Y กับ LTE_{σ} ในรูปแบบสมการพหุนามกำลังสาม เช่นเดียวกับงานวิจัยของ Van Cauwelaert [25] โดยที่ทุกแบบจำลอง LTE มีค่า R^2 สูงมากกว่า 0.90 ในทุกแบบจำลอง แสดงดังรูปที่ 4.13 – รูปที่ 4.16 หากพิจารณาที่ LTE_{σ} ที่รอยละ 25 ตามเกณฑ์ของ FAA พบว่าได้ค่า Y ที่แตกต่างกัน โดยที่ Y_3 ให้ค่าสูงที่สุดในทุกสายทาง แต่เมื่อนำ Y แปลงกลับไปหาค่า LTE พบว่าได้ค่าต่ำกว่าความสัมพันธ์ที่ FAA แนะนำมากเช่นเดียวกัน



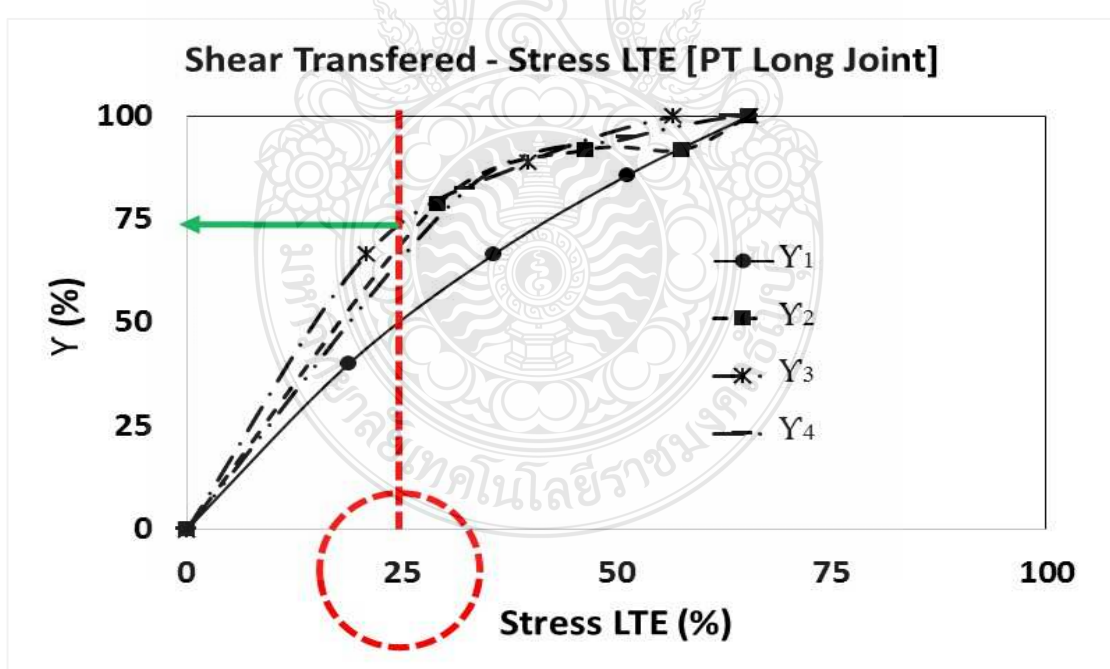
รูปที่ 4.13 กราฟแสดงความสัมพันธ์ระหว่าง Y กับ LTE_{σ} ที่รอยต่อตามขวางของสายทาง SN



รูปที่ 4.14 กราฟแสดงความสัมพันธ์ระหว่าง Y กับ LTE_{σ} ที่รอยต่อตามยาวของสายทาง SN



รูปที่ 4.15 กราฟแสดงความสัมพันธ์ระหว่าง Y กับ LTE_{σ} ที่รอยต่อตามยาวของสายทาง PT



รูปที่ 4.16 กราฟแสดงความสัมพันธ์ระหว่าง Y กับ LTE_{σ} ที่รอยต่อตามยาวของสายทาง PT

บทที่ 5

สรุปผลการศึกษาและข้อเสนอแนะ

5.1 สรุปผลการศึกษา

จากการเจาะสำรวจความหนาของถนนคอนกรีตที่ก่อสร้างจริงในประเทศไทย 2 สายทาง ด้วยเครื่องมือ Bore scope คือ สายทาง PT คอนกรีตมีความหนาเพียง 0.13 ม. ต่ำกว่ามาตรฐานของกรมทางหลวงมากและสายทาง SN คอนกรีตมีความหนาปกติที่ 0.26 ม. นำความหนาที่ได้คำนวณ LTE_{Δ} ซึ่งแบ่งได้ 4 กลุ่มหลักตามมาตรฐานหรือข้อแนะนำหน่วยงานด้านงานทางในระดับสากล แบ่งเกณฑ์ LTE_{Δ} ออกเป็น 5 กรณี (จากแยกถึงดี) จากนั้นจำลองนำหนักรอบบรรทุก 10 ล้อ หนัก 25 ตัน กระทำที่ร้อยต่อถนน ทั้งรอยต่อตามขวางและรอยต่อตามยาวร่วมกับแบบจำลอง LTE_{Δ} ดังกล่าว คำนวณหน่วยแรงเค้นบนทฤษฎีพื้นฐานของ Westergaard ด้วยโปรแกรมคอมพิวเตอร์ PAVERS ในตำแหน่งที่มีหน่วยแรงเค้นสูงสุด พบว่าแบบจำลอง LTE_1 ซึ่งเป็นแบบจำลอง LTE_{Δ} ที่ได้รับความนิยมให้ค่า LTE_{Δ} ต่ำสุดและส่งผลกระทบให้คำนวณหน่วยแรงเค้นได้สูงสุดทั้งรอยต่อตามขวางและรอยต่อตามยาวทั้ง 2 สายทาง ในส่วนของค่าปรับแก้การแอ่นตัวของแผ่นพื้น (B) ส่งผลให้แบบจำลอง LTE_3 และ LTE_4 มีค่าสูงขึ้น โดยเฉพาะอย่างยิ่งแบบจำลอง LTE_4 มีค่าสูงมากจนอาจจะทำให้การคำนวณหน่วยแรงเค้นดัดต่ำกว่าความเป็นจริงได้ ขณะที่แบบจำลอง LTE_2 และ LTE_3 ส่งผลกระทบต่อการคำนวณหน่วยแรงเค้นด้วยมากที่สุดในช่วงเกณฑ์ LTE_{Δ} กรณีที่ 3 และ 4 (LTE มีค่าปานกลางร้อยละ 50 ถึง 70) และทุกแบบจำลอง LTE_{Δ} ส่งผลกระทบต่อหน่วยแรงเค้นที่ร้อยต่อความยาวมากกว่าร้อยต่อตามยาว

หากนำแต่ละแบบจำลอง LTE_{Δ} มาหาความสัมพันธ์กับ LTE_{σ} พบว่า LTE_1 , LTE_2 และ LTE_4 มีความสัมพันธ์กับ LTE_{σ} ในรูปแบบสมการเชิงเส้น มีเพียง LTE_3 เท่านั้นที่ให้ความสัมพันธ์ ดังกล่าวสอดคล้องกับงานวิจัยของ FAA ในรูปแบบสมการพหุนามกำลังสาม และทุกแบบจำลอง LTE_{Δ} ไม่เหมาะสมในการหาความสัมพันธ์กับ LTE_{σ} เนื่องจากให้ค่า LTE_{Δ} ต่ำมากหากเทียบกับ LTE_{σ} ที่ร้อยละ 25 ตามที่ FAA แนะนำ ทั้งนี้หากนำค่า LTE_{Δ} คำนวณหา Shear Transferred Factor (Y) เพื่อสร้างความสัมพันธ์กับ LTE_{σ} พบว่าในทุกแบบจำลอง LTE_{Δ} มีความสัมพันธ์ระหว่าง Y และ LTE_{σ} ที่ดี (R^2 มากกว่า 0.98) ในรูปแบบสมการพหุนามกำลังสาม และหากเทียบกับ LTE_{σ} ที่ร้อยละ 25 ตามที่ FAA แนะนำกลับพบว่าทุกแบบจำลองให้ค่า LTE_{Δ} ที่ต่ำ เช่นเดียวกัน

จากการศึกษาจะเห็นได้ว่าค่า LTE ส่งผลต่อหน่วยแรงเค้นที่ร้อยต่อแผ่นพื้น หาก LTE_{Δ} เสื่อมสภาพหรือมีค่าต่ำลง ย่อมส่งผลให้คอนกรีตเกิดความเสียหายได้ง่ายเนื่องจากหน่วยแรงเค้นดัดมี

ค่าสูงขึ้น ในส่วนของแบบจำลอง LTE_{Δ} ส่งผลกระทบอย่างสูงต่อถนนคอนกรีตที่มีความหนาผิวทางคอนกรีตน้อยและมีกำลังรับแรงดัดต่ำ เช่นในสายทาง PT ที่คอนกรีตมีความหนาเพียง 0.13 ม. ทั้งนี้ การศึกษาค่าปรับแก้การตัดของแผ่นพื้น (B) เพิ่มเติม ช่วยเพิ่มความเชื่อมั่นในการเลือกใช้แบบจำลอง LTE_{Δ} สำหรับงานประเมินความแข็งแรงของผิวทางคอนกรีตหรือออกแบบซ่อมแซม ได้มากยิ่งขึ้น

5.2 ข้อเสนอแนะ

ควรมีการศึกษาเพิ่มเติม เช่น การทดสอบในสนามหรือแปลงทดสอบด้วยเครื่องมือ NDT โดยเฉพาะในส่วนของปัจจัยเนื่องมาจากอุณหภูมิและความชื้น และนำผลที่ได้วิเคราะห์โดยใช้ทฤษฎีหรือโปรแกรมคอมพิวเตอร์อื่น เพื่อเปรียบเทียบผลผลกระทบของแต่ละแบบจำลอง LTE ต่อหน่วยแรงเก็บที่รอยต่อผิวทางคอนกรีต



บรรณานุกรม

- [1] ชยัชันว์ พรมศร, ชนศักดิ์ ไฝกระ โภก, เลิศ พัดฉวี และ พrushy ศิลารมย์, “การประเมินสภาพผิวทางถนนที่มีผิวนิดปอร์ตแลนด์ซีเมนต์คอนกรีต โดยใช้เครื่องมือ Falling Weight Deflectometer ในประเทศไทย”, รายงานฉบับที่ วพ. 206 สำนักวิจัยและพัฒนางานทาง, เมษายน 2546.
- [2] Wadkar, A., Mehta, Y., Cheary, D., Guo, E., Musumeci, L., Zapata, A. and Kettlesonm W. “Load-Transfer Efficiencies of Rigid Airfield Pavement Joints Based on Stresses and Deflections”, in Journal of Materials in Civil Engineering, Vol.23, No.8, 2011, pp. 1171-1180.
- [3] Khazanovich, L. and Gotlif, A. “Evaluation of Joint and Crack Load Transfer Final Report”, FHWA-RD-02-088, Federal Highway Administration (FHWA), U.S. Department of Transportation, 2003.
- [4] American Society of Civil Engineers (ASCE), *First Concrete Pavement (online)*, Available: www.asce.org/project/first-concrete-pavement (18 May 2016).
- [5] Norbert Delatte, *Concrete Pavement Design Construction and Performance*, Taylor & Francis Group, 2007.
- [6] ส่วนออกแบบและแนะนำโครงสร้างชั้นทาง, สำนักวิเคราะห์และตรวจสอบ. การออกแบบความหนาโครงสร้างชั้นทางของถนนคอนกรีต (Portland Cement Concrete Pavement Design), ส่วนออกแบบและแนะนำโครงสร้างชั้นทาง, กรมทางหลวง กระทรวงคมนาคม, 2546
- [7] นิรชร nakแก้ว, วิศวกรรมการทาง (Highway Engineering). พิมพ์ครั้งที่2. ภาควิชาวิศวกรรมศาสตร์ อยุชา คณะวิศวกรรมศาสตร์ มหาวิทยาลัยเทคโนโลยีราชมงคลธัญบุรี. 2554
- [8] ณรงค์ กุหลาบ, วิศวกรรมการทาง (Highway Engineering), พิมพ์ครั้งที่ 2. สำนักพิมพ์วรรณภูมิ. มิถุนายน 2556
- [9] Geoffrey Griffiths and Nick Thom. *Concrete Pavement Design Guidance Notes*, Taylor & Francis Group, 2007.

บรรณานุกรม (๑๐)

- [10] Emmanuel B., Owusu-Antwi, Alvin H. Mayer and W. Ronal Hadson. Assessing Load Transfer across Joints and Crack in Rigid Pavement Using the Falling Weight Deflectometer, FHWA/TX-91+460-2, Center for Transportation Research, the University of Texas at Austin, Austin Texas.1990
- [11] Michael I. Hammons, David W. Pitman, Dan d. Mathew, Effectiveness of Load Transfer Device. DOT/FAA/AR-95/80, U.S. Army Engineer Waterway Experiment Station1995
- [12] American Concrete Pavement Association (ACPA), Design and Construction of Joints for Concrete Streets, Concrete Information, American Concrete Pavement Association (ACPA) .Illinois. 1992
- [13] AASHTO, 1993. AASHTO Guide for Design of Pavement Structures. American Association of State Highway and Transportation Officials. 1993
- [14] Federal Highway Administration, *FHWA History (online)*, Available: www.fhwa.dot.gov (1 May 2016).
- [15] American Concrete Pavement Association (*online*), Available: www.acpa.org (1 May 2016).
- [16] American Concrete Pavement Association (ACPA), Concrete Pavement Rehabilitation Guide for Load Transfer Restoration, ACPA JP001P, 1997
- [17] Federal Aviation Administration, Use of Nondestructive Testing in the Evaluation of Airport Pavements, Advisory Circular No. 150/5370-11B , U.S. Department of Transportation, 2011.
- [18] Dynatest, *Welcome to Dynatest (online)*, Available: www.dynatest.com (1 May 2016).
- [19] ເອກສານຕິດຕໍ່ຮະຫວ່າງບຸຄຄລ, 2555. ເອກສານກາຮອນມີຄວາມມື້ອທດສອບ Dynatest. “Joint Efficiency Measurements”. ບຣິຍັກໂຍ້ຍໍລ໌ເທສຕິງສຢາມຈຳກັດ (ເອສທີເອສ).
- [20] Christopher R. Byrum, Starr D. Kohn, Chuck A. Gemayel, Shiraz Tayabji. Joint Load Transfer in Concrete Airfield Pavements: Summary Report. Innovative Pavement Research Foundation, Airport Concrete Pavement Technology Program, Programs Management Office 9450 Bryn Mawr Road Rosemont, IL 60018.

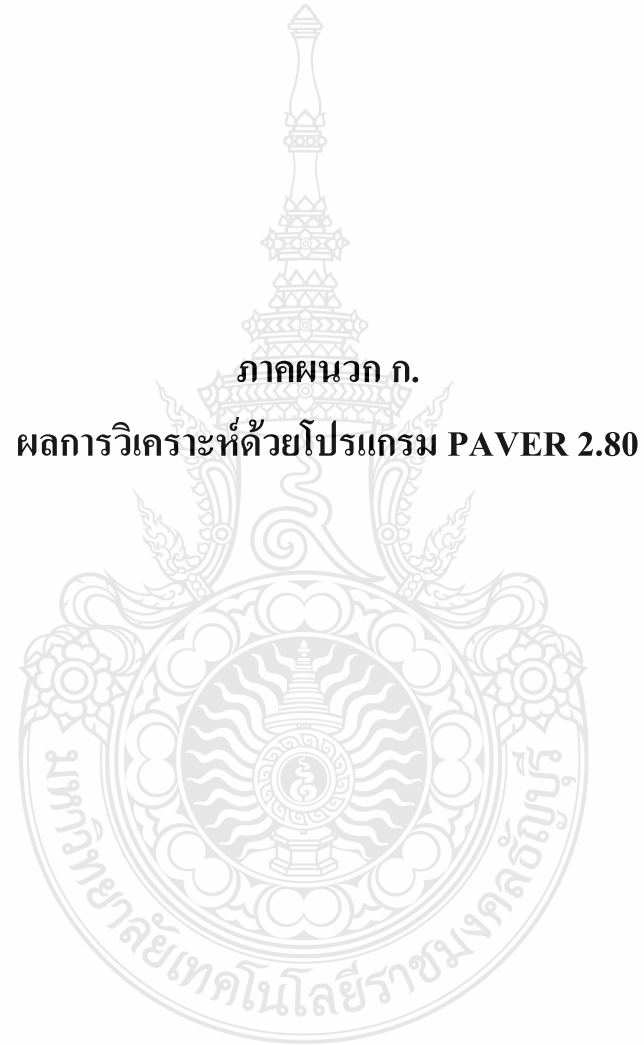
បររលាយក្រម (គោ)

- [21] Houben L. J. M., "Structural Design of Pavements: Part IV Design of Concrete Pavements," Delft University of Technology, Netherland. 2009.
- [22] In-Soo Eom, I.D. Parsons and Keith Hjelmstad. Nonlinear Analysis of the Load Transfer Mechanism in Rigid Pavement Systems Considering Various Interface Conditions, FAA. 2000
- [23] Yoder E.J. and Witczak M.W., Principles of Pavement Design, 2th edition. John Wiley and Sons, INC. New York. 1975
- [24] Per Ullidtz. Pavement Analysis. Elsevier. 1987
- [25] Teller W. and Sutherland C., The structural Design of Concrete Pavement, Part4. A Study of the Structural Action of Several Types of Transverse and Longitudinal Joint Design
- [26] Chao Wei, B. Frank McCullough, W. Ronald Hudson and Kenneth Hankins. Development of Load Transfer Coefficients for Use with the AASHTO Guide for Design on Rigid Pavements Based on Field Measurements, Center for Transportation Research, the University of Texas at Austin, Austin Texas. 1992
- [27] Barenberg E.J. and Woodman G.R., Airfield Pavement Design for Heavy Aircraft Loading. Heavy Vehicles and Road: Technology, Safety and Policy. Thomas Teldord, London. 1992
- [28] SUH and YUN. Joint Movement and Load Transfer Characteristics of Concrete Overlay. Proceedings of the Eastern Asia Society for Transportation Studies. Vol.3, No.1, October, 2001
- [29] Michael I. Hammons and Anastasios M. Ioannides, 1997. Advanced Pavement Design: Finite Element Modeling for Rigid Pavement Joints Report I: Background Investigation, U.S. Army Engineer Waterways Experiment Station 3909 Halls Ferry Road Vicksburg, MS 39180-6199.
- [30] Lui W. and Fwa T.F., 2005. Effects of Joint Transfer on Concrete Pavement Response. Journal of Eastern Asia Society for Transportation Studies, Vol. 6, pp. 1258-1273.

บรรณานุกรม (ต่อ)

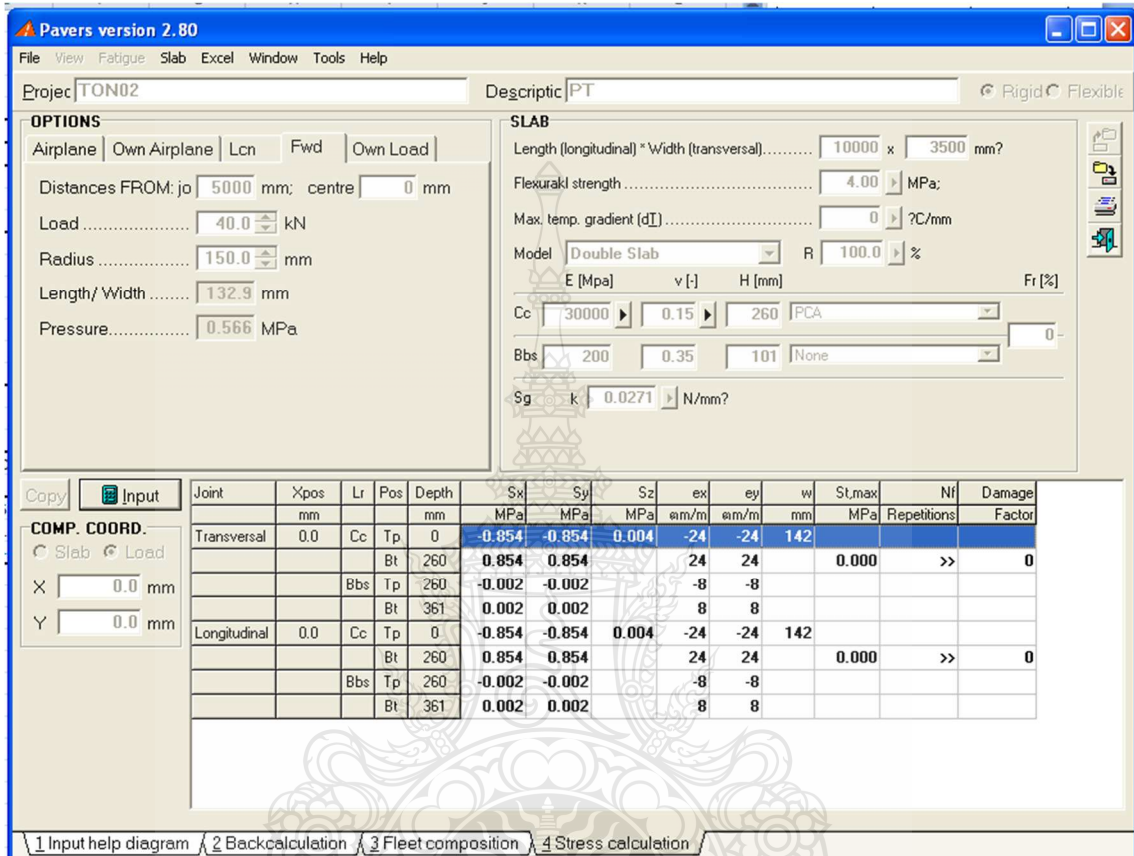
- [31] สำนักวิเคราะห์ วิจัยและพัฒนา กรมทางหลวงชนบท กระทรวงคมนาคม. ศึกษาการก่อสร้างถนนคอนกรีตไร้เหล็กเสริม โดยใช้วัสดุมวลรวม helyab จากห้องอุปกรณ์ในพื้นที่ภาคตะวันออกเฉียงเหนือ. กรมทางหลวงชนบท กระทรวงคมนาคม. 2552
- [32] จตุพล สายฝนหวัฒน์. “ความสัมพันธ์ระหว่างประสิทธิภาพการถ่ายน้ำหนักกับโครงสร้างพื้นที่คอนกรีตของท่าอากาศยาน,” วิทยานิพนธ์ปริญญามหาบัณฑิต, สาขาวิศวกรรมโยธา, คณะวิศวกรรมศาสตร์, มหาวิทยาลัยเทคโนโลยีราชมงคลธัญบุรี, ปทุมธานี, 2555.
- [33] พุทธพล ทองอินทร์คำ, เครื่องมือต้นแบบทดสอบประสิทธิภาพการถ่ายน้ำหนักระหว่างแผ่นพื้นของถนนปอร์ตแลนด์ซีเมนต์คอนกรีต, ปทุมธานี: ภาควิชาชีวกรรม คณะวิศวกรรมศาสตร์ มหาวิทยาลัยเทคโนโลยีราชมงคลธัญบุรี. 2557.
- [34] PAVERS, *Advanced Tool for Pavement Design & H/FWD Assessment (online)*, Available: www.pavers.nl (24 May 2016).
- [35] Marc Stet, Bert Thewessen and Van Cauwelaert. The PAVERS system a Tool for the (Re-) Design of Flexible Pavement and Rigid Pavement, 2004 FAA Worldwide Airport Technology Transfer Conference. Atlantic City New Jersey, USA. 2004
- [36] Huang, Y.H., Pavement Analysis and Design. Second Edition, United States of America: Pearson Prentice Hall, 2004.





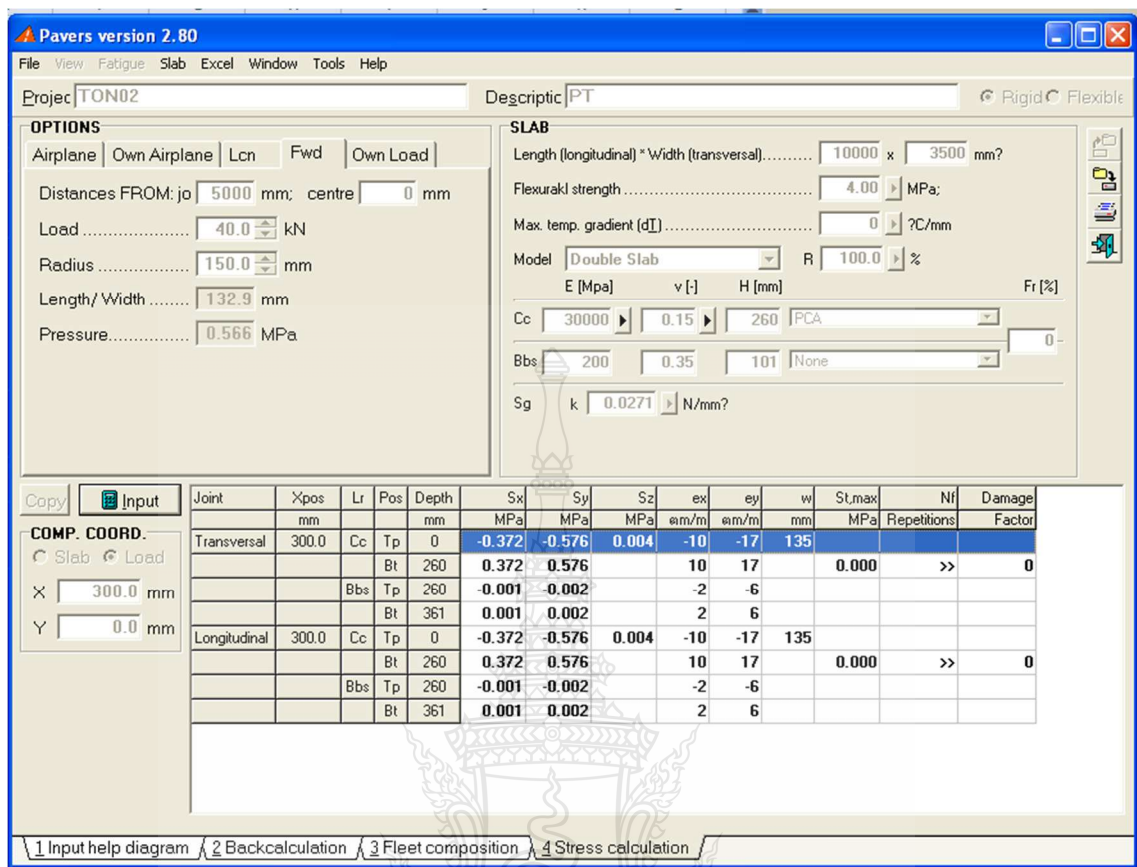
ภาคผนวก ก.

ผลการวิเคราะห์ด้วยโปรแกรม PAVER 2.80

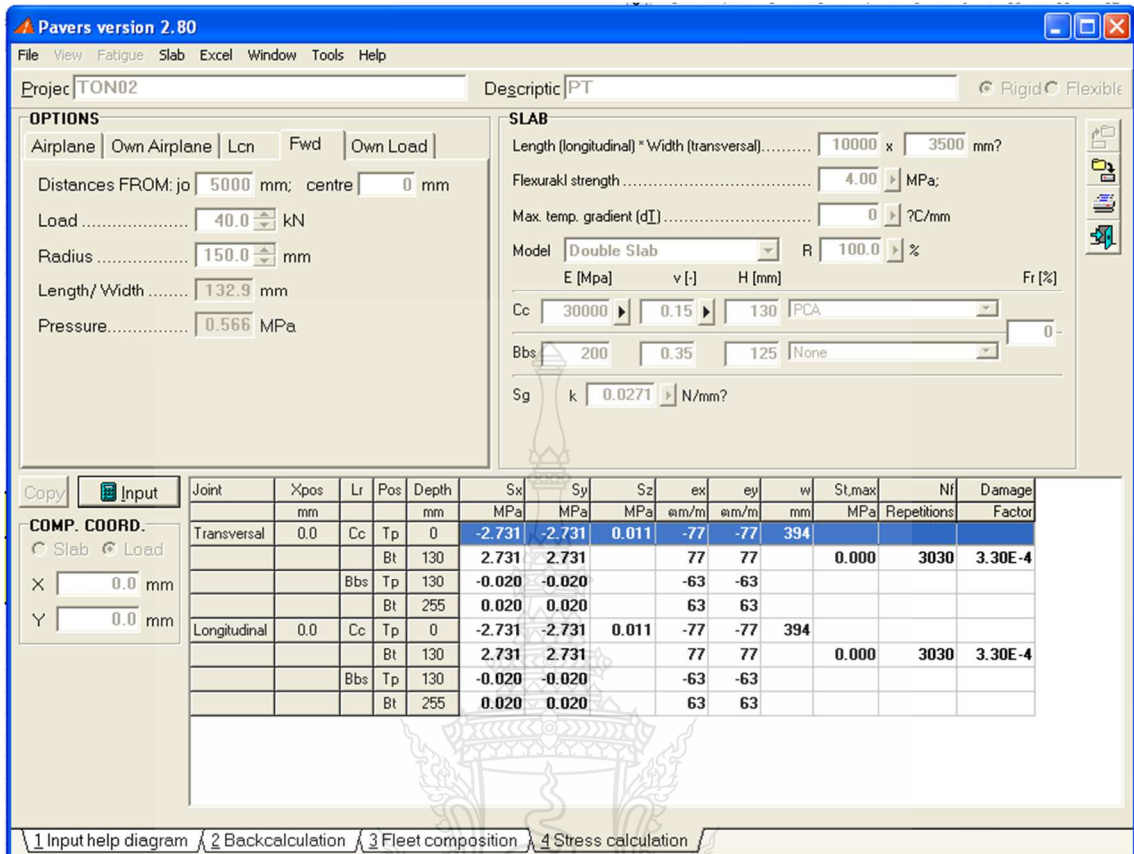


รูปที่ ก.1 ผลการจำลองการทดสอบ FWD คำนวณค่าการแอล์ตัว d₀ สายทาง SN ด้วยโปรแกรม

PAVERS

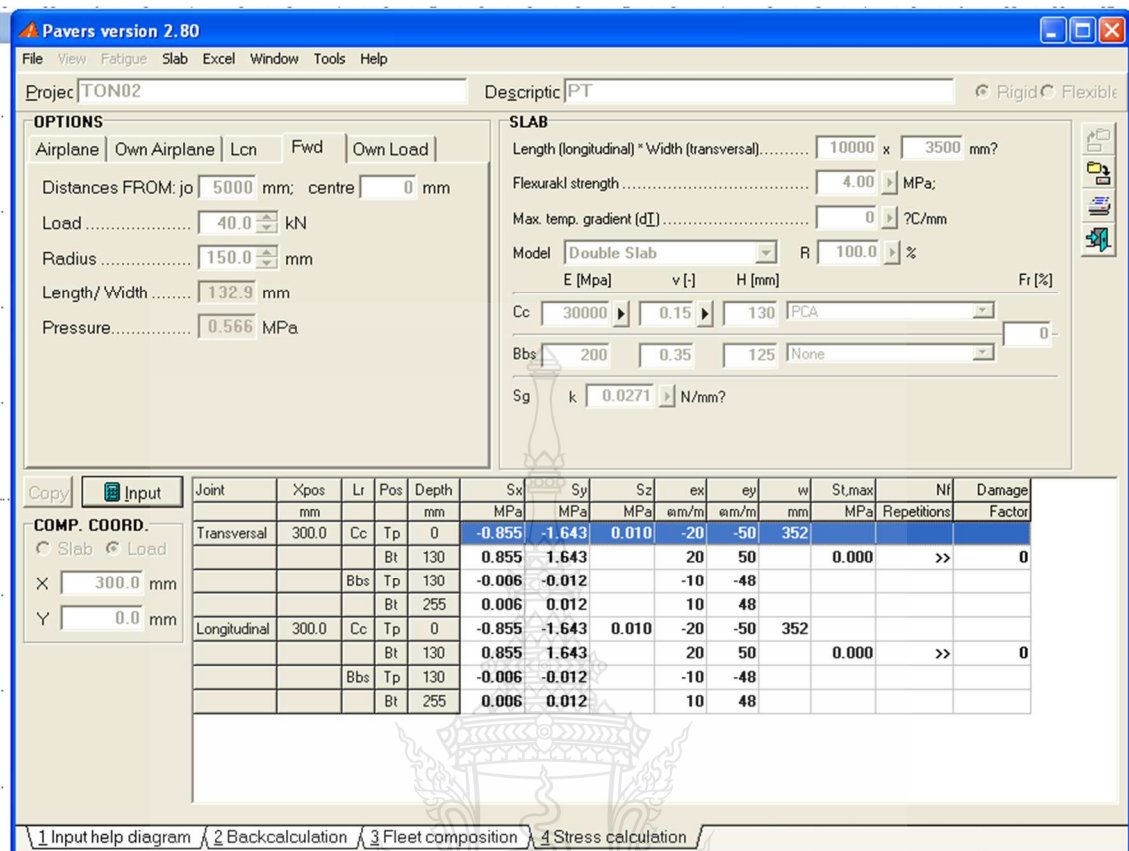


รูปที่ ก.2 ผลการจำลองการทดสอบ FWD คำนวณค่าการแอล์ตัว d_{12} สายทาง SN ด้วยโปรแกรม PAVERS



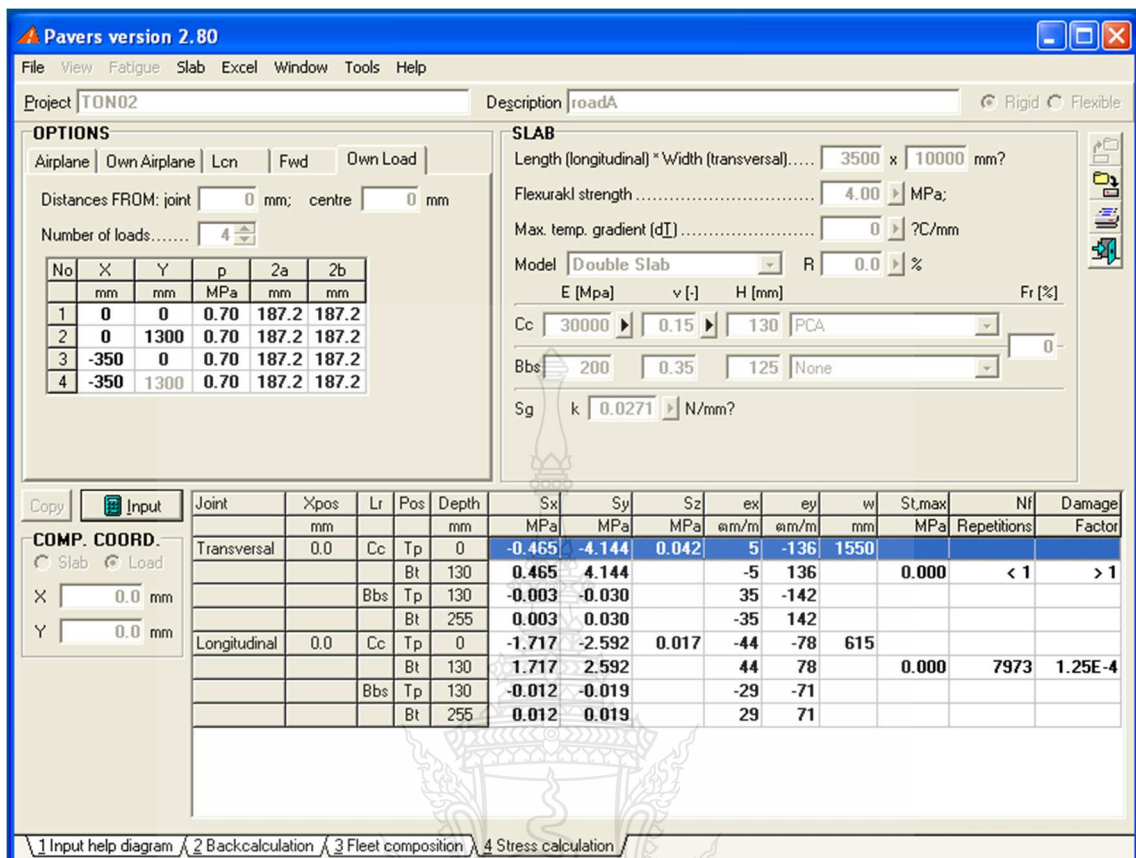
รูปที่ ก.3 ผลการจำลองการทดสอบ FWD คำนวณค่าการแอลอนตัว d_0 สายทาง PT ด้วยโปรแกรม

PAVERS

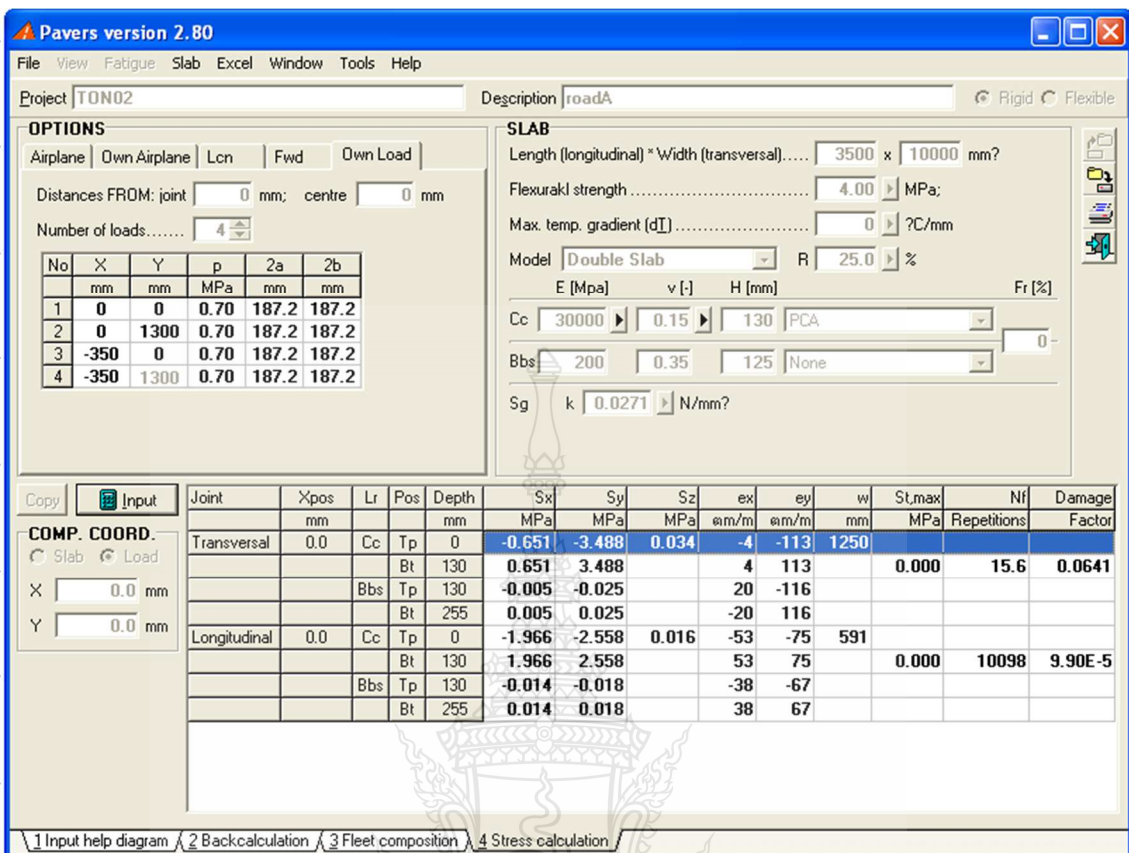


รูปที่ ก.4 ผลการจำลองการทดสอบ FWD คำนวณค่าการแอล์ตัว d_{12} สายทาง PT ด้วยโปรแกรม PAVERS

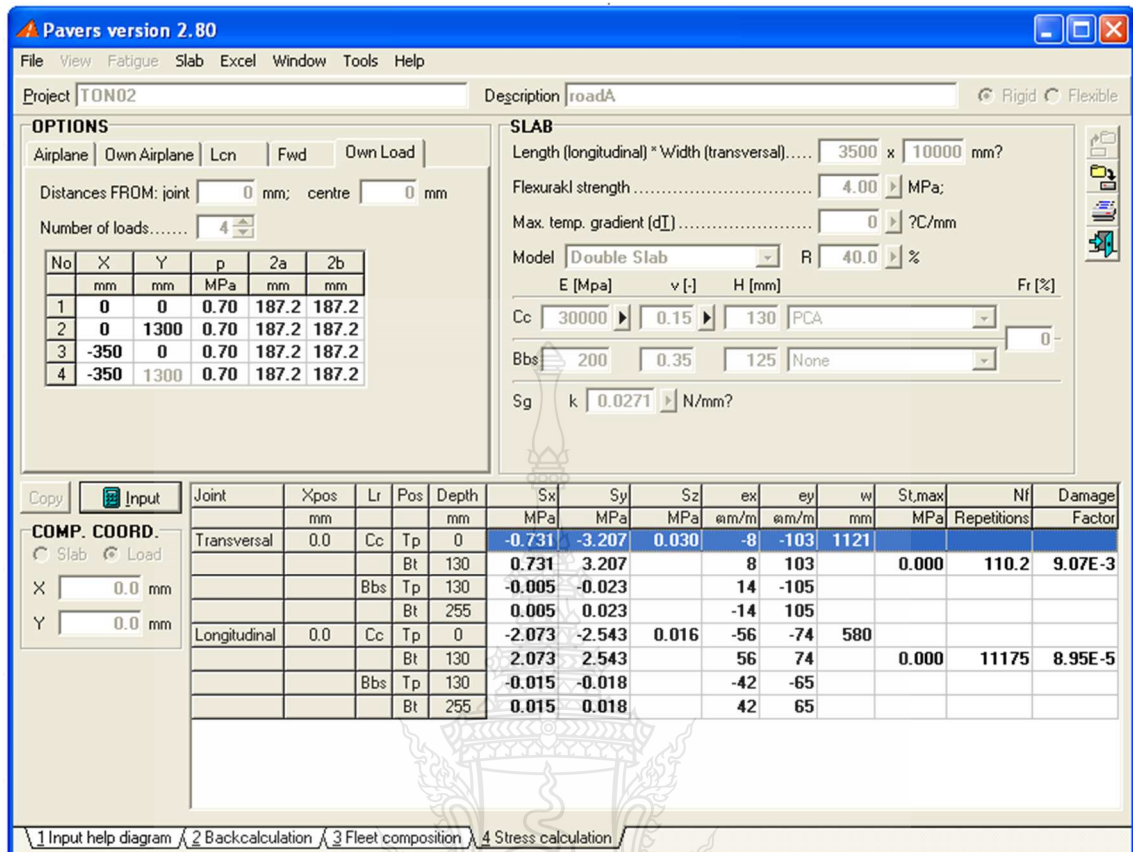
PAVERS



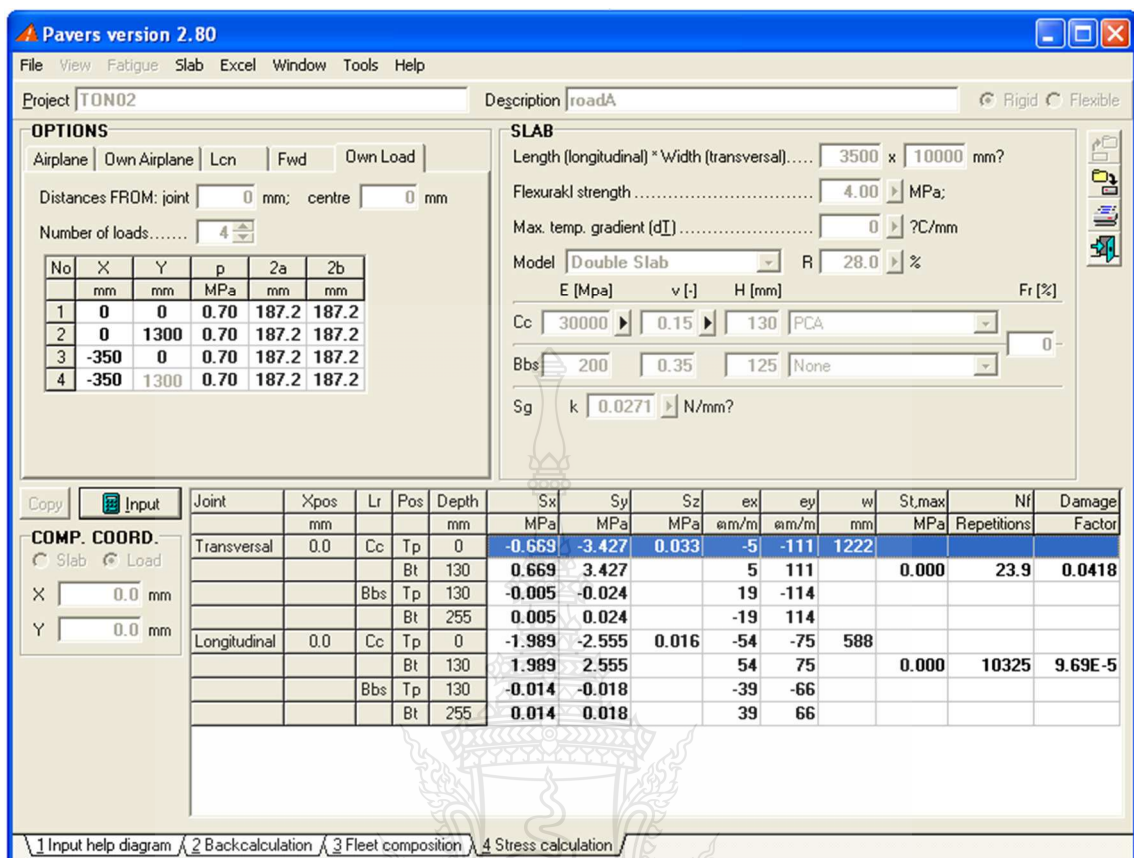
รูปที่ ก.5 ผลการคำนวนหน่วยแรงเคี้นของสายทาง SN (LTE ร้อยละ 0) ด้วยโปรแกรม PAVERS
(รอบต่อตามข้าง)



รูปที่ ก.6 ผลการคำนวณหน่วยแรงดึงเค้นของสายทาง SN (LTE ร้อยละ 25) ด้วยโปรแกรม PAVERS
(รอยต่อตามขวาง)

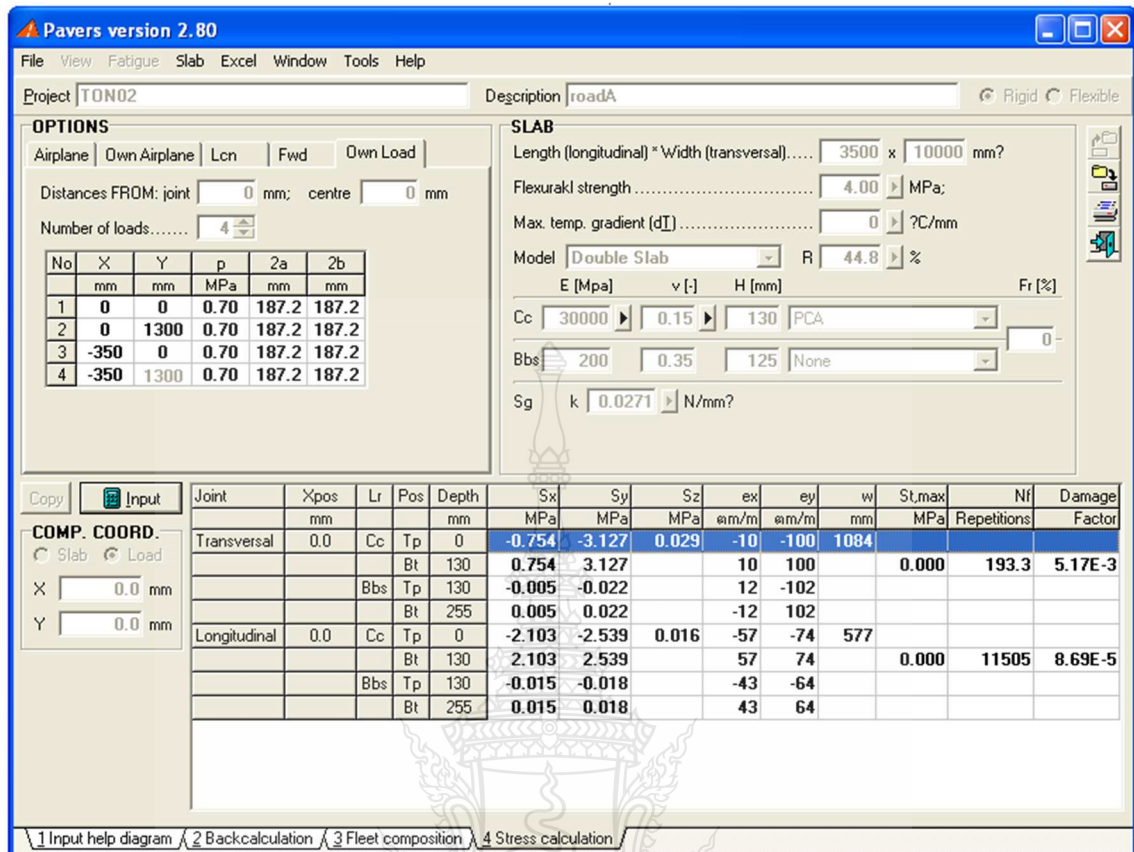


รูปที่ ก.7 ผลการคำนวณหน่วยแรงดึงเค้นของสายทาง SN (LTE ร้อยละ 40) ด้วยโปรแกรม PAVERS
(รอยต่อตามขวาง)

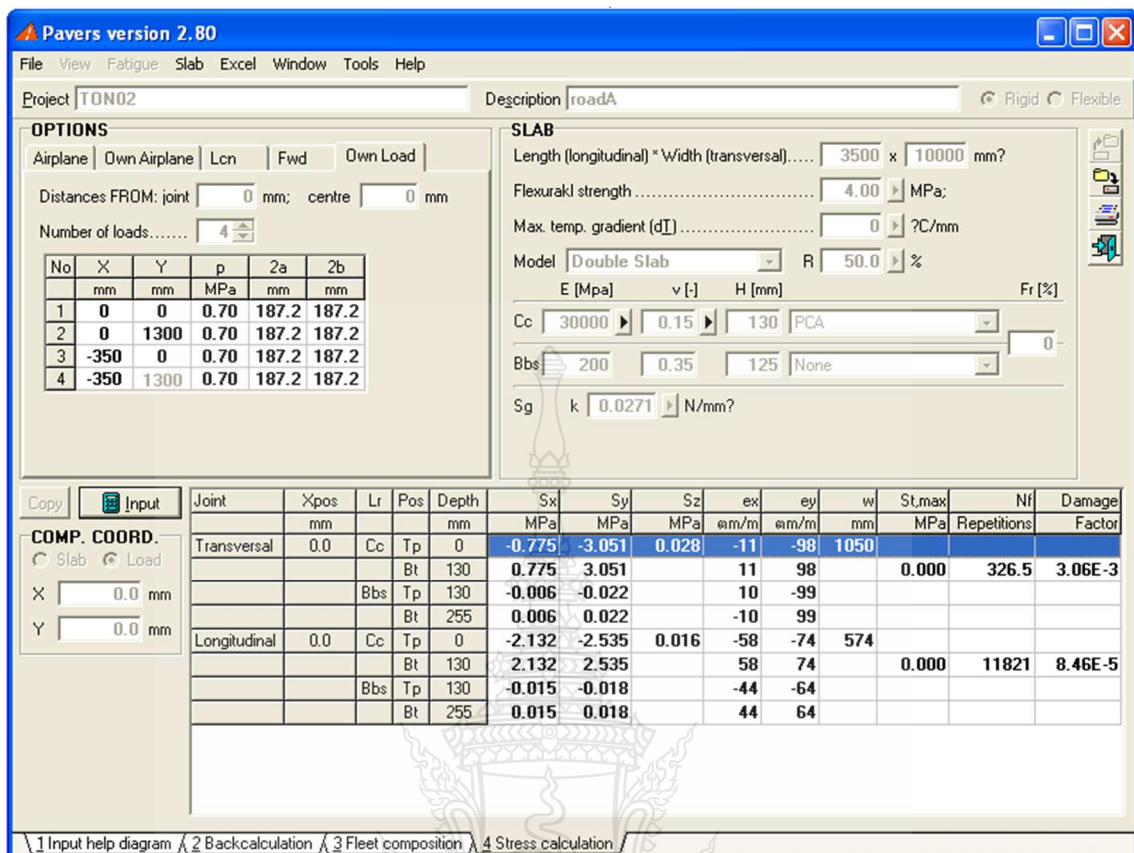


รูปที่ ก.8 ผลการคำนวณหน่วยแรงดึงเคี้ยวของสายทาง SN (LTE ร้อยละ 28) ด้วยโปรแกรม PAVERS

(รอต่อตามข้าง)

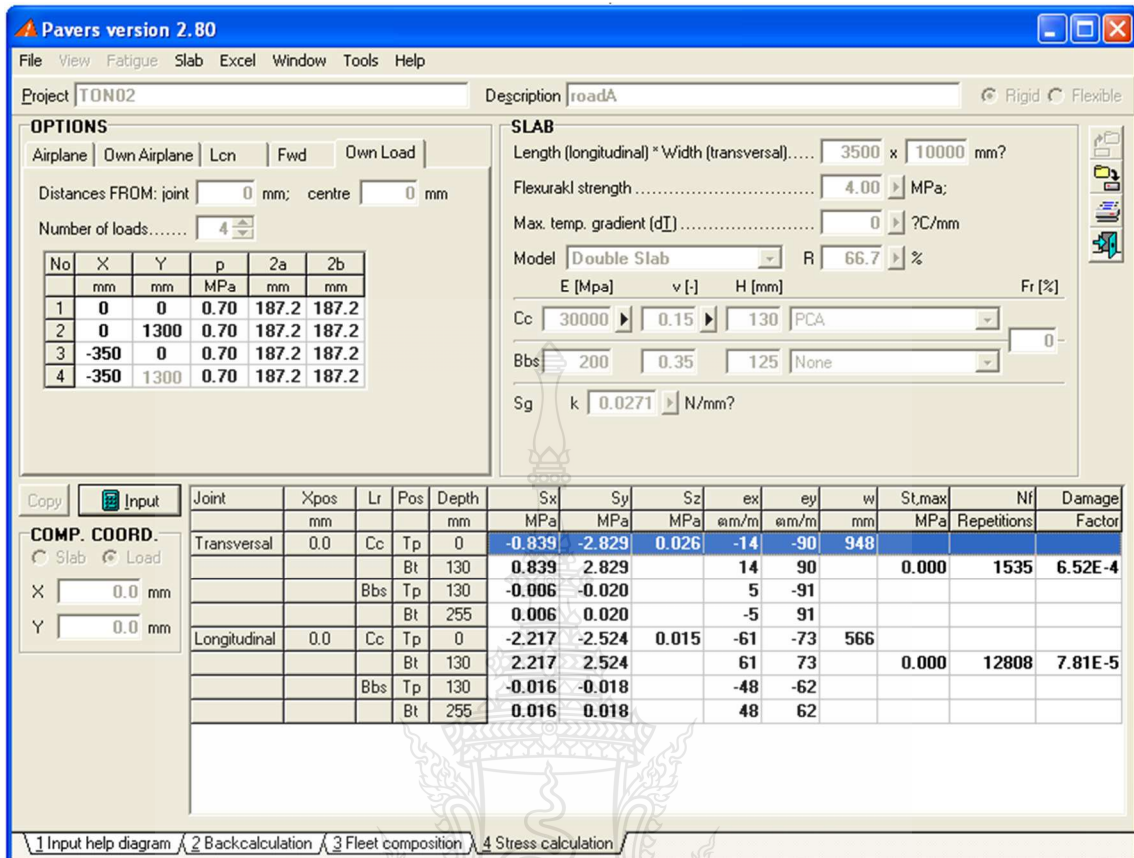


รูปที่ ก.9 ผลการคำนวณหน่วยแรงดึงเคี้ยวของสายทาง SN (LTE ร้อยละ 44) ด้วยโปรแกรม PAVERS
(รองต่อตามขวาง)

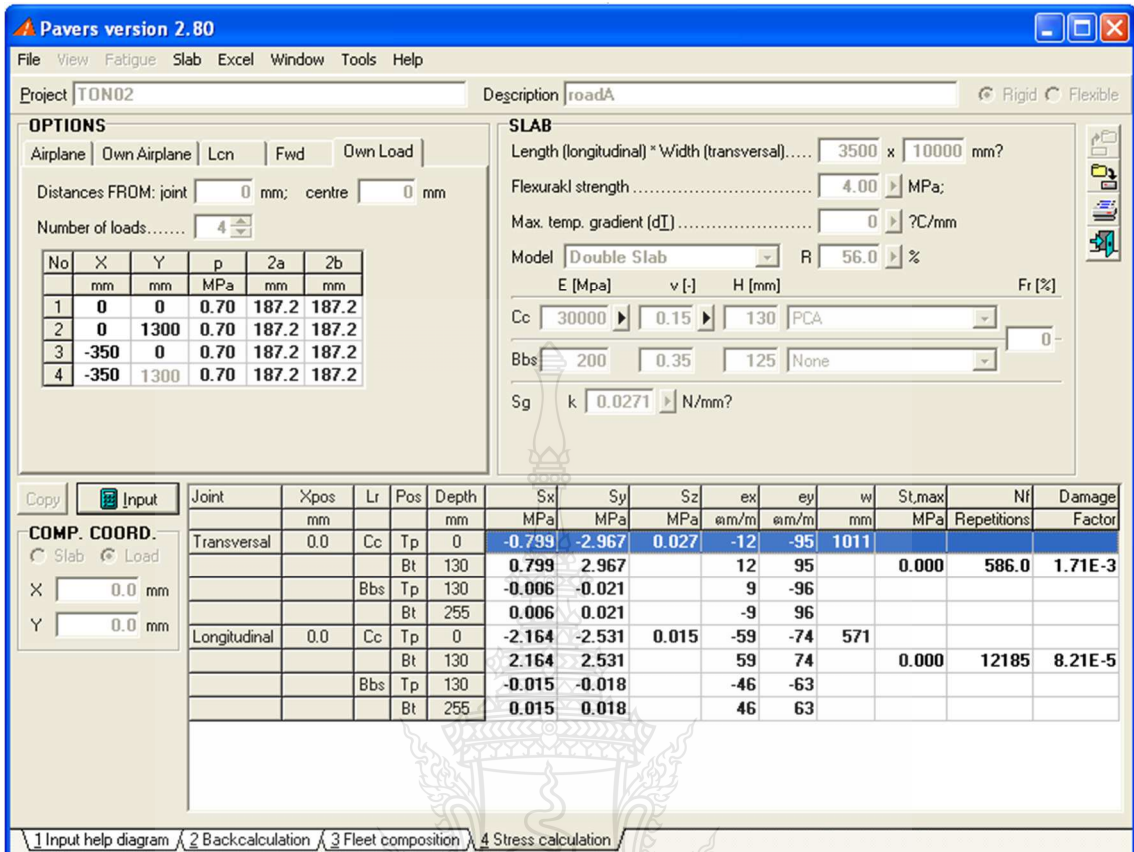


รูปที่ ก.10 ผลการคำนวณหน่วยแรงเห็นของสายทาง SN (LTE รุ่อยละ 50) ด้วยโปรแกรม PAVERS

(รอบต่อตามข้าง)

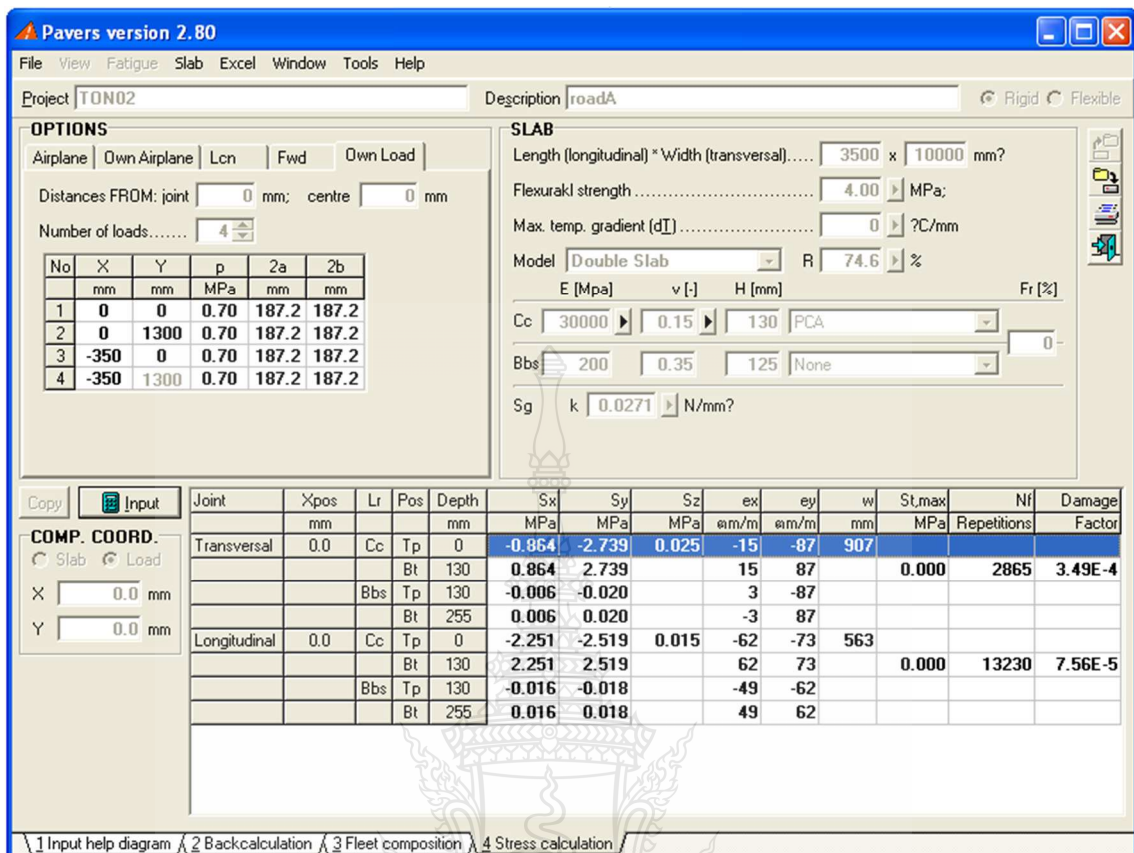


รูปที่ ก.11 ผลการคำนวณหน่วยแรงเห็นของสายทาง SN (LTE ร้อยละ 66.7) ด้วยโปรแกรม PAVERS
(รอต์อุตตามขวาง)



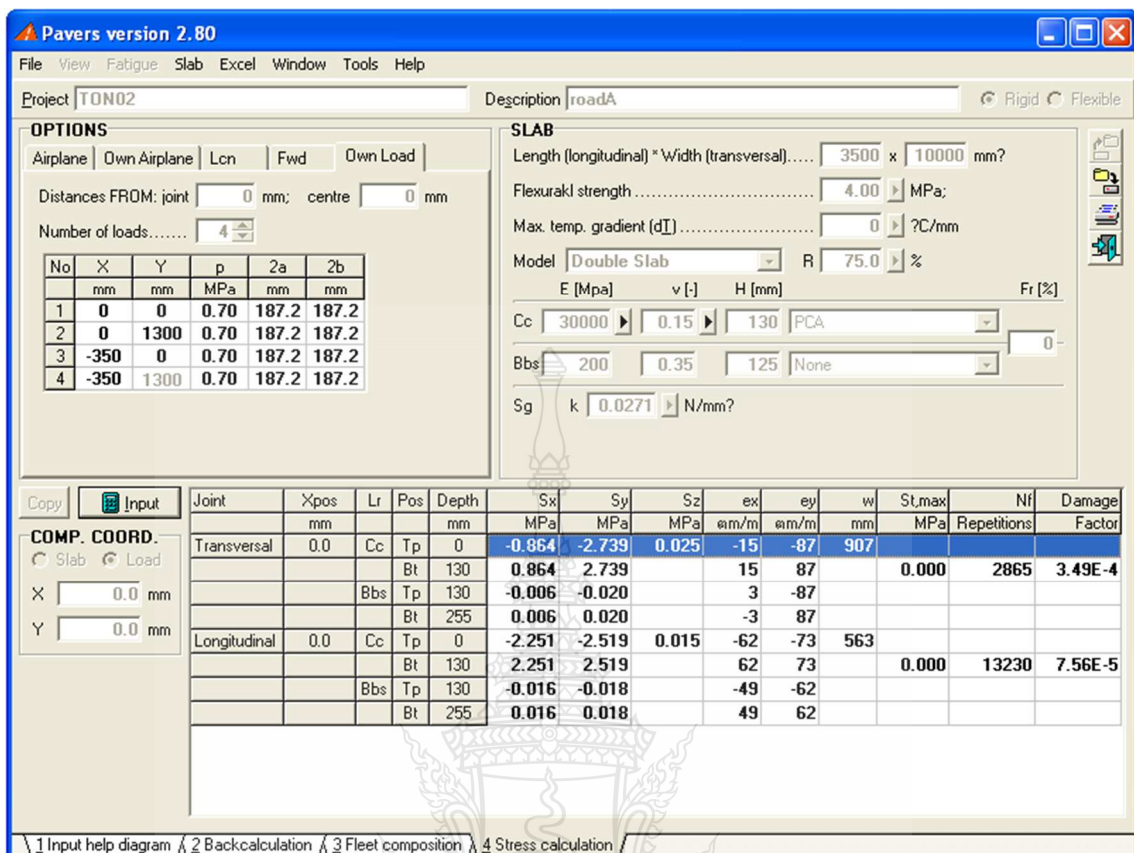
รูปที่ ก.12 ผลการคำนวณหน่วยแรงเห็นของสายทาง SN (LTE รุ่อยละ 56) ด้วยโปรแกรม PAVERS

(รอบต่อตามข้าง)



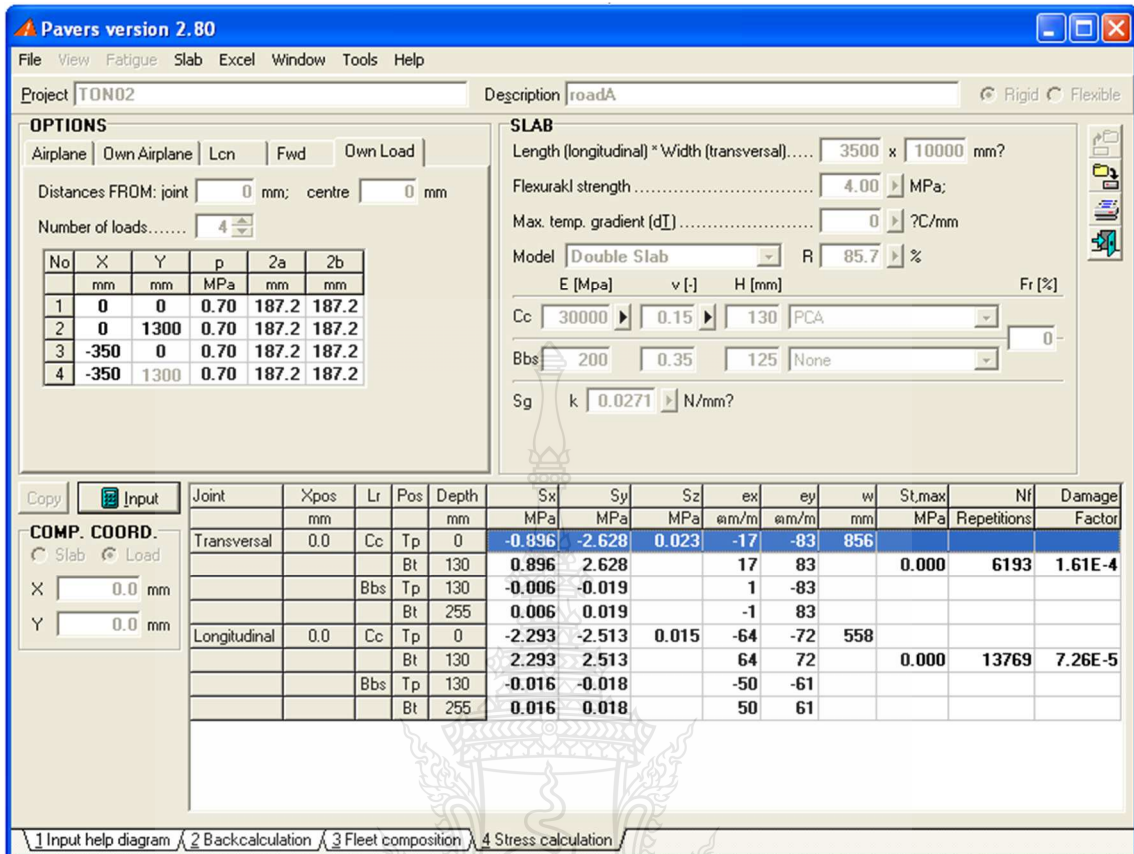
รูปที่ ก.13 ผลการคำนวณหน่วยแรงเห็นของสายทาง SN (LTE ร้อยละ 74.6) ด้วยโปรแกรม PAVERS

(รอบต่อตามข้าง)



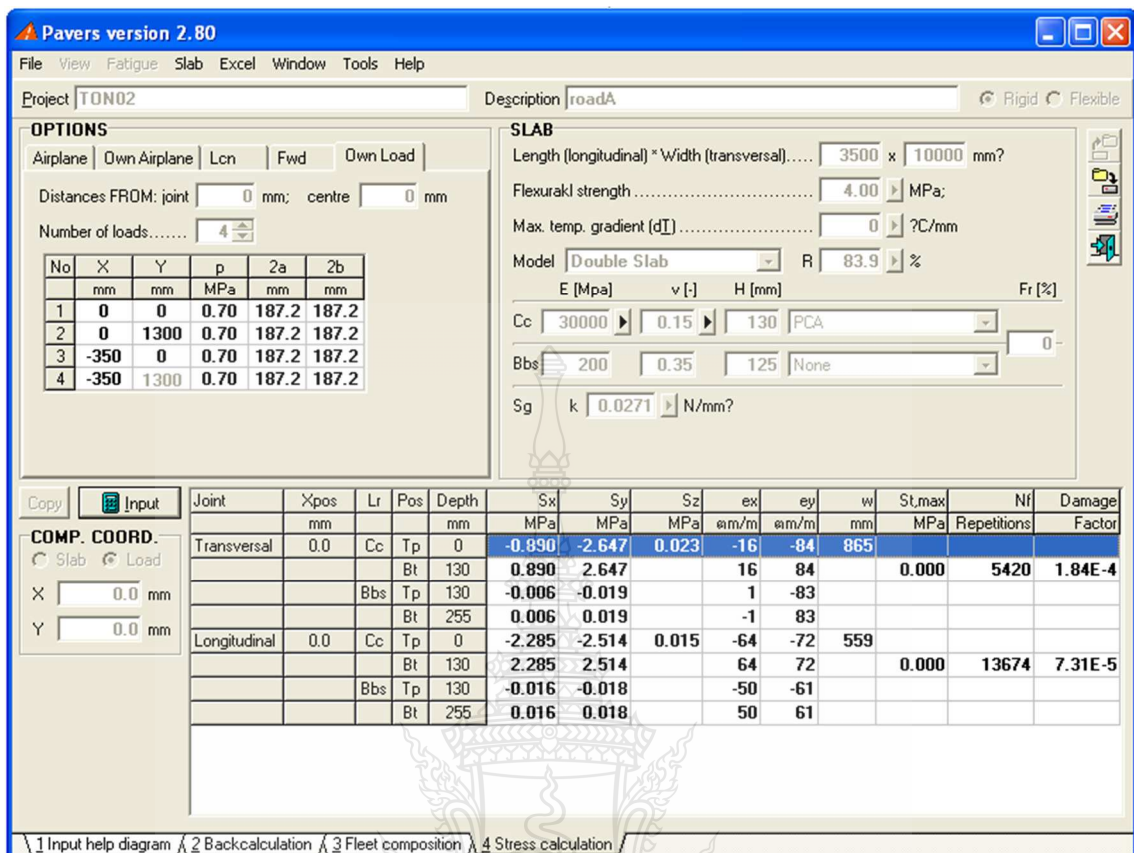
รูปที่ ก.14 ผลการคำนวณหน่วยแรงเห็นของสายทาง SN (LTE ร้อยละ 75) ด้วยโปรแกรม PAVERS

(รอบต่อตามข้าง)



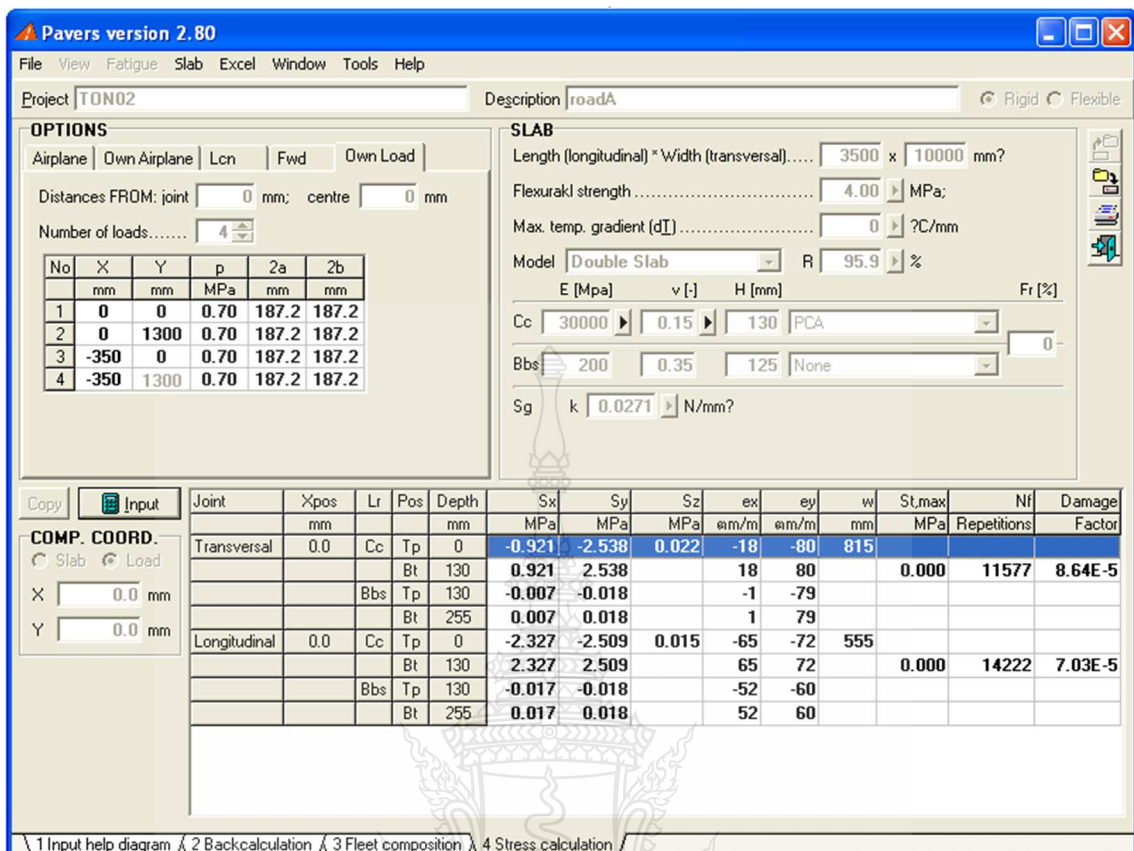
รูปที่ ก.15 ผลการคำนวณหน่วยแรงเห็นของสายทาง SN (LTE ร้อยละ 85.7) ด้วยโปรแกรม PAVERS

(รอข้อมูลตามข้าง)



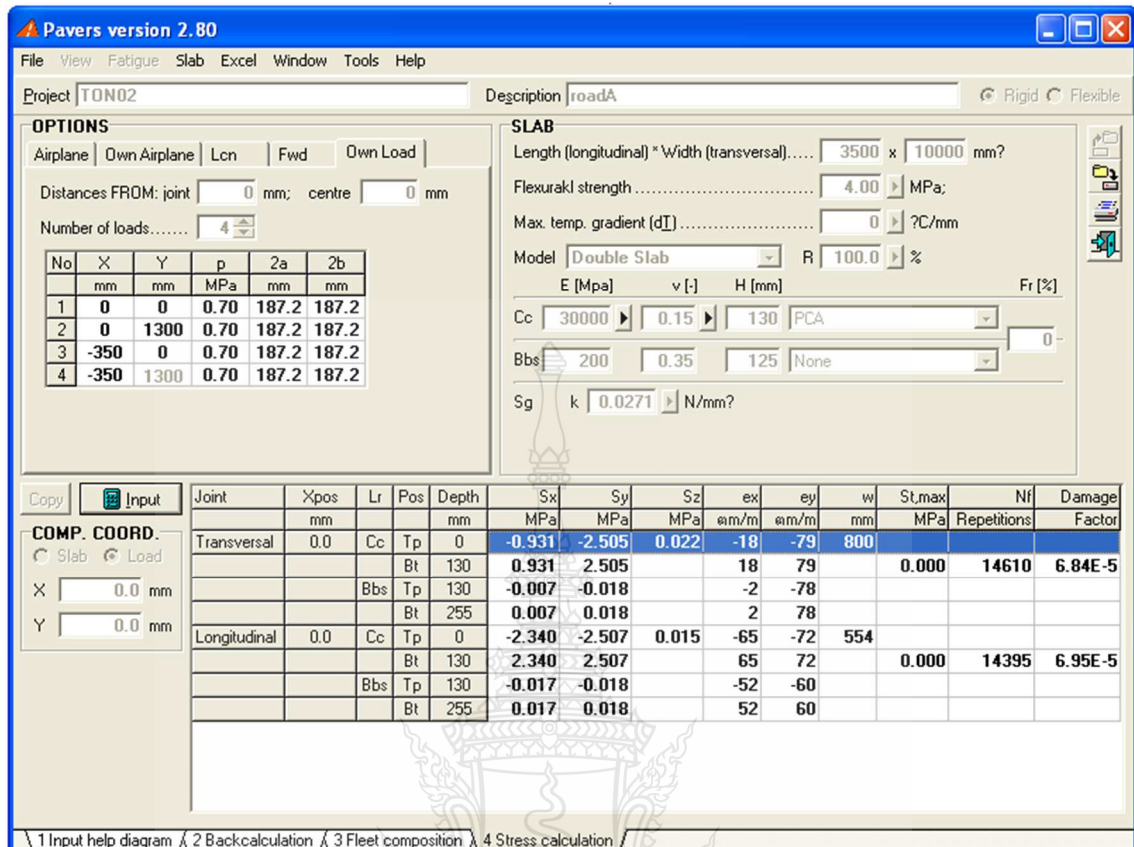
รูปที่ ก.16 ผลการคำนวณหน่วยแรงเห็นของสายทาง SN (LTE ร้อยละ 83.9) ด้วยโปรแกรม PAVERS

(รอบต่อตามข้าง)



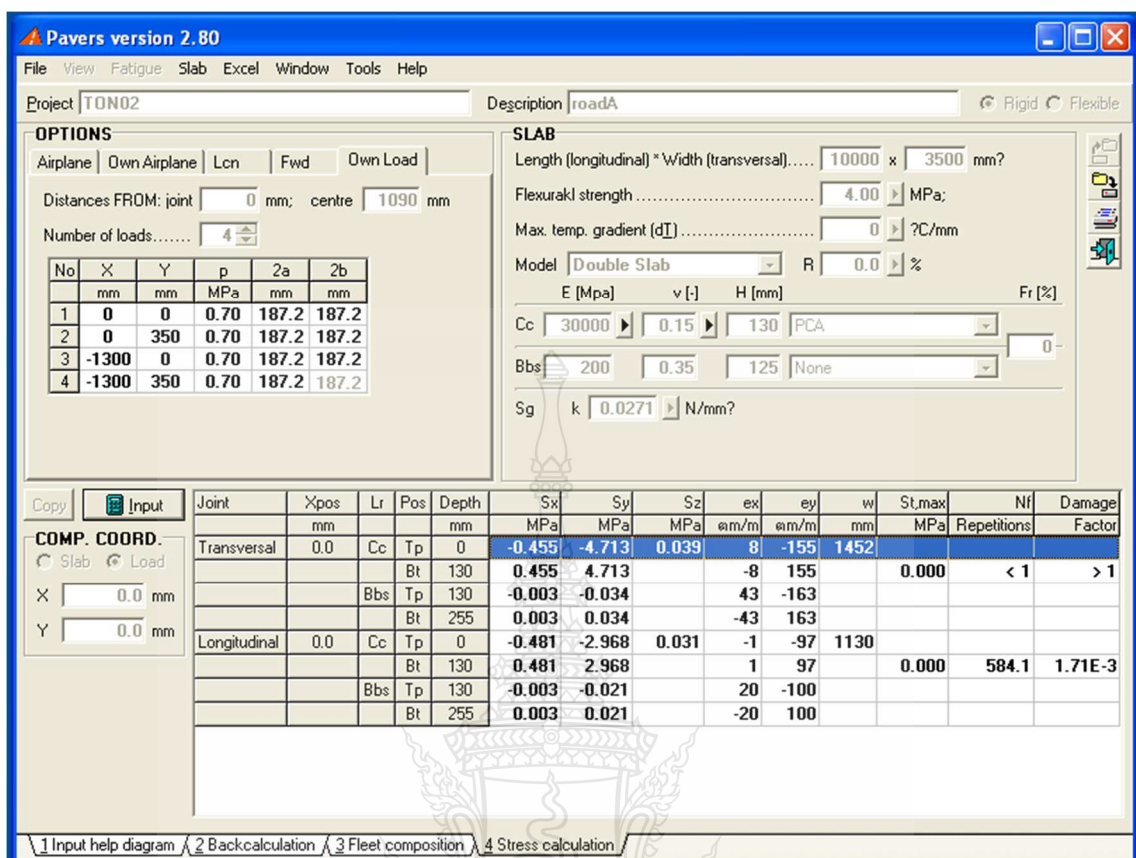
รูปที่ ก.17 ผลการคำนวณหน่วยแรงเห็นของสายทาง SN (LTE ร้อยละ 95.9) ด้วยโปรแกรม PAVERS

(รอข้อมูลตามข้าง)



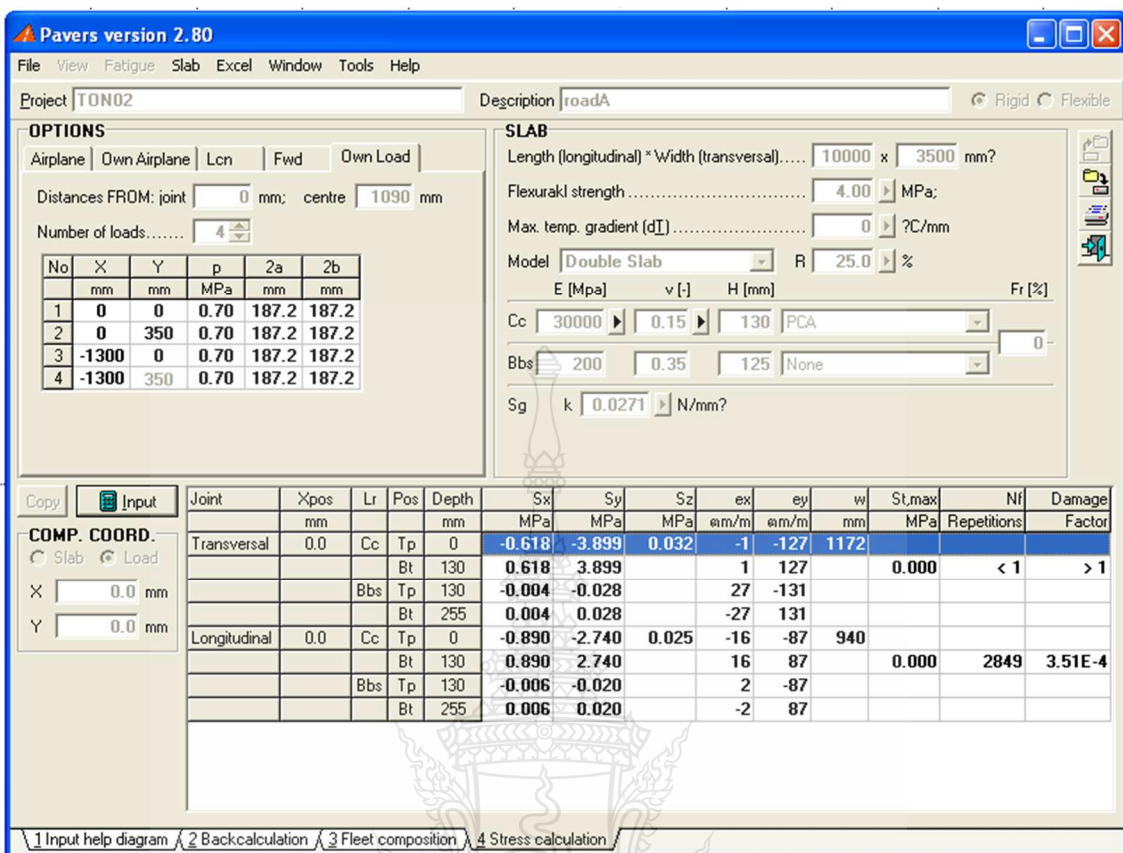
รูปที่ ก.18 ผลการคำนวณหน่วยแรงเห็นของสายทาง SN (LTE ร้อยละ 100) ด้วยโปรแกรม PAVERS

(รอบต่อตามข้าง)



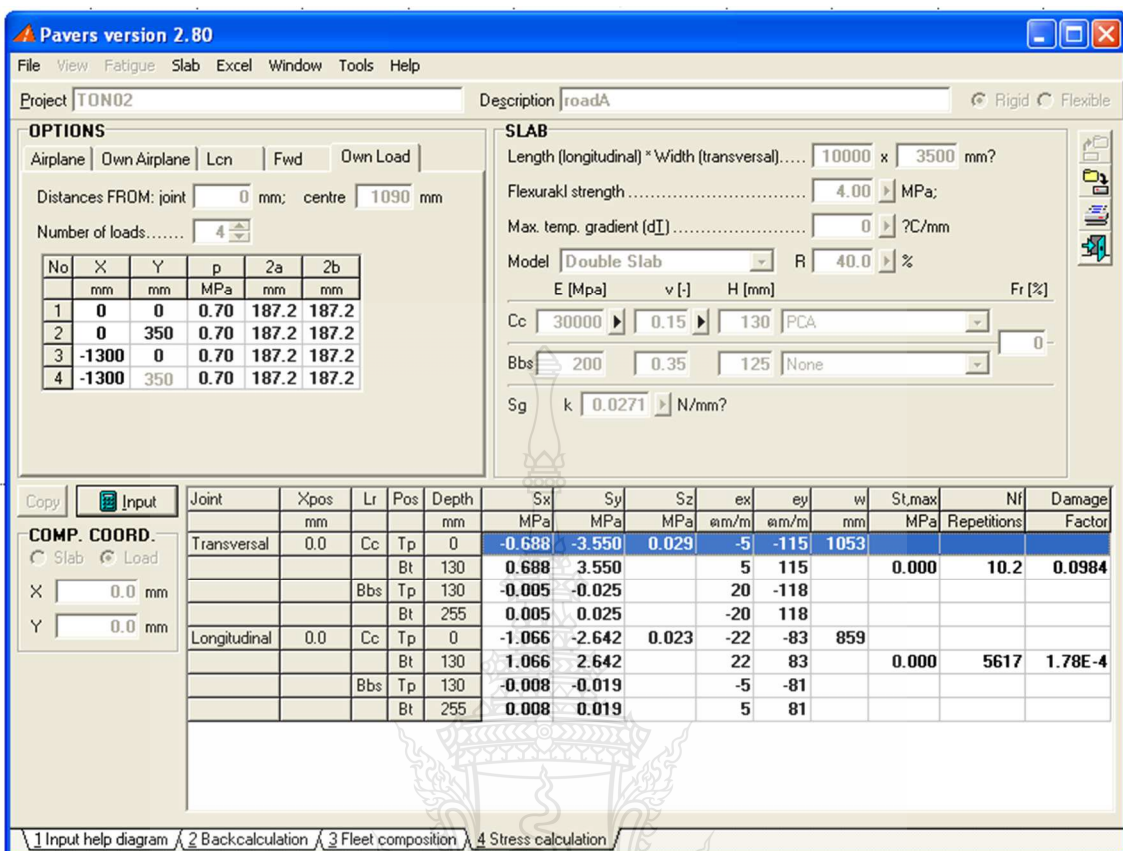
รูปที่ ก.19 ผลการคำนวณหน่วยแรงเห็นของสายทาง PT (LTE ร้อยละ 0) ด้วยโปรแกรม PAVERS

(รอข้อมูลตามข้าง)



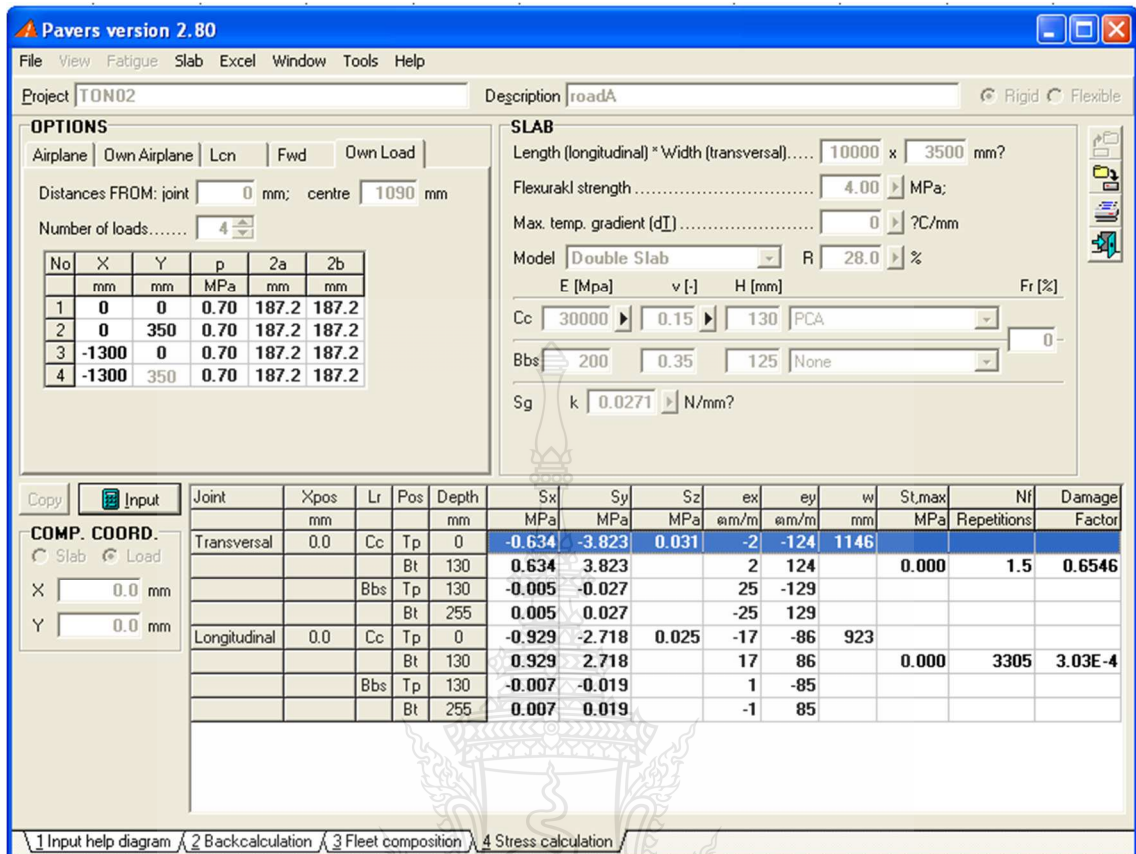
รูปที่ ก.20 ผลการคำนวณหน่วยแรงเห็นของสายทาง PT (LTE รุ่ยละ 25) ด้วยโปรแกรม PAVERS

(รอบต่อตามข้าง)



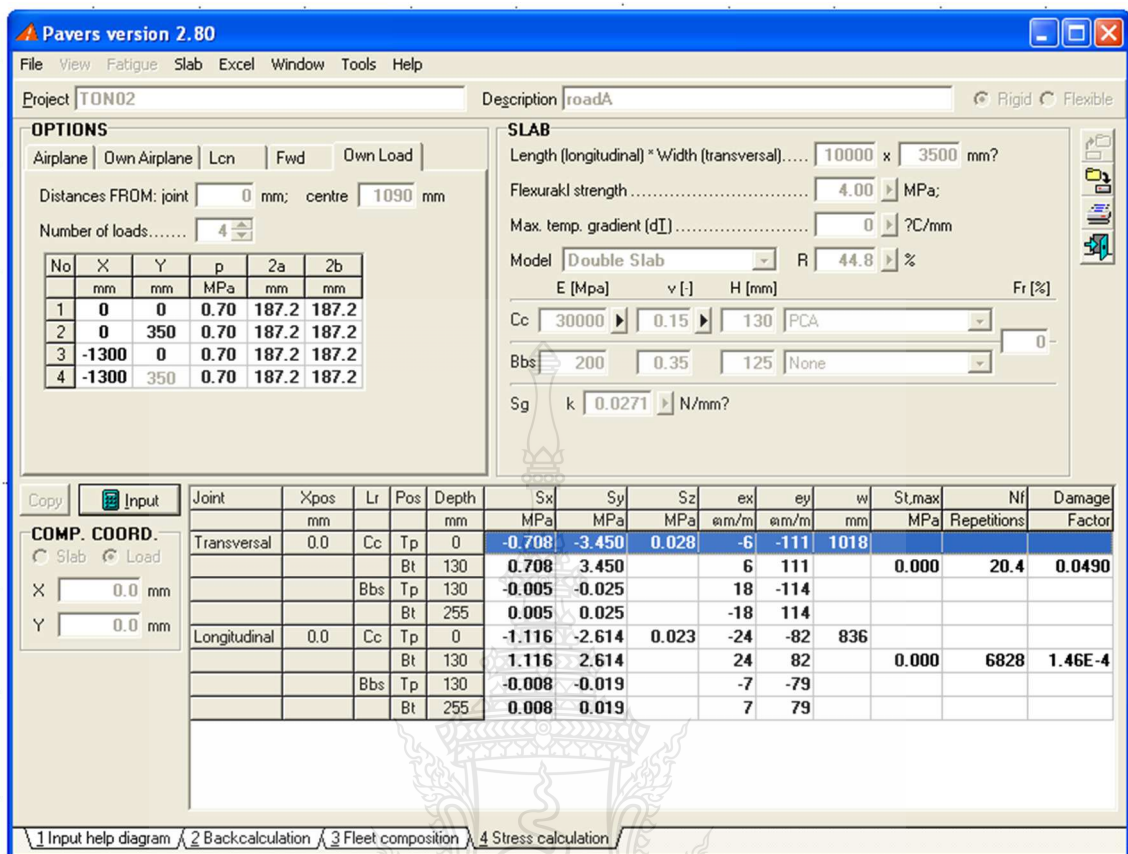
รูปที่ ก.21 ผลการคำนวณหน่วยแรงเห็นของสายทาง PT (LTE ร้อยละ 40) ด้วยโปรแกรม PAVERS

(รอบต่อตามข้าง)



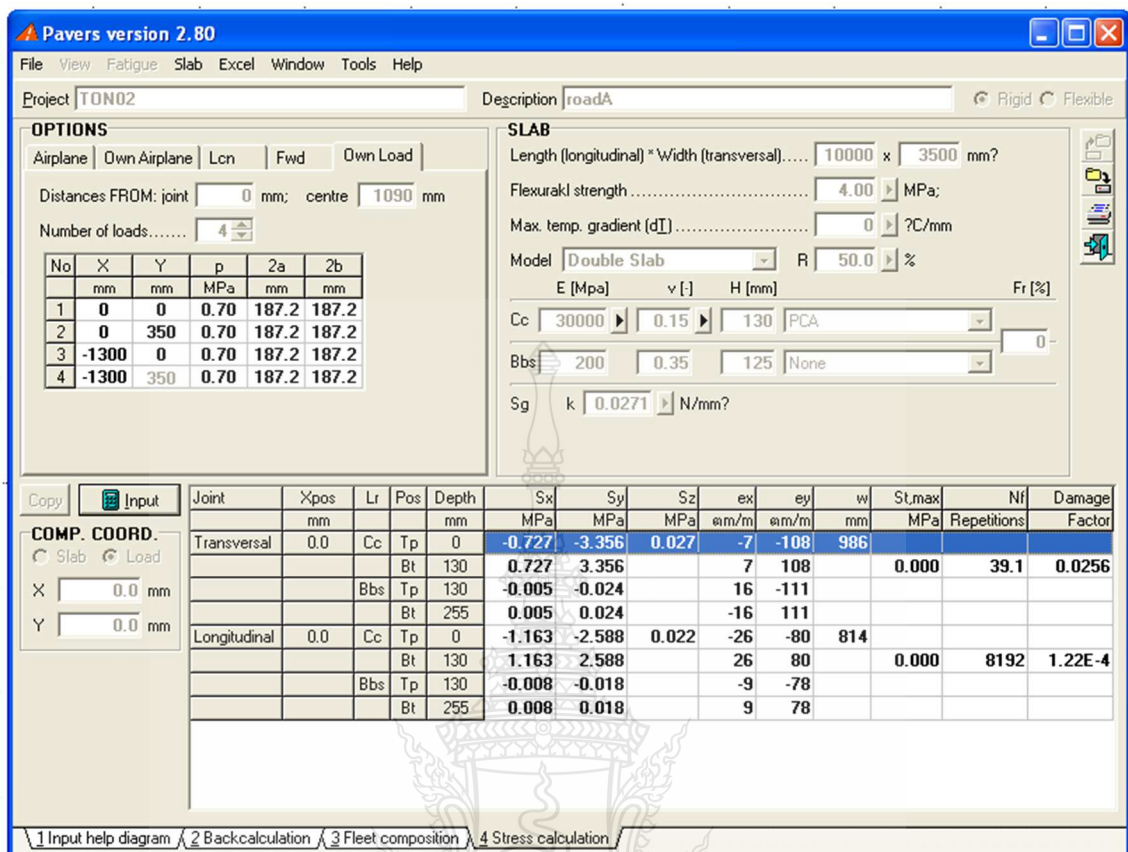
รูปที่ ก.22 ผลการคำนวณหน่วยแรงเห็นของสายทาง PT (LTE ร้อยละ 28) ด้วยโปรแกรม PAVERS

(รอยต่อตามขวา)



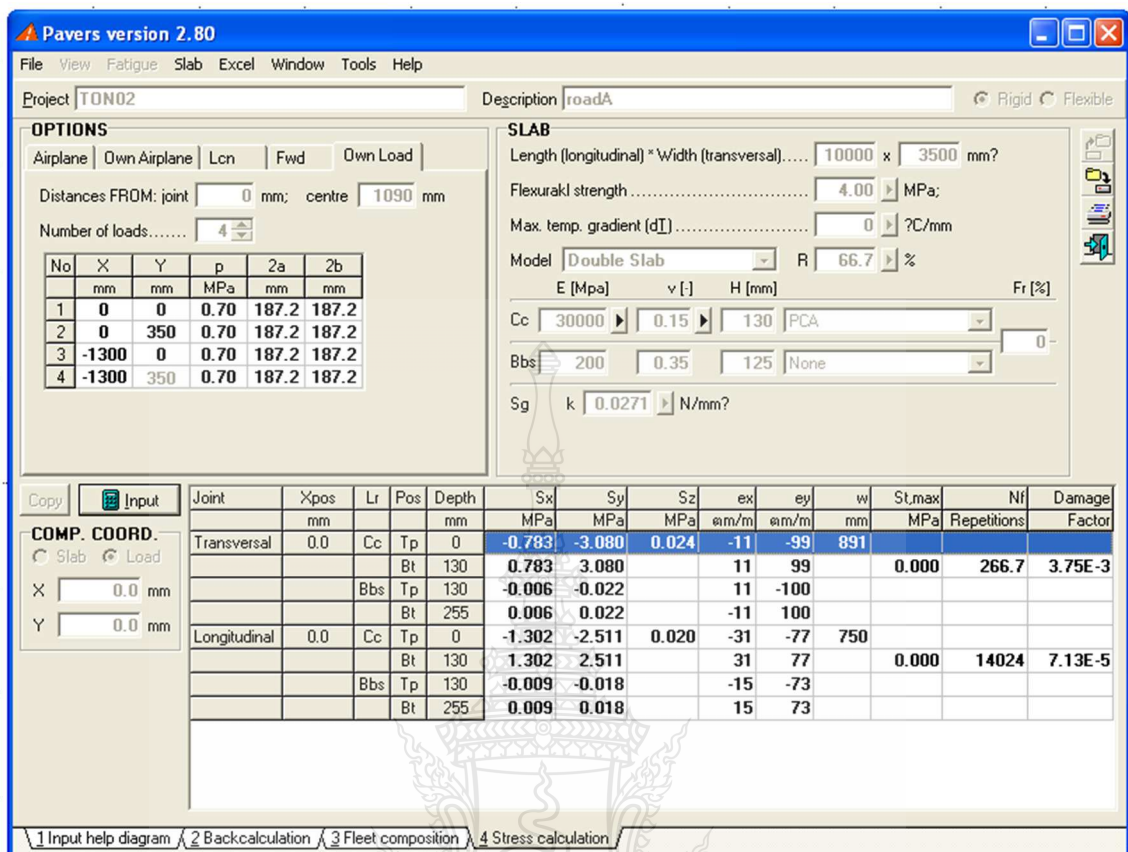
รูปที่ ก.23 ผลการคำนวณหน่วยแรงเห็นของสายทาง PT (LTE ร้อยละ 44.8) ด้วยโปรแกรม PAVERS

(รอบต่อตามขวาง)



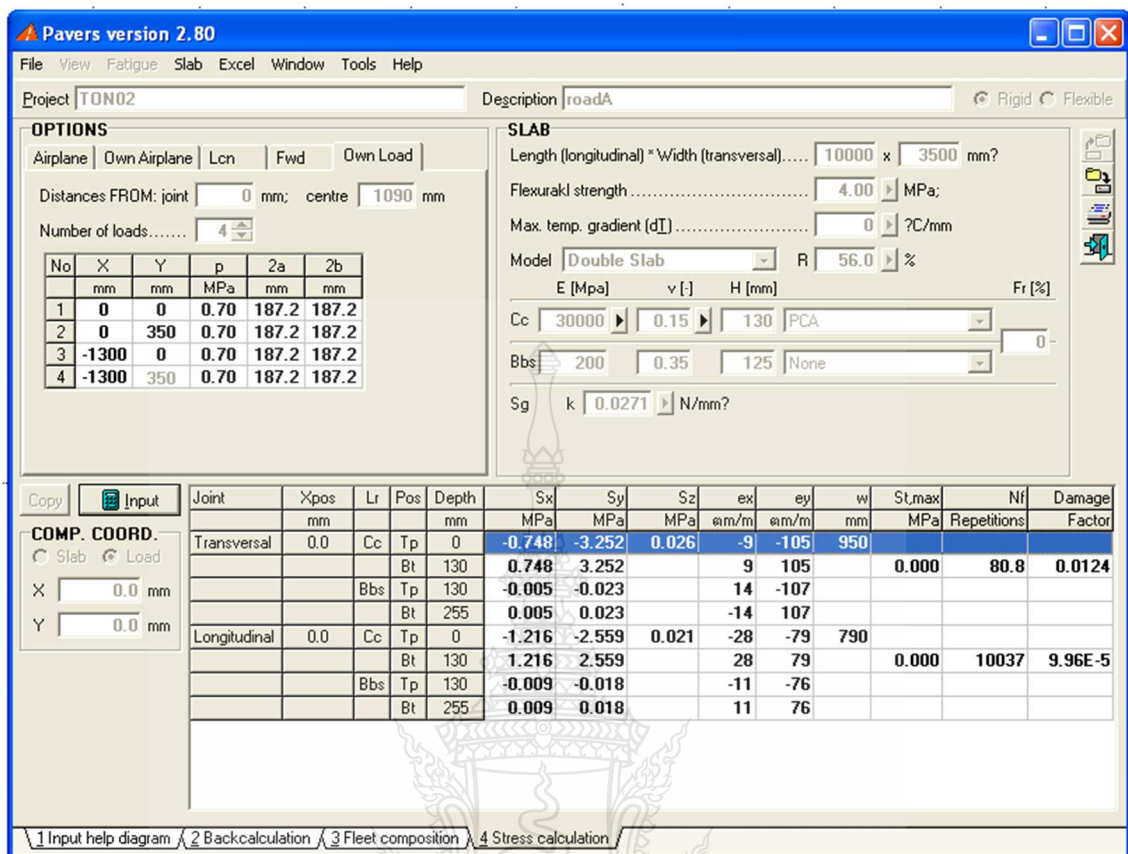
รูปที่ ก.24 ผลการคำนวณหน่วยแรงเห็นของสายทาง PT (LTE ร้อยละ 50) ด้วยโปรแกรม PAVERS

(รอบต่อตามขวา)



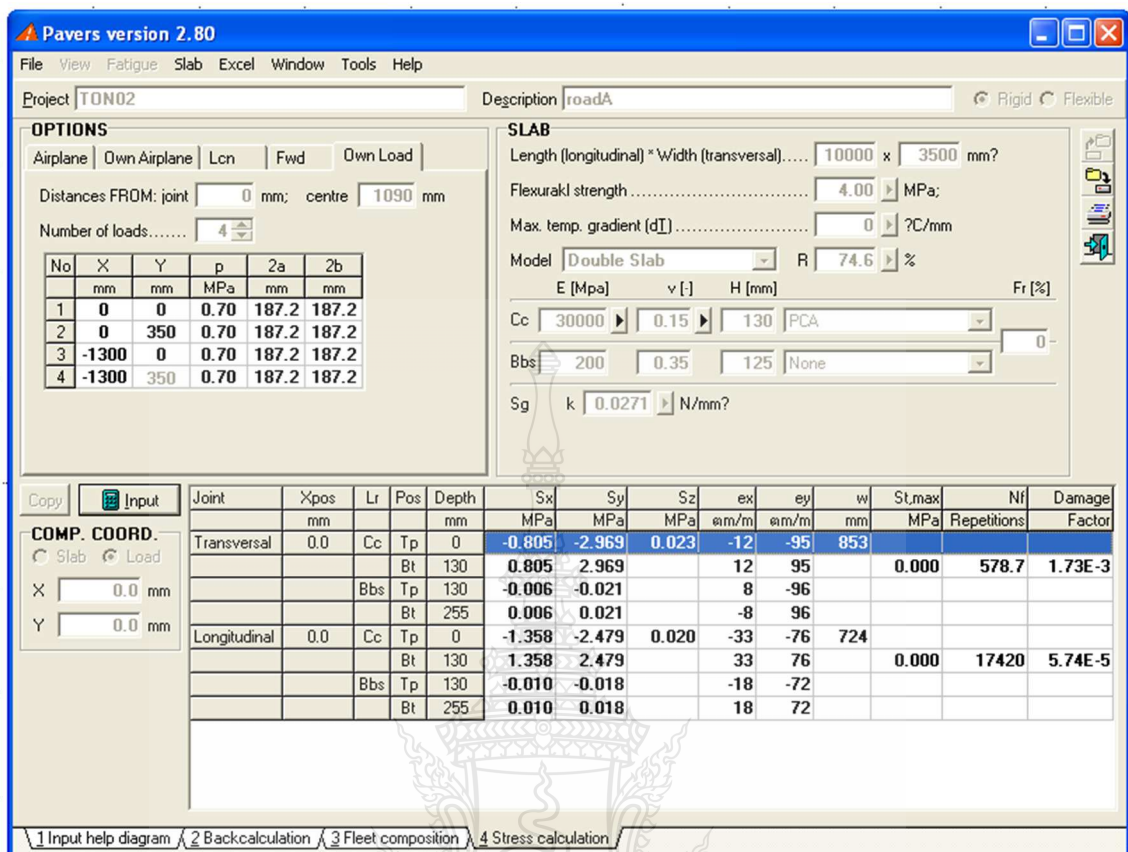
รูปที่ ก.25 ผลการคำนวณหน่วยแรงเห็นของสายทาง PT (LTE ร้อยละ 66.7) ด้วยโปรแกรม PAVERS

(รอบต่อตามข้าง)



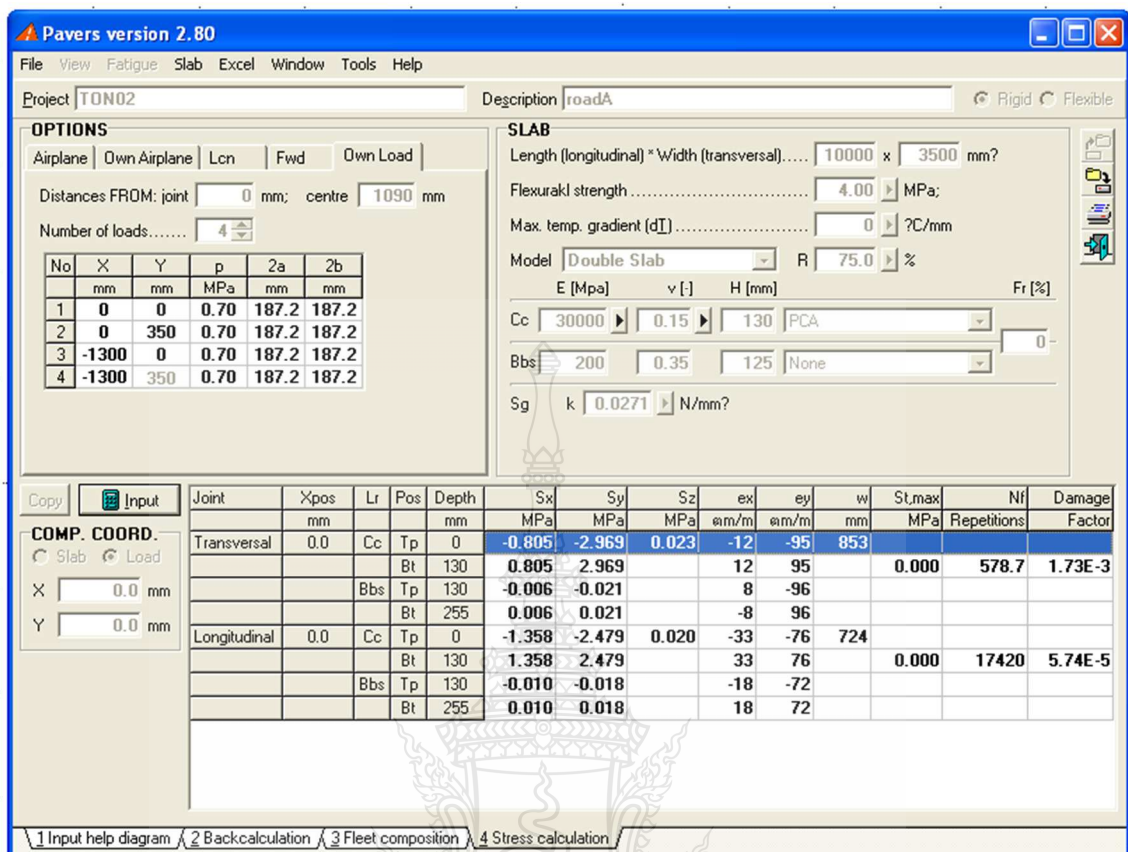
รูปที่ ก.26 ผลการคำนวณหน่วยแรงเห็นของสายทาง PT (LTE ร้อยละ 56) ด้วยโปรแกรม PAVERS

(รอบต่อตามขวาง)



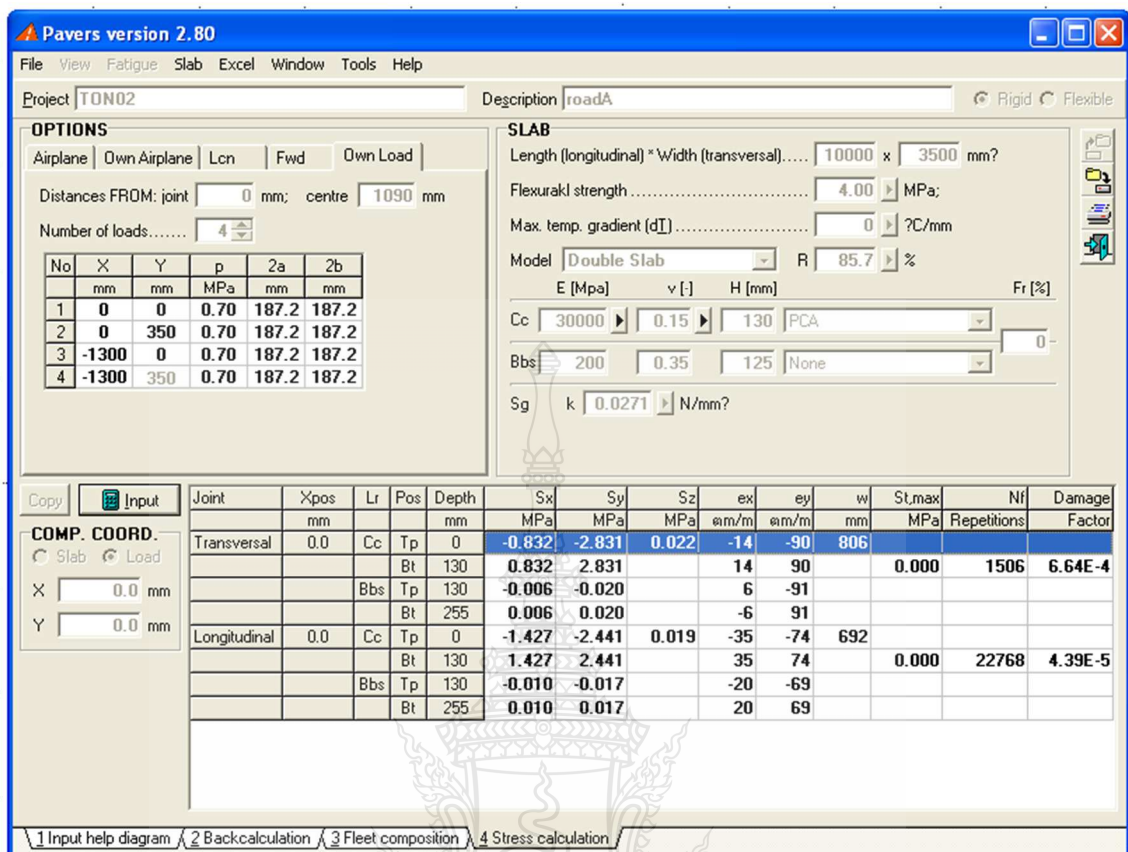
รูปที่ ก.27 ผลการคำนวณหน่วยแรงเห็นของสายทาง PT (LTE ร้อยละ 74.6) ด้วยโปรแกรม PAVERS

(รอบต่อตามข้าง)



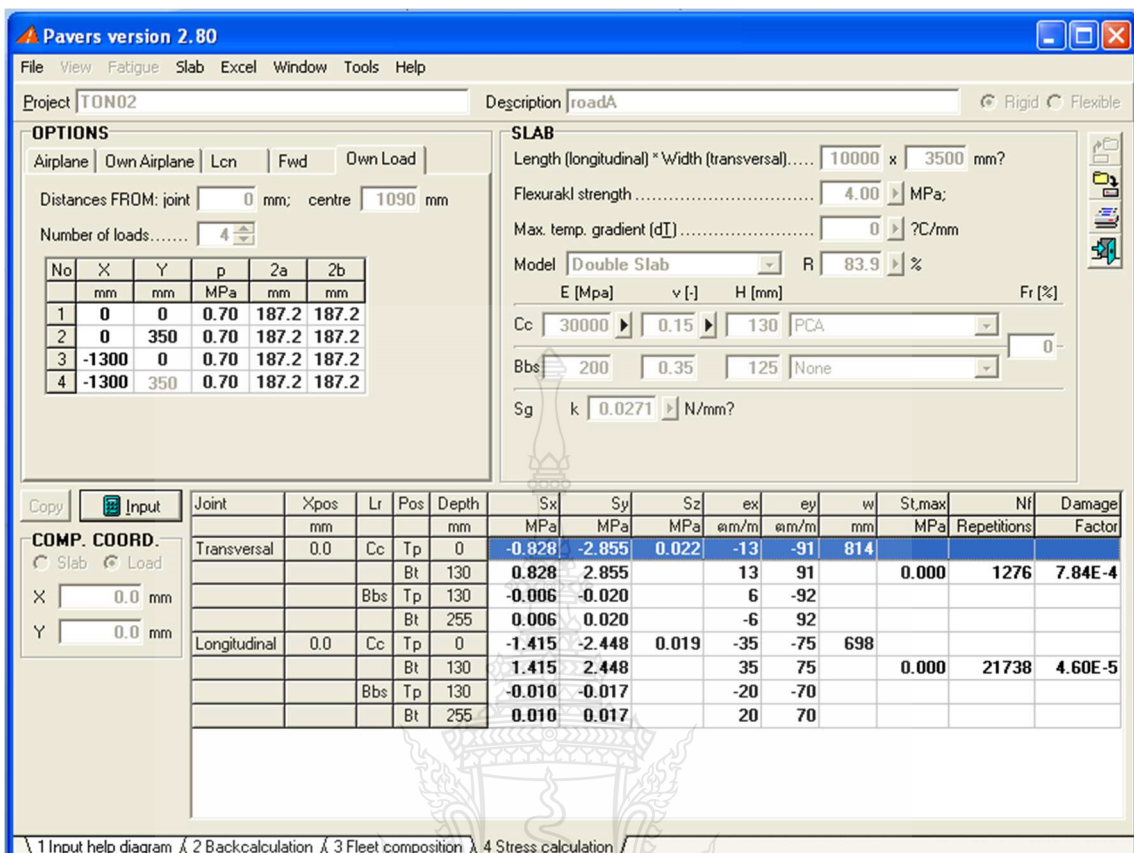
รูปที่ ก.28 ผลการคำนวณหน่วยแรงเห็นของสายทาง PT (LTE ร้อยละ 75) ด้วยโปรแกรม PAVERS

(รอบต่อตามข้าง)



รูปที่ ก.29 ผลการคำนวณหน่วยแรงเห็นของสายทาง PT (LTE ร้อยละ 85.7) ด้วยโปรแกรม PAVERS

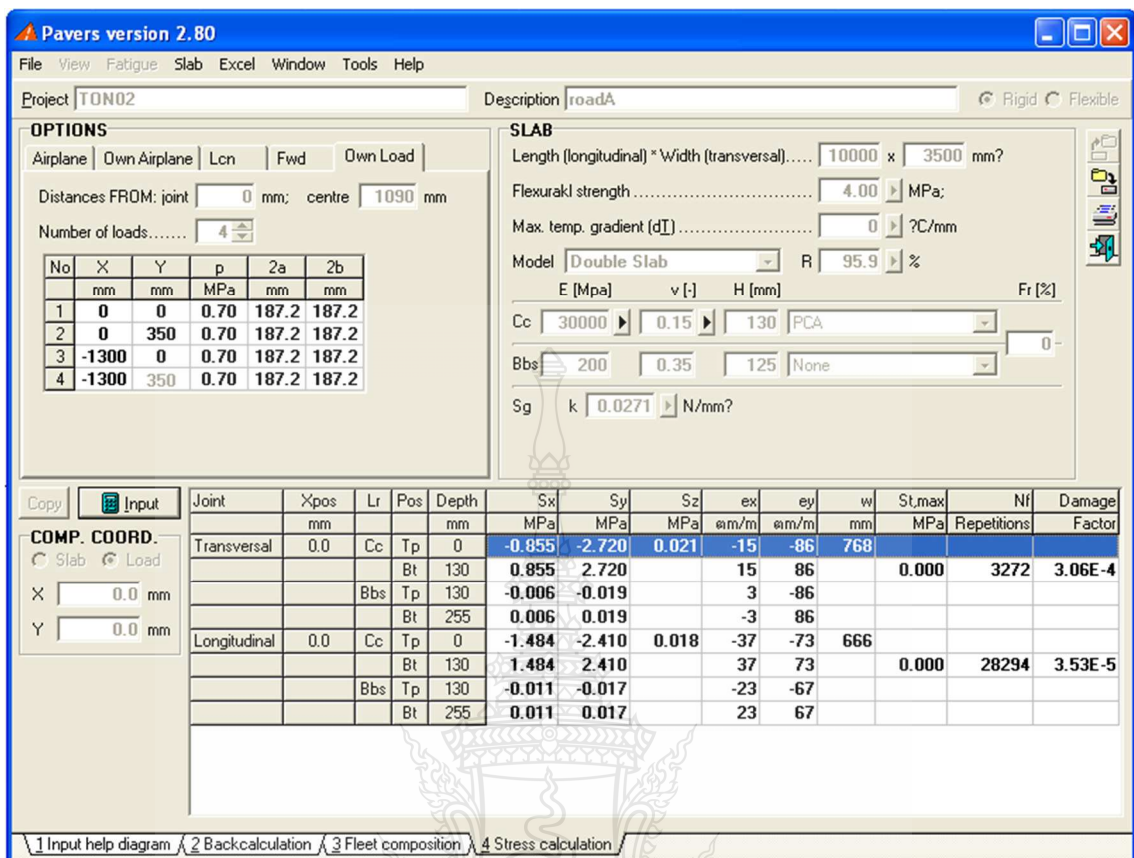
(รอบต่อตามข้าง)



รูปที่ ก.30 ผลการคำนวณหน่วยแรงเห็นของสายทาง PT (LTE ร้อยละ 83.9) ด้วยโปรแกรม PAVERS

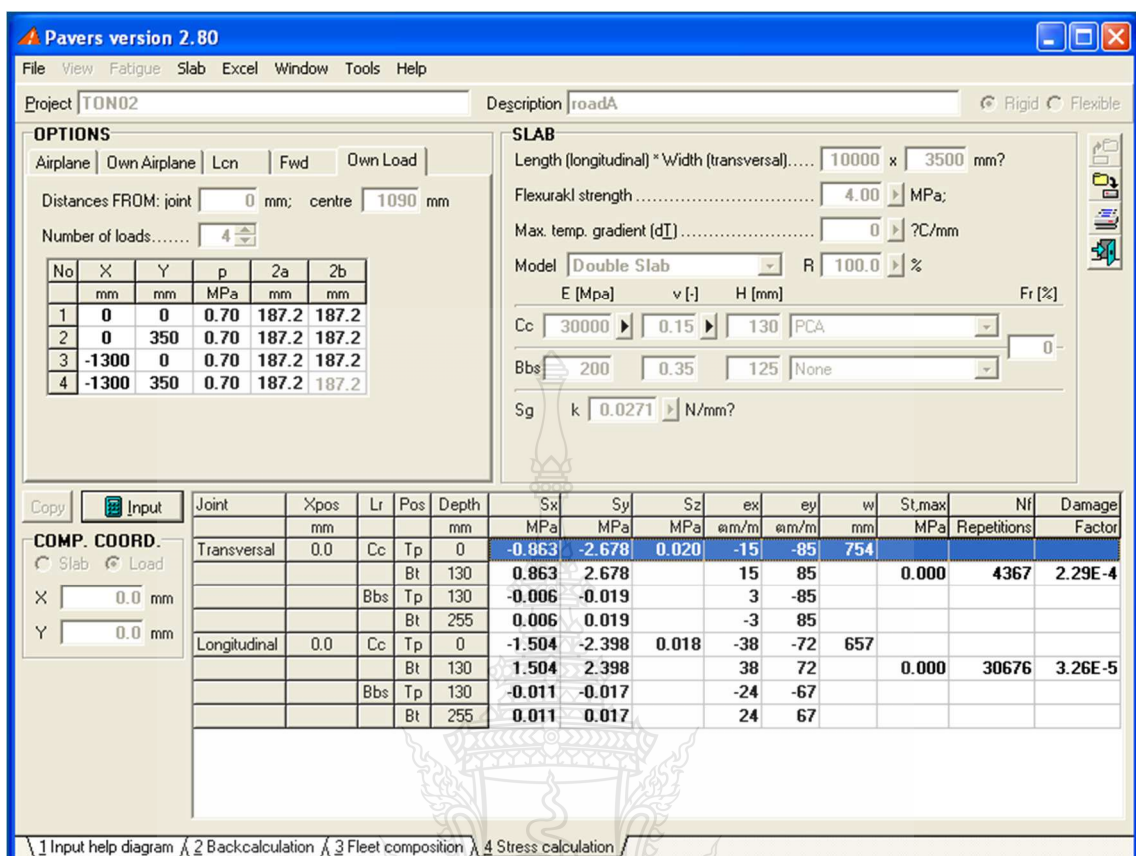
(รอบต่อตามข้าง)





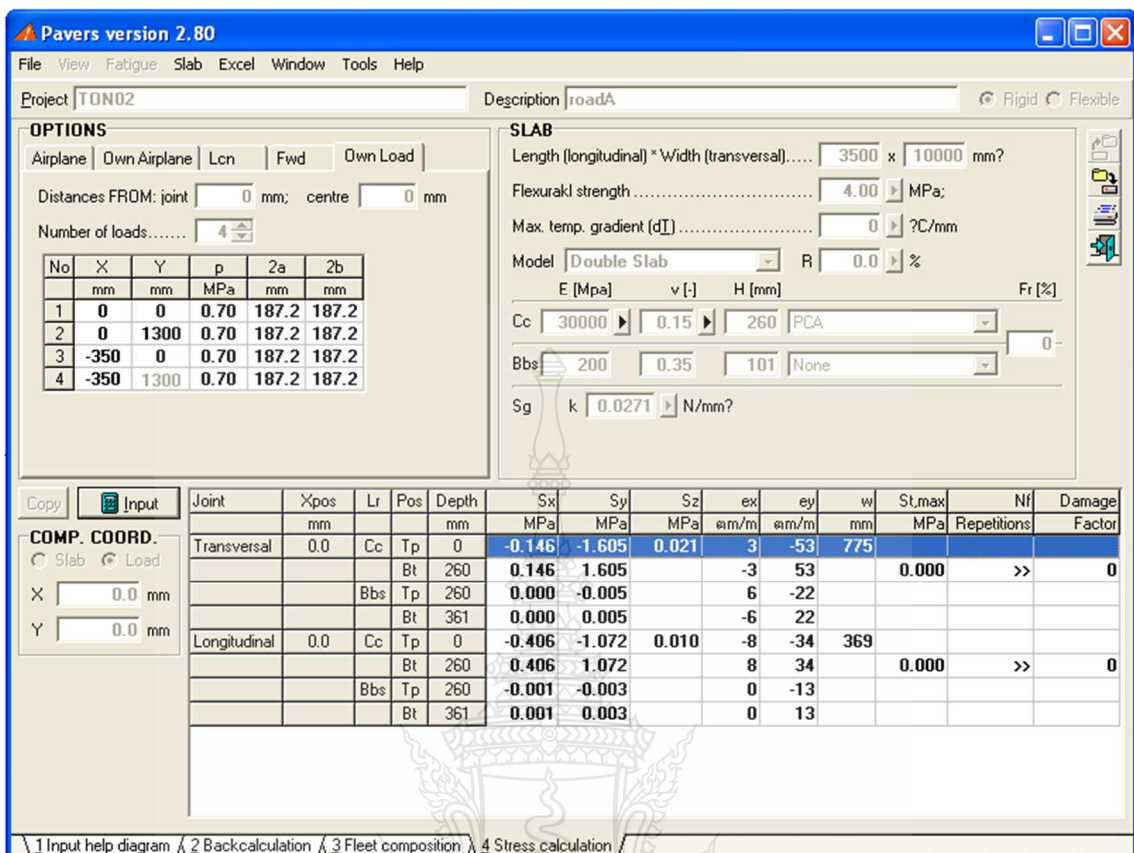
รูปที่ ก.31 ผลการคำนวณหน่วยแรงเห็นของสายทาง PT (LTE ร้อยละ 95.9) ด้วยโปรแกรม PAVERS

(รอบต่อตามขวา)



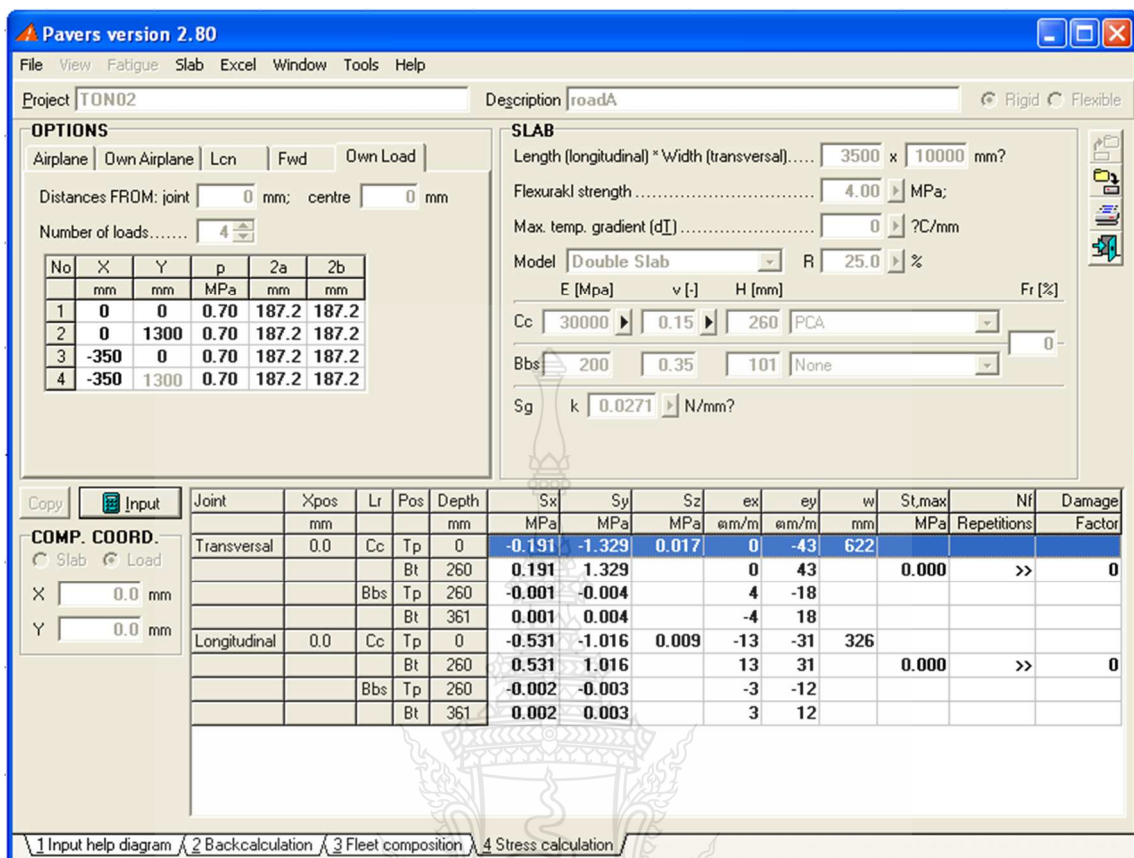
รูปที่ ก.32 ผลการคำนวณหน่วยแรงเห็นของสายทาง PT (LTE ร้อยละ 100) ด้วยโปรแกรม PAVERS

(รอบต่อตามข้าง)



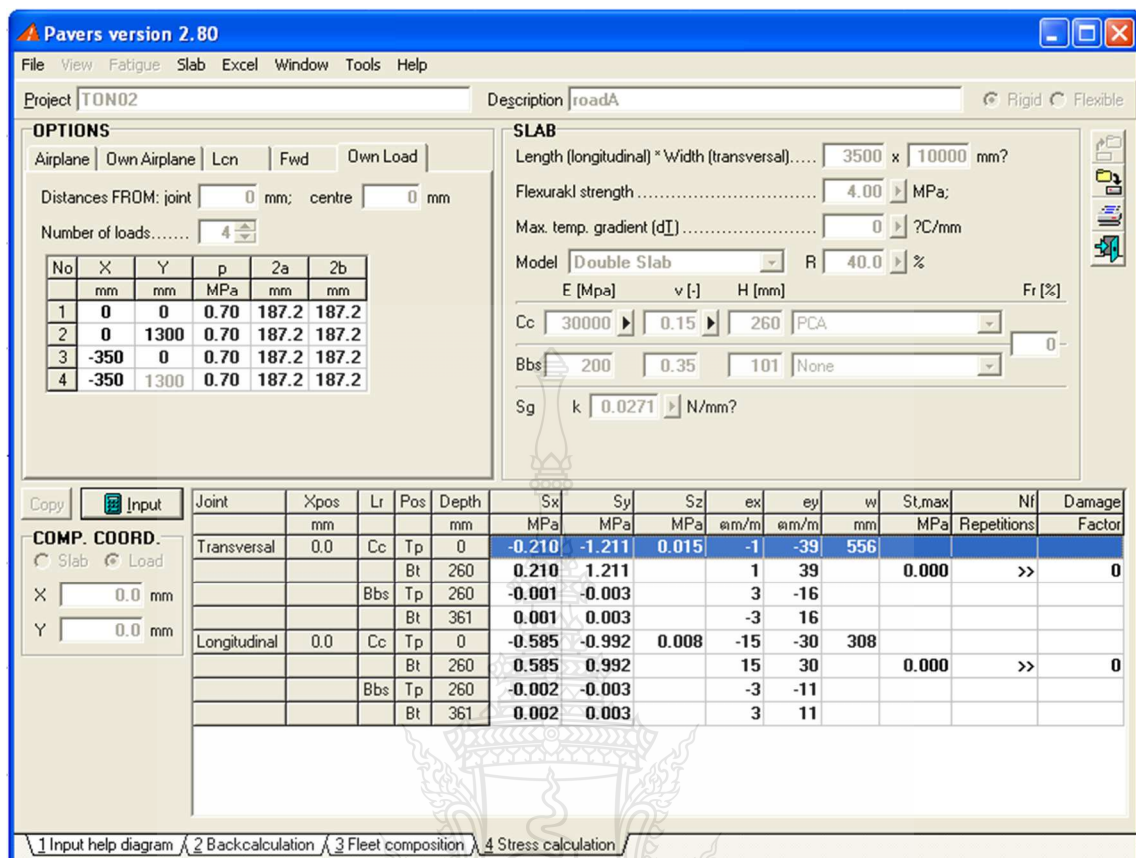
รูปที่ ก.33 ผลการคำนวณหน่วยแรงเห็นของสายทาง SN (LTE ร้อยละ 0) ด้วยโปรแกรม PAVERS

(รอบต่อตามข้าง)



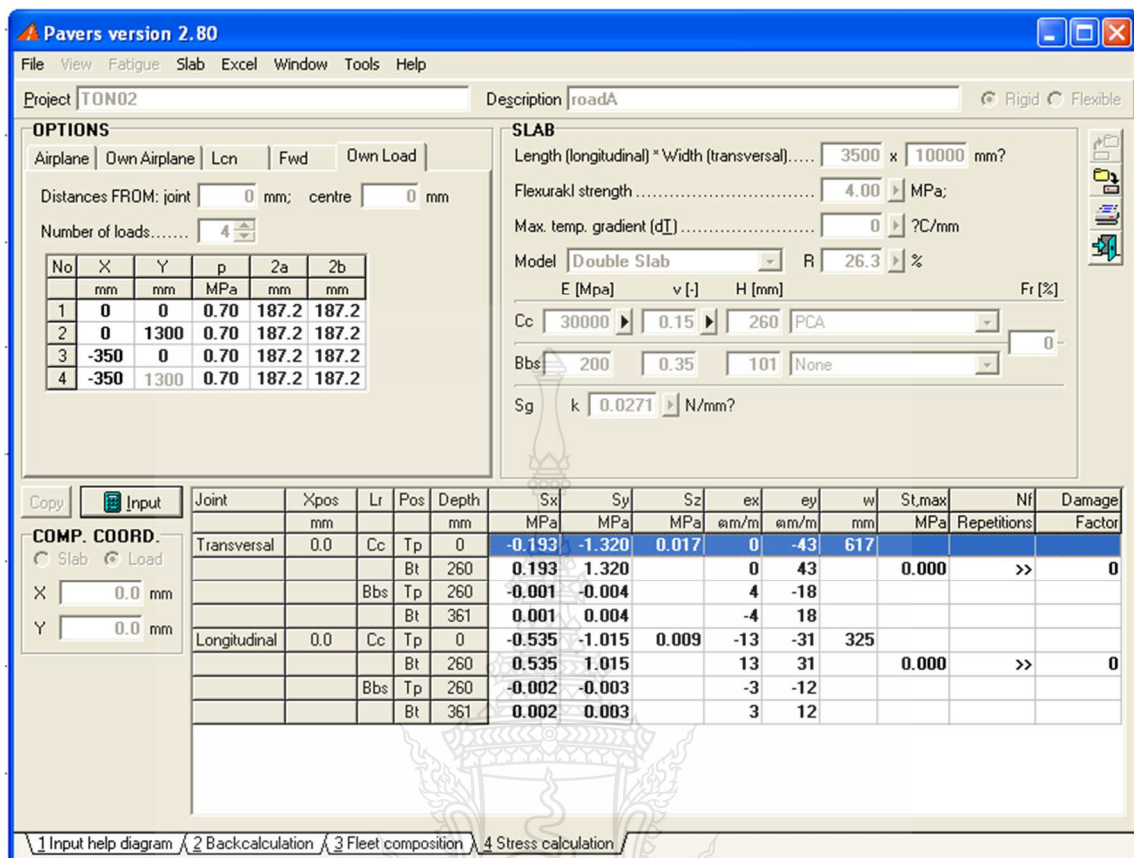
รูปที่ ก.34 ผลการคำนวณหน่วยแรงเห็นของสายทาง SN (LTE รุ่อยละ 25) ด้วยโปรแกรม PAVERS

(รอบต่อตามข้าง)

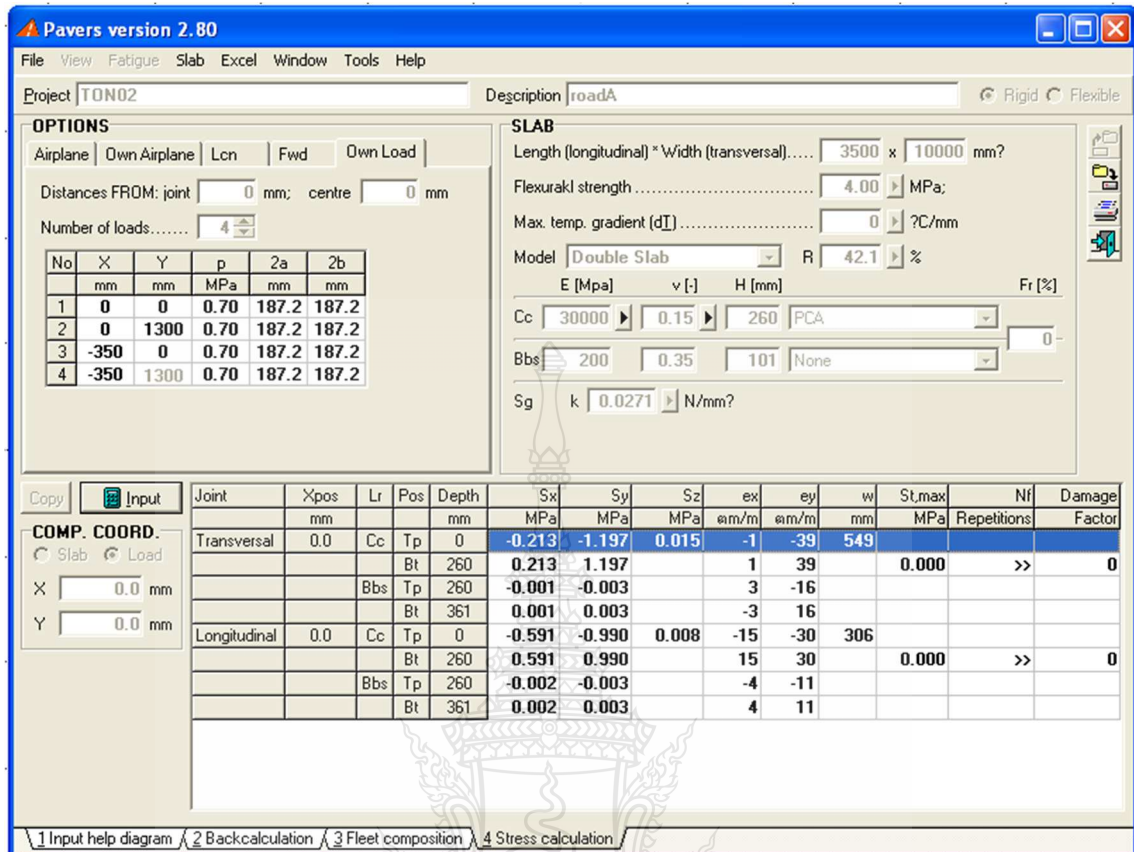


รูปที่ ก.35 ผลการคำนวณหน่วยแรงเห็นของสายทาง SN (LTE ร้อยละ 40) ด้วยโปรแกรม PAVERS

(รอบต่อตามข้าง)

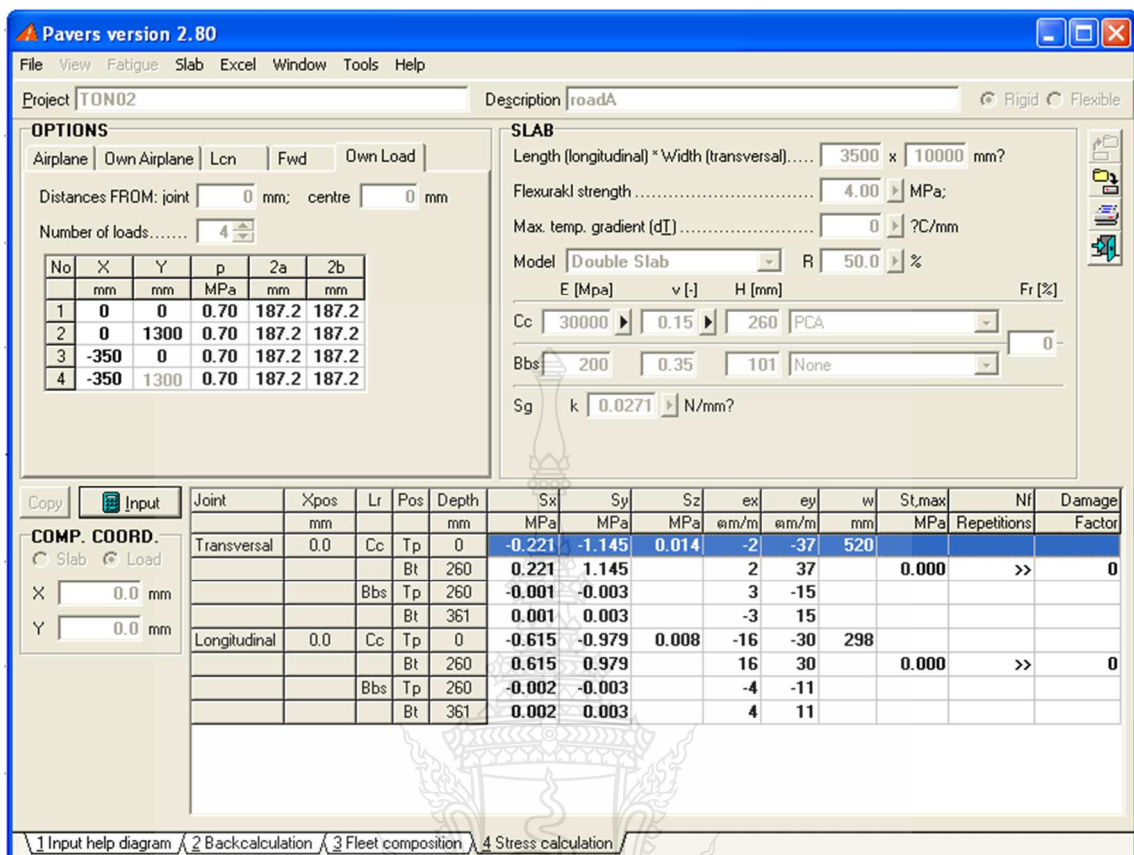


รูปที่ ก.36 ผลการคำนวณหน่วยแรงเห็นของสายทาง SN (LTE ร้อยละ 26.3) ด้วยโปรแกรม PAVERS
(รอข้อต่อตามยार)



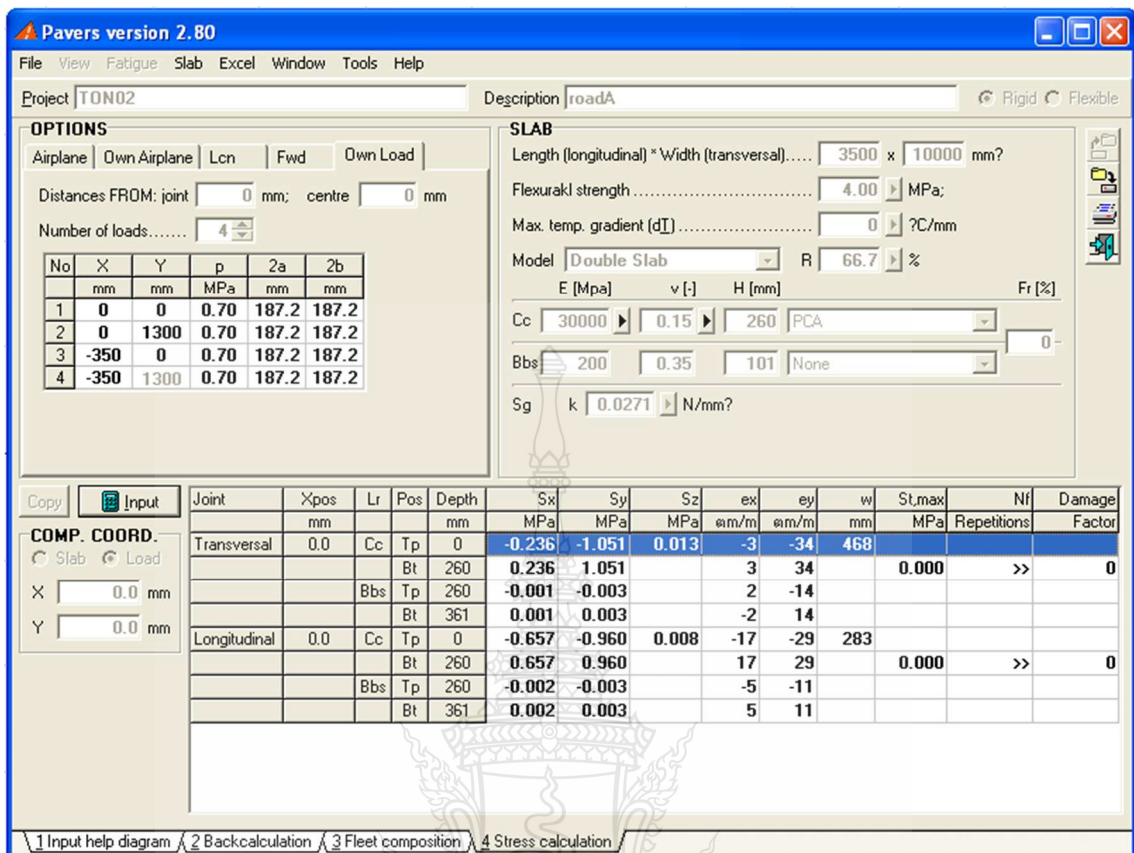
รูปที่ ก.37 ผลการคำนวณหน่วยแรงเห็นของสายทาง SN (LTE ร้อยละ 42.1) ด้วยโปรแกรม PAVERS

(รอต่อตามยา)



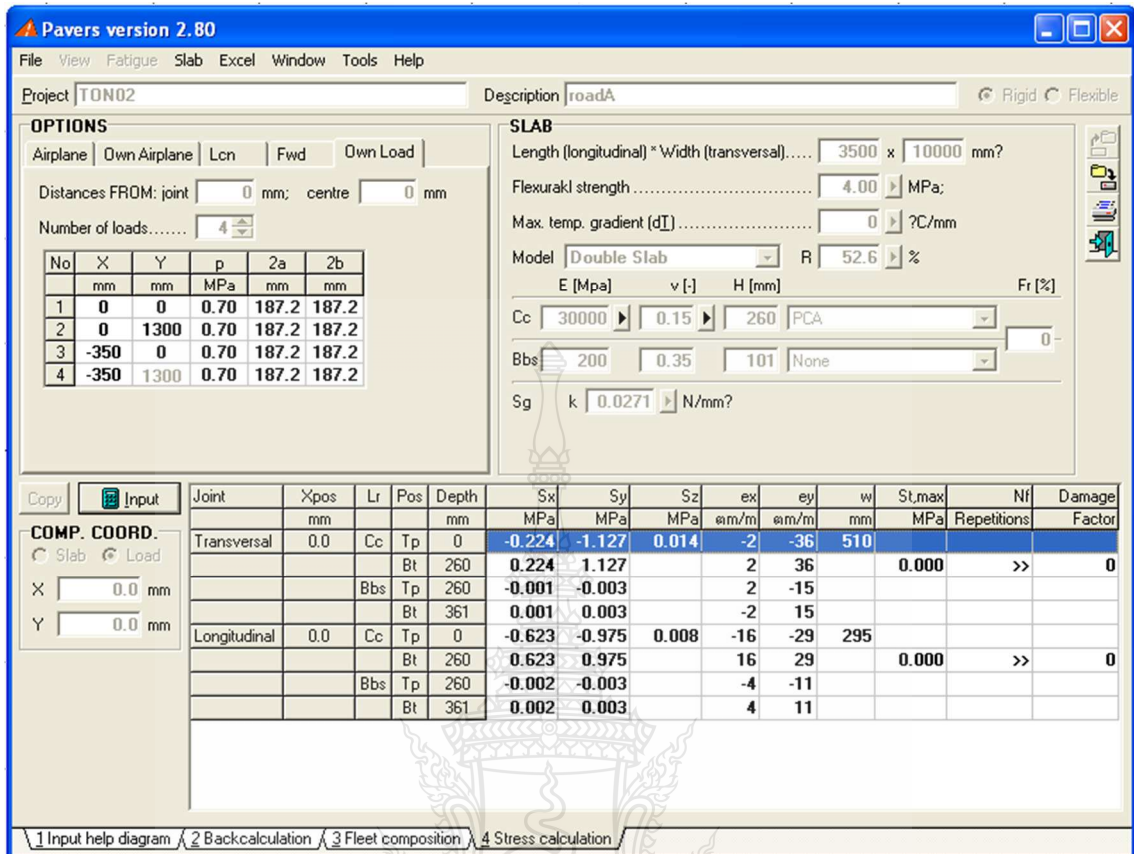
รูปที่ ก.38 ผลการคำนวณหน่วยแรงเห็นของสายทาง SN (LTE ร้อยละ 50) ด้วยโปรแกรม PAVERS

(รอข้อมูลตามมา)



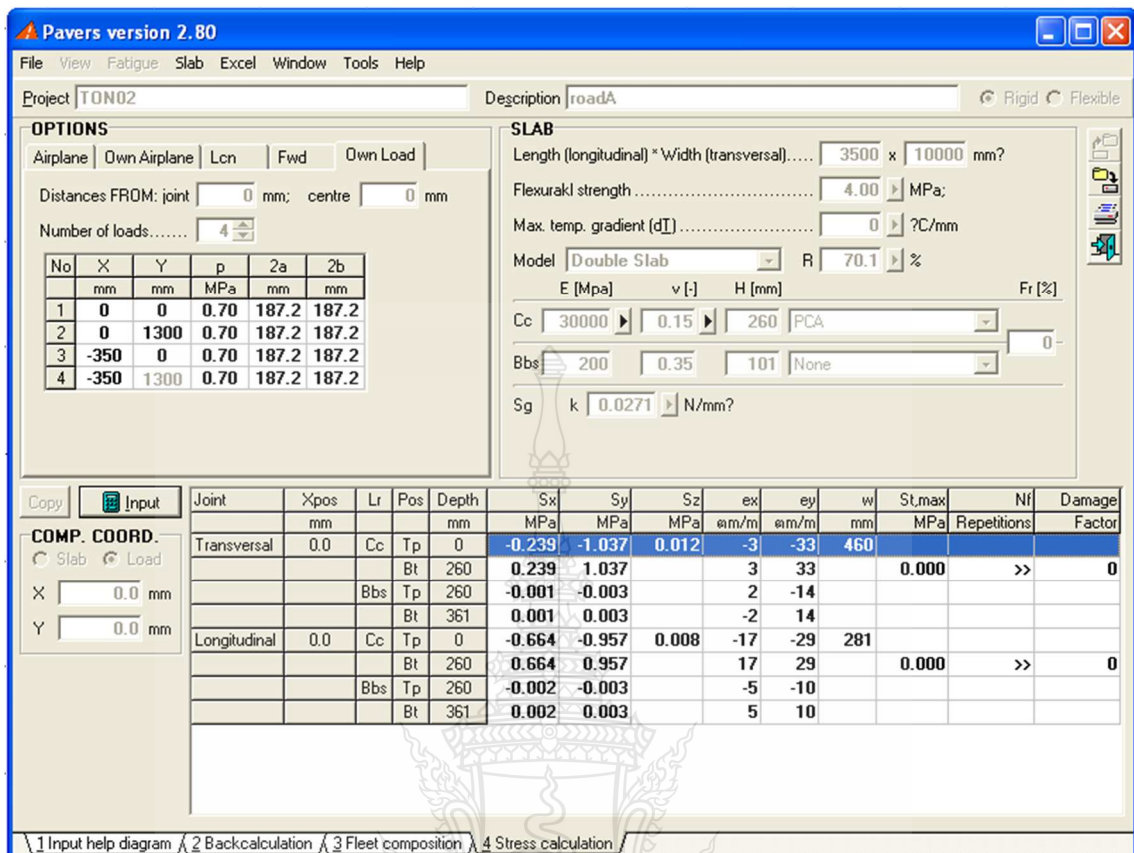
รูปที่ ก.39 ผลการคำนวณหน่วยแรงเห็นของสายทาง SN (LTE ร้อยละ 66.7) ด้วยโปรแกรม PAVERS

(รอบต่อตามข้าง)



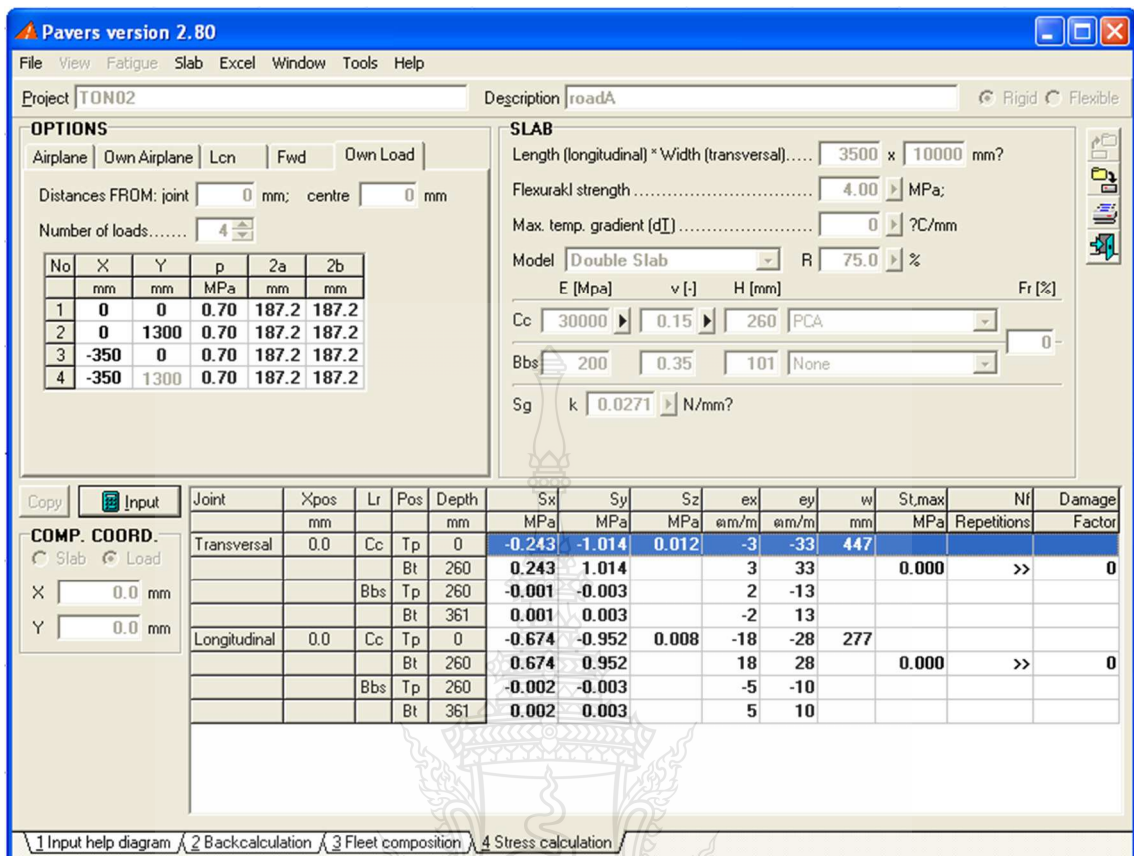
รูปที่ ก.40 ผลการคำนวณหน่วยแรงเห็นของสายทาง SN (LTE ร้อยละ 52.6) ด้วยโปรแกรม PAVERS

(รอบต่อตามข้าง)



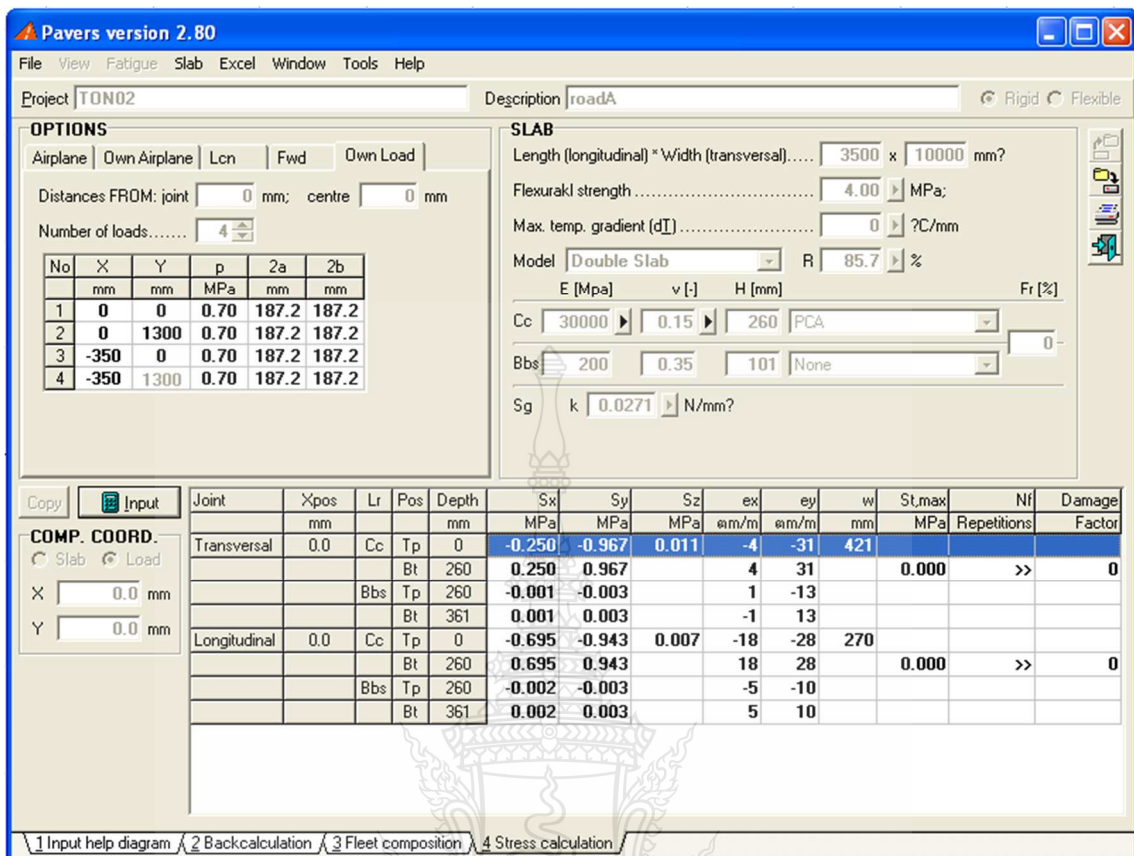
รูปที่ ก.41 ผลการคำนวณหน่วยแรงเห็นของสายทาง SN (LTE ร้อยละ 70.1) ด้วยโปรแกรม PAVERS

(รอข้อต่อตามข้าง)



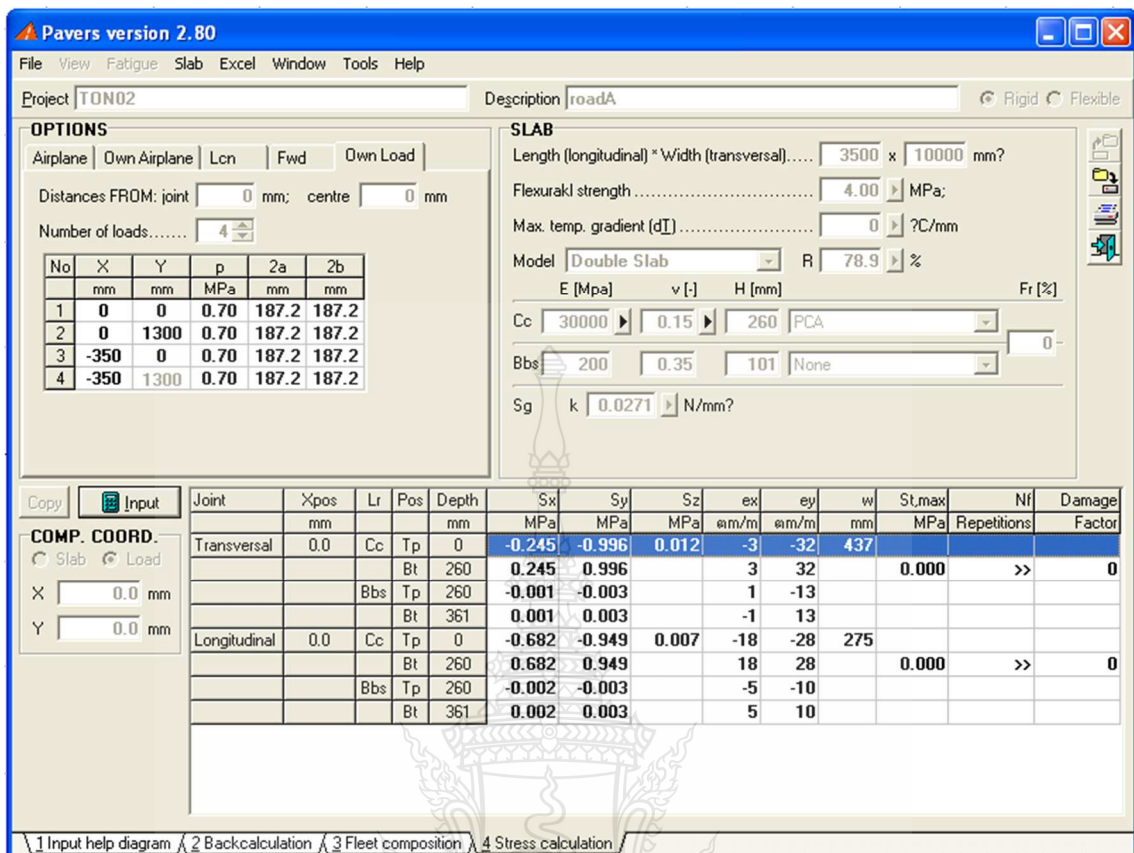
รูปที่ ก.42 ผลการคำนวณหน่วยแรงเห็นของสายทาง SN (LTE ร้อยละ 75) ด้วยโปรแกรม PAVERS

(รอบต่อตามข้าง)



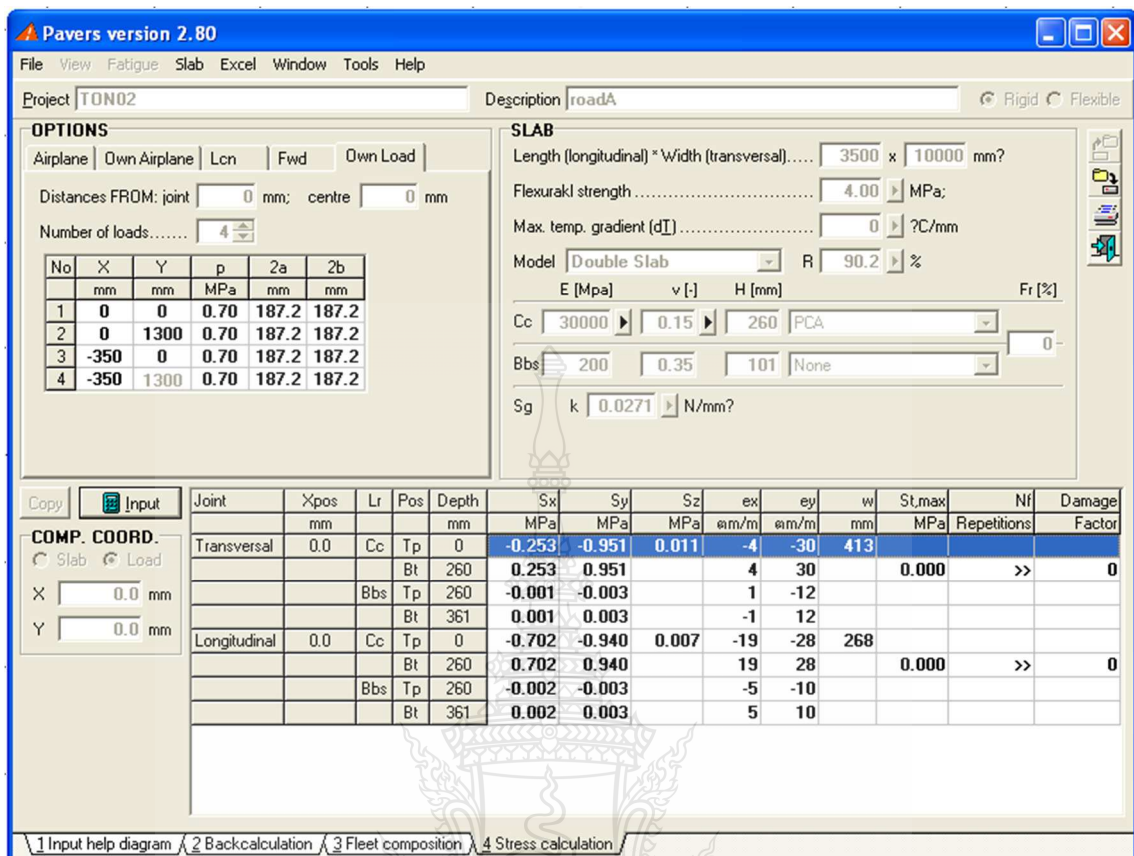
รูปที่ ก.43 ผลการคำนวณหน่วยแรงเห็นของสายทาง SN (LTE ร้อยละ 85.7) ด้วยโปรแกรม PAVERS

(รอบต่อตามข้าง)



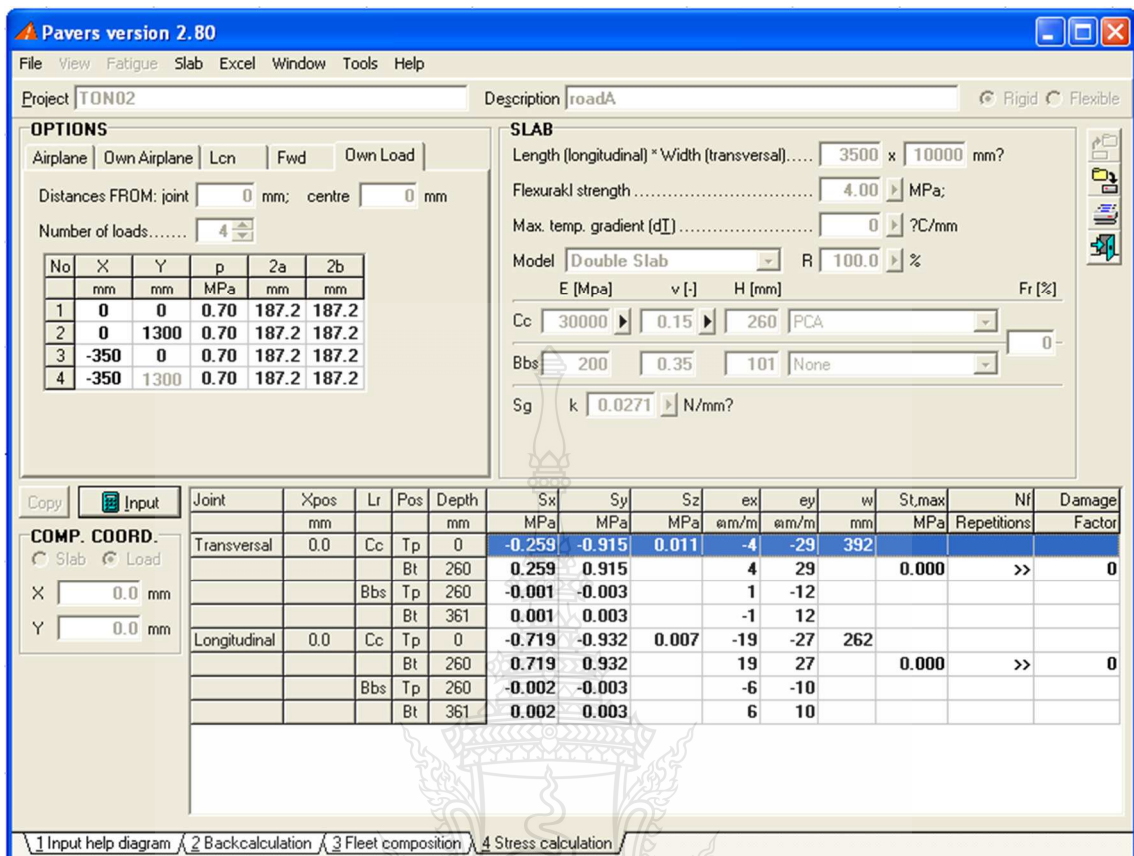
รูปที่ ก.44 ผลการคำนวณหน่วยแรงเห็นของสายทาง SN (LTE ร้อยละ 78.9) ด้วยโปรแกรม PAVERS

(รอบต่อตามข้าง)



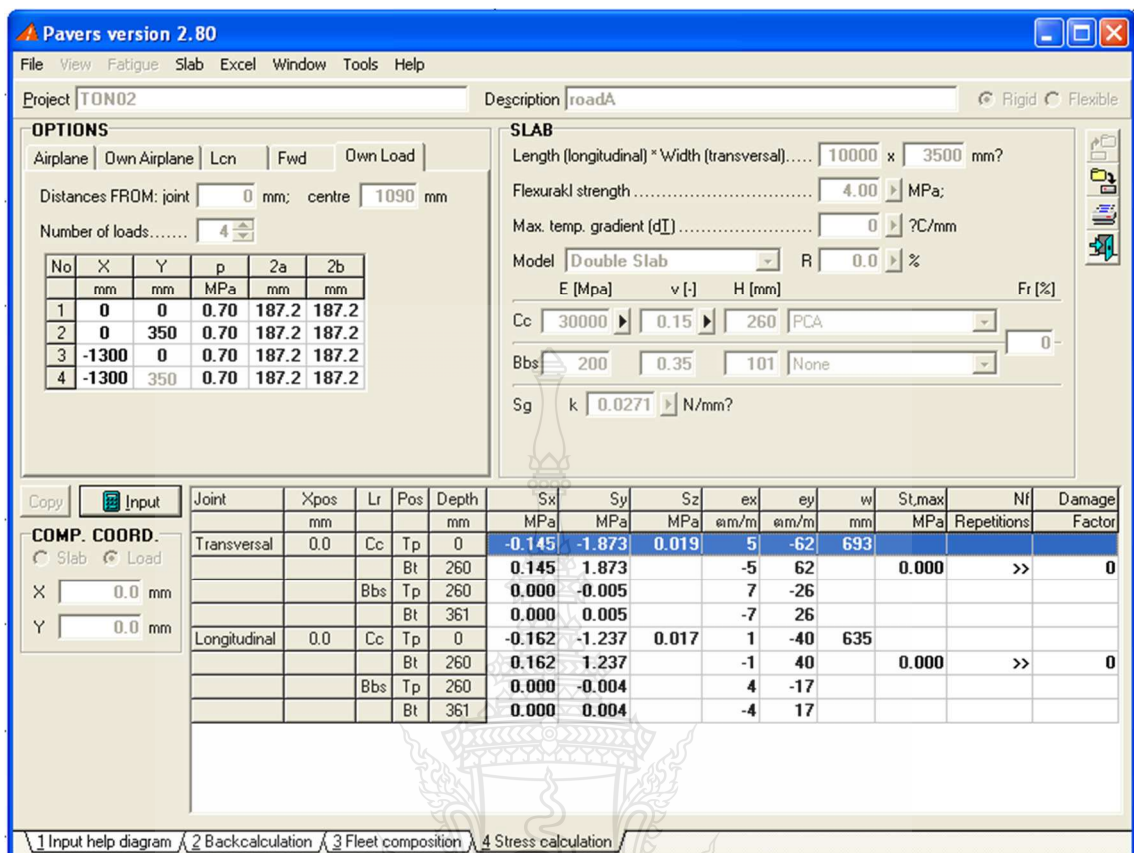
รูปที่ ก.45 ผลการคำนวณหน่วยแรงเห็นของสายทาง SN (LTE ร้อยละ 90.2) ด้วยโปรแกรม PAVERS

(รอบต่อตามข้าง)



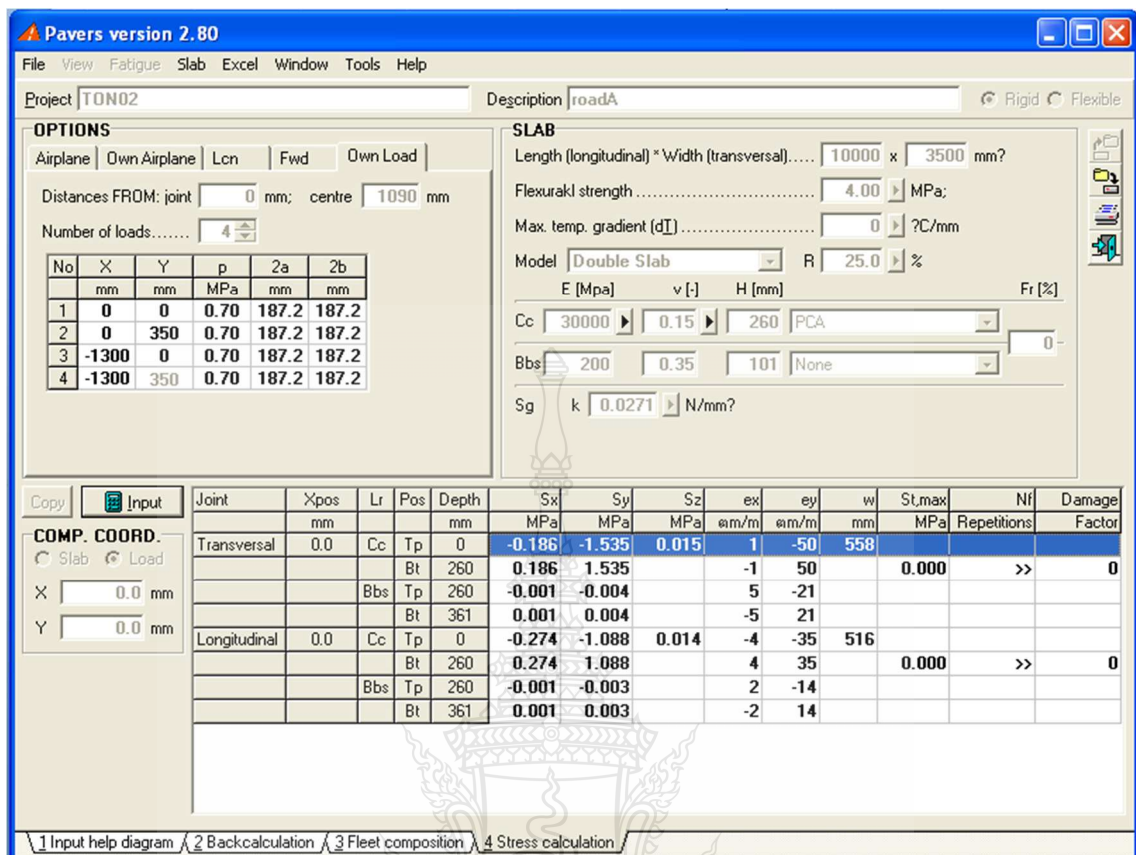
รูปที่ ก.46 ผลการคำนวณหน่วยแรงเห็นของสายทาง SN (LTE ร้อยละ 100) ด้วยโปรแกรม PAVERS

(รอบต่อตามข้าง)



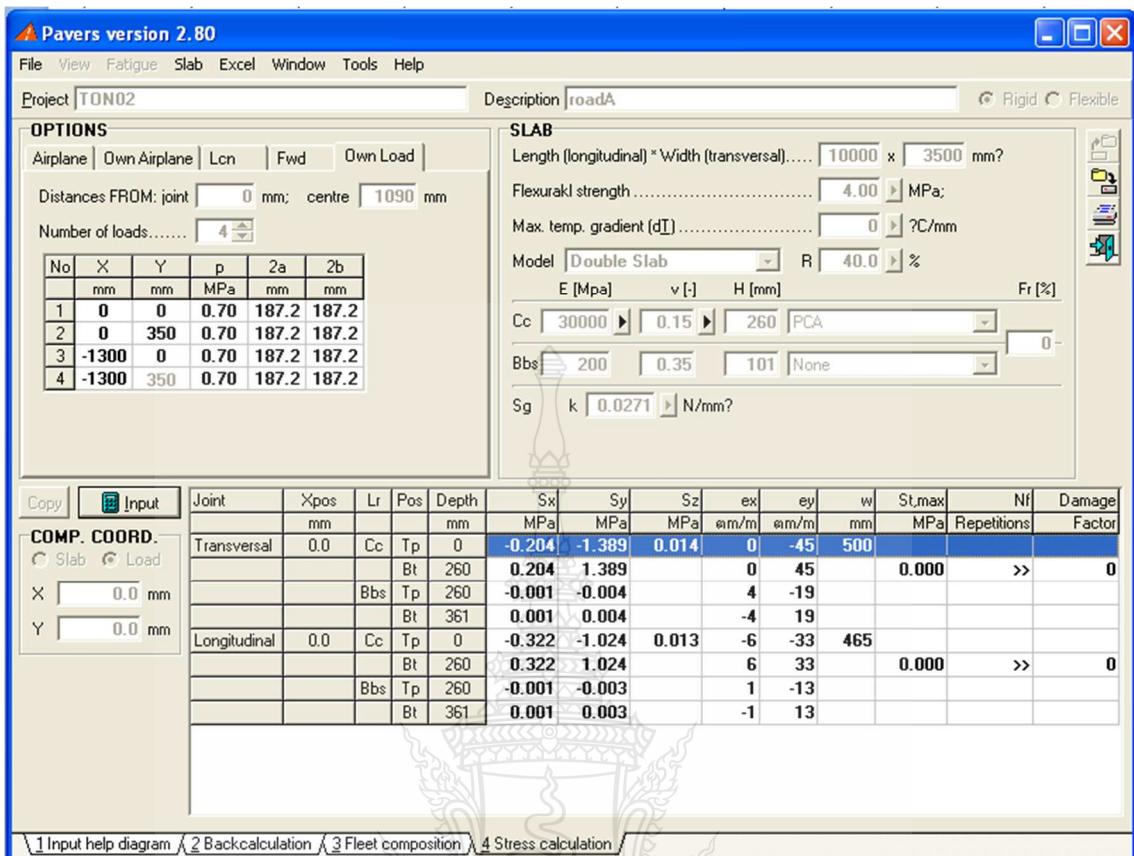
รูปที่ ก.47 ผลการคำนวณหน่วยแรงเห็นของสายทาง PT (LTE ร้อยละ 0) ด้วยโปรแกรม PAVERS

(รอต่อตามยา)



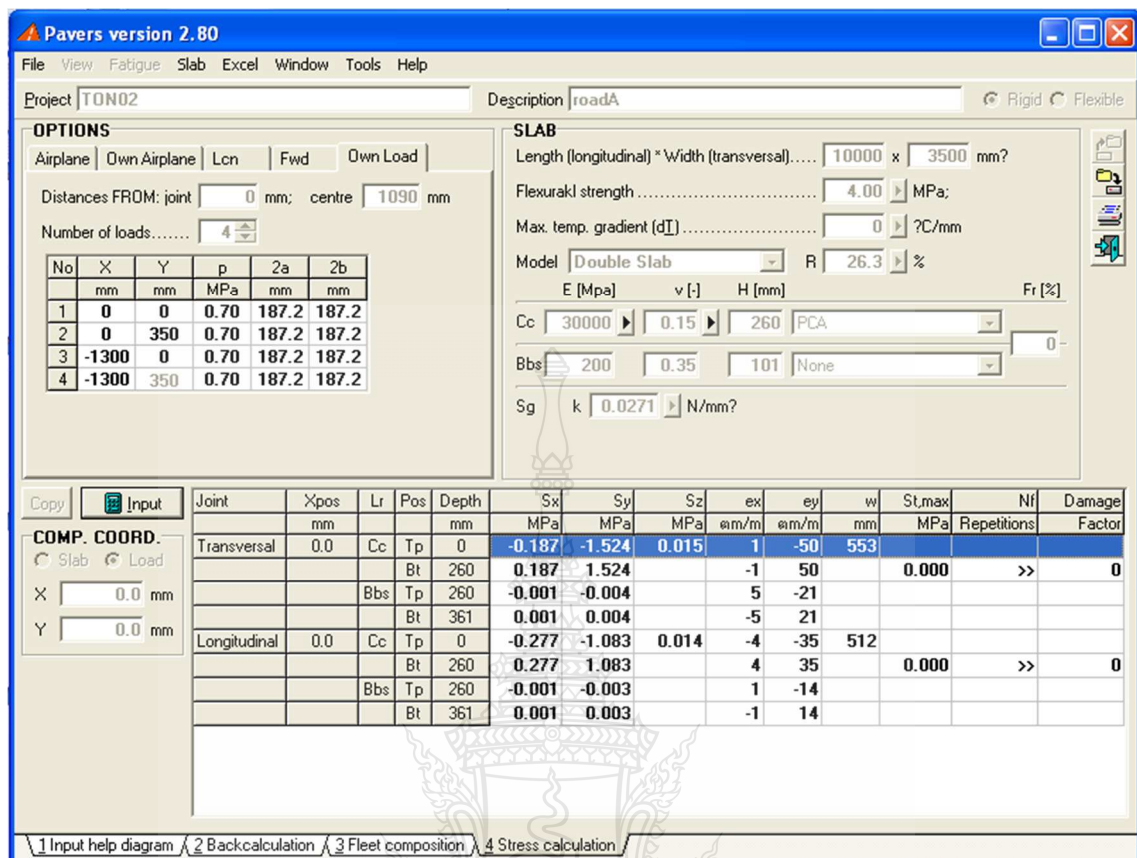
รูปที่ ก.48 ผลการคำนวณหน่วยแรงเห็นของสายทาง PT (LTE ร้อยละ 25) ด้วยโปรแกรม PAVERS

(รอข้อมูลตามมา)

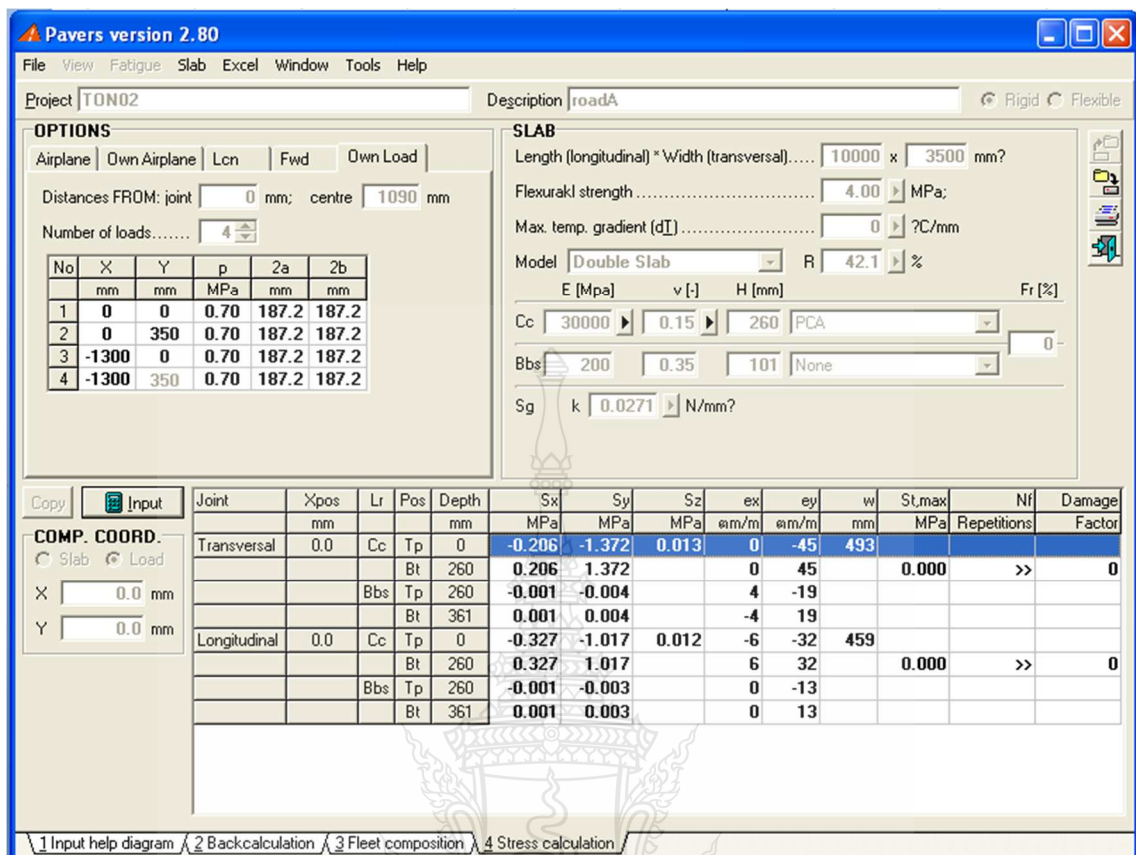


รูปที่ ก.49 ผลการคำนวณหน่วยแรงเห็นของสายทาง PT (LTE ร้อยละ 40) ด้วยโปรแกรม PAVERS

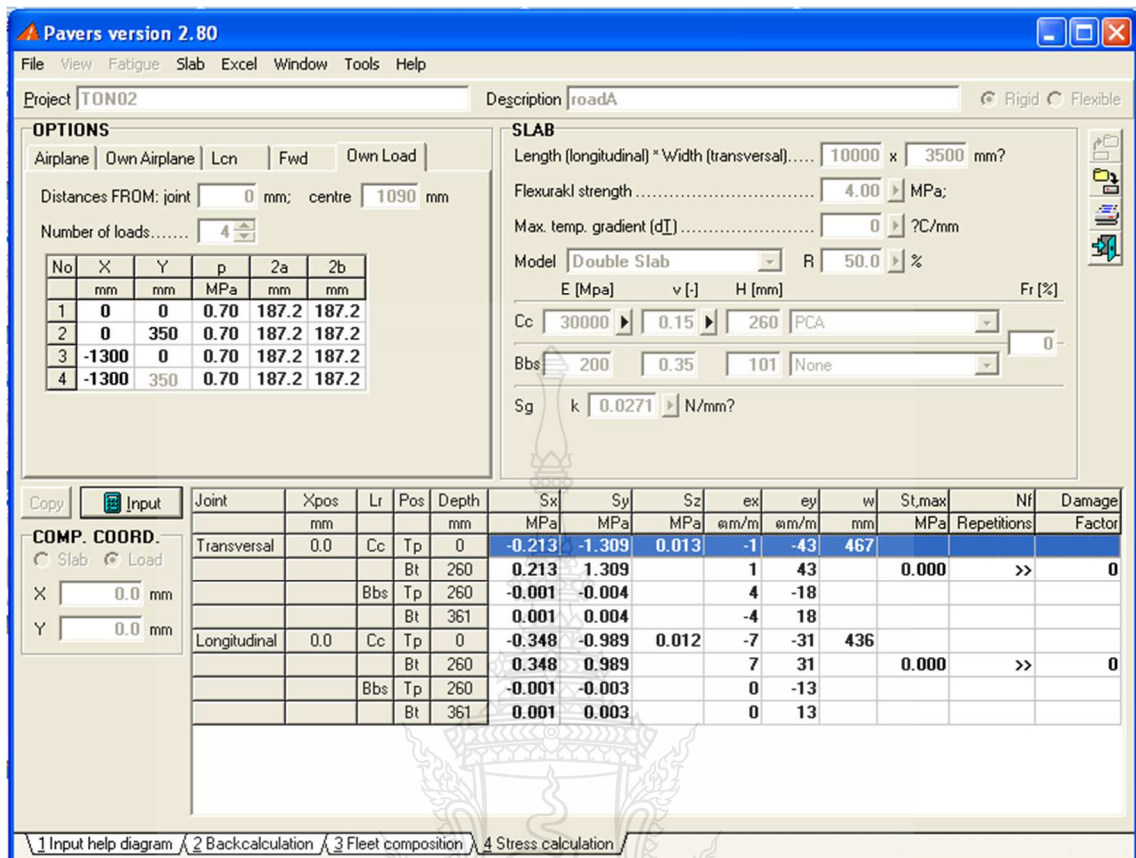
(รอบต่อตามข้าง)



รูปที่ ก.50 ผลการคำนวณหน่วยแรงเห็นของสายทาง PT (LTE ร้อยละ 26.3) ด้วยโปรแกรม PAVERS
(รอต์ตามยา)

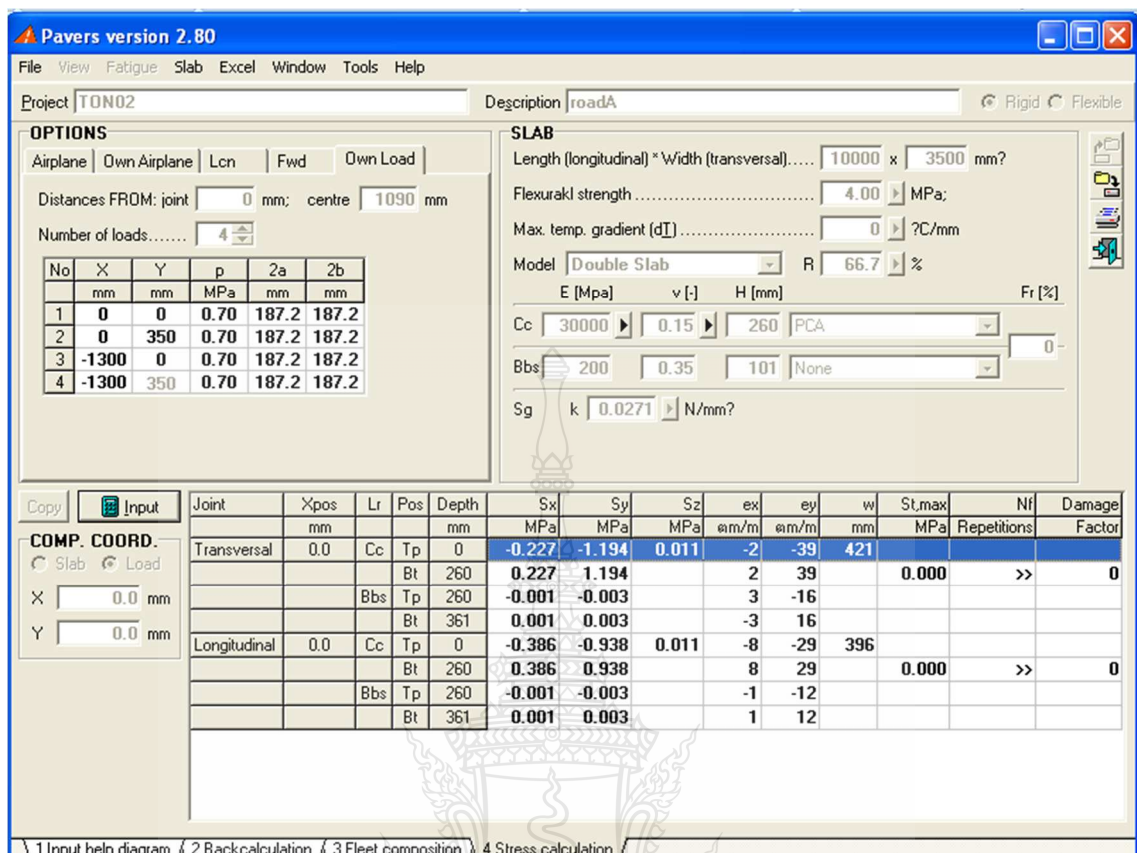


รูปที่ ก.51 ผลการคำนวณหน่วยแรงดันของส้ายทาง PT (LTE ร้อยละ 42.1) ด้วยโปรแกรม PAVERS
(รอตตอตามยา)

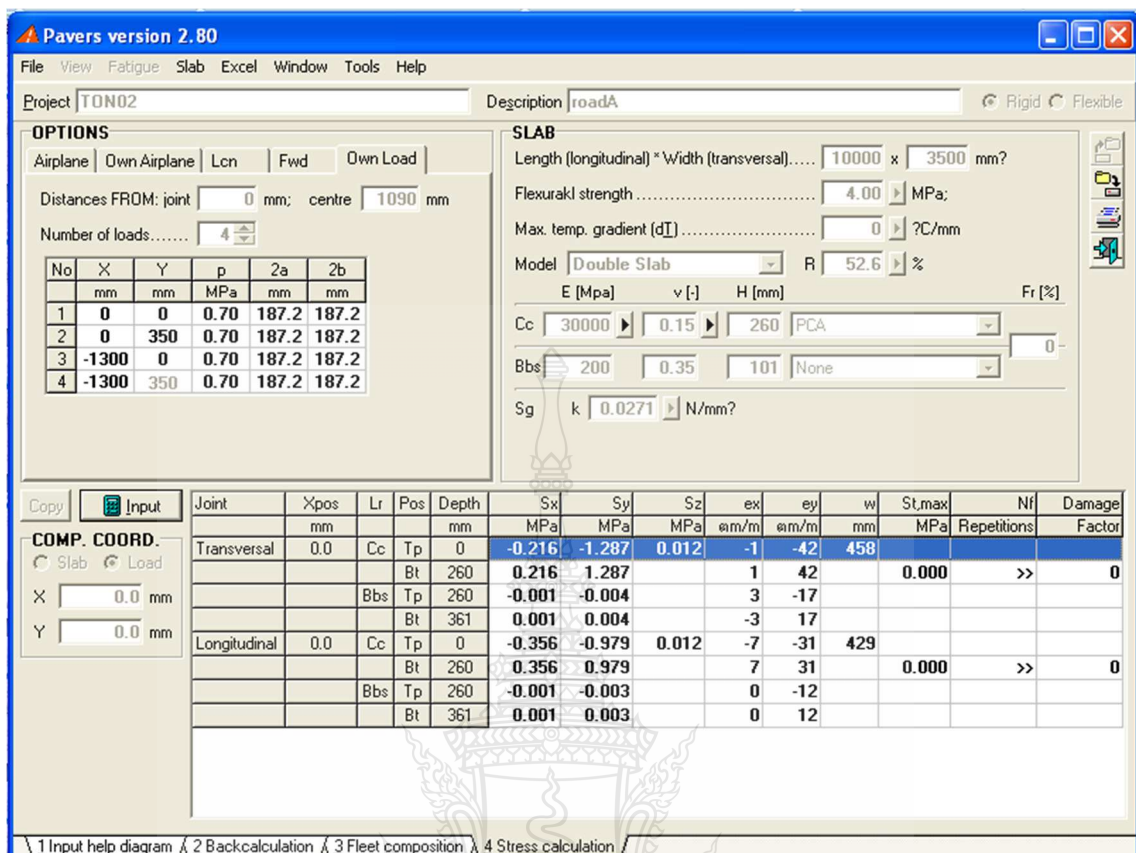


รูปที่ ก.52 ผลการคำนวณหน่วยแรงเห็นของสายทาง PT (LTE ร้อยละ 50) ด้วยโปรแกรม PAVERS

(รอบต่อตามข้าง)

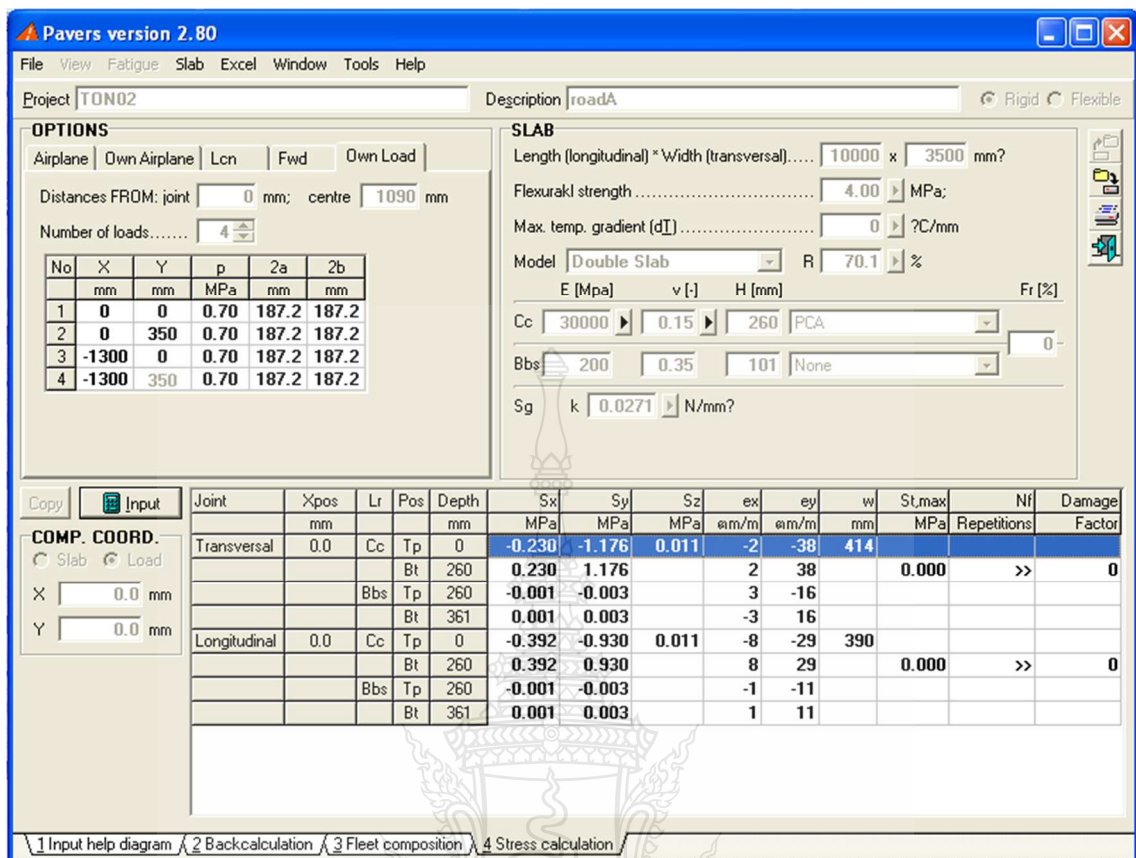


รูปที่ ก.53 ผลการคำนวณหน่วยแรงเห็นของสายทาง PT (LTE ร้อยละ 66.7) ด้วยโปรแกรม PAVERS
(รอตตอตามยา)



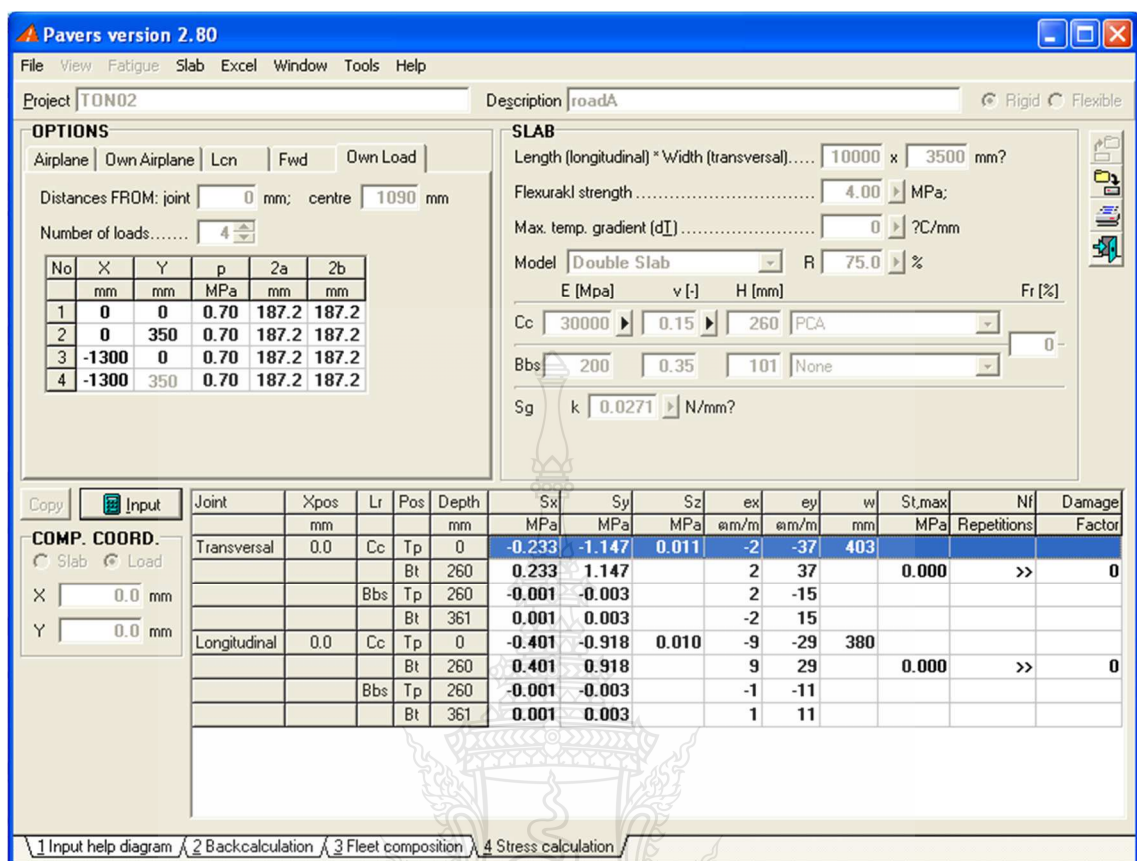
รูปที่ ก.54 ผลการคำนวณหน่วยแรงเห็นของสายทาง PT (LTE ร้อยละ 52.6) ด้วยโปรแกรม PAVERS

(รอข้อต่อตามข้าง)



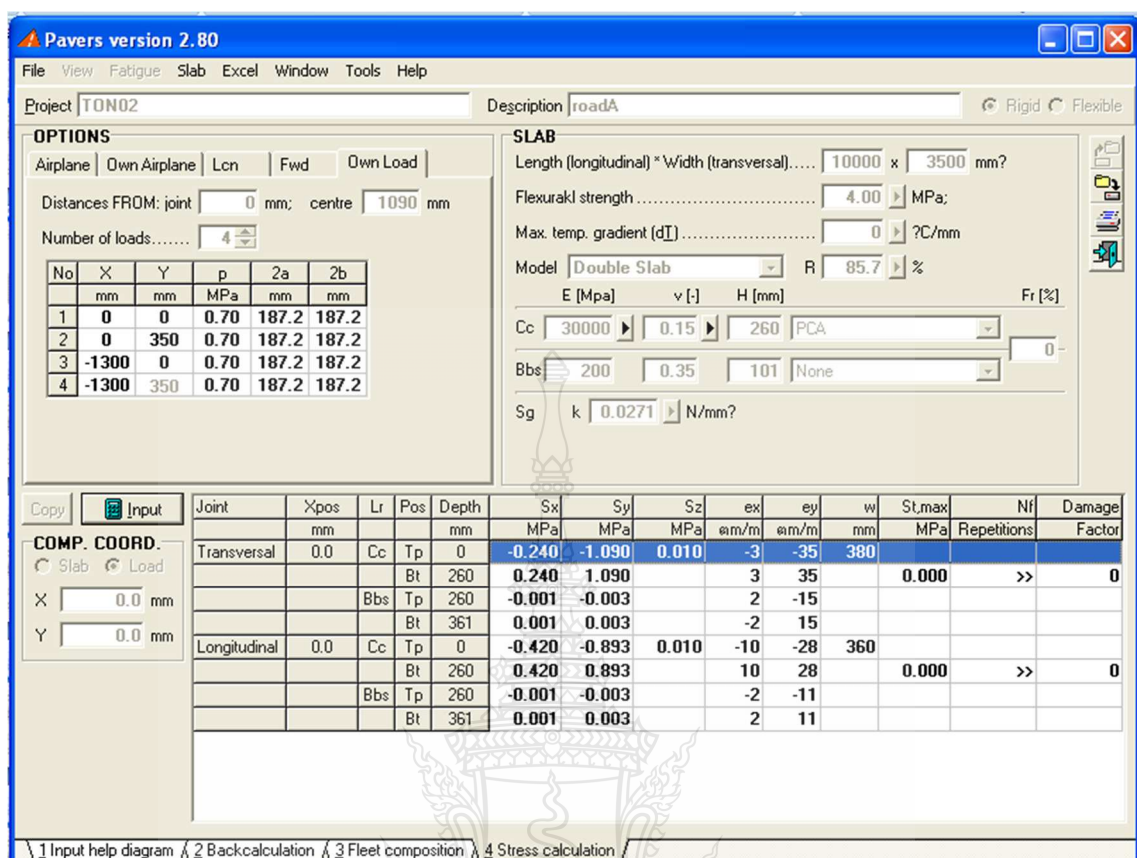
รูปที่ ก.55 ผลการคำนวณหน่วยแรงเห็นของสายทาง PT (LTE ร้อยละ 70.1) ด้วยโปรแกรม PAVERS

(รอบต่อตามข้าง)



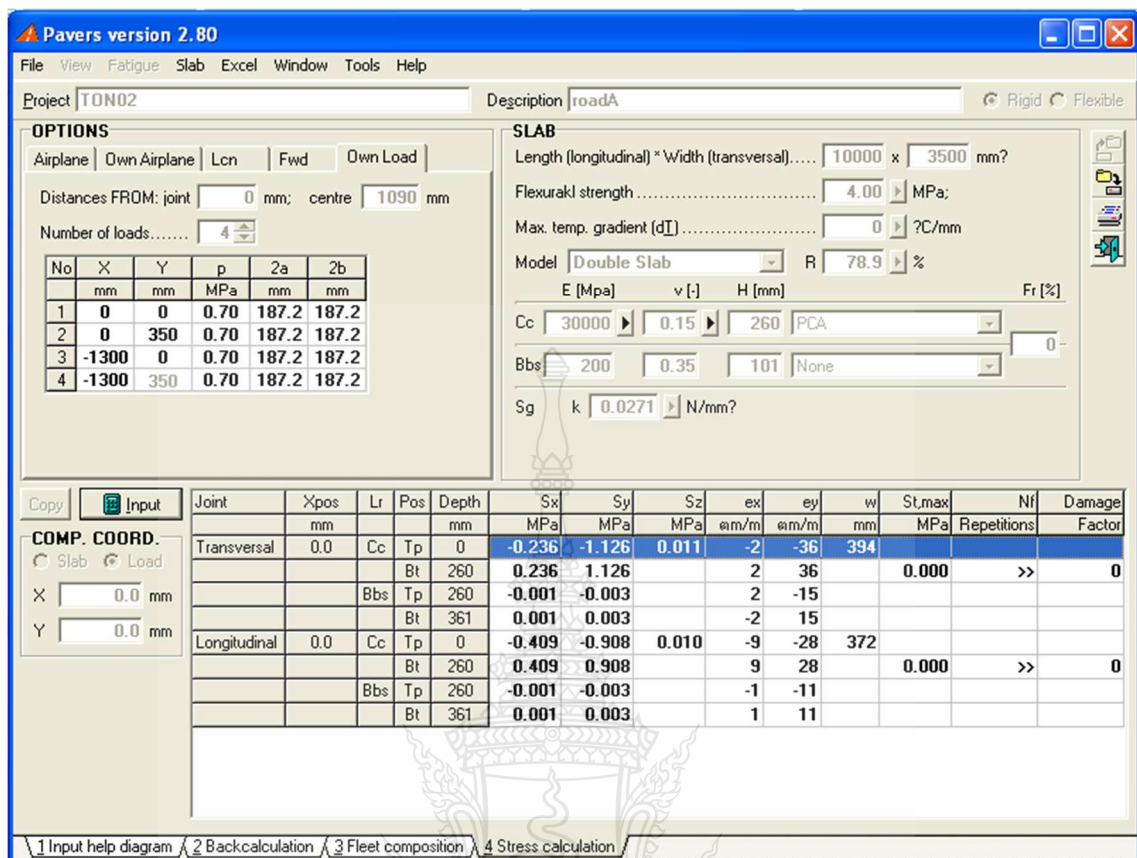
รูปที่ ก.56 ผลการคำนวณหน่วยแรงเห็นของสายทาง PT (LTE ร้อยละ 75) ด้วยโปรแกรม PAVERS

(รอบต่อตามข้าง)



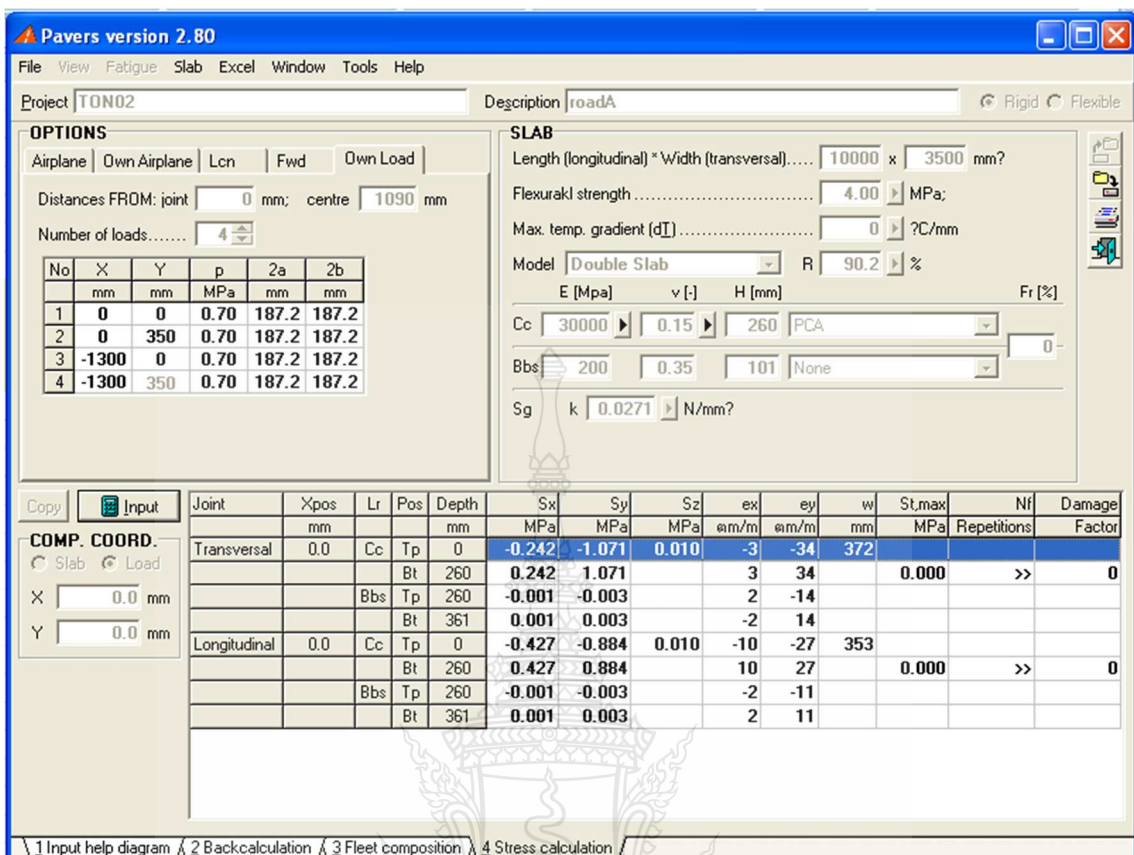
รูปที่ ก.57 ผลการคำนวณหน่วยแรงเห็นของสายทาง PT (LTE ร้อยละ 85.7) ด้วยโปรแกรม PAVERS

(รอบต่อตามข้าง)



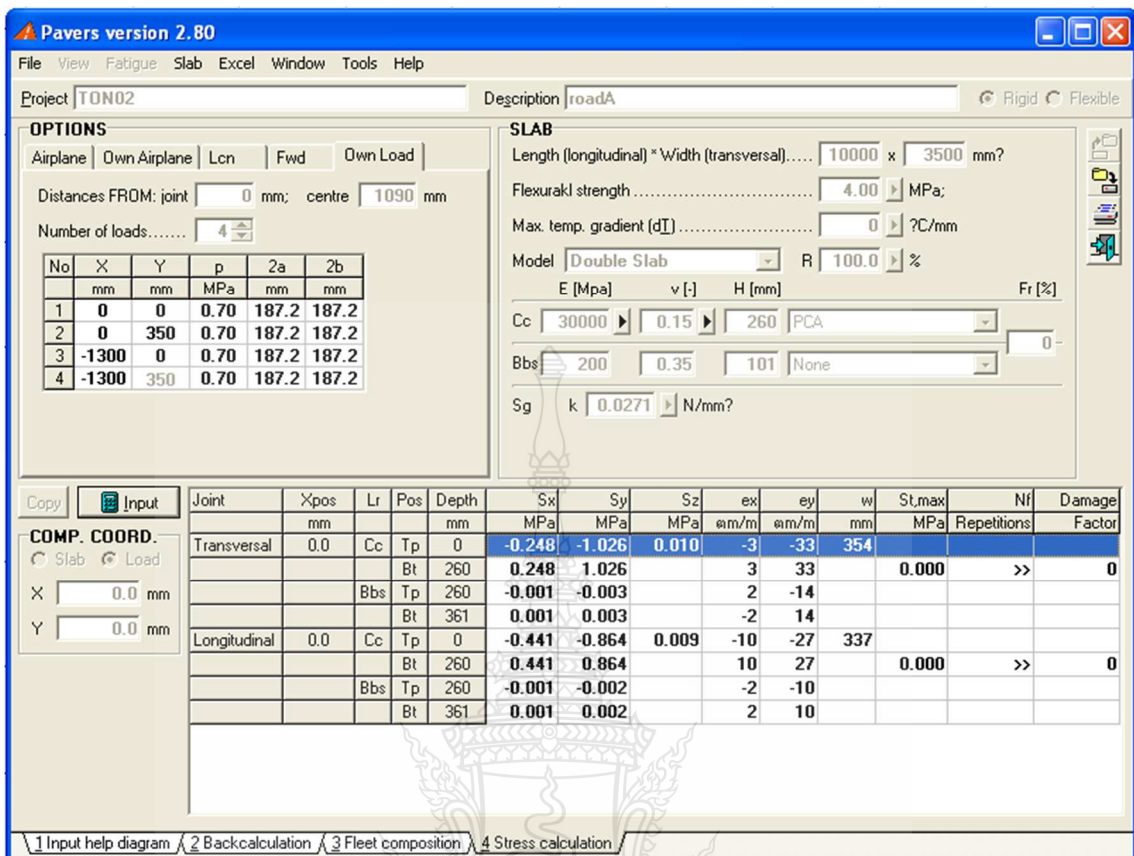
รูปที่ ก.58 ผลการคำนวณหน่วยแรงเห็นของสายทาง PT (LTE ร้อยละ 78.9) ด้วยโปรแกรม PAVERS

(รอxt์ตามยา)



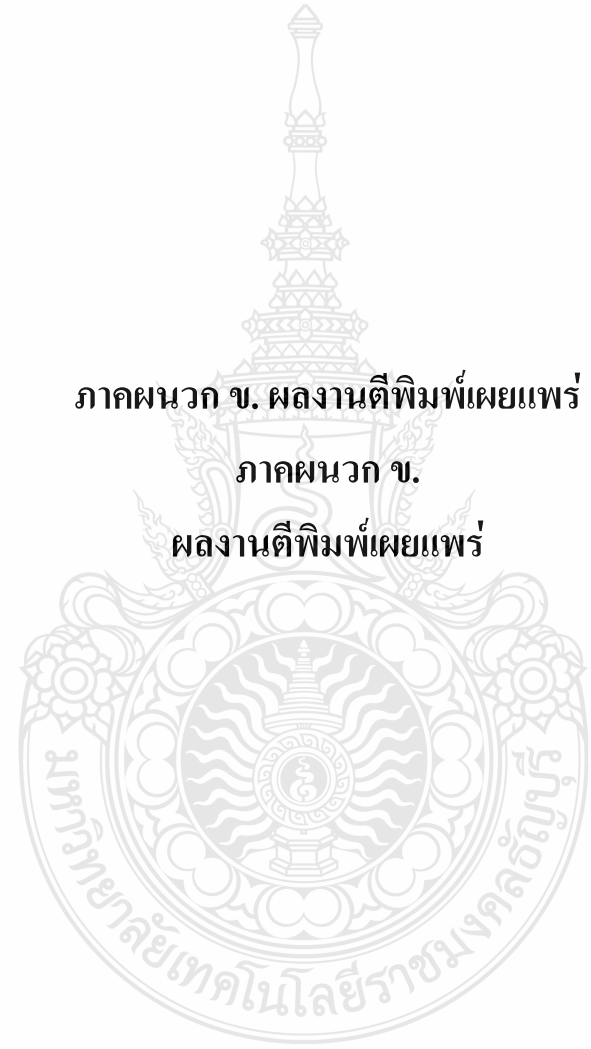
รูปที่ ก.59 ผลการคำนวณหน่วยแรงคืนของสายทาง PT (LTE ร้อยละ 90.2) ด้วยโปรแกรม PAVERS

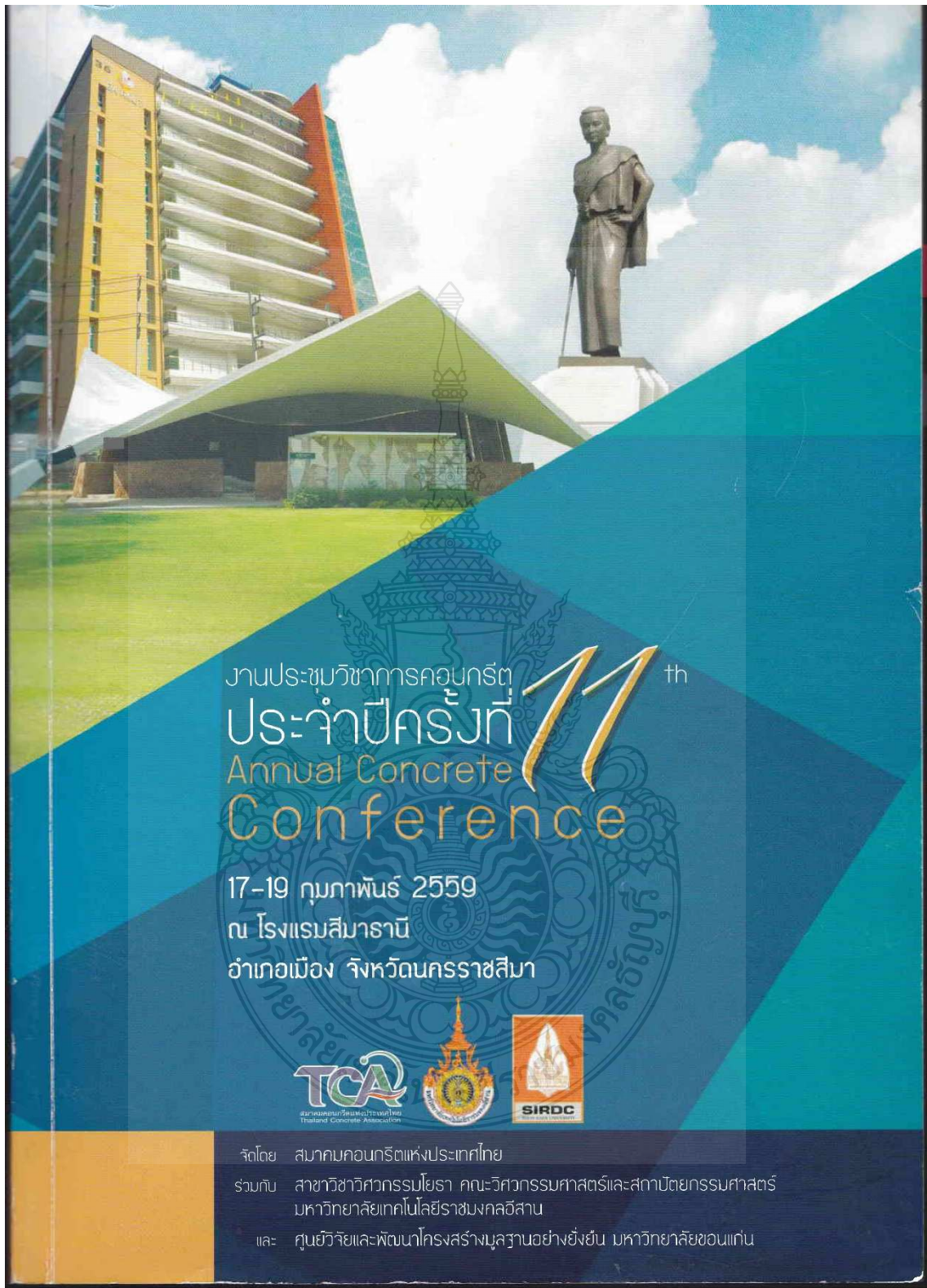
(รอขึ้ต่อตามข้าง)



รูปที่ ก.60 ผลการคำนวณหน่วยแรงเห็นของสายทาง PT (LTE ร้อยละ 100) ด้วยโปรแกรม PAVERS

(รอข้อมูลตามข้าง)





คณะกรรมการผู้พิจารณาทุนความ การประชุมวิชาการคونเกรสประจำปี ครั้งที่ 11 (ต่อ)

ผศ.ดร.วิภาวดีพงษ์	สมมิตรมงคล	มหาวิทยาลัยเทคโนโลยีพระจอมเกล้าธนบุรี
ผศ.ดร.พุทธพล	ทองอินทร์คำ	มหาวิทยาลัยเทคโนโลยีราชมงคลธัญบุรี
ผศ.ดร.ปิติศานต์	กรั่วมาตร	มหาวิทยาลัยเทคโนโลยีราชมงคลธัญบุรี
ผศ.ดร.ประวีณ	ชุมปีดา	มหาวิทยาลัยมหิดล
ผศ.ดร.ปันส์ชัย	เชษฐ์ปิริตศักดิ์	มหาวิทยาลัยเทคโนโลยีราชมงคลอีสาน วิทยาเขตขอนแก่น
ผศ.ดร.ธีรวัฒน์	สินสิริ	มหาวิทยาลัยเทคโนโลยีสุรนารี
ผศ.ดร.นัชวรร्षี	ลีละวัฒน์	มหาวิทยาลัยมหิดล
ผศ.ดร.ทวีชัย	สำราญวนิช	มหาวิทยาลัยบูรพา
ผศ.ดร.ณัฐพงษ์	มกรรัช	มหาวิทยาลัยเทคโนโลยีพระจอมเกล้าพระนครเหนือ
ผศ.ดร.ชูชัย	สุจิรวกุล	มหาวิทยาลัยเทคโนโลยีพระจอมเกล้าธนบุรี
ผศ.ดร.เกรียงศักดิ์	แก้วกุลชัย	มหาวิทยาลัยอุบลราชธานี
ผศ.ดร.กิตติภูมิ	รอดสิน	มหาวิทยาลัยเทคโนโลยีพระจอมเกล้าพระนครเหนือ
นาย.รศ.ดร.ธนกร	พีระพันธุ์	โรงเรียนนายเรืออากาศนวมินทกษัตริยาราช
ดร.อุบลลักษณ์	รัตนศักดิ์	มหาวิทยาลัยบูรพา
ดร.อภิชิต	ค้าภาหัส	มหาวิทยาลัยเทคโนโลยีราชมงคลอีสาน
ดร.สันธยา	ทองอรุณศรี	มหาวิทยาลัยเทคโนโลยีราชมงคลล้านนา(ตาก)
ดร.สกลวรรณ	ทำนงจิตสุวรรณ	มหาวิทยาลัยราชภัฏล้านนา
ดร.วีระศักดิ์	ละเออจันทร์	มหาวิทยาลัยเทคโนโลยีราชมงคลธัญบุรี
ดร.วันโชค	เครื่องหงษ์	มหาวิทยาลัยเทคโนโลยีราชมงคลตะวันออก วิทยาเขตอุเทนถวาย
ดร.วรางคณา	แสงสร้อย	ศูนย์วิจัยเทคโนโลยีการก่อสร้างและบำรุงรักษา (CONTEC)
ดร.รัฐภูมิ	ปริชาตปริชา	มหาวิทยาลัยนเรศวร
ดร.รัฐพล	สมนา	มหาวิทยาลัยเทคโนโลยีราชมงคลอีสาน

คณะกรรมการผู้พิจารณาทบทวน การประชุมวิชาการคونกรีตประจำปี ครั้งที่ 11 (ต่อ)

ดร.ยุวดี	แซ่ดัง	มหาวิทยาลัยเกษตรศาสตร์ วิทยาเขตเฉลิมพระเกียรติจังหวัดสกลนคร
ดร.มงคล	นามลักษณ์	มหาวิทยาลัยเทคโนโลยีราชมงคลเชียงใหม่
ดร.ภาณุวัฒน์	จ้อยกลัด	มหาวิทยาลัยศรีนครินทรวิโรฒ
ดร.วัฒน์	แสนเจริญ	ศูนย์วิจัยเทคโนโลยีการก่อสร้างและบำรุงรักษา (CONTEC)
ดร.พัชรพล	โพธิ์ครี	มหาวิทยาลัยเทคโนโลยีราชมงคลอีสาน วิทยาเขตขอนแก่น
ดร.พงศกร	พวงษ์มุ	มหาวิทยาลัยเทคโนโลยีราชมงคลอีสาน วิทยาเขตขอนแก่น
ดร.ปานเทพ	จุณพิรุวงศ์	ศูนย์วิจัยเทคโนโลยีการก่อสร้างและบำรุงรักษา (CONTEC)
ดร.นันทวัฒน์	ขมหวาน	มหาวิทยาลัยเกษตรศาสตร์
ดร.นันทชัย	ชูศิลป์	มหาวิทยาลัยเทคโนโลยีราชมงคลศรีวิชัย
ดร.ธนากร	ภูเงินคำ	มหาวิทยาลัยเทคโนโลยีราชมงคลอีสาน
ดร.ณัฐวัฒน์	จุฬารัตน์	มหาวิทยาลัยศรีปทุม
ดร.เชิดศักดิ์	สุวิศิริพัฒนพงศ์	มหาวิทยาลัยเทคโนโลยีราชมงคลอีสาน
ดร.เฉลิมชัย	วานิชย์ล้ำเฉลิม	ศูนย์วิจัยเทคโนโลยีการก่อสร้างและบำรุงรักษา (CONTEC)
ดร.เจริญชัย	ฤทธิ์พุทธ	มหาวิทยาลัยเทคโนโลยีราชมงคลอีสาน วิทยาเขตขอนแก่น
ดร.จิระยุทธ	สืบสุข	มหาวิทยาลัยเทคโนโลยีสุรนารี
ดร.จักรพันธุ์	สำรางค์	มหาวิทยาลัยเทคโนโลยีราชมงคลอีสาน
ดร.จตุพล	วงศ์พา	มหาวิทยาลัยมหาสารคาม
ดร.คำกี	ตั้งภาคิต	มหาวิทยาลัยเทคโนโลยีราชมงคลชัย
ดร.เกียรติสุดา	จิตชัยภูมิ	มหาวิทยาลัยเทคโนโลยีราชมงคลอีสาน
	สมนา	มหาวิทยาลัยเทคโนโลยีราชมงคลอีสาน

วันที่ 17 กุมภาพันธ์ 2559

16.40-17.55 น. การนำเสนอบทความวิจัย (ห้อง SIMA 1)

ประธานภาค : ผศ.ดร.ณัฐพงศ์ มกระอัช

รองประธานภาค : ดร.ธนากร ภูเจนขำ

16.40-16.55 น. ENV-002 ไฟฟ้าโซลาร์จากเส้าโลย
ประสิทธิ์ ศรีกิริมย์, คำวี จิตชัยภูมิ

16.55-17.10 น. MAT-031 ผลของการบ่มต่อกำลังของโซลาร์มวลเบา
คำวี จิตชัยภูมิ

17.10-17.25 น. MAT-012 กำลังรับแรงอัดและโมดูลัสยืดหยุ่นของโซลาร์คอนกรีตที่แข็งตัวเร็ว
ธนากร ภูเจนขำ, ดารกร อินทรบุตร, ราชศักดิ์ จิรัมย์, ปรัชญายิ่ง ญาตินิยม, ณัฐพงศ์ ดำรง
วิริยะนุภาพ

17.25-17.40 น. MAT-030 กำลังรับแรงอัดของโซลาร์มวลเบา
สังสรรค์ วงศ์ไชยรัตน์, จักรพันธ์ กานิลักษ์, ณัฐพงศ์ ดำรงวิริยะนุภาพ, ธนากร ภูเจนขำ,
สกลวรรณ ท่านจิตสุวรรณ, บริญญา จินดาประเสริฐ

17.40-17.55 น. MAT-047 Properties of concrete using bottom ash as a partial fine
aggregate replacement material
Pakawat Sancharoen, Auttapon Promsaeng, Noulananh Lathsoulin, Pitisan
Krammart, Sontaya Tongaroonsri, Somniuk Tangtermsirikul

16.40-17.55 น. การนำเสนอบทความวิจัย (ห้อง SIMA 2)

ประธานภาค : ผศ.ดร.ทวีชัย สำราญภานิช

รองประธานภาค : ดร.จักรษา ธรรมรุตติ

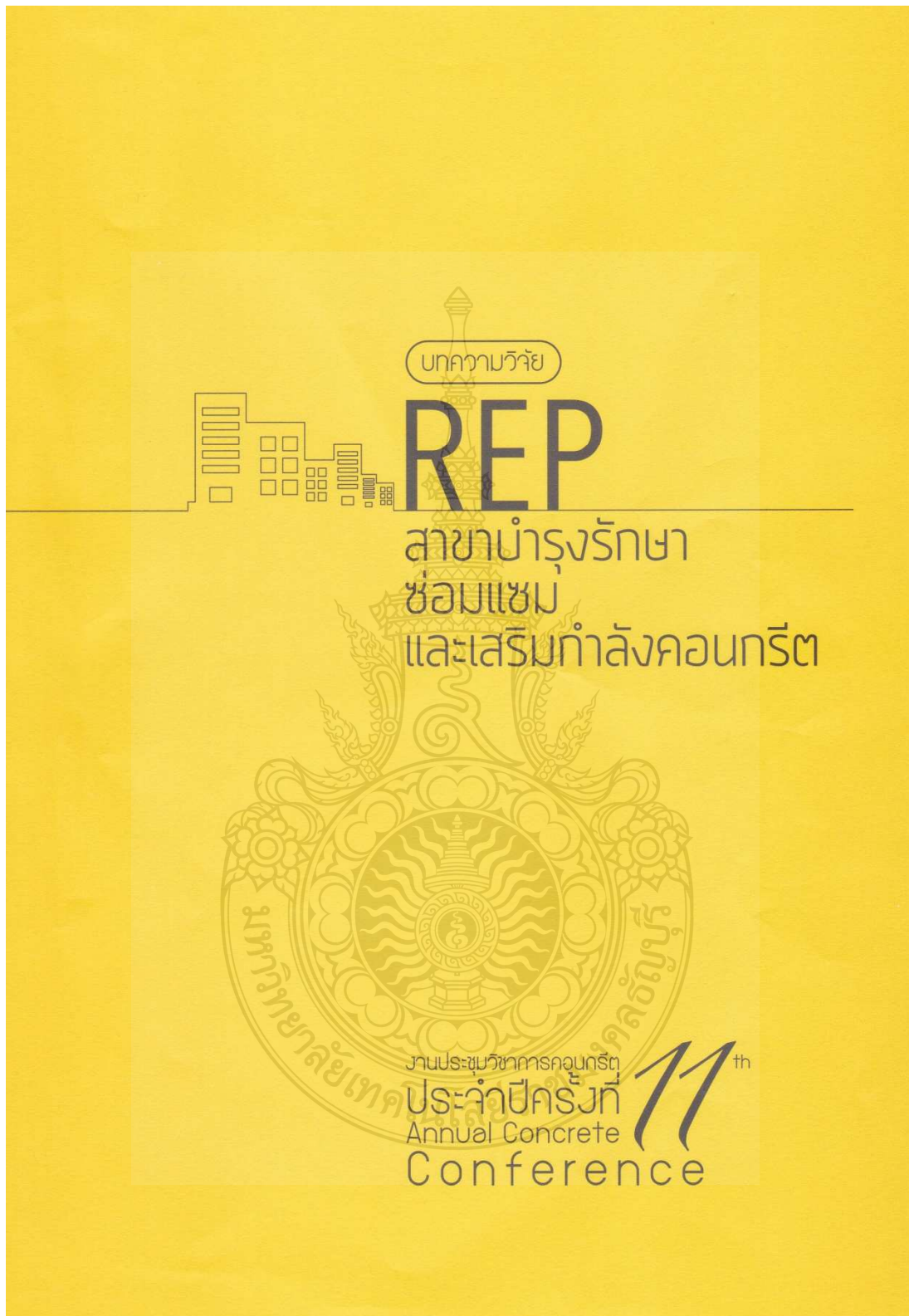
16.40-16.55 น. STR-001 การหาค่าสัมประสิทธิ์โมเมนต์สำหรับพื้นที่ร้านชนิดมีแป้นหัวเสา
พศครุ บุพลับ, อาทิตย์ เพชรคีรี

16.55-17.10 น. STR-003 การศึกษาโดยการทดสอบสอบเสาท่อเหล็กหน้าตัดสี่เหลี่ยมจัตุรัสกรอกคอนกรีต
กำลังสูง
ธนพล สว่างงาม, จักรษา ธรรมรุตติ

17.10-17.25 น. STR-004 การจำลองพุ่ติกรรมการรับแรงอัดในแนวแกนของเสาคอนกรีตที่ถูกโอบรัด
บางส่วนด้วยแบบเมล็ดข้าว
ศิริระพล พินิจการรัตน์กุล, เมธี บุญพิเชฐวงศ์, อันยาดา พรรณเชษฐ์

17.25-17.40 น. STR-005 การทดสอบสอบเสาท่อเหล็กหน้าตัดกลมกรอกคอนกรีตมวลเบาแบบเซลลูล่า
ภายใต้แรงกดอัดในแนวแกน
ลิทธิศักดิ์ หัวรักกลาง, จักรษา ธรรมรุตติ

17.40-17.55 น. STR-006 การวิเคราะห์หน่วยแรงเห็นจากความลาดชันอุณหภูมิในถนนประเภท JRCP
ในประเทศไทยด้วยวิธี Eisenmann
กฤษฎี เมืองนรท., พุทธพล ทองอินทร์



ผลกระบวนการจำลองประสิทธิภาพการถ่ายน้ำหนักต่อการวิเคราะห์หน่วยแรงเค้นในผิวทางคอนกรีต

Effect of the Load Transfer Efficiency Models on the Stresses Analysis in Concrete Pavement

วรรูณี สุวรรณมงคล (Worawoot Suwanmpngkon)¹

พุทธพล ทองอินทร์คำ (Puttapon Thongindam)²

¹ นักศึกษาปริญญาโทภาควิชาครุกรรมโดยชากลุ่มวิศวกรรมศาสตร์ มหาวิทยาลัยเทคโนโลยีราชมงคลคุณย์

suwanmongkon.w@gmail.com

พิชัยศรัณย์ ภาคิณวิชัยกรรบ โยธา อดีตวิศวกรนักสำรวจ นักวิทยาลักษณ์ โน้มือเข้ามายื่นตัวเข้า

puttanon.t@engr.mut.ac.th

บทคัดย่อ: งานวิจัยนี้ศึกษาผลกระแทบทะองแบบจำลองประสมที่วิภากรการถ่านหันก (LTE) ที่แตกต่างกันของแต่ละหน่วยงานในระดับสากล อ即 AASHTO, FHWA, ACPA, FAA และ Dynatest ต่อการวิเคราะห์หน่วยแรงเหินคดในผิวทางคอนกรีต ทำร่างเปลี่ยนแบบจำลอง LTE ออกเป็น 4 กลุ่มหลักๆ ตามนี้ ห้องปฏิบัติการที่ต้องการทดสอบต้อง 25 ตันกระทำที่เรื่องต่อๆ กัน คอนกรีตที่ก่อสร้างจริงในประเทศไทย นำเข้าความหนาชั้นทางของอ่อนนุken คือจากการเจาะสำรวจด้วยเครื่องมือ Bore Scope วิเคราะห์หน่วยแรงเหินคดที่ร้อยต่อตัวเลขของแผ่นพื้นที่รับน้ำหนักร่วมกับแบบจำลอง LTE ด้วยโปรแกรมคอมพิวเตอร์ PAVERS ซึ่งพัฒนาขึ้นตามหลักการที่ผู้พัฒนาของสถาบันวิศวกรรมศาสตร์รักษ์คุณภาพเพื่อวิเคราะห์แบบจำลอง LTE กลุ่มที่ 1 ซึ่งใช้อัตราส่วนการแย่งตัวระหว่างแผ่นพื้นที่ไม่ได้รับน้ำหนักต่อแผ่นพื้นที่รับน้ำหนัก คำนวณค่าหน่วยแรงเหินคดได้มากที่สุด ขณะที่แบบจำลอง LTE กลุ่มที่ 3 และ 4 ซึ่งนำผลทดสอบการแย่งตัวที่กล่องแพ่นมาปรับแก้เพื่อลดต่อการวิเคราะห์หน่วยแรงเหินคดอย่างมีสำคัญ นอกจากนี้ผลกระแทบทะองแบบจำลอง LTE ทุกกลุ่มต่อการคำนวณหน่วยแรงเหินคดจะมีค่ามากขึ้นเมื่อชั้นทางคอนกรีตมีความหนาขึ้น

คำสำคัญ: ผู้ทางแบบแกร่ง, ประสิทธิภาพการถ่ายน้ำหนัก, แรงกีบคด

ABSTRACT: This paper investigates the effect of several international standards of the Load Transfer Efficiency (LTE) model such as AASHTO, FHWA, ACPA, FAA and Dynatest, on the flexural stress analysis in rigid pavement. The LTE models are divided into 4 types. A jointed concrete pavement loaded by a Thai 10-wheel-truck (25 tons) was simulated. The thickness values of in-service concrete roads was determined by Bore scope equipment. The flexural stress at a transverse joint of the loaded slab with different LTE models were analyzed using computer program PAVERS, which is based on Westergaard's theory. The results show that the highest flexural stress is obtained from LTE model type 1 which is calculated by the deflection ratio between unloaded to loaded slabs. It has been found that the type 3 and 4, which was corrected by mid slab deflection testing, could have a significant effect on the flexural stress analysis. Furthermore, the impact of all LTE models on the flexural stress is inversely proportional to the thickness of the concrete slab.

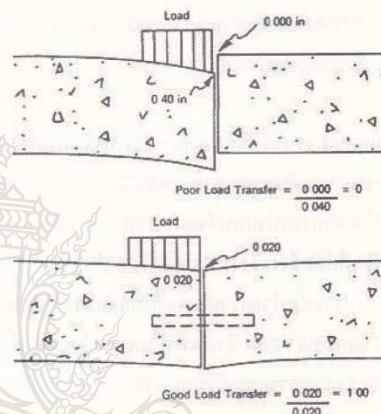
KEYWORDS: rigid pavement, Load Transfer Efficiency, flexural stress

1.บทนำ

ถนนคอนกรีตหรือผิวทางคอนกรีต(Portland Cement Concrete pavement, PCC pavement) เป็นโถงสร้างทางที่มีความแกร่งสูงมักถูกออกแบบให้รองรับน้ำหนักบรรทุกได้มากและมีอายุการใช้งานที่ยาวนาน โดยทั่วไปประเทศไทยจะออกแบบให้ผิวทางคอนกรีตมีรอยต่อเพื่อลดหน่วยแรงและความเสียหายอันเนื่องจากการเบลี่ยนแปลงของอุณหภูมิอย่างไว้ก็ตามจากความไม่ต่อเนื่องทำให้รอยต่อเหล่านี้เป็นจุดอ่อนและเป็นตำแหน่งที่เกิดความเสียหายมากที่สุด [1, 2] เช่น รอยร้าว (cracking) รอยแตก (breaking) การเกิดโพรงใต้แผ่นพื้น (void) รวมไปถึงความเสียหายที่ม่องไม้มีเหินด้วยเวลาปล่อยตัวเช่น การสูญเสียประสิทธิภาพการถ่ายน้ำหนักที่รอยต่อ (Load Transfer Efficiency, LTE) ซึ่งอาจส่งผลให้เกิดความเสียหายต่อเนื่องจนกระทั่งทำให้ผิวทางคอนกรีตมีอายุการใช้งานที่สั้นลง ดังนั้นการทดสอบ LTE จึงเป็นหนึ่งในหัวข้อสำคัญในการประเมินความแข็งแรงของผิวทางคอนกรีต[1] รวมกับการตรวจสอบกำลังรับน้ำหนัก (capacity) และการตรวจสอบโพรงใต้แผ่นพื้น (void detection)

ในปัจจุบันมีหลักหน่วยงานด้านงานถนนและอาชีวศึกษาในระดับสากล อาทิ American Association of State Highway Officials (AASHTO), Federal Highway Administration (FHWA), American Concrete Pavement Association (ACPA), Federal Aviation Administration (FAA) และ Dynatest เป็นต้น ได้จัดตั้งข้อกำหนด ข้อแนะนำ การทดสอบและแบบจำลองในการวิเคราะห์ LTE เพื่อใช้ในการประเมินความความแข็งแรงของผิวทางคอนกรีต ซึ่งแต่ละหน่วยงานดังกล่าวต่างก็มีรายละเอียดของ LTE ที่แตกต่างกันซึ่งอาจส่งผลให้การวิเคราะห์หน่วยแรงเด็นหรือการนำໄไปประยุกต์ใช้ต่อเนื่องถึงการประเมินความแข็งแรงอย่างไร้การใช้งานที่เหลืออยู่มีความแตกต่างกันไปด้วยดังนั้นงานวิจัยนี้จึง

มุ่งเน้นที่การศึกษา วิเคราะห์ผลกระทบของหน่วยแรง เก็บคัด (flexural stress) ที่อาจเกิดขึ้นในผิวทางคอนกรีต จากแต่ละแบบจำลอง LTE โดยจำลองน้ำหนักกระสอบล้อ 25 ตัน กระทำที่ร่องต่อของถนนคอนกรีตที่ก่อสร้างจริง ในประเทศไทยผลการศึกษาที่ได้จะเป็นข้อมูลสำหรับการเลือกใช้งานแบบจำลอง LTE ให้มีความเหมาะสม และมีประสิทธิภาพมากยิ่งขึ้น



รูปที่ 1 ประสิทธิภาพการถ่ายน้ำหนักที่ไม่ดีและดี [3]

2.กฤษฎีและงานวิจัยที่เกี่ยวข้อง

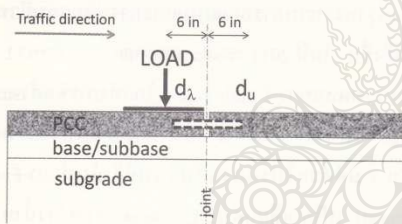
2.1 ประสิทธิภาพการถ่ายน้ำหนัก (LTE)

สำหรับรอยต่อของผิวทางคอนกรีตที่ต้องออกแบบให้มีกลไกในการถ่ายน้ำหนักระหว่างแผ่นคอนกรีต เช่น ใช้อุปกรณ์ทางกลอยต่ำงเหล็กเดล้อ (dowel) การขัดเหลี่ยมประสานของวัสดุมวลรวม(interlocking) และการถ่ายน้ำหนักผ่านฐานรองรับที่เป็นพื้นทางเสริมความแข็งแรง [1] โดยหลักการแล้วหากรอยต่อไม่ LTE ที่ดี จะส่งผลให้หน่วยแรงเก็บและการแอลล์ตัว (deflection) ที่เกิดขึ้นในแผ่นคอนกรีตคล่องเมื่อมีน้ำหนักกระทำที่รอยต่อ ค่าการแอลล์ตัวของสองแผ่นที่อยู่ติดกันจะรวมมีค่าการแอลล์ตัวที่เท่ากันหรือใกล้เคียงกันไปด้วยในทางกลับกันหากแผ่นมี LTE ที่ไม่ดี แผ่นที่ถูกน้ำหนักกระทำ (loaded slab) จะมีค่าการแอลล์ตัวมากกว่าแผ่นพื้นที่ไม่ได้รับน้ำหนักกระทำ

(unloaded slab) [3] ดังแสดงในรูปที่ 1 ซึ่งในการทดสอบ LTE นิยมใช้เครื่องมือทดสอบแบบไม่ทำลาย (Non-Destructive Testing, NDT) ที่สามารถจำลองน้ำหนักของขานพาหนะและวัดค่าการแอลล์ตัวได้ เช่น เครื่องมือ Falling Weight Deflectometer (FWD)[3, 4]

2.2 แบบจำลองการวิเคราะห์ LTE

จากการทดสอบด้วยเครื่องมือ NDT ดังรูปที่ 2 นำค่าการแอลล์ตัวที่ได้มาใช้ในการวิเคราะห์ LTE ซึ่งมีแบบจำลอง LTE 2 รูปแบบที่นิยมใช้มากที่สุด [5] รูปแบบที่ 1 ใช้อัตราส่วนระหว่างแผ่นที่ไม่ได้รับน้ำหนักต่อแผ่นที่ได้รับน้ำหนักแสดงดังสมการที่ (1) และรูปแบบที่ 2 ใช้อัตราส่วนของแผ่นที่ไม่ได้รับน้ำหนักต่อค่าเฉลี่ยการแอลล์ตัวระหว่างรอบต่อทั้งสองแผ่นซึ่งรูป 2 รูปแบบมีความสัมพันธ์แสดงดังสมการที่ (2) [5]

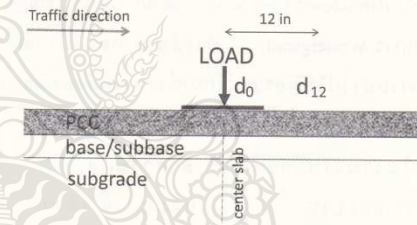


รูปที่ 2 การทดสอบ LTE ที่รอยต่อแผ่น

แต่ละหน่วยงานด้านงานผิวทางในระดับสากลต่างเลือกใช้แบบจำลองในการวิเคราะห์ LTE ตามความเหมาะสม หน่วยงานด้านถนน AASHTO และหน่วยงานด้านผิวทางอากรศาน FAA เลือกใช้ LTE₁[3], [4] ในการประเมินความแข็งแรงของโครงสร้างผิวทางคอนกรีต ทั้งนี้หน่วยงานด้านถนนเช่นเดียวกันอย่าง FHWA และหน่วยงานเฉพาะทางด้านผิวทางคอนกรีต ACPA ให้เลือกใช้ LTE ได้ทั้ง 2 แบบจำลอง[5], [6]

การวิเคราะห์ค่า LTE เพื่อใช้ในการซ่อมแซมถนนคอนกรีตของ AASHTO แนะนำให้ใช้แบบจำลอง LTE₃ ซึ่งต้องนำผลทดสอบการแอลล์ตัวที่กล่องแผ่นดังรูปที่ 3

นวิเคราะห์รวมด้วย [3] ทั้งนี้แผ่นคอนกรีตที่มีรัศมีความกว้างสัมพัทธ์ (radius of relative stiffness, I) แสดงดังสมการที่ (10) สูงจะด้านทานการดักได้ มีการแอลล์ตัวน้อย และมีค่าปรับแก้น้อยกว่าแผ่นคอนกรีตที่มีค่า I ต่ำ [5] ยังมีอีกหลายปัจจัยที่ทำให้แผ่นคอนกรีตเกิดการดัก และส่งผลกระทบต่อการวิเคราะห์ LTE เช่น ความโถงหรือโถงอ่อนเนื่องมาจากอุณหภูมิและความชื้นและค่าความคาดเคลื่อนของความหนาแน่นทาง เป็นต้นจากพฤติกรรมดังกล่าว Dynatest หน่วยงานเอกชนด้านงานทางซึ่งเป็นผู้พัฒนา สำหรับเครื่องมือ และแนะนำหลักการทดสอบผิวทาง [7] ใช้แนะนำให้ใช้แบบจำลอง LTE₃ และ LTE₄ ซึ่งต้องนำการทดสอบที่คล่องแอลล์ตัวร่วมในการประเมินความแข็งแรงของผิวทางคอนกรีต [8]



รูปที่ 3 การทดสอบการแอลล์ตัวที่กล่องแผ่น

$$LTE_1 = 100 \times \left(\frac{d_u}{d_l} \right) \quad (1)$$

$$LTE_2 = 100 \times \left[\frac{2d_u}{d_u + d_l} \right] = 200 \times \left[1 - \frac{1}{1 + \left(\frac{LTE_1}{100} \right)} \right] \quad (2)$$

$$LTE_3 = 100 \times \left(\frac{d_u}{d_l} \right) \times B \quad (3)$$

$$LTE_4 = 100 \times \left[\frac{2d_u}{d_u + d_l} \right] \times B \quad (4)$$

$$B = \left(\frac{d_0}{d_{12}} \right) \quad (5)$$

LTE = ประสิทธิภาพการถ่ายน้ำหนัก (%)

d_u = การแอลล์ตัวของแผ่นที่ไม่ได้รับน้ำหนัก

d_l = การแย่นด้วยของแผ่นที่รับน้ำหนัก

B = ค่าปรับแก้การดัดของแผ่นพื้น

d_0 = การแย่นด้วยที่ถูกทางแผ่น

d_{12} = การแย่นด้วยตัวจากกลางแผ่น 12 นิ้ว

2.3 หน่วยแรงเห็นด้วยต่อรอยต่อแผ่นคอนกรีต

ในปี 1923 Westergaard ได้นำเสนอการวิเคราะห์ปัญหาดังกล่าว ซึ่งสมการนี้แม้จะยังไม่สมบูรณ์แต่ก็ถูกยกให้เป็นสมการพื้นฐานของวิเคราะห์พิวิทยาทางคอนกรีต และมีนักวิจัยหลายท่านพัฒนาสมการนี้ให้มีความแม่นยำมากขึ้นตั้งแต่ต่อติดเรื่อยมาจนถึงปัจจุบัน[9], [10] Van Cauwelaert [11] กำหนดให้รอยต่อถ่ายแรงด้วยแรงเดือนเท่านั้นเพื่อให้จ่ายต่อการวิเคราะห์ร่วมกับหลักการของ Westergaard แสดงดังสมการที่ (6) – (10) หากดัดบนของหน่วยแรงเห็นด้วยร่วมกับ LTE ด้วยผลเฉลยรูปแบบปิด (closed form solution) ด้วยความเรียบง่ายของหลักการ Westergaard ทำให้หากดัดบนได้รัวคู่เริ่วสามารถนำไปใช้วิเคราะห์โครงสร้างทางที่มีจุดทดสอบบริบามมาก ได้ดังนี้

ในงานงานวิจัยนี้จึงศึกษาความแตกต่างของแบบจำลอง LTE ทั้ง 4 แบบดังกล่าวข้างต้นต่อและอิทธิพลที่มีต่อหน่วยแรงเห็นด้วยที่เกิดขึ้นที่รอยต่อพิวิทยาคอนกรีต

$$\sigma_f = \sigma_u + \sigma_l \quad (6)$$

$$\sigma_f = \frac{3(1+\mu)P}{\pi(3+\mu)h^2} \left[\ln\left(\frac{Eh^3}{100ka^4}\right) + 3.84 - \frac{4\mu}{3} \right] \quad (7)$$

$$\sigma_l = \frac{1}{1+LTE} \cdot \frac{3(1+\mu)P}{\pi(3+\mu)h^2} \left[\ln\left(\frac{Eh^3}{100ka^4}\right) + 3.84 - \frac{4\mu}{3} \right] \quad (8)$$

$$\gamma = \frac{2LTE}{1+LTE} \quad (9)$$

$$l = \left[\frac{Eh^3}{12(1-\mu)k} \right]^{\frac{1}{4}} \quad (10)$$

l = ค่ารัศมีความแปรร่วงลัมพัทธ์ (in)

E = อัตราสติกโมดูลัสคอนกรีต (psi)

h = ความหนาขั้นทางคอนกรีต (in)

k = โมดูลัสปฏิกิริยาของดิน (pci)

μ = อัตราส่วนปัวของคอนกรีต

σ_f = หน่วยแรงเห็นด้วยที่ขอบแผ่นปลายอิสระ

σ_u = หน่วยแรงเห็นด้วยที่รอยต่อผิวไม่ได้รับน้ำหนัก

σ_l = หน่วยแรงเห็นด้วยที่รอยต่อผิวรับน้ำหนัก

γ = transferred shear factor

2.4 งานวิจัยที่เกี่ยวข้อง

ปี 2003 Khazanovich และ Gotlib [5] ศึกษา LTE ในโปรแกรม Long-Term Pavement Performance (LTPP) ทดสอบด้วยเครื่องมือ FWD วิเคราะห์ผลทดสอบด้วยแบบจำลอง LTE₁ และ LTE₂ พบว่า LTE มีส่วนสำคัญที่ส่งผลกระทบต่อสมรรถนะของพิวิทยาทางคอนกรีต อีกทั้งยังเป็นตัวแปรที่มีความซับซ้อนจากหลากหลายองค์ประกอบและยังต้องการข้อมูลอีกมากเพื่อจะช่วยปรับปรุงกระบวนการออกแบบและการซ่อมแซมพิวิทยาให้ดีขึ้น ในปี 2011 Wadkar และคณะ [2] ศึกษา LTE จากการทดสอบแบบ full-scale โดยทำการติดตั้ง strain gauge ในทางขบวนของถนนบิน วิเคราะห์หน่วยแรงเห็นแบบ 2 มิติ ด้วยโปรแกรม FEA ในท่ออิเล็กทรอนิกส์ (2D-Finite Element) เปรียบเทียบกับ LTE (stress) ระหว่างน้ำหนักเครื่องบินแบบสอดส่องน้ำหนักเครื่องบินจะคลื่อนที่พบว่า LTE (stress) แบบสอดส่องคลื่นที่ต่ำกว่า 38%

สำหรับงานวิจัยด้านโปรแกรมคอมพิวเตอร์ ปี 2005 Lin และ Fwa [12] ศึกษาผลการทดสอบของ LTE กับการตอบสนองของพิวิทยาทางคอนกรีต (concrete pavement response) ด้วยโปรแกรม NUS ซึ่งเป็นโปรแกรมที่ทำคำดัดบนด้วยผลเฉลยรูปแบบปิด ใช้แบบจำลอง 3 แผ่นพื้น (3-slab model) วางบนฐานราก Pasternak พิจารณา LTE₁ ร่วมกับการวิเคราะห์หน่วยแรงเห็นด้วย พบว่าการไม่นำ LTE มาใช้ในการวิเคราะห์ส่งผลให้ได้หน่วยแรงเห็นด้วยที่รอยต่อแผ่นคอนกรีตมากเกินไป

ในประเทศไทยปี 2546 ชัยบันวัชและคณะ [1] ศึกษาถึงการประเมินสภาพพิวิทยาถนนที่มีผิวปูรองและแผ่นดีซีเมนต์

คอนกรีตด้วยเครื่องมือ FWD ในช่วงเดือน พ.ค. – ส.ค. พบว่าการทดสอบสภาพความแข็งแรงของโครงสร้างถนนคอนกรีตในช่วงเวลาที่แผ่นคอนกรีตไม่มีการใช้งานจนส่งผลต่อการทดสอบ ค่า LTE ซึ่งจะมีค่าสูงขึ้นในช่วงบ่ายและลดลงในช่วงเวลากลางคืนลงอีก

2.5 โปรแกรมออกแบบและประเมินค่าวิถทาง PAVERS

งานวิจัยนี้เลือกใช้โปรแกรม PAVERS ซึ่งเป็นโปรแกรมคำนวณโครงสร้างพิภพทางที่พัฒนาโดย Van Cauwelaert และคณะ [13] โปรแกรมดังกล่าวนี้มีวัตถุประสงค์หลักเพื่อใช้ในการออกแบบโครงสร้างถนนสานานบิน พิภพทางในงานอุดสาหร่ายหินและใช้ในการประเมินความแข็งแรงของโครงสร้างพิภพทางและเป็นโปรแกรมที่ได้รับการยอมรับจากองค์กร North Atlantic Treaty Organization (NATO) และมาตรฐานการออกแบบพิภพทางของประเทศไทยและเวลส์แลนด์

3. วิธีการดำเนินงาน

ทำการเจาะสำรวจความหนาชั้นทางถนนคอนกรีตที่ก่อสร้างจริงและนำความหนาของชั้นทางมาวิเคราะห์ผลกระทบของหน่วยแรงเห็นด้วยที่เกิดขึ้นภายใต้อุปกรณ์ของ LTE ทั้ง 4 แบบโดยโปรแกรม PAVERS ซึ่งมีขั้นตอนดังต่อไปนี้

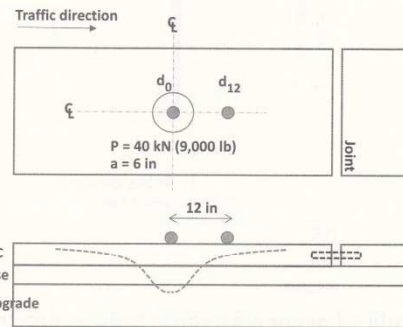
3.1 เจาะสำรวจความหนาของพิภพทางคอนกรีต

ใช้เครื่องมือ Bore Scope เจาะสำรวจความหนาชั้นทางผิวทางคอนกรีตที่ก่อสร้างจริงในประเทศไทย 2 สายทางคือ สะburี-หนองแก (SN) และ ปทุมธานี-ธนบุรี (PT)

3.2 จำลองการทดสอบ FWD ด้วยโปรแกรม PAVERS

งานวิจัยนี้เลือกใช้โปรแกรม PAVERS จำลองการทดสอบ FWD ที่ก่อการแพร่พื้นของถนนคอนกรีตตัวอย่างทั้ง 2 สายทาง โดยใช้น้ำหนัก 9,000 lb หรือ 40 kN (คือหนึ่งของน้ำหนักบรรทุกของพลาญารถฐาน) กระทำบนแผ่นเหล็ก (รัศมี 150 มิลิเมตร) ตามข้อแนะนำของ AASHTO [3] แสดงดังรูปที่ 4 วัดค่าการแพร่ตัวที่

ตำแหน่ง d_0 และ d_{12} เพื่อนำมาวิเคราะห์ค่า B ตามสมการที่ (5)



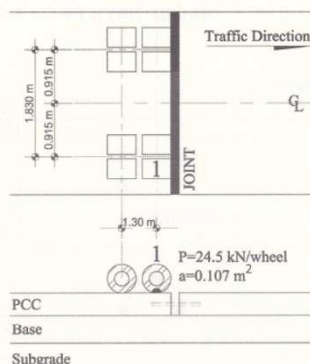
รูปที่ 4 จำลองการทดสอบ FWD ที่ก่อการแพร่พื้น

3.3 วิเคราะห์ค่า LTE ทั้ง 4 แบบจำลอง

กำหนดให้ค่า LTE_1 เป็นแบบจำลองตั้งต้นและใช้ความสัมพันธ์ในสมการที่ (2) – (5) คำนวณค่า LTE_2 , LTE_3 และ LTE_4 วิเคราะห์ความแตกต่างของแบบจำลอง LTE ทั้ง 4 แบบ

3.4 วิเคราะห์ผลกระทบของหน่วยแรงเห็นด้วยจากแบบจำลอง LTE ทั้ง 4 แบบ

จำลองนำหินบริทุกรอก 10 สัก 25 ตันกระทำที่รอยต่อถนนคอนกรีต 2 สายทางด้วยการใช้โปรแกรม PAVERS และงดังรูปที่ 5 ซึ่งในงานวิจัยนี้ศึกษาเฉพาะอิทธิพลของแบบจำลอง LTE ทั้ง 4 แบบต่อหน่วยแรงเห็นด้วย โดยไม่จราญาอิทธิพลของหน่วยแรงเห็นที่เกิดขึ้นอันเนื่องมาจากอุณหภูมิและความชื้น



รูปที่ 5 จำลองเพลาหลังรัศมีสิบถือ 25 ตันกระทำที่รือข้อต่อ
ถนนคอนกรีต

4. ผลการทดสอบ

4.1 ผลการเจาะสำรวจความหนาถนนคอนกรีต 2 สายทาง

เจาะสำรวจความหนาถนนคอนกรีต 2 สายทางแสดงดังรูปที่ 6 มีข้อมูลความหนาขั้นทางแสดงดังตารางที่ 1 โดยคอนกรีตสายทาง SN มีความหนานากกว่าสายทาง PT 1 เท่าและข้อมูลความหนาเหล่านี้จะถูกนำไปใช้ในการวิเคราะห์ LTE และหน่วยแรงคืนดัดคือไป



รูปที่ 6 การเจาะสำรวจความหนาขั้นทางถนน
คอนกรีตสายทาง SN ด้วยเครื่องมือ Bore Scope

4.2 ผลจำลองการทดสอบ FWD

ใช้โปรแกรม PAVERS นำเข้าค่าความหนาของสายทางจากตารางที่ 1 กำหนดค่าอีลasic โโนดูลัสและอัตราส่วนพื้นของตามข้อมูลของ AASHTO [3] กำหนดค่าการแอล์ด้า d_0 และ d_{12} และค่า B ให้น้อยกว่าถนน PT ซึ่งคอนกรีตมีความหนา 0.260 m กำหนดค่าการแอล์ด้าและค่า B ให้ใกล้เคียงกัน ค่า B ที่ได้สอดคล้องกับค่า

แนะนำของ AASHTO ซึ่งแนะนำว่าควรมีค่าประมาณ 1.05 – 1.15 [3]

ตารางที่ 1 ตารางแสดงความหนาถนนคอนกรีตสายทาง SN และ PT

ชั้นทาง	สายทาง SN(m)	สายทาง PT(m)
Concrete	0.260	0.130
Base	0.101	0.125
Subbase	0.110	0.260

ตารางที่ 2 ตารางแสดงค่าการแอล์ด้าที่กางแผ่นสายทาง SN และ PT

Pavement Configuration			
	E (MPa)	k (N/mm ³)	poison ratio
concrete	30000	-	0.15
base	200	-	0.35
subbase	-	0.0271	0.40
width		3.50	m
length		10.00	m
flexural strength		4.00	MPa
load		40	kN
plate (radius)		150	mm
	d_0 (mm)	d_{12} (mm)	B
SN	0.142	0.135	1.052
PT	0.394	0.352	1.119

4.3 ผลการวิเคราะห์หน่วยแรงคืนดัดร่วมกับแดลล์ล์แบบจำลองLTE

ให้ LTE เป็นแบบจำลองตั้งค้างและกำหนดให้ LTE, มีค่าเท่ากับ 25%, 50% และ 75% ใช้ข้อมูลจากตารางที่ 1 และ 2 คำนวณค่า LTE_1 , LTE_2 และ LTE_3 วิเคราะห์หน่วยแรงคืนดัดที่เกิดขึ้นด้วยโปรแกรม PAVERS แสดงผลดังตารางที่ 3 และ 4

ตารางที่ 3ผลการวิเคราะห์หน่วยแรงคืนดัดจากแต่ละแบบจำลอง LTEของถนน SN

SN						
	$*LTE_j = 25\%$		$*LTE_j = 50\%$		$*LTE_j = 75\%$	
LTE (%)	Flexural Stress	LTE (%)	Flexural Stress	LTE (%)	Flexural Stress	
LTE_1	25.0	1.535	50.0	1.309	50.0	1.147
LTE_2	40.0	1.389	66.7	1.194	66.7	1.090
LTE_3	26.3	1.524	52.6	1.287	52.6	1.126
LTE_4	42.1	1.372	70.1	1.176	70.1	1.071
mean		1.455		1.242		1.109
Std. Dev.		0.075		0.057		0.030

ตารางที่ 4ผลการวิเคราะห์หน่วยแรงคืนดัดจากแต่ละแบบจำลอง LTEของถนน PT

PT						
	$*LTE_j = 25\%$		$*LTE_j = 50\%$		$*LTE_j = 75\%$	
LTE (%)	Flexural Stress	LTE (%)	Flexural Stress	LTE (%)	Flexural Stress	
LTE_1	25.0	3.899	50.0	3.356	75.0	2.969
LTE_2	40.0	3.550	66.7	3.080	85.7	2.831
LTE_3	28.0	3.823	56.0	3.252	83.9	2.855
LTE_4	44.8	3.450	74.6	2.969	95.9	2.720
mean		3.681		3.164		2.844
Std. Dev.		0.186		0.150		0.088

ผลการวิเคราะห์หน่วยแรงคืนดัดในถนนทั้ง 2 สายพบว่าแบบจำลอง LTE ที่ให้ค่าสูงจะส่งผลให้วิเคราะห์หน่วยแรงคืนดัดได้น้อยลง โดยที่แบบจำลอง LTE_j ให้ค่าน้อยที่สุดและแบบจำลอง LTE_i ให้ค่ามากที่สุด แบบจำลอง LTE ทั้ง 4 แบบส่งผลกระทบต่อหน่วยแรงคืนดัดที่เกิดขึ้นในถนน SN บ้างเล็กน้อย โดย

ส่งผลกระทบมากขึ้นเมื่อ LTE มีค่าต่ำสังเกตได้จากส่วนเบี่ยงเบนมาตรฐานเมื่อกำหนดให้ LTE_j เท่ากับ 25% มีค่ามากที่สุด แต่เมื่อความหนาของชั้นคอนกรีตลดลงอย่างถัน PT แบบจำลอง LTE ส่งผลกระทบต่อการวิเคราะห์หน่วยแรงคืนมากขึ้นและยิ่งส่งผลกระทบมากขึ้นเมื่อ LTE มีค่าน้อย โดยหน่วยแรงคืนที่เกิดเมื่อกำหนด LTE_i เท่ากับ 25% มีส่วนเบี่ยงเบนมาตรฐาน 0.186 ทั้งนี้หากพิจารณาในภาพรวมต่อแบบจำลอง LTE จะส่งผลกระทบมากขึ้น เมื่อถนนคอนกรีตมีความหนาคอนกรีตลดลง

5.สรุปผลการทดลอง

แบบจำลอง LTE จากแต่ละหน่วยงานในระดับสากลข้างต้น ถ่างผลกระทบต่อการคำนวณหน่วยแรงคืนดัดที่เกิดขึ้นในถนนคอนกรีต ซึ่งแบบจำลองที่ใช้หลัก LTE มากจะส่งผลให้วิเคราะห์หน่วยแรงคืนได้ลดลง ทั้งนี้ค่า LTE ที่มากขึ้นจากการทดสอบการแผ่นดินที่คล่องแคล่วจะส่งผลให้ค่า B โดยแบบจำลอง LTE จะส่งผลกระทบมากขึ้นเมื่อชั้นทางคอนกรีตมีความหนาข้อลงตัวในการเลือกใช้แบบจำลอง LTE วิเคราะห์หรือประเมินความแข็งแรงของถนนคอนกรีตที่มีความหนาของชั้นคอนกรีตต่ำ อีกคราวนำผลการทดสอบอื่นๆ เช่น การประเมินความเสียหายของรอยต่อด้วยสายตา การทดสอบไฟฟ้าแบบผ่านพื้น หรือข้อมูลเกี่ยวกับช่องแสงและถนนคอนกรีตประกอบการพิจารณาหน่วยแรงคืนดัด

งานวิจัยนี้ใช้แบบจำลองการทดสอบ FWD ด้วยโปรแกรมคอมพิวเตอร์หาค่าการแผ่นดินที่คล่องแคล่วในการทดสอบจริง อีกคราวมีการศึกษาต่อเพื่อนำค่าหน่วยแรงคืนดัดไปใช้ในการคำนวณความถ้วนที่เกิดขึ้นหรืออายุการใช้งานที่เหลืออยู่ของถนนคอนกรีตเพื่อให้ได้แนวทางในการเลือกใช้แบบจำลองในการวิเคราะห์ LTE ได้เหมาะสมมากขึ้น

6.กิตติกรรมประกาศ

ขอขอบคุณบริษัท เอเชีย เทสติ้ง อิควิเพมันท์ จำกัด ที่เอื้อเพื่อข้อมูลผลการเจาะสำรวจกานามด้วย เครื่องมือ Bore Scope หาข้อความทราบโครงสร้างถนน คอนกรีตและศูนย์วิจัยเทคโนโลยีผิวทางถนนและท่าอากาศยาน (RAPTRe) ภาควิชาวิศวกรรมโยธา คณะ วิศวกรรมศาสตร์มหาวิทยาลัยเทคโนโลยีราชมงคลธัญบุรี ที่เอื้อเพื่อจัดทำโปรแกรม PAVERS สำหรับงานวิจัยฉบับนี้

เอกสารอ้างอิง

- [1] ขยันว์ พรมศร, ชนศักดิ์ ไฝกระโภก, เลิศ พัฒนาและ พรชัย ศิตา, 2546. การประเมินสภาพผิวทางถนนที่มีค่า ชนิดปอร์ตแลนด์ซีเมนต์คอนกรีตโดยใช้เครื่องมือ Falling Weight Deflectometer ในประเทศไทย. รายงาน ฉบับที่ วท. 206 สำนักวิจัยและพัฒนางานทาง กรมทาง หลวง กระทรวงคมนาคม.
- [2] Ashish Wadkar,et. al, 2011. Load-Transfer Efficiencies of Rigid Airfield Pavement Joints Based on Stresses and Deflections. Journal of Material in Civil Engineering, American Society of Civil Engineers (ASCE).
- [3] AASHTO, 1993. AASHTO Guide for Design of Pavement Structures. American Association of State Highway and Transportation Officials.
- [4] Federal Aviation Administration, 2009. Airport Pavement Design and Evaluation Advisory Circular No. 150/5320-6E. Federal Aviation Administration (FAA), U.S. Department of Transportation.
- [5] Lev Khazanovich and Alex Gotlib, 2003. Evaluation of Joint and Crack Load Transfer Final Report. FHWA-RD-02-088. Federal Highway Administration(FHWA), U.S. Department of Transportation.
- [6] Vijay P.V., Hota V.S. GangaRoa and Li H., 2009. Design and Evaluation of Joint Plain Concrete Pavement with Fiber Reinforced Polymer Dowels, FHWA-HRT-06-106. Federal Highway Administration (FHWA), U.S. Department of Transportation.
- [7] Dynatest, 23 October 2015. Dynatest - Pavement Engineering Specialists & equipment. <URL: www.dynatest.com>
- [8] เอกสารติดต่อระหว่างบุคคล, 2555. เอกสาร อบรมเครื่องมือทดสอบ Dynatest. "Joint Efficiency Measurements". บริษัทชอยล์-test จำกัด (เอส ทีเอส).
- [9] Yoder E.L. and Witczak M.W., 1975. Principle of Pavement Design, 2dn edition. A Wiler-Interscience Publication, John Wiley & Sons, Inc.
- [10] Per Ullidtz, 1987. Pavement Analysis. Institute of Road, Transport and Town Planning, the Technical University of Denmark, Lyngby, Denmark. Elsevier Science Publishers.
- [11] Van Cauwelaert F. and Stet M. 23 October 2015. Shear Transfer and Deflection Ratio's at a Joint of a Concrete Slab. <URL: www.pavers.nl>
- [12] Lui W. and Fwa T.F., 2005. Effects of Joint Transfer on Concrete Pavement Response. Journal of Eastern Asia Society for Transportation Studies, Vol. 6, pp. 1258-1273.
- [13] Stet M., Thewessen B. and Van Cauwelaert F., 23 October 2015. The PAVERS system; a novel approach to the design and assessment of road, airfield and industrial pavement, <URL: www.pavers.nl>

ประวัติผู้เขียน

ชื่อ-สกุล นายวรรูป สุวรรณมงคล
วัน เดือน ปีเกิด 7 กันยายน พ.ศ. 2523
ที่อยู่ หมู่บ้านโนมด วิลล่า เลขที่ 198/9 ม.13 ถ.กาญจนากิ่ง ต.บางบัวทอง อ.
บางบัวทอง จ. นนทบุรี 11110
การศึกษา ปริญญาตรี สาขาวิศวกรรมโยธา ภาควิชาชีวศึกกรรมโยธา
คณะวิศวกรรมศาสตร์ มหาวิทยาลัยเทคโนโลยีราชมงคลชั้นนำ
ผู้ช่วยนักวิจัยและวิศวกรประจำหน่วยวิจัยเทคโนโลยีพิเศษทางถนนและ
ท่าอากาศยาน (Road & Airfield Pavement Technology Research Unit)
ภาควิชาชีวศึกกรรมโยธา คณะวิศวกรรมศาสตร์
มหาวิทยาลัยเทคโนโลยีราชมงคลชั้นนำ ตั้งแต่ พ.ศ. 2554 ถึง พ.ศ.
2555
วิศวกร บริษัทแอ็คવานซ์โพลีเมอร์ เจ ที จำกัด ตั้งแต่ พ.ศ. 2555 ถึง
พ.ศ. 2556
วิศวกร โครงสร้าง บริษัทรอยแยกล้อแอส์ จำกัด พ.ศ. 2556 ถึงปัจจุบัน
เบอร์โทรศัพท์ 08-7920-8162
อีเมล์ suwanmongkon.w@gmail.com